



جمهورية العراق
وزارة التعليم العالي والبحث العلمي
جامعة كربلاء
كلية التربية للعلوم الصرفة - قسم علوم الحياة

دراسة نسيجية ووظيفية لتأثير إزالة المبايض في الغدة
النخامية، والرحم والغدة اللبنية في الارانب المحلية
Oryctolagus cuniculus

إطروحة مقدمة الى
مجلس كلية التربية للعلوم الصرفة - جامعة كربلاء
وهي جزء من متطلبات نيل درجة الدكتوراه فلسفة
في علوم الحياة - علم الحيوان.

من قبل

أشواق كاظم عبيد الحجيري

بكلوريوس علوم الحياة / جامعة كربلاء 2001.
ماجستير علوم حياة-علم الحيوان / جامعة الكوفة 2005.

بإشراف

الأستاذ الدكتورة
وفاق جبوري البازي

الأستاذ المساعد الدكتورة
سيناء جبوري البازي

كانون الثاني 2019 م

جمادي الاول 1440 هـ

بِسْمِ اللَّهِ الرَّحْمَنِ الرَّحِيمِ

وَقَالَ رَبِّ أَوْزِعْنِي أَنْ أَشْكُرَ نِعْمَتَكَ
الَّتِي أَنْعَمْتَ عَلَيَّ وَعَلَىٰ وَالِدَيَّ وَأَنْ
أَعْمَلَ صَالِحًا تَرْضَاهُ وَأَدْخِلْنِي بِرَحْمَتِكَ
فِي عِبَادِكَ الصَّالِحِينَ ﴿١٩﴾

صدق الله العلي العظيم

سورة النمل/ الآية (19)

الاهداء

إلى موقد السراج في عقول الأجيال.. نبي البر والهدى...
الخالد في سفر الكون.. الرسول محمد بن عبد الله (صلى الله عليه وآله)..
إلى من ألهماني الصبر.. وزرعا في نفسي الأمل..
وأعاناني على الوصول إلى الهدف المنشود.. والديّ
إلى أعزائي.. ورفاق دربي.. أخوتي وأخواتي
إلى رمز الوفاء وسندي وعوني في الحياة .. زوجي الغالي
زهور حياتي التي تغمرنني بأريج عطرها.. أبنائي
إلى كل من سبقني في ميدان العلم.. ومن سيأتي بعدي
أهدي ثمرة جهدي المتواضع.. وأرجو قبوله

اشواق

بِسْمِ اللَّهِ الرَّحْمَنِ الرَّحِيمِ

شكر و عرفان

الحمد لله حمداً استتم به نعمته .. واستعجل به رحمته واستبعد به عذابه ونقمته..فهو الذي جعل الحمد مفتاحاً لذكره.. وخلق الأشياء ناطقة بحمده وشكره.. والصلاة والسلام على رسوله محمد وعلى سائر أنبيائه ورسله وآله الطيبين وجمعه المخلصين ومن اتبع هداه إلى يوم الدين .

فمن حقيقة الشكر الثناء على المحسن بذكر إحسانه ولأن شكر الناس من شكر الله سبحانه فلا يسعني وانا أنهى مرحلة من عمري لأستهل أخرى إلا أن أتقدم بالشكر الجزيل وفائق التقدير إلى رئاسة جامعة كربلاء وعمادة كلية التربية للعلوم الصرفة ورئاسة قسم علوم الحياة للجهود المبذولة في تذليل كثير من العقبات خلال مسيرة البحث كما اتقدم بجزيل الشكر والامتنان والعرفان والوفاء والاعتراف بالجميل والفضل الى الأستاذتين المشرفتين الاستاذ المساعد الدكتورة سناء جبوري البازي والاستاذة الدكتورة وفاق جبوري البازي لما كان لهما من الفضل في اختيار موضوع البحث وشرافهما على متابعتها على اكمل وجه واسأل الله العلي القدير أن يمن عليهما بكل خير وعافية ويمد خطاهما لكل خير.

واعترافا مني بالجميل اتقدم بالشكر إلى كل من ساعدني الاستاذ حسين علي عبد اللطيف والاستاذ المساعد الدكتور نصير مرزا حمزة والدكتور علاء حسين مهدي الصافي لما قدموه لي من عون وارشاد علمي سديد خلال مسيرة البحث .

كما أقدم شكري الجزيل الى الدكتور جاسم محمد خلف /كلية الطب البيطري جامعة كربلاء لما قدمه لي من مساعدة في إجراء العمليات الجراحية لإناث الارانب المستخدمة في دراستي .
يشرفني ويسعدني أن اتقدم بالشكر الجزيل إلى جميع أفراد عائلتي والى زوجي وأبنائي لمساعدتهم لي في تسهيل كثير من الصعوبات خلال أيام الدراسة والبحث . كما اتقدم بالشكر والعرفان الى طالب الدكتوراه جواد كاظم عبيد لما قدمه لي من مساعدة خلال مدة الدراسة .
وأتقدم بالشكر الجزيل إلى كل من أعانني وقد غاب اسمه وحضر فضله وفقهم الله لما فيه خير وعافية .

الخلاصة

أجريت الدراسة الحالية لمعرفة تأثير إزالة المبايض الاحادي والثنائي على الغدد اللبينية والرحم والغدة النخامية لإنات الارانب *Oryctolagus cuniculus*. إذ قسمت عشوائيا 48 من اناث الارانب الى مجموعتين (عذارى ومرضعات) ، كل مجموعة قسمت الى اربعة مجاميع (6/ مجموعة)، المجموعة الاولى تمثل مجموعة السيطرة Sham ، والثانية تمثل مجموعة الازالة ثنائية المبايض و الثالثة تمثل مجموعة ازالة المبيض الايمن والرابعة مجموعة ازالة المبيض الايسر. تمت التضحية بالحيوانات بعد مدة شهر من عملية الازالة ، وأخذت المقاطع النسجية من الغدد اللبينية والرحم والغدة النخامية لغرض دراسة التغيرات النسجية و الكيمو نسجية و الكيمو نسجية المناعية.

كما اخذت عينات الدم لقياس مستوى تركيز الاستروجين Estrogen والبروجستيرون Progesterone والبرولاكتين Prolactin وهرمون محفز للجريبات Follicle stimulating hormone والهرمون اللوتيني Luteinizing hormone ودراسة مستوى الهرمون اللوتيني LH في نسيج الغدة النخامية، وقياس تركيز مستوى الكلوتاثيون Glutathion GSH والمالونديالدهيد Malondialdehyde MDA في مصل الدم ، وقياس فعالية انزيمات الفوسفاتيز القاعدي Alkaline phosphatase و 5' النيوكليوتايدز Nucleotidase - 5 في أنسجة الغدد اللبينية والرحم . ومن خلال هذه المعايير اظهرت النتائج التالية :

- بينت المقاطع النسجية للغدد اللبينية المصبوغة بصبغة الهيماتوكسلين والايوسين في مجموعة الازالة الثنائية للعذارى قلة عدد الفصيصات والبراعم الحويصلية وكثيراً من النسيج الدهني مقارنة مع مجموعة السيطرة ، اما بالنسبة للمرضعات فإن استئصال المبايض الكاملة يؤدي الى صغر حجم الفصيصات وكذلك كثرة الحويصلات غير الفعالة وكثرة السدى . أما في صبغة Trichrome للغدد اللبينية زيادة في كمية الالياف الكولاجينية لكل المجاميع المعاملة من العذارى والمرضعات مقارنة مع السيطرة . بينما في صبغة Periodic Acid Schiff's فكان الافراز موجبا للمجاميع الثلاث ومجموعة السيطرة في المرضعات ولم تظهر في مجموعة العذارى . اما فيما يخص معدل اقطار واعداد الحويصلات للغدد اللبينية فقد ظهر انخفاض معنوي ($p < 0.05$) في المجاميع المعاملة الثلاث للعذارى والمرضعات مقارنة مع مجموعة السيطرة

- أما المقاطع النسجية للرحم بصبغة الهيماتوكسلين والايوسين فقد أظهرت الدراسة الحالية ان ازالة المبيضين يؤدي الى قلة سمك طبقات الرحم وضمورها وقلة طياتها وانعدام الغدد الرحمية مع وجود ارتشاح خلوي مقارنة مع المجاميع الاخرى للعذارى و المرضعات. وعند استخدام صبغة Trichrome ظهرت هنالك زيادة في الالياف الكولاجينية (السدى) لجميع المجاميع مقارنة مع مجموعة السيطرة . أما فيما يخص

معدل سمك طبقات الرحم وبطانته فقد ظهر انخفاض معنوي ($p < 0.05$) في المجاميع الثلاث مقارنة مع مجموعة السيطرة (sham) .

- لم تظهر تغيرات مرضية نسجية واضحة باستخدام صبغة الهيماتوكسلين والايوسين في نسيج الغدة النخامية وللمجاميع المعاملة الثلاثة للمرضعات والعدارى . فيما يخص الصبغة الخاصة بمستقبل البروجستيرون في خلايا المناسل لوحظ تضخمها في مجموعة الازالة الثنائية مع ظهور حويصلات كبيرة في السايئوبلازم مقارنة مع المجاميع الاخرى.

- أظهرت الدراسة الحالية لمستقبلات الاستروجين والبروجستيرون في نسجي الغدد اللبئية والرحم للعدارى والمرضعات ظهور تعبير ضعيف (+) و سالب (-) في نسجي الغدة اللبئية والرحم لمستقبلي الاستروجين والبروجستيرون في مجموعة الازالة الكاملة للعدارى ، وكان التعبير (+) في نسيج الغدد اللبئية لمستقبلي الاستروجين والبروجستيرون للمرضعات ، والتعبير (-) لمستقبل الاستروجين و (+) لمستقبل البروجستيرون في نسيج الرحم . أما في مجموعة ازالة المبيض الايمن فقد ظهر التعبير (+ + +) (+ +) للعدارى والمرضعات لمستقبلي الاستروجين والبروجستيرون لنسجي الغدد اللبئية والرحم على التوالي . أما عند ازالة المبيض الايسر فقد اظهرت تعبير (+ +) (+) لمستقبلي الاستروجين والبروجستيرون لنسجي الغدد اللبئية و الرحم للعدارى والمرضعات.

- واطهرت نتائج الدراسة الحالية زيادة معنوية ($p < 0.05$) في مستوى تركيز هرموني FSH و LH في مصل مجموعة الازالة الكاملة مقارنة مع المجاميع الاخرى للعدارى والمرضعات . كما لوحظ عدم وجود فرق معنوي في مستوى تركيز هرمون البرولاكتين في مصل المجاميع الثلاثة للعدارى ، بينما لوحظ ارتفاع معنوي ($p < 0.05$) في مجموعة ازالة المبيض الايمن مقارنة مع المجاميع الاخرى للمرضعات . وانخفاض معنوي ($P < 0.05$) في مستوى تركيز هرموني الاستروجين والبروجستيرون في مصل مجموعة الازالة الكاملة بالمقارنة مع المجاميع الاخرى للعدارى والمرضعات .

- بينت النتائج الحالية ارتفاع معنوي ($p < 0.05$) في مستوى الهرمون اللوتيني في نسيج الغدة النخامية في مجموعة ازالة المبايض الكاملة للعدارى . بينما لوحظ ارتفاع غير معنوي في هرمون اللوتيني LH في مجموعة المرضعات .

- إما بالنسبة لتركيز أنزيم الفوسفاتيز القاعدي ALP فقد كان هناك انخفاض معنوي ($P < 0.05$) في مجموعة ازالة المبايض الكاملة بالمقارنة مع مجاميع المزالة المبيض الايمن والاييسر ومجموعة السيطرة لنسجي الغدد اللبئية والرحم للعدارى والمرضعات . بينما لوحظ انخفاض معنوي ($P < 0.05$) في تركيز أنزيم

5 ' النيوكلوتايدز في مجموعة الإزالة الكاملة مقارنة مع المجاميع المعاملة ومجموعة السيطرة لنسجي الغدد اللبنية والرحم في العذارى والمرضعات .

- إظهرت الدراسة الحالية انخفاضا معنوياً ($p<0.05$) في مستوى تركيز GSH و ارتفاعا معنوياً ($P<0.05$) في مستوى تركيز MDA في مصل مجموعة الازالة الكاملة ومجموعة إزالة المبيض الايمن و الايسر للعذارى والمرضعات مقارنة بمجموعة السيطرة.

- ولم يلاحظ زيادة معنوية في معدل وزن الجسم للمجاميع المزالة المبايض للعذارى بالمقارنة مع مجموعة السيطرة ،بينما لوحظ ارتفاع معنوي ($P<0.05$) في المجاميع المعاملة للمرضعات.

يستنتج من الدراسة الحالية ، ان عملية ازالة المبايض الثنائية للعذارى والمرضعات أدت الى تغيرات نسجية وكيمونسجية مناعية ووظيفية للغدد اللبنية والرحم والغدة النخامية في اناث الارانب .

قائمة المحتويات

الصفحة	الموضوع	التسلسل
I	الخلاصة	
IV	المحتويات	
IX	قائمة الجداول	
X	قائمة الأشكال والصور	
XIV	قائمة المختصرات	
الفصل الأول		
المقدمة		
2 - 1	المقدمة	
الفصل الثاني		
استعراض المراجع		
3	المبيض	1-2
4	الهرمونات المبيضية	2-2
4	الاستروجين	1-2-2
5	البروجستيرون	2-2-2
5	إزالة مبايض	3 -2
7	المستقبلات	4 -2
10	الغدد اللبنية	5-2
14	الرحم	6-2
15	الغدة النخامية	7 -2
17	الهرمونات المحررة للغدد التناسلية	1-7-2
19	هرمون البرولاكتين	8-2
19	أنزيم الفوسفاتيز القاعدي	9-2
21	أنزيم نيوكليوتايديز	10-2
الفصل الثالث		
المواد وطرائق العمل		
23	المواد والأجهزة المستعملة	1-3
23	المواد الكيميائية المستعملة	1-1-3
25	الأجهزة والأدوات المستعملة	2-1-3
26	طرائق العمل	2-3
26	حيوانات التجربة	1-2-3
27	تصميم التجربة	2-2-3
28	مخطط تصميم التجربة	1-2-2-3

29	عملية استئصال المبايض	3-2-3
30	وزن الجسم	4-2-3
30	جمع عينات الدم	5-2-3
31	جمع عينات الأنسجة	6-2-3
32	التحضيرات النسجية	7-2-3
32	تثبيت العينات	1-7-2-3
32	الأنكاز والترويق	2-7-2-3
32	التشريب	3-7-2-3
33	الطمر	4-7-2-3
33	التشذيب والتقطيع	5-7-2-3
33	التلوين	6-7-2-3
33	صبغة هيماتوكسلين هارس	1-6-7-2-3
34	صبغة الايوسين الكحولي	2-6-7-2-3
35	صبغة كوموري ثلاثي الالوان	3-6-7-2-3
36	صبغة كاشف شف الدوري	4-6-7-2-3
37	الارساء	7-7-2-3
38	الفحص والتصوير المجهرى	8-7-2-3
38	القياسات النسجية	8-2-3
38	الدراسة الكيميائية النسجية المناعية	9-2-3
38	مستقبلات الاستروجين والبروجسترون	1-9-2-3
40	القياسات الهرمونية	10-2-3
40	قياس تركيز هرمون الاستروجين	1-10-2-3
42	قياس تركيز هرمون البروجستيرون	2-10-2-3
44	قياس تركيز هرمون البرولاكتين	3-10-2-3
45	قياس تركيز هرمون محفز الجريبات	4-10-2-3
47	قياس تركيز الهرمون اللوتيني	5-10-2-3
48	تحضير خليط نسيج الغدة النخامية	11-2-3
48	قياس فعالية الانزيم الفوسفاتيز القاعدي وانزيم 5نيوكليوتايدز	12-2-3
48	قياس فعالية أنزيم الفوسفاتيز القاعدي	1-12-2-3
49	قياس فعالية أنزيم 5' نيوكليوتايدز	2-12-2-3
50	قياس المعايير الكيموحيوية	13-2-3

50	تقدير تركيز المألوندايالديهيد في مصل الدم	1-13-2-3
51	تقدير تركيز الكلوتاثيون في مصل الدم	2-13-2-3
53	التحليل الاحصائي	14-2-3
	الفصل الرابع النتائج والمناقشة	
54	الدراسة النسجية	1-4
54	صبغة الهيماتوكسولين والايوسين	1-1-4
54	مجموعة العذارى	1-1-1-4
54	مجموعة المرضعات	2-1-1-4
60	الدراسة الكيمونسجية	2-4
60	صبغة كاشف شف الدوري	1-2-4
60	مجموعة العذارى	1-1-2-4
60	مجموعة المرضعات	2-1-2-4
66	صبغة كوموري ثلاثي الألوان	2-2-4
66	مجموعة العذارى	1-2-2-4
66	مجموعة المرضعات	2-2-2-4
72	تأثير إزالة المبايض الثنائية والأحادية على نسيج الرحم للعذارى والمرضعات في الأرانب المحلية	3-4
72	صبغة الهيماتوكسولين والايوسين	1-3-4
72	مجموعة العذارى	1-1-3-4
73	مجموعة المرضعات	2-1-3-4
84	الدراسة الكيمونسجية	4-4
84	صبغة كوموري ثلاثي الألوان لنسيج الرحم	1-4-4
84	مجموعة العذارى	1-1-4-4
84	مجموعة المرضعات	2-1-4-4
90	القياسات النسجية	5-4
90	أقطار حويصلات الغدد اللبنية (مايكرون)	1-5-4
91	أعداد حويصلات الغدد اللبنية	2-5-4
92	قياس سمك طبقات الرحم وبطانته للعذارى والمرضعات	3-5-4

95	تأثير إزالة المبايض الثنائية والأحادية على نسيج الغده النخامية للعدارى والمرضعات	6-4
95	صبغة الهيماتوكسلين والايوسين	1-6-4
97	الدراسة الكيميائية النسجية المناعية	7-4
97	مستقبلات الاستروجين والبروجستيرون في الغدد اللبنية والرحم لمجاميع العدارى والمرضعات	1-7-4
103	التعبير الكيميائي النسجي المناعي لمستقبلات البروجستيرون في الغدة النخامية لمجاميع العدارى والمرضعات	2-7-4
105	الدراسة الوظيفية و الكيموحيوية	8-4
105	الدراسة الهرمونية	1-8-4
105	تأثير إزالة المبايض على معدل تركيز الهرمونات في مصل الدم لإناث العدارى	1-1-8-4
105	التغيرات في معدل تركيز هرمون المحفز للجريبات	1-1-1-8-4
106	التغيرات في معدل تركيز الهرمون اللوتيني	2-1-1-8-4
106	التغيرات في معدل تركيز هرمون البرولاكتين	3-1-1-8-4
106	التغيرات في معدل تركيز هرموني البروجستيرون Progesterone وهرمون الاستروجين Estrogen	4-1-1-8-4
108	تأثير ازالة المبايض على معدل تركيز الهرمونات في مصل الدم لاناث الارانب المرضعات	2-1-8-4
108	التغيرات في معدل تركيز هرمون المحفز للجريبات FSH والهرمون اللوتيني LH	1-2-1-8-4
109	التغيرات في معدل تركيز هرمون البرولاكتين	2-2-1-8-4
109	التغيرات في معدل تركيز هرموني البروجستيرون Progesterone وهرمون الاستروجين Estrogen في مصل المرضعات	3-2-1-8-4
112	قياس تركيز الهرمون اللوتيني في الغدة النخامية	2-8-4
114	تأثير إزالة المبايض على معدل تركيز إنزيم الفوسفاتيز	3-8-4

	القاعدي وإنزيم '5' النيوكلوไทديز لنسجي الغدد اللبنية والرحم للعداري و المرضعات في الارانب المحلية	
118	تأثير ازالة المبايض على مستوى تركيز GSH و MDA في مصل دم الارانب المحلية	4-8-4
118	التغيرات في معدل تركيز الكلوتاثيون المختزل (GSH) والمالوندايالديهيد MDA في مصل دم مجموعة العذارى للارانب المحلية	1-4-8-4
119	التغيرات في معدل تركيز الكلوتاثيون المختزل (GSH) والمالوندايالديهيد MDA في مصل دم مجموعة المرضعات للارانب المحلية	2-4-8-4
121	وزن الجسم	9-4
الاستنتاجات والتوصيات		
123	الاستنتاجات	
124	التوصيات	
المصادر		
125	المصادر العربية	
162 - 127	المصادر الأجنبية	
A - D	الخلاصة باللغة الانكليزية	

قائمة الجداول

الصفحة	العنوان	التسلسل
23	المواد الكيميائية المستخدمة بحسب أسم الشركة والمنشأ	1-3
25	الأجهزة المستعملة و الأدوات والشركة المصنعة والمنشأ	2-3
90	تأثير إزالة المبايض على قطر الحويصلات لإنات الأرانب للعدارى والمرضعات	1-4
91	تأثير إزالة المبايض على أعداد الحويصلات لإنات الأرانب للعدارى والمرضعات	2-4
93	تأثير إزالة المبايض على سمك طبقات الرحم لإنات الأرانب للعدارى والمرضعات	3-4
93	تأثير إزالة المبايض على سمك بطانة الرحم لإنات الأرانب للعدارى والمرضعات	4-4
98	تأثير ازالة المبايض على مستوى التعبير عن مستقبلات الاستروجين والبروجستيرون في الغدة اللبينية والرحم لإنات الارانب العذارى والمرضعات	5-4
107	تأثير إزالة المبايض على مستوى الهرمونات في مصل إنات الأرانب العذارى	6-4
108	تأثير إزالة المبايض على مستوى الهرمونات في مصل إنات الأرانب المرضعات	7-4
112	تأثير إزالة المبايض على مستوى هرمون اللوتيني في الغدة النخامية لإنات الأرانب العذارى والمرضعات	8-4
114	مستوى انزيمي الفوسفاتيز القاعدي وال ⁵ نيوكلوتايدز في نسيج الغدد اللبينية في انات الارانب (U/g)	9-4
115	مستوى انزيمي فوسفاتيز القاعدي وال ⁵ نيوكلوتايدز في نسيج الرحم في انات الارانب (U/g)	10-4
118	تأثير إزالة المبايض على مستوى تركيز الكلوتاثيون المختزل GSH والمالوندايالديهيد MDA في مصل إنات الأرانب العذارى	11-4
119	تأثير إزالة المبايض على مستوى تركيز الكلوتاثيون المختزل GSH والمالوندايالديهيد MDA في مصل إنات الأرانب المرضعات	12-4
121	تأثير إزالة المبايض على معدل وزن الجسم في إنات الأرانب للعدارى والمرضعات	13-4

قائمة الصور والأشكال

الصفحة	العنوان	التسلسل
8	شكل يوضح المناطق الوظيفية في مستقبل هرمون الاستروجين	1-2
28	شكل تصميم التجربة	1-3
30	صور (a,b,c) توضح عملية إزالة المبايض في إناث الإرانب	2-3
56	مقطع نسجي لغدة لبنية لمجموعة سيطرة العذارى يلاحظ الفصيصات	1-4
56	مقطع نسجي لغدة لبنية لمجموعة الإزالة الكاملة العذارى حيث يلاحظ قلة عدد الفصيصات	2-4
57	مقطع نسجي لغدة لبنية لمجموعة إزالة المبيض الأيمن العذارى	3-4
57	مقطع نسجي لغدة لبنية لمجموعة إزالة المبيض الأيسر العذارى	4-4
58	مقطع نسجي لغدة لبنية لمجموعة سيطرة للمرضعات تبين الحويصلات المتفرعة	5- 4
58	مقطع نسجي لغدة لبنية لمجموعة الإزالة الكاملة للمرضعات حيث يلاحظ كثرة الحويصلات غير الفعالة	6-4
59	مقطع نسجي لغدة لبنية لمجموعة إزالة المبيض الأيمن للمرضعات حيث يلاحظ الحويصلات المتفرعة	7-4
59	مقطع نسجي لغدة لبنية لمجموعة إزالة المبيض الأيسر للمرضعات حيث يلاحظ الحويصلات المتفرعة	8-4
62	مقطع نسجي في الغدد اللبنية لمجموعة السيطرة للعذارى ، تظهر تفاعل سالب لصبغة PAS	9-4
62	مقطع نسجي في الغدد اللبنية لمجموعة الإزالة الكاملة للعذارى ، تظهر تفاعل سالب لصبغة PAS	10-4
63	مقطع نسجي في الغدد اللبنية لمجموعة الإزالة الأيمن للعذارى ، تظهر تفاعل سالب لصبغة PAS	11-4
63	مقطع نسجي في الغدد اللبنية لمجموعة إزالة الأيسر للعذارى ، تظهر تفاعل سالب لصبغة PAS	12-4
64	مقطع نسجي في الغدد اللبنية لمجموعة السيطرة للمرضعات ، تظهر تفاعل ايجابي لصبغة PAS	13-4
64	مقطع نسجي في الغدد اللبنية لمجموعة الإزالة الكاملة للمرضعات ، ايجابي لصبغة PAS	14-4
65	مقطع نسجي في الغدد اللبنية لمجموعة إزالة المبيض الأيمن للمرضعات ، تظهر تفاعل ايجابي لصبغة PAS	15-4

65	مقطع نسجي في الغدد اللبنية لمجموعة إزالة المبيض الايسر للمرضعات ، تظهر تفاعل ايجابي لصبغة PAS	16-4
68	مقطع نسجي للغدد اللبنية لمجموعة سيطرة العذارى يلاحظ فيها قلة في الياف كولاجين السدى	17-4
68	مقطع نسجي للغدد اللبنية لمجموعة الازالة الكاملة للعذارى يلاحظ فيها كثافة الياف كولاجين	18-4
69	مقطع نسجي للغدد اللبنية لمجموعة ازالة المبيض الايمن للعذارى يلاحظ فيها كثافة الياف كولاجين السدى	19-4
69	مقطع نسجي للغدد اللبنية لمجموعة ازالة المبيض الايسر للعذارى يلاحظ فيها كثافة الياف كولاجين السدى	20-4
70	مقطع نسجي للغدد اللبنية لمجموعة سيطرة المرضعات يلاحظ فيها قلة الياف كولاجين السدى	21-4
70	مقطع نسجي للغدد اللبنية لمجموعة ازالة الكاملة للمرضعات يلاحظ فيها كثافة الياف كولاجين	22-4
71	مقطع للغدد لبنية لمجموعة إزالة المبيض الإيمن المرضعات يلاحظ فيها قلة الياف كولاجين السدى	23-4
71	مقطع نسجي للغدد اللبنية لمجموعة ازالة المبيض الايسر المرضعات يلاحظ فيها قلة الياف كولاجين	24-4
76	مقطع نسجي لرحم مجموعة السيطرة العذارى يلاحظ فيها الطبقات الثلاث للرحم (البطانية (E) ، العضلية (M) والمحيطية (P))	25-4
76	مقطع نسجي لرحم مجموعة السيطرة العذارى ، حيث يلاحظ الطية الرحمية الطبقة الظهارية	26-4
77	مقطع من رحم مجموعة الازالة الكاملة للمبايض العذارى يوضح فيها تأثر طبقات الرحم	27-4
77	مقطع نسجي لرحم مجموعة الازالة الكاملة للمبايض العذارى يوضح عدم وجود الغدد الرحمية	28-4
78	مقطع نسجي لرحم مجموعة الازالة المبيض الايمن للعذارى يلاحظ فيها الطبقات الثلاثة للرحم	29-4
78	مقطع نسجي لرحم مجموعة إزالة المبيض الايمن العذارى وجود الغدد الرحمية	30-4
79	مقطع نسجي لرحم مجموعة الازالة المبيض الايسر للعذارى يلاحظ فيها الطبقات الثلاثة للرحم	31-4
79	مقطع نسجي لرحم مجموعة إزالة المبيض الايسر العذارى وجود ارتشاح خلوي	32-4
80	مقطع نسجي لرحم مجموعة السيطرة المرضعات يلاحظ فيها الطبقات الثلاث للرحم	33-4

80	مقطع نسجي لرحم مجموعة السيطرة للمرضعات حيث يلاحظ الطية الرحمية	34-4
81	مقطع نسجي لرحم مجموعة الازالة الكاملة للمبايض المرضعات يوضح فيها تأثير طبقات الرحم الثلاث	35-4
81	مقطع نسجي لرحم مجموعة الازالة الكاملة للمبايض للمرضعات يوضح عدم وجود الغدد الرحمية	36-4
82	مقطع نسجي لرحم مجموعة إزالة المبيض الايمن للمرضعات يلاحظ فيها الطبقات الثلاثة للرحم	37-4
82	مقطع نسجي لرحم مجموعة إزالة المبيض الايمن للمرضعات تبين وجود الغدد الرحمية	38-4
83	مقطع نسجي لرحم مجموعة إزالة المبيض الايسر للمرضعات يلاحظ فيها الطبقات الثلاثة للرحم	39-4
83	مقطع نسجي لرحم مجموعة إزالة المبيض الايسر للمرضعات وجود الغدد الرحمية	40-4
86	مقطع نسجي لمجموعة السيطرة للعدارى يلاحظ فيها الالياف الكولاجين	41-4
86	مقطع نسجي لمجموعة الازالة الكاملة للعدارى يلاحظ فيها قلة في كثافة الياف الكولاجين	42-4
87	مقطع نسجي لمجموعة إزالة المبيض الايمن للعدارى يلاحظ فيها كثافة في الياف الكولاجين	43-4
87	مقطع نسجي لمجموعة إزالة المبيض الايسر للعدارى يلاحظ فيها كمية كبيرة من الالياف الكولاجين	44-4
88	مقطع نسجي لمجموعة السيطرة للمرضعات يلاحظ فيها كمية كبيرة من الالياف الكولاجين	45-4
88	مقطع نسجي لمجموعة الازالة الكاملة للمرضعات يلاحظ فيها قلة في الالياف الكولاجين	46-4
89	مقطع نسجي لمجموعة إزالة المبيض الايمن للمرضعات يلاحظ فيها كثافة في الياف الكولاجين	47-4
89	مقطع نسجي لمجموعة إزالة المبيض الايسر للمرضعات يلاحظ فيها كثافة في الياف الكولاجين	48-4
95	مقطع من نسيج الفص الامامي للغدة النخامية لمجموعة السيطرة (Sham)	49-4
96	مقطع من نسيج الفص الامامي للغدة النخامية لأحدى المجاميع المعاملة	50-4
99	مقطع نسجي لغدة لبنية لأنثى أرنب يوضح التعبير الموجب لمستقبل البروجستيرون	51-4
99	مقطع نسجي لغدة ليبينية لأنثى أرنب يوضح التعبير الموجب لمستقبل الاستروجين	52-4
100	مقطع نسجي لرحم انثى ارنب يوضح التعبير الموجب لمستقبل البروجستيرون	53-4
100	صورة مقطع نسجي لرحم انثى ارنب يوضح التعبير الموجب لمستقبل الاستروجين	54-4

100	صورة مقطع نسجي لرحم انثى ارنب يوضح التعبير السالب لمستقبل البروجستيرون	55-4
100	مقطع نسجي لرحم انثى ارنب يوضح التعبير السالب لمستقبل الاستروجين	56-4
104	مقطع نسجي من الفص الامامي لغدة نخامية تبين فيها عدم وجود حويصلات	57-4
105	مقطع نسجي من الفص الامامي لغدة نخامية لمجموعي الازالة الكاملة	58-4

قائمة المختصرات

المصطلح	المختصر
Alkaline phosphatase	ALP
Adrenocorticotropic hormone	ACTH
Dextrin plasticizer xylene	DPX
Estrogen	E
Estrone	E1
Estradiol	E2
Estriol	E3
Estrogen receptor	ER
Estrogen receptor alpha	ER- β
Estrogen receptor Beta	ER- α
Endometrium	E
Follicle stimulating hormone	FSH
Growth hormone	GH
Gonadotropin – relasing Hormone	GnRH
Hematoxylin & Eosin	H&E
Immunohistochemical	IHC
Luteinzing hormone	LH
Myometrium	M
Melanocyte – stimulating hormone	MSH
Malondialdehyde	MDA
5 – Nucleotidase	NTD
Ovariectomized	OVX
Ocular micrometer	OM
Progesterone receptor	PR
Progesterone	Pr
Prolactin	PRL
Perimetrium	p
Periodic Acid Schiff's stain	PAS
Reduced Glutathione	GSH
Trichrome Stain	Tri
Tris-bufferd salin	TBS
Thiobarbituric acid	TBA

الفصل الاول

المقدمة

Introduction

المقدمة Introduction

المبيض هو تركيب بيضوي الشكل يقع على جانبي الرحم ويرتبط به بواسطة مسراق المبيض Mesovarium ، يغطي سطحه طبقة من خلايا النسيج الطلائي المكعب البسيط Simple cuboidal epithelial tissue يدعى بالنسيج الظهاري السطحي Surface Epithelial Tissue ويليه نسيج ضام يدعى بالغلاف الابيض Tunica Albginea (غالي وخالد , 2014) . فالمبيض غده مختلطة Mixed gland تقوم بانتاج البيوض لذا فهي غدة خارجية الافراز Exocrine gland ومن جهة اخرى تقوم بانتاج هرمون الاستروجين وهرمون البروجستيرون فيعد غدة صماء داخلية الافراز Endocrine gland (Brijesh, 2013).

يتكون المبيض من القشرة Cortex والللب Medulla ، و تتالف القشرة من شبكة من نسيج ضام تدعى السدى Stroma كما تحتوي على الجريبات المبيضية Ovarian Follicles وتكون هذه الجريبات في مراحل مختلفة من التكوين (Young and MC Neilly ., 2010). اما اللب فيطلق على المنطقة المركزية للمبيض ، وتتالف من الارومات الليفية Fibroblasts المطمورة في شبكة غنية بالالياف الغراوية Collagen fibers كما يحوي اللب على اوعية دموية كبيرة و اوعية لمفاوية Lymph vessels والياف عصبية Nerve fibers (Gartner and Hiatt , 2014).

يقوم المبيض بافراز الهرمونات الجنسية الانثوية الاستروجين Estrogen والبروجستيرون Progesteron لذلك يعد ضرورياً لوظائف الرحم والغدد اللببية والحفاظ عليهما (العلوجي ، 2014). فللاستروجين دور مهم في نمو الغدد اللببية Mammary gland واستئصال القنوات الناقلة بين الحويصلات ، ونمو سدى بطانة الرحم (Preston and Wilson, 2017). وللبروجستيرون عدة وظائف منها يقوم بالتأزر مع هرمون البرولاكتين في نمو النظام الحويصلي-الفصيبي في الغدد اللببية (Conneely and Otto,2007) ويعمل مع هرمون الاستروجين على نمو الرحم وبطانته وعلى زيادة النشاط الافرازي للغدد الرحمية في الرحم (Brijesh, 2013) . تؤدي عملية استئصال المبايض Ovarectomized الى انخفاض في تركيز هذين الهرمونين وفقدان الدورة الحيضية ، وهذا يؤدي الى زيادة في مستويات الهرمونات المغذية للمناسل في الدم نتيجة للتغذية الاسترجاعية السالبة بين هرمونات الغدة النخامية والمبيض لإنتاج الهرمونات الستيرويدية Negative feedback mechanism (Christian and Moenter, 2010) .

ان عمليات استئصال المبايض تؤدي الى حصول حالة تدعى بسن الياس الجراحي (الأصطناعي) نتيجة للاخلال في مستوى تركيز هرموني الاستروجين و البروجستيرون (Sharman , 2011;Cox and Liu ,2014) ، حيث تتعرض أغلب السيدات لعدد من التداخلات

الطبية تؤدي إزالة المبايض جراحيا قبل بلوغ المرأة سن الياس مما يؤدي إلى اصابتها بأعراض اليأس المبكر ويحدث الامر نفسه اذا تعرض المبيضان للتلطف نتيجة التعرض للإشعاع او المعالجة بالأدوية المضادة للسرطان ، او بعض العلاجات الكيميائية (Ross *et al.*, 2004 ; Parrker,2010) .

ان ازالة المبايض جراحيا وانخفاض مستوى هرمون الاستروجين ما قبل سن الياس وما بعد سن الياس قد يكون سببا في تطور امراض سرطان الثدي (Sharman, 2011) Breast cancer .

تحدث عمليات ازالة المبايض لاسباب متعددة قد تكون بسبب امراض سرطانات المبيض Ovarian cancer (Schwatz, 1992 ; Worley & Welch, 2013) او بسبب تكيس المبايض او وجود كيس على المبيض او امراض سرطان الثدي (Parker *et al.*, 2009; Shelling,2010) .

الهدف من الدراسة Aim of this study

نظرا لأهمية مرحلة سن اليأس عند المرأة وتعرضها الى سن اليأس المبكر نتيجة للعمليات الجراحية ولما لها من تأثير من الناحية الصحية والنفسية لذا جاءت أهداف الدراسة الحالية كما يلي:

- استحداث سن الياس جراحيا من خلال ازالة المبايض أحاديا وثنائيا في إناث الأرانب المحلية لمراحل العذارى والمرضعات وأجراء الدراسات التالية:-
- دراسة التغيرات النسجية لنسيج الغدد اللبنية والرحم والغدة النخامية .
- دراسة كيمو نسجية للغدد اللبنية و الرحم.
- دراسة كيمو نسجية مناعية للغدد اللبنية والرحم والغدة النخامية .
- دراسة بعض القياسات النسجية للرحم والغدد اللبنية وتشمل قياس اقطار الحويصلات وعددها، وقياس سمك طبقات الرحم وبطانتها .
- قياس تركيز هرمونات الاستروجين Estrogen والبروجستيرون Progesterone و البرولاكتين Prolactin والهرمون المحفز للجريبات Follicle stimulating hormone (FSH) في مصل الدم وقياس تركيز هرمون اللوتيني (LH) Luteinizing hormone في مصل الدم ونسيج الغدة النخامية .
- قياس تركيز الكلوتاثيون (GSH) Glutathion وتركيز المالونديالديهيد Malondialdehyde (MDA) في مصل الدم وقياس مستوى تركيز انزيم الفوسفاتيز القاعدي Alkaline phosphatase (ALP) وانزيم Nucleotidase (NTD) – 5 في نسيجي الغدد اللبنية والرحم .

2- أستعراض المراجع Literature Review

1-2 المبيض Ovary

عضو التناسل في الاناث هو تركيب بيضوي الشكل يوجد في اسفل التجويف البطني في الناحية الظهرية ويقع على جانبي الرحم ويرتبط به بوساطة المسراق المبيضي Mesovarium , يلعب المبيض دورا مهما في التكاثر والنضج والاباضة . ويغطي سطح المبيض بطبقة من خلايا النسيج الطلائي المكعب البسيط Simple cuboidal epithelial tissue تدعى بالنسيج الظهاري السطحي Surface Epithelial Tissue ويليه نسيج ضام كثيف يدعى بالغلالة البيضاء Tunica Albuginea (Mescher , 2016).

اما في اناث الارانب يقع المبيض في نهاية الرحم ويكون بيضوي الشكل يرتبط بالجدار الظهري للحوض يبلغ طوله 3سم وعرضه 1.5 سم ، ويتالف المبيض من منطقة القشرة التي تتضمن الحويصلات في مراحل مختلفة والجسم الاصفر ومنطقة اللب التي تحتوي على العديد من الاوعية الدموية الشرايين والاوردة والاعوية اللمفاوية والاعصاب (Green et al ., 2008)

المبيض غده مختلطة Mixed gland حيث يقوم بانتاج البيوض فيعد غدة خارجية الافراز Exocrine gland كما يقوم المبيض بانتاج هرمون الاستروجين وهرمون البروجستيرون فيعد غدة صماء داخلية الافراز Endocrine gland (Crop et al., 2014) .

تتصل المبايض بالرحم Uterus وجدار الحوض Pelvic wall بوساطة الاربطة الساندة Supportive ligaments (Sokol , 2011) . يكون سطح المبيض قبل البلوغ املساً ناعماً ولكن بعد البلوغ وتكرار الاباضة يصبح المبيض مجعدا بسبب الندب التي تخلفها الحويصلات بعد انفجارها وبعد سن الياس ينكمش المبيض ويصغر حجمه (العلوجي , 2014 ; Findly et al., 2009).

يتكون المبيض من منطقتين رئيسيتين هما منطقة القشرة Cortex واللب Medulla ، إذ تشغل القشرة الجزء المحيطي للمبيض وتتالف من السدى Stroma التي تنتشر فيها الاوعية الدموية والالياف والجريبات المبيضية في مراحل مختلفة من نموها وكذلك وجود الاجسام الصفر Corpora Lutea (Young and MC Neilly ., 2010). اما اللب فيمثل الجزء المركزي للمبيض ويتكون من نسيج ضام مفك يتخلله العديد من الاوعية الدموية Blood vessels والاعوية اللمفاوية Lymph vessels والاعصاب (Kleeman and Silva , 2007; Samuelson, 2007) .

يعد المبيض احد الغدد الصماء العابرة Transient endocrine الذي له القابلية على انتاج هرمونات ستيرويدية Steroids hormone في الاناث ، لذلك يعد المبيض ضرورياً لوظائف الرحم والغدد اللبينية والحفاظ عليهما حيث كما أن له دور في اظهار الصفات الانثوية (Sokol , 2011) .

2-2 الهرمونات المبيضية Ovarian hormones

يقوم المبيض بافراز الهرمونات الجنسية الانثوية الاستروجين Estrogen والبروجستيرون Progesteron (العلوجي , 2014) .

1-2-2 الاستروجين Estrogen

الاستروجين (E) Estrogen من الهرمونات الجنسية الانثوية ، ويعد من مجموعة المركبات الستيرويدية ، يفرز في الاناث من انسجة المبايض بكميات كبيرة من خلال الخلايا الحبيبية Granulosa cells في الغمد الداخلي Theca interna وللجريات وكذلك من الجسم الاصفر Corpus luteum ، وبكميات ضئيلة من قشرة الكظرية Adrenal cortex في حالة الانثى غير الحامل ، اما عند حصول الحمل فالمشيمة Placenta تفرز كميات هائلة من هرمون الاستروجين (Norman and Henry , 2014) . ايضا يفرز هرمون الاستروجين من النسيج الدهني Adipose tissue والجلد Skin والكبد Liver (Gardner and Shoback , 2018) .

يكون نشاط هرمون الاستروجين تحت تأثير الهرمون اللوتيني (LH) Luteinizing hormone ويرتفع مستوى هرمون الاستروجين خلال عملية الاباضة Ovulation فاذا لم يتم الاخصاب لليبيضة ينخفض مستواه في الدم (Guyton and Hall, 2016) . إذ يوجد في الانثى ثلاث انواع من الاستروجينات الطبيعية في بلازما الدم هي الاسترون (E1) Estrone , الاستراديول (E2) Estradiol , الاسترول (E3) Estriol ويعد الاستراديول هو الاستروجين النشط الرئيس والاقوى فعالية قياسا بالاستروجينات الاخرى (Tamm et al., 2012) .

يكون هرمون الاستروجين مسؤولاً عن تطوير الجهاز التكاثري الانثوي واعادة بناء الاغشية المخاطية المبطنة بعد الدورة الحيضية واطهار الصفات الجنسية الثانوية وزيادة افراز قنوات فالوب ، كما يسبب هذا الهرمون نمو سدى بطانة الرحم وزيادة كمية الكلايوجين في بطانة الرحم والمهبل ، وللاستروجين دور هام في نمو الغدد اللبنية من خلال تطور انسجة السدى في الثدي وتمدد واستطالة القنوات الناقلة بين الحويصلات عند البلوغ (Preston and Wilson, 2017) . وايضا يزيد من انقسام الخلايا في النسيج الطلائي الجرثومي ، وكذلك يسبب الاستروجين زياده في حركة قناة المبيض Motility of the oviduct (Bustamant et al ., 2012) .

2-2-2 البروجستيرون Progesterone

هرمون ستيرويد ي يفرز في الانثى البالغة من الجسم الاصفر Corpus luteum إذ ينتج من الخلايا الحبيبية الصفراء Granulosa lutein cells (Ganong,2005) . إذ يكون مستوى هرمون البروجستيرون واطناً في الدم في اثناء النصف الاول من الدورة الشهرية ، و يرتفع مستواه في خلال الاشهر الاولى من الحمل (Ozlu *et al.*,2012)، ويفرز بكميات متساوية من المبيضين ، كما يفرز ايضاً من قشرة الغدة الكظرية ومن المشيمة بكميات كبيرة اثناء الحمل (العلوجي , 2014) . يعتمد تنشيط افراز هرمون البروجستيرون (Pr) Progesterone من الاعضاء المنتجة له على تأثير هرمون Luteinizing hormone (LH) الذي يفرز من الفص الامامي للغدة النخامية (Al-Asmakh, 2007) .

للبروجستيرون وظائف عديدة فيعمل على زيادة النشاط الافرازي للغدد الرحمية في الرحم ويزيد من تخزين الكلايوجين بها كما يعمل على التقليل من تقلصات العضلات الرحمية ، اضافة الى ذلك يعمل مع هرمون الاستروجين على نمو الرحم وبطانته فضلاً عن المساعدة في غرس الجنين فهو يعد هرموناً مهماً للحفاظ على ادامة الحمل ، و زيادة النشاط الافرازي المخاطي للخلايا الظهارية المبطنة لقناتي البيض ، وهذه الافرازات ضرورية لتغذية البيضة المخصبة التي تبدأ بعملية الانقسامات عند عبورها البوق وقبل انغراسها في بطانة الرحم ، كما يعزز هرمون البروجستيرون نمو النظام الفصيصي-السنخي للغدد اللبينية ويعمل مع الهرمونات الاخرى على نمو الفصيصات وتبرعم الحويصلات فتصبح ذات طبيعة افرازية (Henderson *et al.*,2015) .

3-2 إزالة مبايض ovariectomy

ان عمليات ازالة المبايض(OVX) Ovariectomized تؤدي الى حصول حالة تدعى بسن الياس الجراحي (الأصطناعي) نتيجة للاختلال في مستوى تركيز هرموني الاستروجين و البروجستيرون نتيجة لعدد من التداخلات الطبية ، اذ فإزالة المبايض جراحياً قبل بلوغ المرأة سن الياس يؤدي الى اصابتها بأعراض الياس المبكر ويحدث الامر نفسه اذا تعرض المبيضان للتلف نتيجة التعرض للإشعاع او المعالجة بالأدوية المضادة للسرطان او بعض العلاجات الكيميائية (Ross *et al.*, 2004 ; Parker,2010) .

تؤدي عملية استئصال المبايض الى انخفاض في تركيز هرمون الاستروجين وفقدان الدورة الحيضية ، وهذا يؤدي بدوره الى زيادة في مستويات الهرمونات المغذية للمناسل في الدم نتيجة للتغذية الاسترجاعية السالبة بين هرمونات الغدة النخامية والمبيض لإنتاج الهرمونات الستيرويدية . (Christian & Moenter, 2010) Negative feedback mechanism .

انخفاض مستوى هرمون الاستروجين بعد سن اليأس الطبيعي او الجراحي في الانسان او المستحدث في الحيوانات المختبرية يعد عامل خطورة في تطور امراض سرطان الثدي (Sharman, 2011) Breast cancer ، وكذلك قد يكون احدى العوامل المسببة لأمراض الجهاز القلبي الوعائي واحتشاء العضلة القلبية (Rivera *et al.*, 2009) Myocardial infraction وامراض اخرى كأمرض هشاشة العظام Osteoporosis ومرض الزهايمر (Rivera *et al.* , 2009 ; Haidong *et al.*, 2011).

تحدث عمليات ازالة المبايض لاسباب متعددة قد تكون بسبب امراض سرطانات المبيض او وجود كيس على المبيض او امراض سرطان الثدي (Parker *et al.*, 2009; Shelling,2010) Ovarian cancer (Schwatz, 1992 ; Worley & Welch, 2013) او بسبب تكيس المبايض وقد اشارت العديد من الدراسات الى ان عمليات ازالة المبايض في الحيوانات تؤدي الى الاختلال في ايض المواد الغذائية في الجسم وحصول حالة زيادة الشهية ثم الزيادة في وزن كتلة الجسم والاعضاء الحيوية مثل الكبد ، مما يؤدي الى فرط نمو النسيج الدهني وخلل في ايض العظام وحصول حالة هشاشة العظام (Omara *et al.*, 2009 ; Maclean *et al.*, 2010 ; Hamed *et al.* , 2010).

تعد مرحلة سن الياس هي المرحلة الاكثر ضعفا وتأثيرا على الصحة (Hickey *et al.*, 2005) وتتضمن هذه المرحلة اعراضا مثل الهبات الحرارية Hot Flashes التي تعترى المرأة خلال هذه المرحلة والتي يعتقد بأنها (صرع حركي وعائي) Vasomotor episodes والتعرق الليلي وقلة في الافرازات المهبلية (Nelson , 2008) ، والارق والقلق عند النوم وتقلب المزاج وارتفاع معدلات الكآبة النفسية Depression ومشاكل في الجهاز البولي التناسلي (Shuster *et al.*, 2008) ، ذلك بسبب الاضطراب في مستويات هرمونات المبيض (Cox and Liu ,2014) .

4-2 المستقبلات Receptors

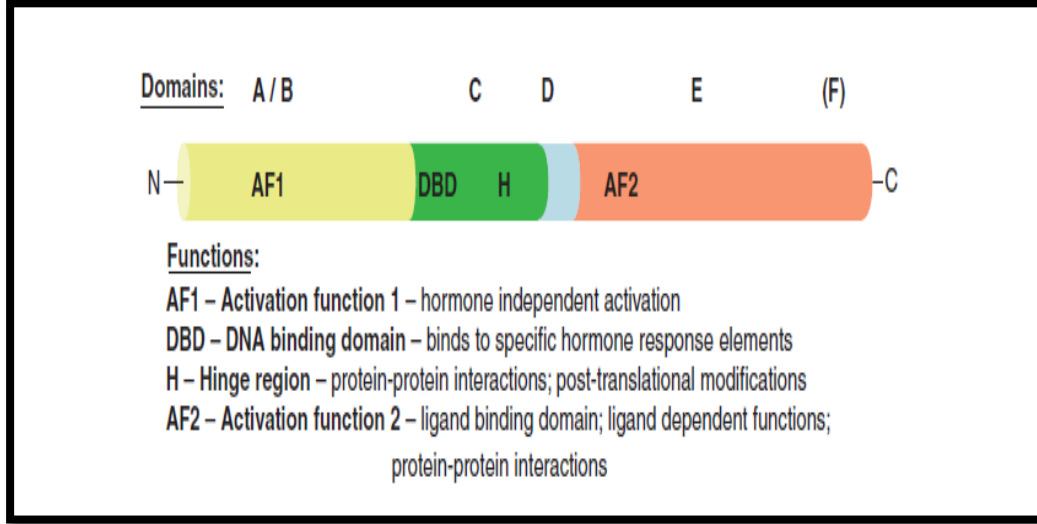
تتطلب الانشطة الخلوية للهرمونات ارتباط الهرمون بمستقبله الخاص ، اذ تتميز هذه المستقبلات بامتلاكها ميل للأرتباط بتلك الهرمونات ، كما ان ارتباطها قابل للرجوع بسهولة وقابل للاشباع ويكون نوعياً (مختصاً) . تأخذ المستقبلات موقعا ضمن الخلية اما في داخل الساييتوبلازم او ضمن النواة كما في مستقبلات عائلة (steroid – Thyroid Retinoid) (Kuiper *et al.*, 1997 ; Skafar and Zhao, 2008).

تتم الفعاليات الحيوية للاستروجين بوساطة نواتج اثنان من الجينات ضمن عائلة المستقبلات النووية هما (ER- α و ER- β) . تعود مستقبلات الأستروجين الى مستقبلات العائلة النووية الاسترودية والتي تعمل على تنشيط عوامل الاستنساخ المجندة (Mangelsdorf *et al.*, 1995; Ellmann *et al.*, 2009) Ligand – transcription factors . يتكون مستقبل الاستروجين الفا من 595 حامض اميني وله وزن جزيئي مساوي الى 66 KD (كيلو دالتون) ، ويتكون وظيفيا من ثلاث مناطق هي :

- 1- غير المعتمد وظيفيا على الهرمونات Hormones – independent activation function 1 (AF1 domain) .
- 2- المرتبط وظيفيا مع جزئية ال DNA DAN – binding function (DBD domain) .
- 3- المعتمد وظيفيا على الهرمونات Hormones – dependent activation function 2 (AF2 domain)

كما يتكون من ست مكونات فرعية متوافقة مع المناطق الوظيفية كما موضح في

شكل (1-2) .



شكل (1-2) يوضح المناطق الوظيفية في مستقبل هرمون الاستروجين ; (Briskin and O'Malley, 2010 ; Skafar and Zhao , 2008)

يكون تأثير كلا نوعين من مستقبلات الاستروجين كمحفزات للتمايز للاعضاء التكاثرية كما لها الميل نفسه للارتباط مع الاستروجين (Drummond *et al.* , 1999) . وبالرغم من وجود بعض الاختلافات المعنوية للاحماس الامينية في بعض مواقع تلك المستقبلات ، الا ان لهما نفس التأثير على فعالية الاستنساخ (Hall and McDonnell, 1999). يتم التعبير عن مستقبلات الاستروجين في خلايا عدة منها خلايا الغدد اللبئية والرحم وعنق الرحم وقناة البيض والمهبل وكذلك في تحت المهاد والغدة النخامية في الانسان وللكتير من الحيوانات (Brodowska *et al.* , 2011 ; Sagsoz *et al.* , 2011 ; Knapczyk-Stwora *et al.* , 2007 ;

لمستقبل الاستروجين ER- α دور مهم في تنظيم تطور الغدد اللبئية ، حيث يعبر عنه في كل من النسيج الظهاري والسدى للغدد اللبئية (Li *et al.* , 2010) والذي له دور مهم في استطالة القنوات اللبئية كما أن له دور مباشر او غير مباشر في التفرع الجانبي لها وتكون الحويصلات Alveogenesis ، كما يلعب دوراً مهماً في عملية تطور الغدد اللبئية خلال مرحلتي الحمل والرضاعة (اي ان له دور في تكاثر و تمايز وحفظ خلايا النسيج الطلائي المبطن لتجويف الحويصلة) (Mallepell *et al.* , 2006 ; Feng , 2007 ; Heldring *et al.* , 2007)

من جهة اخرى فأن الدور الوظيفي لمستقبل ER- β في النسيج الطلائى والسدى في الغدد اللبنية مايزال غير معروف على الرغم من وجود نسبة عالية من التعبير .

(Ellmann *et al.*, 2009 ; Li *et al.*, 2010 ; Pelekanou and Leclercq , 2011)
حيث لوحظ في الانسجة اللبنية المزالة منها تعبير مستقبل الاستروجين بيتا ER- β / receptor deficient mammary tissue (ERBKO) – أن تطور الغدد اللبنية كان طبيعياً نسبياً مما يؤكد على الدور الرئيس و الفعال لمستقبل ER- α في تطور الغدد اللبنية (Forster *et al.*, 2002 ; Nilsson and Gustafsson , 2010) .

يحث هرمون الاستروجين ايضاً تعبير مستقبل البروجستيرون (PR) من خلال مستقبل استروجين الفا ER- α وهذا يفسر دور ER- α في عملية تطور الحويصلات في الغدد اللبنية (Lamote *et al.*, 2004 ; Brisken and Rajaram , 2006 ; Feng, 2007) .

كما ينظم هرمون البروجستيرون عدداً كبيراً من العمليات البايولوجية في انسجة الجسم من خلال عمل مستقبلات البروجستيرون (PR) Progesterone receptor ، التي تتم من خلال التفاعل بين الهرمون مع المستقبلات المتماثلة ، ويوجد مستقبل البروجستيرون بشكلين متماثلين هما PR-A و PR-B وهذان البروتينان متماثلان باستثناء امتلاك PR-A الاصغري التركيب على 164 حامضاً امينياً عند المحطة النهائية N مقارنة مع بروتين مستقبل PR-B الاكبر (Richer *et al.*, 2002).

يتميز هرمون البروجستيرون من خلال مستقبلات البروجستيرون الموجودة على الخلايا الظهارية للغدد اللبنية والتي تكون مهمة في عملية التكوين الفصيبي – السنخي للغدد اللبنية (Wiehel *et al.*, 2011) . في النساء يمكن الكشف عن مستقبلات PR في الخلايا الظهارية للغدة اللبنية في مراحل الدورة الشهرية كلها اما في مرحلة ما قبل سن الياس Premenopausal يكون مستقبل البروجستيرون هو المستقبل المهيمن في 12-29 % من الخلايا الظهارية مقارنة مع مستقبل الاستروجين الموجود في 3-10 % من الخلايا (Conneely *et al.*, 2002) . اما بعد سن الياس فيزداد تعبير مستقبل الاستروجين في الثدي الطبيعي مع وجود بضع خلايا الموجبة لمستقبل البروجستيرون (Mulac-Jericevic and Conneely, 2004) .

5-2 الغدد اللبنية mammary gland

الغدد اللبنية من الغدد الجلدية العرقية المتحورة ، توجد في الاناث والذكور على حد سواء (Watson and Khaled , 2008 ; Hassiotou and Geddes , 2013) . تتطور الغدد اللبنية في الاناث وتصبح وظيفية حيث تقوم بتزويد المولود بالحليب والذي يعد المادة الاساس في التغذية و المكون من بروتينات protein ودهن الحليب Lipid واللاكتوز Lactose والمعادن والفيتامينات وتوفير الاجسام المضادة antibodies . (Hassiotou et al., 2012 ; Skibi el et al.,2013 ; Mescher, 2016) .

تعد الغدد اللبنية تركيباً مميزاً في اللبائن تنجز مهمه فريده وهي افراز وتحرير الحليب بكميات كافية من الام الى الوليد خلال شبكه واسعه من القنوات المتفرعة (الحاج, 2013) . يختلف موقع الغدد اللبنية باختلاف الحيوانات ، بعضها صدرية Thoracic كما في الانسان والفيلة ، وبعضها بطنية Abdominal كما في الخنازير , وبعضها اربية Inguinal كما هو في الابقار والماعز والاغنام , اما في الجرذان والفئران والارانب فتتواجد الغدة اللبنية في المناطق الثلاث للجسم (الصدرية والبطنية و الاربية) (Hovey et al ,2002) . ان التركيب النسجي للغدد اللبنية يختلف تبعاً لاختلاف الجنس والعمر والحالة الفسلجية (Mescher , 2016).

الغدد اللبنية من الغدد الانبوبية الحويصلية المركبة Compound Tubulo alveolar تتألف من (15-25) فصا Lobe ويعد كل فص غده مستقلة تحتوي على قناة لبنية يبلغ طولها حوالي (2-4) سم ، وينفصل كل فص عن الاخر بنسيج ضام كثيف غير منتظم (السدى Stroma) مع الكثير من النسيج الدهني Adipose Tissue و تختلف كثافة النسيج الدهني باختلاف الحالة الفسلجية للغدة اللبنية فكلما زادت فعالية الغدة اللبنية قل النسيج الدهني فيها وبالعكس (Martin et al., 2017).

يحتوي النسيج الرابط الموجود في الغدد اللبنية على العديد من الخلايا الخاصة بهذا النسيج وخاصة البلاعم Macrophages (O'Brien et al.,2012) والارومات الليفية Fibroblasts والخلايا اللمفاوية Lymphocytes والخلايا البدينة Mast cell وخلايا Plasma cells التي تزداد بشكل ملحوظ عند نهاية الحمل وتكون مسؤولة عن افراز الغلوبولين المناعي (Guyton and Hall ,2016) .

يتألف كل فص من مجموعة فصيصات Lobules وكل فصيص مكون من مجموعة حويصلات Alveoli حيث تعد هذه الحويصلات الوحدة الأساسية والوظيفية للانسجة المفترزة في الغدد اللبنية. تبطن الحويصلات بطبقة واحدة من الخلايا الظهارية المكعبة البسيطة الفارزة للحليب المستندة على الغشاء القاعدي والتي تحيط بفجوة الحويصلة وتكون مسوولة عن افراز الحليب الى تجويف الحويصلات، تحوي ايضا على الخلايا الظهارية العضلية Myoepithelial cell التي تكون ذات طبيعة تقلصية وتساعد على النقل وافراز الحليب اثناء الرضاعة تقع بين الخلايا الظهارية والغشاء القاعدي (Gartner and Hiatt, 2014). وتعد هذه الخلايا من العناصر التقلصية Contractile elements للغدد اللبنية فلا بد للحليب من ان يقذف من الحويصلات الى القنوات اللبنية قبل ان يحصل عليه الرضيع وتسمى هذه العملية بافراز الحليب Milk secretion (Magi et al., 2002; Oftedal, 2012). كما تحاط الحويصلات بطبقة من الانسجة الرابطة الحاوية على شبكة من الاوعية الدموية الدقيقة كالشرايين Arterioles والاوردة Venules التي توفر المواد الغذائية الاساسية اللازمة للخلايا الافرازية لتكوين الحليب وتقوم هذه الاوعية بازالة الفضلات المختلفة يمتلك كل فص القنوات اللبنية الافرازية Lactiferous duct والقنوات بين الفصيصات Intralobular duct (Peaker, 2002; Hartmann, 2007).

يفرز الحليب في الحويصلات بوساطة هرمون الاوكسيتوسين Oxytocin الذي يفرز من الفص الخلفي للغدة النخامية posterior Pituitary gland وذلك من خلال الاشارات العصبية والميكانيكية الناشئة عن طريق الرضاعة Lactation والتي تصل الى تحت المهاد Hypothalamus، ينتقل الايعاز للغدة النخامية الخلفية ليعزز افراز هرمون الاوكسيتوسين الذي يحمل بوساطة مجرى الدم الى مستقبلات الاوكسيتوسين في الغدد اللبنية ويحفز على تقلص الخلايا العضلية الظهارية Myoepithelial Cell الموجودة بين الحويصلات مسببا ادرار الحليب Milk ejection من الحويصلات الى القنوات ومن ثم يخرج من الحلمة Nipple (Marya, 2010; Guyton and Hall, 2016).

الغدد اللبنية قبل البلوغ تكون غير متطورة وتتكون من العديد من التفرعات الأولية للأقنية اللبنية الإفرازية Lactiferous ducts في حين لا يوجد اي تطور سنخي -فصيصي Lobulo-alveolar (Mescher, 2016).

تمثل الغدد اللبنية في الاناث خلال مرحلة البلوغ Puberty احدى مميزات الجنس الثانوية، حيث يكبر الثدي بالحجم نتيجة لتراكم النسيج الدهني وزيادة في تكوين النسيج الضام مع الزيادة في نمو وتفرعات القنوات اللبنية Lactiferous ducts حيث تحاط كل القنوات بالنسيج الظهاري المكعب البسيط (McNally and Martin, 2011; Mescher, 2016).

خلال مرحلة البلوغ تنمو الانسجة الظهارية اللبينية في الاناث وتتفرع في كل مكان في الوسادة الدهنية اللبينية (Guyton and Hall,2016). ان الغدد اللبينية في هذه المرحلة تكون خاضعة لانقسام الخلايا تحت تاثير الهرمونات الستيرويدية الجهازية وذلك من استطالة القناة وزيادة نموها ، وتفرع القنوات اللبينية نتيجة ارتفاع في هرمون الاستروجين المبيضي (Asselin- Labat *et al.*, 2010) .

يعد هرمون البروجيسترون من الهرمونات التي لها دور رئيس في تطور الغدد اللبينية في سن البلوغ وذلك من خلال حثه على تكوين التفرعات الجانبية لقنوات الغدد اللبينية في الدورة المبيضية وفي المراحل المبكرة للحمل (Briskin and O'Malley, 2010) . اما خلال المراحل المتقدمة من الحمل يحدث التطور الاكبر للغدد اللبينية وتتحكم فيها العديد من الهرمونات ، حيث يكون بطيء في بداية الحمل ثم يزداد النمو خلال فترة الحمل المتقدم ، تخضع الغدة اللبينية الى تغيرات تركيبية بسبب عمل الكثير من الهرمونات ويتحول الثدي تدريجيا الى جهاز وظيفي ناضج تماما نتيجة لعمل الهرمونات وخاصة هرمون الاستروجين وهرمون البروجيسترون (Tamm *et al.*, 2012) ، و خلال النصف الاول من الحمل تخضع القنوات الطرفية بين الفصيصات للتكاثر وتشكل البراعم الطرفية التي تتميز الى الحويصلات alveole (Junqueira and Carneiro, 2005) .

ان هرمون الاستروجين من الهرمونات المهمة لنمو الغدد اللبينية يعمل على تحفيز استطالة قنوات الحليب وتطور انسجة السدى في الثدي , وتراكم الدهون في الثدي ، اما البروجيسترون يحث على التفرعات القنوية والنمو الفصيصي السنخي Lobulo alveolar للغدة اللبينية وتطور الخواص الافرازية للخلايا الحويصلية حيث يعمل البروجسترون بالتناسق بصوره خاصة مع الاستروجين و هرمون البرولاكتين وهرمون النمو لإكمال النمو الفصيصي السنخي الذي يصبح ناضجا عند بدايه الإرضاع وتبرعم الحويصلات (Henderson *et al.*,2015) . ويحفز تكوين التراكيب السنخية التي تنتج الحليب بعد الولادة تحت تاثير هرمون البروجيسترون وهرمون البرولاكتين خلال مدة الحمل (Capecch , 2005) .

تخضع الغدة اللبينية للنمو والتمايز بسبب تاثير هرمون البرولاكتين الذي يفرز من الفص الامامي للغدة النخامية Anterior pituitary gland من خلايا Mammothrophs الذي يحفز تفرع القنوات بين الفصيصات ويعزز نمو النظام الفصيصي – السنخي ويبدأ انتاج الحليب اثناء الحمل ، وبالتأزر مع هرمون البروجيسترون يشكل العديد من الحويصلات اللبينية التي تتضخم خلال مرحلة الرضاعة حيث يعمل على تحفيز ادرار الحليب من الغدة اللبينية والمحافظة على استمرار انتاج الحليب وادراره (Oakes *et al.*, 2006 ; Chen *et al.*,2012) .

خلال مرحلة الحمل يتحول النسيج الغدي الى نسيج افرازي، وتخصص الخلايا الظهارية وتقوم بوظيفة الافراز حيث يزداد التفرع للقنوات النهائية للجهاز القنوي وظهور الاسناخ في نهاياتها (Oakes *et al.*, 2006). في بداية الحمل يتكون اول فصيص مكون من عدة اسناخ دائريه تحوي تجويفا ضيقا ويبطن بخلايا ظهارية عمودية , اما في النصف الثاني من الحمل فتنمو الاسناخ ويتطور كذلك النظام القنوي استعدادا للرضاعة ،فالحويصلات اللبنية تصبح على شكل عناقيد Clusters تتمدد بسبب ضغط الخلايا الظهارية الفارزة للحليب (Briskin,2002; Junqueira and Carneiro, 2005 ; Katica *et al* ,2012). و نظراً لتوسع الفصيصات يقل حجم النسيج الدهني تدريجيا الى ان يختفي في نهاية الحمل ، وتقل الانسجة الضامة الموجوده بين الفصيصات ويكون النمو الفصيصي –السنخي Lobulo alveolar development قد اكتمل في نهاية فترة الحمل ، بالإضافة إلى ذلك فإن الغدد اللبنية تخضع للنمو والتمايز بسبب هرمون البروجستيرون وهرمون الغدة النخامية البرولاكتين واللاكتوجين المشيمة Placental Lactogen وقشرة الغدة الكظرية هذه الهرمونات تحفز تكاثر وتفرع القنوات بين الفصيصات Interlobular وتشكل العديد من الحويصلات اللبنية التي تخضع للتضخم أثناء فترة الرضاعة وتصبح موقعا فعالاً ونشطاً لإفراز الحليب (Neville *et al*,2002 ; Cadar *et al*, 2012).

اما خلال فترة الرضاعة Lactation فيبدأ تطور الغدد اللبنية مع بدء الرضاعة بسبب وجود عدد كبير من الحويصلات اللبنية التي تحوي انماطاً مختلفة من التفرعات غير النظامية تمتلك الخلية الافرازية المبطنه للحويصلات شبكة أندوبلازمية خشنة ومايتوكوندريا والعديد من مجاميع كولجي وقطرات الدهون والكثير من الحويصلات التي تحتوي على اللاكتوز و الكازين (Akers and Dendow , 2013; Martin *et al.*, 2017). حيث يقل النسيج الضام ويصبح مختزلاً ويزداد اعداد الحويصلات المتوسعة التي تظهر تفرعاتها غير المنتظمة الشكل ، والحويصلات تكون مملوءة بالافرازات وتبطن بالنسيج المكعبي ذي الخلايا الافرازية النشطة تتضمن قطيرات الدهن وحببيات البروتين ، كما يحدث توسع في الاوعية الدموية داخل السدى لتوفير كميات كبيره من الطاقة والاحماض الامينية والسكريات اللازمه لانتاج الحليب ، ان هذا التغير في الحجم وفي اعداد الحويصلات يساهم في زيادة الافرازات الحويصلية ، بسبب الزيادة في حجم النسيج الظهاري الغدي تتخفف كميات الانسجة الرابطة

(Pang and Hartmann, 2007; Capuco & Akers,2009 ; Oftedal , 2012).

6-2 الرحم Uterus

يعد الرحم جزءاً مهماً من الجهاز التناسلي الأنثوي وهو يمثل المكان المناسب لاستقبال البويضة المخصبة وتغذيتها وحماية الجنين حتى الولادة (Sokol,2010). وهو عضو عضلي كمثري الشكل مسطح قليلاً يقع داخل التجويف البطني وطوله 7.5 سم وعرضه 5 سم. ويمكن تمييز جزأين كبيرين، الجزء العلوي المتوسع ويدعى جسم الرحم Corpus Uteri والذي يتصل بقناتي فالوب، والجزء السفلي الاسطواني الشكل يدعى بعنق الرحم Cervix والذي يتصل بالمهبل، يكون الرحم مسؤول عن مجموعة من الوظائف مثل الحمل والحيض والولادة. نسيجياً يتألف جدار الرحم من ثلاثة طبقات رئيسية هي البطانة الداخلية الرحم Endometrium وعضل الرحم Myometrium والطبقة المصلية Serosa، تتألف بطانة الرحم من نسيج طلائي عمودي بسيط Simple columnar epithelial tissue الذي يبطن تجويف الرحم ونسيج ضام ملئ بغدد بسيطة انبوية مستقيمة simple straight tubular gland لها قناة ضيقة تسمى بالغدد الرحمية Uterine gland، إما الطبقة العضلية للرحم فتكون مؤلفة من طبقتين من الألياف العضلية الملساء مرتبة بشكل حزم مفصولة بعضها عن بعض داخلية دائرية وخارجية طولية بينهما العديد من الأوعية الدموية الكبيرة. خلال مرحلة الحمل وتحت تأثير الاستروجين تزداد عضلة الرحم في الحجم بشكل كبير نتيجة لفرط التنسج والتضخم، أما الطبقة المصلية تعد آخر طبقات جدار الرحم إلى الخارج وهي غشاء مصلي متصل بالصفاق (Fawcett and Jensch, 2002; Eurell and Frappier, 2006; Sokol,2010; Gartner and Hiatt,2014).

في إناث الأرنب يكون الرحم من نوع ثنائي التفرع يتألف من قرني الرحم المنفصلة ولا يحتوي على الجسم الرحمي ويفتح قرني الرحم في المهبل (Bitto et al., 2006)، بطانة الرحم في الأرنب تبطن بنسيج طلائي عمودي بسيط، ويبلغ طول الرحم في الأرنب حوالي 8.07 ± 409 سم (Rastogi, 2005; Al-Jehashi, 2011).

تعد بطانة الرحم بوصفها إحدى الغدد الصماء Endocrine glands إذ تقوم بإنتاج عدة هرمونات وعوامل نمو و سايوتوكينات، إلا أن المهمة الرئيسية لها هي أن تسمح لانغراس الجنين في الوقت المناسب وتوفير البيئة المناسبة لانجاح الحمل كما أن لها القابلية على تدمير نفسها عند عدم حدوث الحمل (Johnson and Everitt, 2000).

تتكون بطانة الرحم من طبقتين قاعدية و وظيفية ، الطبقة القاعدية تكون متاخمة لعضل الرحم وتبقى بعد الحيض وتخضع لتغيرات محدودة اثناء الدورة الحيزية (Aplin *et al.*, 2008) ، اما الطبقة الوظيفية تكون حساسة للغاية ومستجيبة لهرمون الاستروجين والبروجستيرون ويتم التخلص منها اثناء الحيض (Tabibzadeh,1998) . أما في الثدييات فسمك بطانة الرحم والتغيرات التي تحدث فيها تكون تحت سيطرة هرمونات المبيض الاستروجين Estrogen والبروجستيرون Progesterone (Caligioni, 2009). ان الانسجة الرابطة المتخصصة والتي تقع تحت البطانة تحتوي على أمدادات غنية من الاوعية الدموية (Harris, 2007) . حيث يجهز الرحم بكمية كبيرة من الدم .

يفرز هرمون الاستروجين من خلال خلايا الحبيبية للجريب والجسم الاصفر والذي يُحدث تغييرات في بطانة الرحم وتطوير غدده ، و يرتفع مستوى الهرمون ويهبط في اثناء النصف الاول من الدورة ، ويتسبب عند هبوطه ثخن بطانة الرحم ، وعندما يصل الى الذروة وبالتعاون مع هرمون البروجستيرون يجعل بطانة الرحم اسفنجية فتتسع الغدد الموجودة في بطانة الرحم في مرحلة الافراز ، ويبدأ في افراز المواد المغذية للجنين ، ان هرمون البروجستيرون ضروري لنشوء الحمل والحفاظ عليه في كل اللبائن ،اذ يعمل على زيادة النشاط الافرازي للغدد الرحمية وزيادة المدد الدموي، وتقليل تقلصات عضلات الرحم والمساعدة في غرس الجنين (Bazer *et al.* , 2010) .

7-2 الغدة النخامية Pituitary gland

الغدة النخامية هي عضو صغير من الغدد الصماء تقع اسفل الدماغ في انخفاض عظمي يدعى السرج التركي Sella Turcica ، تحت التصالبة البصرية Optic chiasm وتعد الغدة الرئيسية في الجسم ، تكون اساسا لتطوير او نمو وظائف العديد من الاعضاء الاخرى في الجسم Kellberman (2009, *et al.*) . تتألف الغدة النخامية من قسمين رئيسيين هما النخامية الغدية Adenohypophysis والنخامية العصبية Neurohypophysis ، ان النخامية الغدية (الفص الامامي) يتكون من الجزء القاصي Pars distalis ويشكل اغلب كتلة النخامية الغدية ، والجزء الوسطي Pars intermedia ، والجزء الحديبي Pars tuberalis (Mollard *et al.*, 2012) ; (Greaves, 2007) . تتألف النخامية العصبية من الجزء العصبي Pars nervosa والقمع Infundibulum والبروز الوسطي Median eminence ، تتعلق الغدة النخامية من منتصف الخط الوسطي البيني للدماغ عند منطقة تحت المهاد Hypothalamus بوساطة ساق وهو امتداد من

البروز الوسطي من منطقة تحت المهاد ويشكل الجزء الداني من النخامية العصبية (Bancalari *et al.*,2012).

تقع الغدة النخامية في الارانب عند قاعدة الدماغ قرب منطقة التصالب البصري والعصب القحفي الثالث يحيط بها جانبيا ، اما العظم الوتدي فيحيط بها من السطح السفلي. الغدة النخامية عبارة عن كتلة تميل الى ان تكون بيضوية في الارانب في حين تكون كروية واكثر تسطحا في خنزير غينيا (AL – sinjary,2012) .

تعد الغدة النخامية العضو المهم في نظام الغدد الصماء حيث يرتبط الفص الامامي منها بتحت المهاد عن طريق البروز الوسطي لتحت المهاد حيث تحتوي هذه المنطقة على الخلايا العصبية التي تنظم افراز النخامية الغدية ، وتبرز من البروز الاوسط اوعية تتحد مع بعضها لتكون ظفيرة من الاوعية البابية في السويقة النخامية والتي تمد الغدة النخامية بكل احتياجاتها من الدم تقريبا (Porter *et al.*,2008) ، توجد عصبونات خاصة في تحت المهاد تصنع وتفرز الهرمونات المحررة والمثبطة التي تتحكم في افراز هرمونات النخامية الغدية (Mescher, 2016) .

يقوم تحت المهاد بافراز ما يسمى بالهرمونات العصبية التي تعد هرمونات محررة Releasing Hormones وهذه الهرمونات اما ان تكون عوامل محفزة Releasing factors او عوامل مثبطة Inhibiting factors وتؤثر هذه الهرمونات على الفص الامامي من الغدة النخامية عن طريق اما تحفيز واما تثبيط عمل وافراز هرموناتها ، الهرمون المفرز من تحت المهاد هو اما ان يكون محفزا لافراز هرمونات الفص الامامي للغدة النخامية او مثبطا لها (Bancalari *et al.*,2012) والجزء الوسطي من النخامية الغدية يرتبط مباشرة مع النخامية العصبية (Mcklveen,2002). و يعد كل فص عبارة عن غدة صماء منفصلة في وظائفها عن البعض الاخر من ناحية الوظيفة الافرازية وانواع الهرمونات المفرزة (العلوجي ،2014) .

يتميز الفص الامامي بكثرة الاوعية الدموية الشعرية المحيطة به ، تفرز خلايا الفص الامامي عدداً من الهرمونات التي تعمل على تنظيم كثير من الوظائف في الجسم بما في ذلك النمو و التكاثر و النضج ، و يتكون الجزء الامامي من خمسة انواع من الخلايا الفارزة للهرمونات هي الخلايا الجسمية Somatotropic cells وتفرز هرمون النمو Growth hormone (GH) وخلايا الموجهة القشرية Corticotropic cells تفرز هرمون الموجه لقشرة الكظرية Adrenocorticotropic hormone (ACTH) وخلايا الدرقية Thyrotropes وتفرز هرمون الغدة الدرقية – Thyroid Stimulating Hormone وخلايا الحليب Lactotropes تفرز هرمون الحليب Prolactin

(PRL) والخلايا الموجهة للقتد Gonadotropic cells والتي تفرز الهرمون اللوتيني Follicle stimulating hormone (LH) Luteinizing hormone والهرمون المحفز للجريب (FSH) هنالك خلايا في الجزء الامامي للنخامية تنتج اكثر من هرمون واحد مثلا تفرز الخلايا المحرصة للقتد الهرمون اللوتيني بالإضافة الى الهرمون المحفز للجريبات في الخلية نفسها (Plant, 2008 ; Wen,2010).

اما الفص الخلفي للغدة النخامية فيفرز اثنين من الهرمونات هما هرمون الاوكسيتوسين Oxytocin وهرمون الفاسوبرين Vasopressin (Chaudhary and Bano, 2011) ، ولهرمون الاوكسيتوسين دور في تحفيز تقلص العضلات الملساء Smooth muscle في عملية الولادة Partaurition وافراز الحليب خلال فترة الرضاعة (Wen , 2010) .

اما الفص الوسطي Intermediate lobe فيحتوي على خلايا الصبغة Melanotropes والتي تنتج هرمون المحفز للخلايا الصبغية Melanocyte – stimulating hormone (MSH) الذي يحفز انتاج وتحرر صبغة الميلانين Melanin في الجلد والشعر (Mescher, 2016) .

7-2- 1- الهرمونات المحررة للغدة التناسلية

Gonadotropin – Relasing Hormone (GnRH)

هرمونات تصنع وتحرر من قبل عصبونات تحت المهاد وهي المسؤولة عن تحرير الهرمون المحفز للجريبات (FSH) والهرمون اللوتيني (LH) من الفص الامامي للغدة النخامية Anterior pituitary gland ولهذه الهرمونات تأثير مباشر على افراز الهرمونات التناسلية من خلال تحفيز الغدة التناسلية المسؤولة عن تصنيعها وافرازها (المبايض في الاناث والخصيتين في الذكور) لانتاج الهرمونات الانثوية والذكورية وتنظيم انتاج الامشاج (البويضات والحيوانات المنوية) (Dungan and Cliflon, 2006; Mollard et al, 2012) . أن الهرمونات المتحررة من محور تحت المهاد – النخامي – القندي تكون مسؤولة عن مبدأ تنظيم التكاثر والسيطرة على الدورات الانجابية أو التكاثرية للاناث ، وتدعى ايضا بالمحور الهرموني تحت المهادي – النخامي – المبيضي (Ferin, 2008) Hypothalamo- Pituitary – Ovarian hormone Axis وهي تنظم عملية الاباضة بعدد من الهرمونات المفترزة من المناسل التي تقوم بتنظيم افراز الهرمونات المحررة

للهرمونات الموجهة للقتد (GnRH) Gonadotropin releasing hormone والتي تؤثر في النخامي الغدي حيث تقوم بافراز كل من الهرمون المحفز للجريب FSH والهرمون اللوتيني LH اللذين يوديان دورا مهما في نمو الجريبات وعملية الاباضة (Charlton, 2008) .

تعود هذه الهرمونات الى عائلة الهرمونات السكرية البروتينية Glycoprotein التي تتميز بتركيبها البروتيني الكاربوهيدراتي اللازم للنشاط الحيوي و تحتوي الهرمونات المغذية للمناسل على 92 حامض اميني ، ويبلغ الوزن الجزيئي لل FSH و LH 34000 و 27000 دالتون على التوالي يتم افراز الهرمونات الموجهة للقتد (FSH,LH) من الغدة النخامية عبر ميكانيكة التغذية الراجعة السالبة Feed back mechanism بين كل من التأثير المباشر في تحت المهاد مما يودي الى تثبيط افراز (GnRH) ومن ثم تثبيط افراز الهرمونات الموجهة للقتد أو من تأثيرها في النخامي الغدي المباشر (Ganong, 2005) .

ويعد هرمون LH المسؤول عن احداث الاباضة و تكوين الجسم الاصفر مما يودي الى افراز الهرمونات الستيرويدية Estrogen و Progesterone من المبيض عند الاناث (Sugino *et al.*, 2005) ، أما في الذكور فهو يساهم في زيادة تصنيع وافراز هرمون Testosterone من الخصية (Roser,2008) .

اما هرمون FSH فيعد المسؤول عن إفراز هرمون Estrogen من المبيض في الإناث بالإضافة إلى مساهمته في عملية نمو تطور الحويصلات المبيضية (Jiang *et al.*, 2012) .

يساعد هرمون LH في التطور النهائي للحويصلة الناضجة ويسهل انتاج الاستروجين من الحويصلات الواقعة تحت تأثير FSH وهذه الاستروجينات تفرز من خلايا البطانة الداخلية Theca Interna للحويصلة كما تفرز من خلايا الطبقة المحببة بكميات قليلة وزيادة إفراز الـ LH من الغدة النخامية يؤدي إلى تمزق الحويصلات وخروج البويضات وبعد عملية الاباضة يُعد الـ LH مسؤولاً عن تكوين الجسم الأصفر مكان الحويصلات المبيضية (Russell and Robker,2007) .

يحفز هرمون FSH على افراز الهرمون المثبط والذي بدوره يتحكم بافراز الهرمون المحفز للجريبات عن طريق آلية التغذية الاسترجاعية (Vadakkadath and Feed back mechanism Atwood,2005; Macklon & Fauser, 2005). ان انتاج الستيرويدات يقل عند سن الياس بصورة كبيرة مما ينتج عنه زيادة في مستوى هرموني LH و FSH عن طريق الية التغذية

الاسترجاعية (العلوجي، 2008) . لذا فإن تركيز البلازما لـ LH و FSH تكون مرتفعة بعد سن الياس كمؤثرات تثبيطية للستيرويدات الجنسية (Hadley,2000).

2- 8 هرمون البرولاكتين Prolactin Hormone

البرولاكتين هرمون ببتيدي يصنع ويفرز بواسطة الغدة النخامية الامامية Anterior pituitary gland وخاصة من الخلايا الموجهة للثدي Mammothrophos التي هي خلية حمضية Acidophilic cell كما ينتج هرمون البرولاكتين من خلايا الجسم الاخرى بشكل واسع مثل الخلايا المناعية Immune cell والدماغ Brain والرحم Uterus والغدد اللبنية Mammary gland (Gardner and Shoback, 2018) . يعمل البرولاكتين على تطور الغدد اللبنية للبدء بانتاج الحليب ويعزز تنمية النظام الفصيصي – السنخي بالتازر مع هرمون البروجستيرون كما يقوم بتحفيز نمو القنوات بين الفصيصات ، وايضا له دور في تنظيم ايض الدهون في الانسجة الدهنية والكبد وذلك للمساهمة في توجيه المواد الغذائية الاساسية إلى الأنسجة اللبنية عن طريق تنشيط الإنزيمات المسؤولة عن ايض الدهون (Martin et al.,2017) .

2 – 9 انزيم الفوسفاتيز القاعدي (ALP) Alkaline phosphatase

الفوسفاتيز القاعدي (ALP) Orthophosphoric- monoester phosphydrolase (EC 3-1-1-3) هو الانزيم الذي يحرر مجموعة الفوسفات غير العضوية من الكثير من الاسترات العضوية احادية الفوسفات ويكون نشاطه عند الأس الهيدروجيني (PH = 9-10) (Zang et al., 2004). و يوجد أنزيم ALP في مختلف أنسجة الجسم اذ يتواجد بتركيز عالية في القنوات الصفراوية للكبد كما يوجد ايضا في العظم ويصنع في المشيمة Placenta عند الحمل حيث يزداد نشاطه بصورة رئيسة في الغشاء الطلائي في موقع الانغراس البيضة المخصبة في الرحم (Iz-Aldeen and Rasmi,2016) .

يقوم الكبد بصنع هذا الإنزيم بكميات أكبر من العظام و الأعضاء الأخرى ويعد قياس مستوى انزيم الفوسفاتيز القاعدي مهما ومفيدا من اجل تمييز الامراض الكبدية الصفراوية وامراض العظم ، اذ تلاحظ زيادة في نشاطه بشكل واضح في بعض الحالات التي يحدث فيها انسداد في القنوات

الصفراوية منذ بداية مرض التهاب الكبد الفيروسي ويشبه ما يحدث في يرقان الركود الصفراوي ويصل مستواه الى اكثر من 3.5 مرة (Adak and shivapuir , 2010) .

يوجد انزيم ALP في مصل الدم وجميع أنسجة الجسم ونسبته عالية في الغشاء المبطن للأمعاء حيث يعمل على مساعدة خلايا الامعاء على الامتصاص ، كما يعمل على نقل الفسفور اللاعضوي مما يسهل في عملية تصلب العظام وبصورة خاصة تكلس العظم و يسهل عملية نقل المواد المتايضة Metabolites عبر اغشية الخلايا وبصورة خاصة المواد الشحمية وايض الكربوهيدرات . كما أن له دوراً في عملية النقل الفعال لبعض النواتج الايضية عبر المشيمة (Kim and Kwak, 2005; Jeacock *et al.*, 2005) . وفي الكلية والخلايا العظمية والطحال والرئة وأنسجة الغدد اللببية حيث يوجد في الخلايا الطلائية العضلية Myoepithelial cell بينما في ظهارية الحويصلات لا تحتوي الا على نسبة قليلة منه (Wange *et al.* , 2009) . ان لانزيم ALP دور في عملية تصنيع مكونات الحليب وخصوصا اللاكتوز (Chuang, 1987 ; Backwell, 2001) .

يبدأ هذا الانزيم بالارتفاع في المراحل الاخيرة من الحمل ويبقى على مستوى عال خلال مرحلة الرضاعة مما يدل على دور هذا الانزيم في وظيفة الخلية اكثر منها في نموها وتكاثرها (Raubenheimer ,1987 ; Colston *et al.*, 1988) .

أما في المشيمة فتكون فعالية أنزيم ALP عالية وتزداد مع الحمل، وهو مسؤول عن النقل الفعال للفوسفات ونقل كلوبيولين IgG من الام الى الطفل ، ويساعد على امتصاص المواد الغذائية وفسفرة المواد الاخرى وهذا امر مهم لنمو وتطور الجنين (Mangal *et al.* , 2005) . يعد انزيم الفوسفاتيز القاعدي ALP بمصل الدم من الإنزيمات التي لها علاقة بوظائف الكبد، فان تركيزه بالدم يعطي صورة واضحة عن مدى فعالية أعضاء الجسم وخصوصا الكبد (Posen and Doherty, 2010 ; Bishop *et al.*, 2010) . يعد زيادة فعالية انزيم ALP في مصل الدم مؤشراً للعديد من الامراض والتي تتضمن امراض الكبد (Kim and kwak, 2005 ; Berk and Korenblat , 2011) ، وقناة الصفراء كانسداد هذه القناة بسبب حدوث ورم سرطاني او ربما تليف خلايا قناة الصفراء ، وهذه الحالات ترفع مستوى فعالية هذا الانزيم اكثر من المستوى الطبيعي و أيضا يرتفع مستوى ALP في امراض السكري ، وامراض العظم وسرطان الكلية بالإضافة الى فشل القلب والنوبة القلبية (Mota *et al.*, 2008 ; Pratt , 2010) .

تلعب هذه الانزيمات دورا في التغذية والانغراس في المراحل المبكرة للحمل في الحيوانات المختلفة كالفئران والجرذان (Salgado, 2009 ; Rawal, 2016) . يزداد تركيز هذا الانزيم في الطفولة المبكرة ومراحل النمو الاولى حتى سن البلوغ بما يعادل 3-4 اضعاف تركيزه الطبيعي في

البلازما نتيجة لزيادة نشاط الخلايا البانية للعظم ، اما في الثلث الاخير من الحمل فيزداد افرازه المشيمي 2-3 اضعافاً ويزداد افراز نظيره من الغدد اللبنية في فترة الارضاع . (Kim and Wyckoff, 1999) .

2- 10 أنزيم النيوكلووتيداز (NTD) Nucleotidase – 5'

هو 5' – Nucleotidase (EC 3.1.3.5) و يعرف ايضا 5' – ribonucleoside phosphohydrolase (Henry, 2001) . وهو مسؤول عن إزالة الفوسفات من المركب الكيميائي Mononucleotides خارج الخلايا ، كما يحفز تحويل AMP 5' الى Adenosine خارج الخلية (Koszalka *et al.*, 2008) . انزيم NTD هو عبارة عن بروتين سكري ينتشر بصورة واسعة في خلايا الجسم يتموضع في الغشاء البلازمي للخلية يعمل على تحرير الفوسفات غير العضوي من 5 – phospho nucleoside (Adak and Shivapuri, 2010) . وجدت مثل هذه الانزيمات في البكتريا والانسان والنباتات (Strater, 2006) .

يعد انزيم 5' النيوكلووتيداز انزيم المسؤول عن ازالة الفوسفات و انتاج مركب الادينوسين من التحلل المائي لمركب AMP اي انه الناتج النهائي لتحلل ATP ، و له دور في عملية تكون الاوعية الدموية و النمو والمناعة . (Zimmermann *et al.*, 2012) . حيث تم اكتشافه في العضلات منذ حوالي 80 سنة (Reis, 1934) .

يعمل مركب الطاقة ATP ومركبه التحللي Adenosine عن طريق مستقبل خاص يعرف purinergic receptors (Zimmermann *et al.*, 2012) ، والذي له دور في تنظيم خصوبة الاناث عن طريق التأثير على بطانة الرحم ، فخلال مراحل الشبق تتأثر بطانة الرحم بعمليات مختلفة منها تكون بعملية الافراز الذاتي Autocrine و منها يكون بعملية الافراز الجنبى Paracrine والآخرى بغدد الصم Endocrine، تتأثر بطانة الرحم بهرمون الاستروجين الذي يفرز من المبيض والذي يعد من الغدد الصم حيث يعمل على زيادة تكاثر خلايا البطانة والسدى والتاثير على الغدد الرحمية بمرحلة الجريبات ، تأتي بعدها مرحلة الجسم الاصفر والتي تتأثر بهرمون البروجستيرون حيث تعمل على تهيئة بطانة الرحم لانغراس الجنين (Mihm *et al.*, 2011) .

تعد مركبات ATP ومركب ادينوسين من المركبات التي تعمل بصورة الافراز الذاتي والجنبي وله دور في عملية التكاثر (Burnstock, 2007)، ففي الرحم يكون الحاجة الى مركب ATP والادينوسين في عمليات تقلص عضلات الرحم (Gillman and ; Hutchings *et al.*, 2009) (Pennefather 1998) كما يعمل مركب ATP على تنظيم محيط السائل الرحمي عن طريق تنظيم افراز أيونات الكلور (Cl-) في البطانة الرحمية (Chan *et al.*, 1997) وامتصاص الصوديوم (Na) (Wang and Chan, 2000) ، وكذلك تنظيم افرازات المخاطية لعنق الرحم (Gorodeski and Hopfer 1995).

كما أن لمركب الادينوسين دوراً في الاحداث ما بعد الانغراس (Blackburn *et al.*, 1992) ودوراً في عملية sperm capacitation داخل القناة التناسلية الانثوية اي انه يؤثر على الخصوبة (Schuh *et al.*, 2007 ; Minelli *et al.*, 2004) . وقد لوحظ وجود انواع من مستقبلات purinergic receptors في القناة التناسلية الانثوية (Arase *et al.*, 2009) و Chang *et al.*, 2008) والذي يختلف التعبير عنها في مراحل مختلفة من الدورة الشهرية (Bardin *et al.*, 2000) والحمل (Slater *et al.*, 2002).

Materials and Methods

المواد وطرائق العمل

Material and Device 1-3 المواد والأجهزة المستعملة

1-1-3 المواد الكيميائية المستعملة :

جدول (1-3) المواد الكيميائية المستعملة بحسب أسم الشركة والمنشأ

المنشأ Origin	الشركة Company	المواد Materials	ت
England	BDH	أوكسيد الزئبق الاحمر (Red Mercuric oxide)	1
Spain	Scharlau	ايثانول 96% Ethanol	2
England	BDH	حامض الخليك الثلجي Glacial Acetic Acid	3
England	BDH	حامض البكريك المائي المشبع Saturated Aqueous picric Acid	4
England	Gainland chemical	حامض الفوسفوتنكستك Phosphotungstic acid	5
Spain	Scharlau	حامض الهيدروكلوريك Hydrochloric acid	6
England	Gainland chemical	حامض السلفوساليسيليك Sulfosalicylic acid solution	7
Spain	Scharlau	زايلين Xylene	8
Italy	Histo – Line Lab, OWax	شمع البرافين Paraffin Wax	9
England	BDH	شب البوتاسيوم	10
France	Bio merieux	Alkaline Kit phosphatase	11
France	Bio merieux	5 – Nucleotidase	12

German	Veda Lab	Estrogen, progesterone, prolactin ,FSH,LH	عدة تقدير الهرمونات	13
	Veda	Kit		
Denmark		Dako	Estrogen , progesterone receptor Kits	عدة فحص
				14
German		Dutch	Ampicillin W.S.P	عقار الامبسلين
				15
England		BDH	(Formalin) تركيز (40%)	فورمالين مختبري
				16
England		BDH	Activate Charcoa	فحم حيواني منشط
				17
England		BDH	Chloroform	كلوروفورم
				18
Spain		Scharlau		كحول ايثيلي مطلق (99%)
				19
England		BDH	Light Green reagent	كاشف
				20
England		BDH	Periodic Acid reagent	كاشف
				21
England		BDH	Schiff's reagent	كاشف
				22
England		BDH	Sodium metabisulfite	ثنائي سلفات الصوديوم
				23
England		BDH	Chromo trope 2R	مادة
				24
Spain		Scharlau	Basic fuchsin	مادة الفوكسين القاعدي
				25
India		Thomas Baker	D.P.X	مادة التحميل
				26
India		Kepto	Ketamine	مخدر كيتامين
				27
Spain		Ceva sauté	Xylazine	مخدر زايلازين
				28
Syria		Aleppo	Diazepam	مادة داي زابيم
				29
India	Himedia Lab.		Hemotoxyline	ملون هيماتوكسولين
	Put. Ltd			30
India	Himedia Lab.		Eosin	ملون الايوسين
	Put.			31
England		BDH	(TBA- solution)	محلول الثايوباربيوريك
				32

2-1-3 الأجهزة والأدوات المستعملة

الجدول (2-3) يوضح الأجهزة المستعملة و الأدوات والشركة المصنعة والمنشأ .

المنشأ Origin	الشركة Company	الأجهزة و الأدوات	ت
Jordan	Gold star	انابيب بلاستيكية خالية من EDTA	1
Germany	Harshman	جار تصبغ زجاجي Gar Staining	2
China	Hospital & home care	خيوط ممتصة Absorbable suture	3
China	Hospital & home care	خيوط غير ممتصة non- absorbable suture	4
Pakistan	S.I.E.	سيت تشريح Dissecting tools	5
China	China MHECO	شرائح زجاجية مع الغطاء Slides and cover slides	6
England	Volac	زجاجيات مختلفة الاحجام Pyrex	7
S.A.R.	Medical ject	محاقن نبيذية Disposable syringes	8
S.A. R.	Medical ject	محاقن انسولين glass plastic insulin syringe	9
Canada	Bio Basic	ماصات دقيقة micropipette	10
Belgium	Turck 0.33 mm Zelpa	ورق ترشيح Filter paper	11
Lebanon	Concord	ثلاجة Refrigerator	12
France	Bio Merieux	جهاز Minividas	13
Germany	Heraeus Christ	جهاز الطرد المركزي Centrifuge	14
Italy	Histo-Line Lab. Mod. MRS 3500	جهاز المشراح الدوار Rotory Microtome	15
Japan	Apple 203	جهاز المطياف الضوئي Spectrophotometer	16
USA	Chicago Surgical and	حمام مائي Water Bath	17

	Electrical co.		
India	Lassco	Hot Plate صفيحة ساخنة	18
Korea	Daihan – lab. Tech	Oven فرن	19
Germany	Human scope	Compound مجهر مركب ضوئي Microscope Light	20
Japan	MEIJI	Compound مجهر ذو كاميرا Microscope	21
Germany	Sartorius	Sensitive Balance ميزان حساس	22
Germany	Savories	ميزان كهربائي لوزن الحيوان	23

2-3 طرائق العمل Methods

1-2-3 حيوانات التجربة Experimental Animals

تضمنت الدراسة 48 من اناث الارانب المحلية *Oryctolagus cuniculus* يتراوح معدل اوزانها ما بين (1450-2500) غرام و اعمارها بين (6-12) شهرا ، بحالات فسلجية مختلفة (عذارى Virgin والمرضعات بعد اليوم الاول للولادة Lactating) وضعت الحيوانات في البيت الحيواني التابع لكلية الطب البيطري / جامعة كربلاء بشكل مجاميع حسب الحالة الفسلجية للاناث (عذارى و مرضعات) في اقفاص بلاستيكية خاصة ومزودة بغطاء معدني شبكي ، فرشت الاقفاص بنشارة الخشب الناعمة التي بدلت اسبوعيا ، كما تمت العناية بنظافة الاقفاص وتعقيمها بين الحين والآخر ، و وفرت للحيوانات الظروف الملائمة من حيث درجة الحرارة 25 م° والاضاءة والتهوية . أعطيت الحيوانات العليقة الخاصة وهي عبارة عن علف مركز يتم شراؤه من الأسواق المحلية ، كما زودت بالماء بصورة مستمرة Ad libitum طيلة مدة الدراسة ، وتركت الحيوانات لمدة اسبوعين للتاقلم مع الظروف قبل اجراء عملية استئصال المبايض .

2-2-3 تصميم التجربة Design Experience

وزعت 48 عشوائيا من اناث الارانب المحلية *Oryctolagus cuniculus* الى مجموعتين مختلفة من الناحية الفسلجية والتي تضم 24 اناث عذارى Virgin و24 اناث مرضعات Lactating . تضمنت كل مجموعة اربع مجاميع :

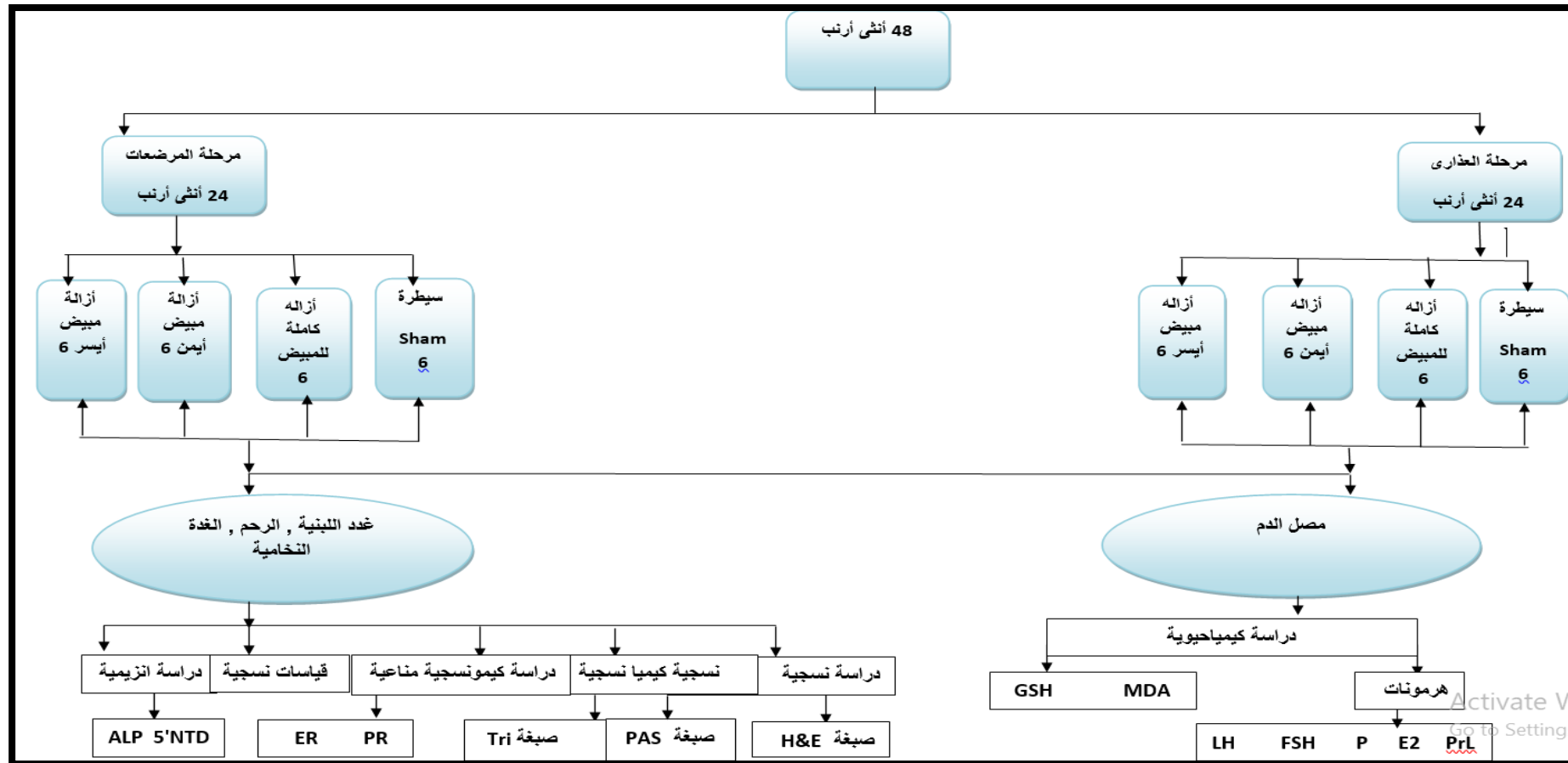
اولا : مجموعة السيطرة Sham operator: شملت 12 من اناث الأرانب للعذارى والمرضعات ، إذ جرى فتح الجلد والعضلات البطنية فقط دون إستئصال المبايض وغلق الجلد بطريقة العملية نفسها لازالة المبايض .

ثانيا : تمثل مجموعة المعاملة بإزالة المبايض الكاملة Bilateral oophorectomy للعذارى والمرضعات لـ 12 انثى ارنب .

ثالثا : تمثل المجموعة المعاملة بإزالة المبيض الأيمن لـ 12 من اناث الأرانب المحلية للعذارى والمرضعات.

رابعا : شملت المجموعة الرابعة لـ 12 انثى أرنب وعوملت بإزالة المبيض الأيسر للعذارى والمرضعات.

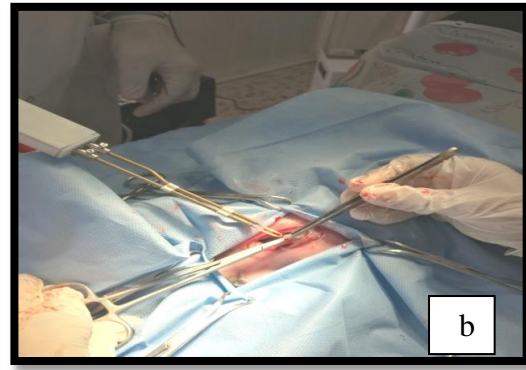
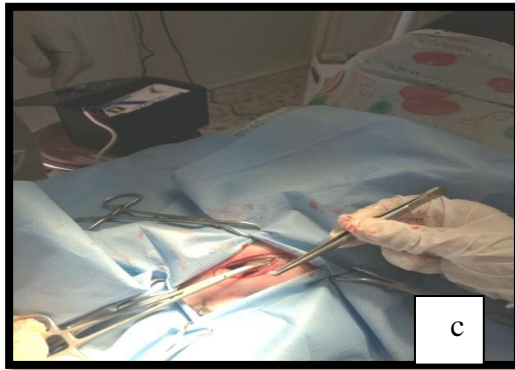
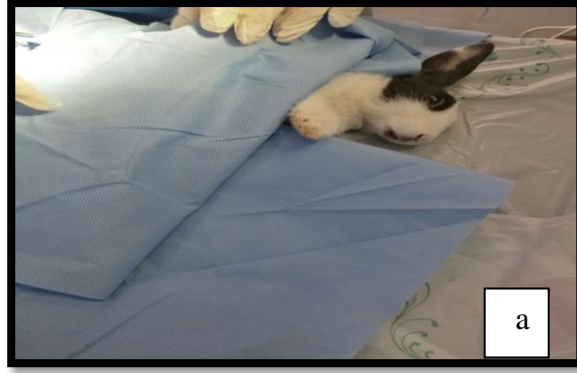
1-2-2-3 مخطط تصميم التجربة



شكل (1-3) يوضح تصميم التجربة

3-2-3 عملية أستئصال المبايض :

أجريت عملية استئصال المبايض لإناث الارانب تحت ظروف جراحية معقمة اذ تم التخدير العام عن طريق الحقن العضلي باستخدام جرعة داي زابيم Diazepam كعقار مهدئ للتخدير بجرعة 1 ملغم / كغم من وزن الجسم بعد 10 دقائق حقن الارنب بالزايلازين Xylazine بجرعة 10 ملغم / كغم من وزن الجسم و كيتامين Ketamine بجرعة 50 ملغم / كغم من وزن الجسم (Albozachri *et al.*,2017). وضع الارنب في وضع الاستلقاء الظهرى اذ أزيل الشعر من منطقة البطن ونظفت وعقمت باستعمال الكحول الايثيلي 70 % ، بعدها اجريت العملية بعمل شق جراحي في الجلد بطول 4 سم تقريبا يمتد من خلال الخط الوسطي البطني اسفل السرة ، إذ فتح الجلد فالعضلات البطنية والغشاء البريتوني بعد دفع الامعاء جانبا ليبدو الرحم وبعد متابعة الرحم الى الاعلى من الجهتين اليسار واليمين يمكن الوصول الى المبيضين الايسر والايمن . ترتبط المبايض بجدار الجسم بواسطة اربطة قطعت عن طريق الحرارة باستخدام جهاز heat electrocotry ، بعدها فحصت الاوعية الدموية للتأكد من عدم وجود النزف ، ثم تم غلق طبقات البطن البريتون والعضلات بخيط جراحي قابل للامتصاص نوع (Cat gut,0/3) بطريقة الخياطة المستمرة ، كما جرت خياطة الجلد بالغرز المتقطعة بخيوط الحرير 0/3 (Parhizkar *et al.*, 2008) . وعقم الجرح بمحلول اليود وحقن الحيوان بالمضاد الحيوي الامبسلين Ampicillin ولمدة اسبوع ، وازيلت الخيوط الجراحية الخارجية بعد مرور 10 أيام . إستئصلت المبايض من جميع المجاميع عدا مجموعة السيطرة Sham operator إذ جرى فتح الجلد والعضلات البطنية فقط دون إستئصال المبايض وغلق الجلد بالطريقة السابقة نفسها .



صور رقم (1-3) (a,b,c) توضح عملية إزالة المبايض في إناث الأرانب المحلية

4-2-3 وزن الجسم Body weight

تم تسجيل وزن جسم جميع إناث الأرانب ولجميع المجاميع قبل إجراء عملية إزالة المبايض وبعد العملية ، يقاس الوزن باستخدام ميزان كهربائي .

5-2-3 جمع عينات الدم Blood sample collection

تم سحب عينات الدم بعد تجويع الحيوانات طوال الليل وذلك بعد شهر من مدة التجربة ، حيث تم سحب 5 مل من الدم من القلب بطريقة طعنة القلب Heart puncture مباشرة عن الطريق وضع الحيوان بشكل مستلقٍ على ظهره ، وقد استخدمت محاقن طبية معقمة سعة 5 مل ، وضع الدم بعد ذلك في أنابيب خاصة غير حاوية على مادة مانعة التخثر بعدها تم فصل مصلى الدم بواسطة جهاز الطرد المركزي centerfuge بسرعة 3000 دورة / دقيقة لمدة 15 دقيقة ، وقد تم حفظ الأمصال في ثلاجة Refrigerator في درجة حرارة -20 م لحين إتمام القياسات لقياس بعض المعايير التالية :

- 1- تركيز بعض الهرمونات والتي شملت :
 - تركيز هرمون الاستروجين Estrogen
 - تركيز هرمون البروجستيرون Progesterone
 - تركيز هرمون البرولاكتين Prolactin
 - تركيز الهرمون المحفز للجريب (FSH) Follicle stimulating hormone
 - تركيز الهرمون اللوتيني (LH) Luteinizing hormone
- 2- المعايير الكيموحيوية
 - تركيز المالوندايالديهيد (MDA) Malondialdehyde
 - تركيز الكلوتاثيون المختزل (GSH) Reduced Glutathion

6-2-3 جمع عينات الأنسجة Collection of tissue sample

بعد انتهاء التجربة تم التضحية بالحيوانات (اناث الارانب) بواسطة التخدير باستخدام الكلوروفورم وشرحت الحيوانات لاستئصال عينات (الغدة اللبنية ، الرحم ، الغدة النخامية) وعزلت كل منها على حدة وازيلت الاجزاء المتصلة بالعضو المستأصل ، و تم حفظ الاعضاء في الفورمالين بتركيز 10 % ومحلول مثبت بوين Bouin's solution في عبوات بلاستيكية نظيفة بعد تعليمها لحين اجراء التقطيع النسجي وأجراء الدراسات التالية :

- 1- دراسة نسجية وكيمونسجية وكيمونسجية مناعية .
- 2- تحضير خليط نسيج الغدة النخامية لقياس هرمون LH
- 3- تحضير خليط نسيج الغده اللبنية والرحم لقياس فعالية انزيمات ALP و NTD

7-2-3 التحضيرات النسجية Histological preparations

حضرت شرائح البرافين تبعا لطريقة (Bancroft and stevene ,2010)

1-7-2-3 تثبيت العينات Sample Fixation

تم تثبيت العينات المراد دراستها نسيجيا والمتمثلة (بالغدد اللبنية , الرحم , الغدة النخامية) بعد استئصالها باستخدام محلول الفورمالين بتركيز 10% وبعد 48 ساعة استخرجت العينة من الفورمالين وغسلت عدة مرات بالماء . او تثبت بمحلول بوين المائي Aqueous Bouin's solution ولمدة 12 - 24 ساعة وبعدها تغسل بالكحول الايثيلي بتركيز 70% لازالة اللون الاصفر لمحلول بوين ، حضر المحلول على وفق طريقة (Bancroft and stevene ,2010) كما يأتي:

ت	المادة	الكمية
1	محلول حامض البكريك المائي المشبع Saturated Aqueous Picric acid solution	75 مل
2	فورمالين Formalin تركيز 40%	25 مل
3	حامض الخليك الثلجي Glacial Acetic Acid	5 مل

يتم اضافة حامض البكريك المائي المشبع بمقدار 75 مل والفورمالين بتركيز 40% بمقدار 25 مل ثم يضاف 5 مل من حامض الخليك الثلجي يمزج الخليط ويتم وضعة بعلب خاصة لتثبيت العينات .

2-7-2-3 الانكاز والترويق Dehydration and Clearing

تم سحب الماء من النسيج وذلك بتمرير العينات في سلسلة تراكيز تصاعدية من الكحول الايثيلي بدءاً بتركيز (70% , 80% , 90% , 100% , 100%) ولمدة ساعة ونص لكل تركيز . بعدها روقت النماذج بوضعها في الزايلين لمدة عشر دقائق .

3-7-2-3 التشريب Infiltration

بعد الانتهاء من عملية الترويق نقلت العينات الى قناني زجاجية حاوية على خليط من شمع البرافين Paraffin wax درجة انصهاره (56 - 60) درجة مئوية والزايلين بنسبة 1:1 ولمدة نصف ساعة ووضعت في فرن درجة حرارته 59 م° وذلك لإبقاء الشمع منصهرا ولضمان عملية التشريب للنماذج بالشمع نقلت الى قناني اخرى حاوية على شمع البرافين داخل الفرن ايضا لمدة ساعتين ثم نقلت مرة اخرى الى قناني اخرى حاوية على شمع البرافين لمدة ساعتين ايضا .

Embedding 4-7-2-3 الطمر

طمرت العينات بنوعية الشمع نفسه داخل قوالب حديدية خاصة واستخدمت ابرة ساخنة على لهب لإزالة الفقاعات حول العينة وتركت في درجة حرارة المختبر لتتصلب ثم فصلت عن القالب وحفظت حتى وقت تقطيعها .

Trimming and cutting 5-7-2-3 التشذيب والتقطيع

شدبت قوالب الشمع الحاوية على النماذج بمشرط حاد ، وقطعت النماذج باستخدام جهاز المشراح الدوار Rotary Microtome بسمك 5 مايكروميتر ، ثم حملت اشرطة المقاطع على شرائح زجاجية Slides نظيفة بعد ان وضعت في حمام مائي درجة حرارته 45 – 50 م لمدة دقيقتين لضمان فرش المقاطع النسجية بعدها تركت لتجف لتكون جاهزة للتصبغ .

Staining 6-7-2-3 التلوين

1-6-7-2-3 صبغة هيماطوكسلين هارس Harris, Hematoxylin Stain

ان صبغة الهيماطوكسلين هارس من الصبغات القاعدية التي تستعمل بصورة عامه لتلوين النواة بلون ازرق غامق dark blue , مكونات الصبغة هي :

ت	المادة	الكمية
1	مسحوق الهيماطوكسلين	2.5 غم
2	كحول اثيلي مطلق	25 مل
3	شب البوتاسيوم $AlK(SO_4)_2 \cdot 12H_2O$ او شب الامونيا $NH_4Al(SO_4)_2 \cdot 12H_2O$	50 غم
4	ماء مقطر دافئ	500 مل
5	اوكسيد الزئبق الاحمر Red mercuric oxide	1.25 غم
6	حامض الخليك الثلجي Glacial acetic acid	20 مل

حضر الملون حسب الخطوات التالية اعتمادا على (Suvarna et al.,2013) :

اذيب الهيماطوكسلين في الكحول المطلق بعدها اضيف الى الشب المذاب بالماء المقطر الدافئ ووضع المزيج على النار حتى درجة الغليان ثم اضيف الية اوكسيد الزئبق الاحمر , ثم برّد المزيج مباشرة بوضع الدورق الذي يحوي المزيج بالماء البارد واضيف اليه حامض الخليك الثلجي ورشح الخليط قبل الاستعمال لتصبح الصبغة جاهزة للاستخدام .

Eosin stain صبغة الأيوسين الكحولي 2-6-7-2-3

حضرت الملون حسب الطريقة التالية واعتمادا على (Suvarna *et al.* , 2013) :

ت	المادة	الكمية
1	مسحوق الأيوسين	1 غم
2	الكحول الايثيلي بتركيز 70 %	99 مل
3	حامض الخليك الثلجي Glacial acetic acid	1 مل

أذيب الأيوسين في الكحول بشكل جيد ثم اضيف اليه حامض الخليك الثلجي ورشح بورق الترشيح قبل الاستعمال في اليوم التالي .

لونت الشرائح باستعمال ملون الهيماتوكسلين – ايوسين واعتمادا على (Suvarna *et al.*, 2013) وكما يلي :

- 1 – ازيل الشمع من الشرائح الزجاجية باستعمال الزايلين وعلى مرحلتين ولمدة 5 دقائق لكل مرحلة ثم مررت بسلسلة تنازلية من الكحول الايثيلي ابتداءً من (100 % , 100 % , 90 % , 80 % , 70 %) ولمدة خمس دقائق لكل تركيز .
- 2 - وضعت الشرائح في ملون الهيماتوكسلين هارس لمدة خمس دقائق .
- 3 – غسلت الشرائح الزجاجية بالماء الجاري لمدة عشر دقائق .
- 4 – لونت الشرائح بملون الايوسين الكحولي لمدة سبع دقائق .
- 5 – ثم غسلت الشرائح بالماء المقطر لمدة دقيقتين .
- 6 – بعدها نقلت الشرائح الزجاجية الى سلسلة تصاعدية من الكحول الايثيلي (70 % , 80 % , 90 % , 100 % , 100 %) لمدة دقيقتين لكل تركيز ماعدا التركيز الاخير وضعت فيه لمدة 5 دقائق , ثم روقت بالزايلين وعلى مرحلتين في كل مرحلة لمدة 5 دقائق , بعدها اجريت عليها عملية التحميل باستعمال DPX لتثبيت غطاء الشريحة ثم تركت الشرائح على صفيحة ساخنة لتجف لمدة 8 ساعات لتكون جاهزة للفحص المجهرى.

3-6-7-2-3 صبغة كوموري ثلاثي الالوان Gomori's One – Step Trichrome Stain
تستعمل صبغة كوموري لتلوين الالياف الكولاجينية والياف العضلات الملساء اذ تظهر الالياف الكولاجينية بلون اخضر أما الياف العضلات الملساء والنواة والساييتوبلازم فتظهر بلون احمر وقد تم تحضيرها وفقا لطريقة (Hansen,2006). ويتكون الملون من المكونات التالية :

ت	المادة	الكمية
1	Chromotrope 2R	0.6 غرام
2	الاخضر الفاتح Light Green	0.3 غرام
3	حامض الخليك الثلجي Glacial Acetic Acid	1.0 مل
4	حامض الفوسفوتنكستك Phosphotungstic Acid	0.8 غرام
5	الماء المقطر Distilled Water	100 مل

تم اذابة المكونات بالترتيب بالماء المقطر , بعد ذلك اضيف اليها حامض الهيدروكلوريك المركز HCl 1 مل و تم وضعها في الثلجة لمدة 24 ساعة عند درجة حرارة 4 م قبل الاستعمال , ثم رشحت بورق الترشيح قبل استعمالها.
طريقة التلوين :

- 1 – إزيل الشمع من الشرائح الزجاجية كما في خطوات الملونات السابقة .
- 2 – مررت الشرائح الزجاجية بسلسلة تنازلية التركيز من الكحولات ايضا ثم غسلت بالماء المقطر.
- 3 – وضعت الشرائح الزجاجية في محلول بون Bouin' s solution لمدة ساعة واحدة في الفرن الكهربائي درجة حرارته 56 م .
- 4 – اخرجت الشرائح من الفرن وتم تركها لتبرد , ثم غسلت الشرائح جيدا بالماء الجاري لحين اختفاء اللون الاصفر .
- 5 – لونت الشرائح بملون الهيماتوكسولين لمدة دقيقتين كملون مضاد .
- 6 – غسلت الشرائح بالماء الجاري لمدة خمس دقائق .
- 7 – لونت الشرائح بملون Trichrome لمدة من 15-20 دقيقة .
- 8 - وضعت الشرائح الزجاجية في حامض الخليك بتركيز 0.2 % لمدة نصف دقيقه .
- 9 – عمل Blot ويعني وضع كل شريحه بين ورقتي ترشيح والمسح برفق عليها براحة اليد .

- 10 – غسلت الشرائح الزجاجية بالماء المقطر , بعدها مررت الشرائح بالكحول الايثيلي بتركيز 90 % و 100 % لتغييرين لمدة دقيقتين , روقت بالزايلين مرتين لمدة خمس دقائق .
- 11 – روقت الشرائح بالزايلين مرتين .

3-2-6-4 صبغة كاشف شف الدوري (PAS) Periodic Acid Schiff's stain

يستخدم هذا الكاشف لتلوين التراكييب التي تحتوي على جزيئات كبيرة من الكربوهيدرات مثل الكولاجين Collagen ، الكلايوجين Glycogen ، الغشاء القاعدي Basement membrane والفايبرين Fibrin (Carson and Christa,2009). يتلون الكلايوجين والكربوهيدرات باللون القرمزي Magenta والنواة باللون الوردي والكولاجين باللون الاحمر الارجواني الغامق والفايبرين باللون الزهري .

مبدأ عمل الملون :

يقوم الكاشف بأكسدة اصرة الكربون – كاربون مكوناً الديهايدات والتي تتفاعل مع الفوكسين القاعدي Basic fuchsin أذ يعطي لوناً ارجوانياً .

مكونات الكاشف : (Suvarna et at ., 2013)

محلول A :

ت	المادة	الكمية
1	حامض Periodic acid	1.0 غرام
2	ماء مقطر Distilled water	200 مل

خلطت المواد جيذا وتركت لحين الاستعمال .

محلول B :يتكون من المواد التالية :

ت	المادة	الكمية
1	الفوكسين القاعدي Basic fuchsin	1.0 غرام
2	ميتايبسلفيت الصوديوم Sodium metabisulfite	1.8 غرام
3	حامض الهيدروكلوريك Hydrochloric acid	1.7 مل
4	فحم حيواني منشط Active charcoal	حسب الحاجة
5	ماء مقطر Distilled water	200 مل

تم غلي 200 مل من الماء المقطر ثم رفع عن مصدر الحرارة واذيب فيه 1.0 غرام من Basic fuchsin بعدها ترك حتى تصل درجة حرارته الى 50 م° ، ثم رشح بورق الترشيح ثم اضيف اليه حامض الهيدروكلوريك وترك ليبرد اكثر ، واضيف اليه 1.8 غرام Sodium metabisulfite ، ثم حفظ في قنينة معتمة في الثلاجة لمدة 24 ساعة ، بعدها يستخرج ويكون لونه بنياً او اصفرأ ، نشط الفحم وذلك بوضعة في الفرن تحت درجة حرارة 60 م° لمدة نصف ساعة ثم اضيفت له كمية من الفحم الى الكاشف لحين تغير لونه وخط جيدا ورشح بواسطة ورق الترشيح وابدل ورق الترشيح لعدة مرات والنتاج يكون عديم اللون .

طريقة التلوين :

- 1- اتبعت الخطوات نفسها في الملونات السابقة كملون الهيماتوكسلين والايوسين من ازالة شمع البرافين و وصولا الى الماء المقطر .
- 2- وضعت المقاطع النسجية في محلول A لمدة خمس دقائق , بعدها غسلت بالماء المقطر لمدة خمس دقائق .
- 3- نقلت المقاطع النسجية الى محلول الكاشف لمدة 15 دقيقة ثم غسلت بالماء الجاري لمدة خمس دقائق ثم بالماء المقطر .
- 4- وضعت المقاطع النسجية في ملون الهيماتوكسلين لمدة دقيقتين ثم غسلت بالماء الجاري لمدة خمس دقائق ايضا .
- 5- نقلت بعدها الى سلسلة تصاعديّة من الكحول الايثيلي (70% , 80% , 90% , 100% , 100%) ولمدة دقيقتين لكل تركيز ثم روقت بالزاييلين وعلى مرحلتين في كل مرحلة لمدة 10 دقائق .

7-7-2-3 الارساء Mounting

بعد اكمال خطوات التلوين بالملونات المختلفة أجريت عليها عملية التحميل باستعمال DPX لتثبيت غطاء الشريحة ثم تركت على صفيحة ساخنة لتجف لتكون جاهزة للفحص (Suvarna et al., 2013).

8-7-2-3 الفحص والتصوير المجهرى Microscopic study and photography

فحصت المقاطع النسجية باستخدام المجهر الضوئي Light microscope بقوى تكبير مختلفة ، وتم تصوير المقاطع النسجية بأستعمال مجهر ضوئي نوع MEIJI light microscope مزود بكاميرا مجهر رقمية Digital Camera نوع Canon عالية الدقة .

8-2-3 القياسات النسجية : Histological morphometry

تم حساب القياسات النسجية للشرائح المحضرة من نسيج الغدد اللبنية والرحم باستخدام المقياس العيني المتري الدقيق (Ocular micrometer, OM) (Galigher and Kozoloff,1964) المثبت في المجهر الضوئي . بعد معايرة الOcular مع ال Micrometer stage لكل قوة تكبير تم قياس سمك الطبقات والبطانة الداخلية لنسيج الرحم وقطر وعدد الحويصلات للغدد اللبنية لكل ملليمتر مربع في نسيج الغدة اللبنية للحالات الفسلجية (العذارى ، المرضعات) .

9-2-3 الدراسة الكيميائية النسجية المناعية (IHC) Immunohistochemical

1-9-2-3 مستقبلات الاستروجين والبروجسترون Progesterone and Estrogen Receptor (PR & ER)

تم قياس كثافة مستقبلات الاستروجين والبروجسترون باستخدام العدد الخاصة :

1-Monoclonal Antibody progesterone Receptor

2-Monoclonal Antibody Estrogen Receptor

أساس العمل The principle

اعتمدت هذه الطريقة على مبدأ الكشف عن مستضد خاص في النسيج باستخدام جسم مضاد معين. حيث يتم الكشف عن معقد المستضد والجسم المضاد (Antigen –antibody complex) و الذي يلتصق بالشريحة الزجاجية.

طريقة العمل Procedure

حضرت الشرائح حسب طريقة (shi et al., 1991) وكما يأتي:

1. توضع عينات الغدد اللبنية والرحم والغدة النخامية في محلول 10% فورمالين لحين اكتمال التقطيع النسيجي .
- 2- تقطع القوالب الشمعية الحاوية على النسيج وبسمك 4 مايكروميتر وتوضع على شرائح مغلفة.
- 3- توضع الشرائح الزجاجية في حامل التصيبغ (staining rack) وتسخن في فرن درجة حرارته 37م° لمدة 16 ساعة بعدها في فرن درجة حرارته 60م° لمدة ساعة واحدة (لكي يلتصق النسيج على السلايد).
- 4- تمرر الشرائح في 3 جارات زجاجية (jars) حاوية على زايلين حالا بعد اخراجها من الفرن وتبقى 5 دقائق في كل حاوية وذلك لازالة الشمع.
- 5-تمرر الشرائح الزجاجية في ثلاث تغيرات من الايثانول تنازليا (99%، 95%، 70%) مدة 5 دقائق لكل تغير.
- 6 - تغسل الشرائح الزجاجية بالماء المقطر لمدة 5 دقائق.
- 7- توضع الشرائح الزجاجية المغمورة في الجارات الزجاجية الحاوية على محلول Target Retrieval في حمام مائي ترفع درجة حرارته تدريجيا الى ان تصل الى درجة الغليان ، بعدها يترك ليبرد في درجة حرارة الغرفة لمدة 20 دقيقة.
- 8- تغسل الشرائح بمحلول Tris-bufferd salin (TBS) لمدة 5 دقائق.
- 9- تحدد منطقة النسيج دائريا بواسطة قلم PAP
- 10- تحضن الشرائح الزجاجية بعد اضافة كمية من بيروكسيد الهيدروجين (Hydrogen peroxide) تركيز 3% على كل المقاطع النسيجية لمدة 10 دقائق بدرجة حرارة الغرفة .
11. تغسل الشرائح بمحلول Tris-bufferd salin (TBS) لمدة 5 دقائق
- 12- تضاف الاجسام المضادة الاولية للاستروجين والبروجسترون الى المقاطع النسيجية لمدة 30 دقيقة في درجة حرارة الغرفة .
- 13- تغسل الشرائح بمحلول Tris-bufferd salin (TBS) لمدة 2-5 دقائق
- 14- تحضن الشرائح الزجاجية كمية من مادة الربط (Biotinylated Goat Antibody) (القنينة 1) لمدة 30 دقائق في درجة حرارة الغرفة.

- 15- تحضن الشرائح مع كمية كافية من Strept ABC complex (القنينة 2) لمدة 30 دقيقة في درجة حرارة الغرفة.
- 16-تغسل الشرائح بالـ TBS لمدة 2-5 دقائق بعدها تحضن مع اضافة كمية من DAB+ لمدة 20 دقيقة.
- 17- تغسل الشرائح بمحلول (TBS) لمدة 5 دقائق بعدها بالماء المقطر لمدة 5 دقائق .
- 18- تصبغ الشرائح بصبغة الهيموتوكسولين Mayer's Hematoxylin لمدة دقيقتين .
- 19- تغسل الشرائح ن بماء الحنفية لمدة 5 دقائق .
- 20- تغسل الشرائح بمحلول (TBS) Tris-bufferd salin لمدة 2-5 دقائق .
- 21- تجفف و تغطى الشرائح بالغطاء مع مادة التحميل .
- 22- تفحص الشرائح بالمجهر الضوئي ويتم قراءة السلايدات كالاتي :

كثافة الصبغة في الخلايا (داخل النواة ER وفي الساييتوبلازم PR)

(-) = لا توجد صبغة .

(+) = قليلة الصبغة .

(++) = متوسطة الصبغة .

(+++)= قوية الصبغة .

10-2-3 القياسات الهرمونية Hormonal Assays

تم استخدام عينات المصل لقياس الهرمونات التالية: الاستروجين (E) والبروجسترون (PRO) والبرولاكتين

(PRL) وهرمون محفز للجريبات (FSH) والهرمون اللوتيني (LH) باتباع تقنية : Enzyme linked

fluorescent Assya Technique واستخدم جهاز (Mini VIDAS) مع عدة فحص في جدول (1-3)

للهرمونات التالية :

1-10-2-3 قياس تركيز هرمون الاستروجين Estimation of Estrogen hormone

Concentration

تم قياس تركيز الهرمون في مصل دم الارانب وذلك بإتباع الخطوات المرافقة مع عدة الفحص الخاصة بهرمون

الاستروجين في جدول (1-3) المتكون من المواد الآتية :

- 1- أشرطة (STR) الخاصة بهرمون Estradiol : وهي أشرطة جاهزة للاستعمال من 10 حفر wells مغطاة بصفيحة رقيقة ومعلمة برمز Estradiol لغرض تمييزها .
- 2 - Solid phase receptacles (SPRs) : وهي جاهزة للاستعمال تشبه تماماً (Tip) المستعمل في الماصة الدقيقة الا انها معلمة في نهايتها العريضة بالرمز Estradiol لغرض تمييزها ايضاً .
- 3 - Estradiol control (C1) , Estradiol calibrator (S1) , Estradiol dilutant (R1) وهذه المواد جاهز للاستخدام .
- 4 - بطاقة MIE وهي بطاقة جاهزة تحتوي على المعلومات المشفرة الرئيسة لبيانات المعايرة المستعملة في تقويم الاختبار الخاص بتركيز الهرمون الاستروجين .
أعتمد مبدأ قياس تركيز الهرمون الاستروجين على طريقة
. Enzyme immunoassay sandwich method with a final Fluorescent detection

وتعمل مسلمات الطور الصلب (SPRs) عمل الطور الصلب فضلاً عن عملها بوصفها أداة ماصة في الوقت نفسه لأجل المعايرة, أما المحاليل المستخدمة في المعايرة فهي محاليل جاهزة ومحضرة على أشرطة معلمة Sealed reagents strips مثلما هو موضح سابقاً . أنجزت خطوات المعايرة أو القياس جميعاً بشكل اتوماتيكي عن طريق جهاز Minividas حيث يتحرك وسط التفاعل بشكل دوري من وإلى SPRs والمحاليل الموجودة مرات عدة . تم نقل العينة الى داخل الحفرة الحاوية على anti – Estradiol – antibodies المعلمة Alkaline phosphates الرابط . ويتحرك خليط (العينة / الرابط) بشكل دوري من وإلى SPRs وبهذا يرتبط المستضد بالأجسام المضادة APR وكذلك بالربط مكوناً بعد ذلك الشطيرة Sandwich خلال الخطوات النهائية من المعايرة تتحرك المادة الأساس 4-Methyl-umbiliferone phosphate بشكل دوري من وإلى SPRs . ويقوم الأنزيم بعد ذلك بتحلل المادة الأساس الى الناتج المشع وهو 4-methyl umbelliferone الذي يتم قياس كمية الإشعاع فيه على طول موجي (450 نانوميتر) , وتعتمد شدة الإشعاع على التركيز النسبي للمستضد الموجود في العينة . وفي نهاية المعايرة حسب النتيجة أوتوماتيكي عن طريق الجهاز اعتماداً على المنحني القياسي المخزون في ذاكرة الجهاز وبعدها تم طباعة النتيجة عن طريق الجهاز أيضاً .

طريقة العمل Procedure

تتضمن طريقة العمل الخطوات التالية :

- 1 - وضعت بطاقة M / e الخاصة بعدة الفحص في المكان المخصص لها في جهاز Minividas ليتعرف عن طريقها على الاختبار بشكل أوتوماتيكي إذ بدونها لا يتمكن الجهاز من اظهار النتيجة ومن ثم طباعتها .
- 2 - تم استعمال شريط SPR & STR واحد لكل من مصل الدم القياسي والسيطرة Standard & Control و وضعت في المكان المخصص لها في الجهاز .
- 3 - تم سحب 100 µl من عينة مصل الدم و وضعت في الحفرة (1) الخاصة بها على الشريط (STR) Strip ويتم ذلك لمصل الدم القياسي والسيطرة .
- 4 - تم اتباع الخطوات الخاصة بالجهاز والموجودة في الـ MANUAL الخاص بالجهاز ليقوم الجهاز بالبدء بعملية المعايرة أوتوماتيكيا والتي تستغرق مدة 45 دقيقة .
- 5 - بعد ان تمت المعايرة وطباعة النتائج استخرجت STR و SPR من الجهاز ووضعت في حاوية خاصة حيث ان هذه الاشرطة تستعمل لمرة واحدة فقط .

2-10-2-3-3 قياس تركيز هرمون البروجستيرون Estimation of progesterone hormone Concentration

تم قياس تركيز الهرمون في مصل دم الارانب وذلك بإتباع الخطوات المرافقة مع عدة الفحص الخاصة بهرمون البروجستيرون في جدول (1-3) المتكون من المواد الآتية :

- 1 -أشرطة (STR) Strips الخاصة بهرمون progesterone: وهي أشرطة جاهزة للاستعمال من 10 حفر wells مغطاة بصفيحة رقيقة ومعلمة برمز progesterone لغرض تمييزها ايضاً.
 - 2 - Solid phase receptacles (SPRs) : وهي جاهزة للاستعمال تشبه تماماً (Tip) المستعمل في الماصة الدقيقة الا انها معلمة في نهايتها العريضة بالرمز progesterone لغرض تمييزها ايضا .
 - 3 - progesterone control (C1) ,progesterone calibrator (S1) ,progesterone dilutant (R1) وهذه المواد جاهز للاستخدام .
 - 4 - بطاقة MIE وهي بطاقة جاهزة تحتوي على المعلومات المشفرة الرئيسية لبيانات المعايرة المستعملة في تقويم الاختبار الخاص بتركيز الهرمون البروجستيرون .
- اعتمد مبدأ قياس تركيز الهرمون البروجستيرون على طريقة

. Enzyme immunoassay sandwich method with a final Fluorescent detection وتعمل مسلمات الطور الصلب (SPRs) عمل الطور الصلب فضلا عن عملها بوصفها أداة ماصة في الوقت نفسه لأجل المعايرة, أما المحاليل المستخدمة في المعايرة فهي محاليل جاهزة ومحضرة على أشرطة معلمة Sealed reagents strips مثلما هو موضح سابقاً . أنجزت خطوات المعايرة أو القياس جميعاً بشكل أوتوماتيكي عن طريق جهاز Minividas حيث يتحرك وسط التفاعل بشكل دوري من وإلى SPRs والمحاليل الموجودة مرات عدة . تم نقل العينة الى داخل الحفرة الحاوية على anti – Estradiol – antibodies المعلمة Alkaline phosphates الرابطة . وتحرك خليط (العينة / الرابطة) بشكل دوري من وإلى SPRs وبهذا يرتبط المستضد بالأجسام المضادة APR وكذلك بالربط مكوناً بعد ذلك الشطيرة Sandwich وخلال الخطوات النهائية من المعايرة تحركت المادة الأساس 4-Methyl-umbiliferyl phosphate بشكل دوري من وإلى SPRs . ويقوم الأنزيم بعد ذلك بتحليل المادة الأساس الى الناتج المشع وهو 4-methylumbelliferone الذي يتم قياس كمية الإشعاع فيه على طول موجي (450 نانوميتر) , وتعتمد شدة الإشعاع على التركيز النسبي للمستضد الموجود في العينة . وفي نهاية المعايرة حسب النتيجة أوتوماتيكي عن طريق الجهاز اعتماداً على المنحني القياسي المخزون في ذاكرة الجهاز وبعدها تم طباعة النتيجة عن طريق الجهاز أيضا .

طريقة العمل Procedure

تتضمن طريقة العمل الخطوات التالية :

- 1 - وضعت بطاقة M / e الخاصة بعدة الفحص في المكان المخصص لها في جهاز Minividas ليتعرف عن طريقها على الاختبار بشكل أوتوماتيكي إذ بدونها لا يتمكن الجهاز من اظهار النتيجة ومن ثم طباعتها .
- 2 - تم استعمال شريط SPR & STR واحد لكل من مصل الدم القياسي والسيطرة Standard & Control ووضعت في المكان المخصص لها في الجهاز .
- 3 - تم سحب 100 µl من عينة مصل الدم ووضعت في الحفرة (1) الخاصة بها على الشريط (STR) Strip ويتم ذلك لمصل الدم القياسي والسيطرة .
- 4 - تم اتباع الخطوات الخاصة بالجهاز والموجودة في الـ MANUAL الخاص بالجهاز ليقوم الجهاز بالبدء بعملية المعايرة أوتوماتيكي والتي تستغرق مدة 45 دقيقة .
- 5 - بعد ان تمت المعايرة وطباعة النتائج استخرجت STR و SPR من الجهاز ووضعت في حاوية خاصة حيث ان هذه الاشرطة تستعمل لمرة واحدة فقط .

3-10-2-3 قياس تركيز هرمون البرولاكتين :

Estimation of Prolactin hormone Concentration

تم قياس تركيز الهرمون في مصل دم الارانب وذلك بإتباع الخطوات المرافقة مع عدة الفحص الخاصة بهرمون البرولاكتين المتكون من المواد الآتية :

- 1-أشرطة (STR) الخاصة بهرمون prolactin : وهي أشرطة جاهزة للاستعمال من 10 حفر wells مغطاة بصفيحة رقيقة ومعلمة برمز prolactin لغرض تمييزها .
- 2 - Solid phase receptacles (SPRs) : وهي جاهزة للاستعمال تشبه تماماً (Tip) المستعمل في الماصة الدقيقة الا انها معلمة في نهايتها العريضة بالرمز prolactin لغرض تمييزها ايضا .
- 3 - (C1) prolactin control , (S1) prolactin calibrator , (R1) prolactin dilutant وهذه المواد جاهز للاستخدام .
- 4 - بطاقة MIE وهي بطاقة جاهزة تحتوي على المعلومات المشفرة الرئيسة لبيانات المعايرة المستعملة في تقويم الاختبار الخاص بتركيز هرمون البرولاكتين .

اعتمد مبدأ قياس تركيز هرمون البرولاكتين على طريقة Enzyme immunoassay sandwich method with a final Fluorescent detection .

وتعمل مسلمات الطور الصلب (SPRs) عمل الطور الصلب فضلا عن عملها بوصفها أداة ماصة في الوقت نفسه لأجل المعايرة, أما المحاليل المستخدمة في المعايرة فهي محاليل جاهزة ومحضرة على أشرطة معلمة Sealed reagents strips مثلما هو موضح سابقاً . أنجزت خطوات المعايرة أو القياس جميعاً بشكل أوتوماتيكي عن طريق جهاز Minividas حيث يتحرك وسط التفاعل بشكل دوري من وإلى SPRs والمحاليل الموجودة مرات عدة . تم نقل العينة الى داخل الحفرة الحاوية على anti-prolactin _ antibodies المعلمة Alkaline phosphates الرابط . ويتحرك خليط (العينة / الرابط) بشكل دوري من وإلى SPRs وبهذا يرتبط المستضد بالأجسام المضادة APR وكذلك بالرابط مكوناً بعد ذلك الشطيرة Sandwich و خلال الخطوات النهائية من المعايرة تتحرك المادة الأساس 4-Methly-umbiliferoyl phosphate بشكل دوري من وإلى SPRs . ويقوم الأنزيم بعد ذلك بتحليل المادة الأساس الى الناتج المشع وهو 4-Methly- umbelliferon الذي يتم قياس كمية الإشعاع فيه على طول موجي (450 نانوميتر) , وتعتمد شدة الإشعاع على التركيز النسبي للمستضد الموجود في العينة . وفي نهاية المعايرة حسب النتيجة أوتوماتيكي عن طريق الجهاز اعتماداً على المنحني القياسي المخزون في ذاكرة الجهاز وبعدها تم طباعة النتيجة عن طريق الجهاز أيضاً.

طريقة العمل Procedure

تتضمن طريقة العمل الخطوات التالية :

- 1 - وضعت بطاقة M / e الخاصة بعدة الفحص في المكان المخصص لها في جهاز Minividas ليتعرف عن طريقها على الاختبار بشكل أوتوماتيكي إذ بدونها لا يتمكن الجهاز من اظهار النتيجة ومن ثم طباعتها .
- 2 - تم استعمال شريط SPR & STR واحد لكل من مصل الدم القياسي والسيطرة Standard & Control وتوضع في المكان المخصص لها في الجهاز .
- 3 - تم سحب 100 µl من عينة مصل الدم ووضع في الحفرة (1) الخاصة بها على الشريط (STR) Strip ويتم ذلك لمصل الدم القياسي والسيطرة .
- 4 - تم اتباع الخطوات الخاصة بالجهاز والموجودة في الـ MANUAL الخاص بالجهاز ليقوم الجهاز بالبدء بعملية المعايرة أوتوماتيكيا والتي تستغرق مدة 45 دقيقة .
- 5- بعد ان تمت المعايرة وطباعة النتائج استخرجت STR و SPR من الجهاز ووضعت في حاوية خاصة حيث ان هذه الاشرطة تستعمل لمرة واحدة فقط .

4-10-2-3 قياس تركيز هرمون محفز الجريبات Estimation of FSH Concentration

يتم قياس تركيز الهرمون في مصل دم الارانب وذلك بإتباع الخطوات المرافقة مع عدة الفحص الخاصة بهرمون FSH المتكون من المواد الآتية :

- 1 -أشرطة (STR) Strips الخاصة بهرمون FSH : وهي أشرطة جاهزة للاستعمال من 10 حفر wells مغطاة بصفيحة رقيقة ومعلمة برمز FSH , لغرض تمييزها .
- 2 - Solid phase receptacles (SPRs) : وهي جاهزة للاستعمال تشبه تماماً (tip) المستعمل في الماصة الدقيقة الا انها معلمة في نهايتها العريضة بالرمز FSH لغرض تمييزها .
- 3 - FSH control (C1) : تم تحضيره باضافة 3 مل 3 من الماء المقطر وترك لمدة 5-10 دقائق .
- 4 - FSH calibrator (S1) : تم تحضيره باضافة 2 ملم 3 من الماء المقطر وترك لمدة 5 - 10 دقائق .
- 5 - FSH dilutant (R1) وهو جاهز للاستعمال .
- 6 - بطاقة MIE وهي بطاقة جاهزة تحتوي على المعلومات المشفرة الرئيسة لبيانات المعايرة المستخدمة في تقويم الاختبار الخاص بتركيز الهرمون المحفز للجريبات .

اعتمد مبدأ قياس تركيز الهرمون المحفز للجريبات على طريقة Enzyme immunoassay sandwich method with a final Fluorescent detection . وتعمل مسلمات الطور الصلب (SPRs) عمل الطور الصلب فضلا عن عملها بوصفها أداة ماصة في الوقت نفسه لأجل المعايرة, أما المحاليل المستخدمة في المعايرة فهي محاليل جاهزة ومحضرة على أشرطة مختومة Sealed reagents strips مثلما هو موضح سابقاً . أنجزت خطوات المعايرة أو القياس جميعاً بشكل اتوماتيكي عن طريق جهاز Minividas حيث يتحرك وسط التفاعل بشكل دوري من وإلى SPRs والمحاليل الموجودة مرات عدة . تم نقل العينة الى داخل الحفرة الحاوية على anti – FSH – antibodies المعلمة Alkaline phosphates الرابط . ويتحرك خليط (العينة / الرابط) بشكل دوري من وإلى SPRs وبهذا يرتبط المستضد بالأجسام المضادة APR وكذلك بالربط مكوناً بعد ذلك الشطيرة Sandwich . وخلال الخطوات النهائية من المعايرة تتحرك المادة الأساس 4-Methyl-umbiliferone phosphate بشكل دوري من وإلى SPRs . ويقوم الأنزيم بعد ذلك بتحليل المادة الأساس الى الناتج المشع وهو 4-Methyl-umbiliferone الذي يتم قياس كمية الإشعاع فيه على طول موجي (450 نانوميتر) ، وتعتمد شدة الإشعاع على التركيز النسبي للمستضد الموجود في العينة . وفي نهاية المعايرة حسبت النتيجة اتوماتيكياً عن طريق الجهاز اعتماداً على المنحني القياسي المخزون في ذاكرة الجهاز وبعدها تم طباعة النتيجة عن طريق الجهاز أيضاً .

طريقة العمل Procedure

تتضمن طريقة العمل الخطوات الآتية :

- 1 - وضعت بطاقة M / e الخاصة بعدة الفحص في المكان المخصص لها في جهاز Minividas ليتعرف عن طريقها على الاختبار بشكل اتوماتيكي إذ بدونها لا يتمكن الجهاز من أظهار النتيجة ومن ثم طباعتها .
- 2 - تم استخدام شريط SPR & STR واحد لكل من مصل الدم القياسي والسيطرة Standard & Control ووضعت في المكان المخصص لها في الجهاز .
- 3 - تم سحب 100 µl من عينة مصل الدم ووضعت في الحفرة (1) الخاصة بها على الشريط Strip (STR) ويتم ذلك لمصل الدم القياسي والسيطرة .
- 4 - تم اتباع الخطوات الخاصة بالجهاز والموجودة في الـ manual الخاص بالجهاز . ليقوم الجهاز بالبداية بعملية المعايرة اتوماتيكياً والتي تستغرق مدة 45 دقيقة .
- 5 - بعد ان تمت المعايرة وطباعة النتائج استخرجت STR و SPR من الجهاز ووضعت في حاوية خاصة تستعمل لمرة واحدة فقط .

5-10-2-3 قياس تركيز الهرمون اللوتيني LH Estimation of LH Concentration

تم قياس الهرمون اللوتيني باتباع الخطوات المرافقة مع عدة الفحص الخاصة بالهرمون اللوتيني المتكونة من المواد الآتية:

1 -أشرطة Strips الخاصة بالهرمون اللوتيني LH وهي جاهزة للاستعمال ومثلما هو الحال في أشرطة الهرمون المحفز للجريبات FSH , فهي تتكون من عشر حفر .

2 - Solid Phosereceptacles (SPR2) : وهي جاهزة للاستعمال مشابهة تماماً الى SPR2 الخاصة بهرمون المحفز للجريبات الا انها معلمة بالهرمون اللوتيني .

3- (C1) LH Control : تم تحضيره بإضافة 3 ملم³ من الماء المقطر وتركه لمدة 5-10 دقائق .

4 - (S1) LH Calibrator : تم تحضيره بإضافة 2 ملم³ من الماء المقطر وتركه لمدة 5-10 دقائق .

5 - (R1) LH dilutant : وهو جاهز للاستعمال .

6 - بطاقة MLe : وهي بطاقة جاهزة تحتوي على المعلومات المشفرة الرئيسة لبيانات المعايرة المستخدمة في تقويم نتيجة الاختبار الخاص بتركيز الهرمون اللوتيني .

اعتمد مبدأ قياس تركيز هرمون LH أيضاً على Combines enzyme immunoassay sandwich method with a final Fluorescent detection إذ يحدث تنافس بين المستضد الموجود في العينة و المستضد المعلم بـ Anti-LH antibodies المغطية للـ SPR1 وفي النهاية يتكون ناتج مشع تم قياس كمية هذا الإشعاع عن طريق الجهاز بشكل اتوماتيكي . أما بالنسبة لطريقة العمل فقد تم اتباع الطريقة ذاتها المستخدمة في أثناء قياس الهرمون المحفز للجريبات .

11-2-3 تحضير خليط نسيج الغدة النخامية

بعد التضحية بالحيوان واستخراج الغدة النخامية ، تم هرس النسيج في الخلاط (جفنه خزفية) مع 10 مل من الماء المقطر بعد الانتهاء من عملية الهرس وضع المزيج في انابيب وترك لفترة 3 أيام في درجة حرارة الغرفة مع بضع قطرات من الكلوروفورم الا في فصل الصيف يفضل الاحتفاظ بالمزيج في الثلجة ، ثم اجريت عملية الطرد المركزي بسرعة 3000 دورة / دقيقة لمدة عشر دقائق وفصل الراشح عن الراسب واخذ الراشح ووضع في انابيب بلاستيكية محكمة الغطاء ووضعت في الثلجة بدرجة حرارة 4 C - الى حين اتمام قياس هرمون LH .

12-2-3 قياس فعالية الإنزيمين (ALP) Alkaline Phosphatase وانزيم

5' - Nucleotidase (NTD) في نسيج الغدد اللبنية ونسيج الرحم

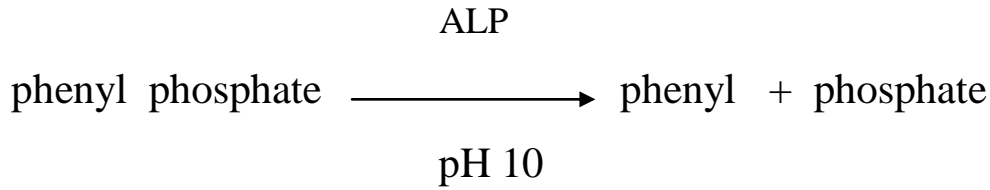
تحضير النسيج :

تم جمع عينات نسيج الغدد اللبنية ونسيج الرحم بعد التضحية بالحيوانات مباشرة وحفظه في انابيب حاوية على المحلول الملحي المتعادل بتركيز 0.9 % ووضعت الانابيب في المجمدة في درجة حرارة 20- م لحين الاستعمال. تم مجانسة الغدد اللبنية وكذلك نسيج الرحم باستخدام المجانس الزجاجي Glass Homogenizer وذلك باستخدام محلول منظم (50 M) ذي PH=8 وبنسبة 3:1 (وزن/حجم) استمرت عملية المجانسة الى ان اصبح مزيجا متجانسا ، اجريت هذه العملية والعمليات التالية في وسط بارد باستخدام كمية من الثلج للحيلولة دون تلف الانزيمات . بعد الانتهاء من عملية السحق اضيف الى الراشح 1 مل من محلول دارى الفوسفات ونقل الى جهاز الطرد المركزي بسرعة 3000 دورة / دقيقة لمدة 10 دقائق وفصل الراشح عن الراسب وأخذ الراشح ووضع في انابيب بلاستيكية محكمة الغطاء، و وضع في المجمدة بدرجة 20- م الى حين استعماله في قياس فعالية انزيم الفوسفاتيز القاعدي ALP وانزيم NTD ..

12-2-3-1 قياس فعالية أنزيم الفوسفاتيز القاعدي Alkaline phosphatase

(ALP) في نسيج الغدد اللبنية ونسيج الرحم

استخدمت عدة التحليل الجاهزة من شركة Bio merieux الفرنسية في قياس فعالية انزيم ALP باتباع الطريقة اللونية من قبل (Kind and King, 1954) . وذلك بحساب كمية الفينول المتحررة من المادة الاساس وهي على وفق التفاعل الاتي :



وقراءة اللون عند طول موجي قدره 510 نانوميتر باستخدام جهاز مطياف من نوع - Spectomic
20 وتتم حساب فعالية الانزيم من المعادلة الاتية :

$$\text{فعالية الانزيم} = \frac{\text{أمتصاصية النموذج} - \text{أمتصاصية الكفئ}}{\text{تركيز المحلول القياسي}} \times \text{تركيز المحلول القياسي}$$

وقد كان تركيز المحلول القياسي هو 20 وحده لكل 100 مل او 142 وحدة لكل لتر .

2-12-2-3 قياس فعالية انزيم نيوكليوتايديز (NTD) 5'- Nucleotidase في

نسيج الغدد اللبنية ونسيج الرحم

تم تقدير فعالية انزيم نيوكليوتايديز باستخدام عدة فحص NTD في جدول (3- 1) وفقا لطريقة
(Rieder and Mitra , 1969) .

طريقة العمل :

1- انبوب A : يضاف 0.1 مل من المادة الطافية Supernatant الى 2 مل من المزيج الذي يتضمن

[5,- AMP 0.002M, sodium barbital 0.02 M, PH 7.5, and MgCl₂ 0.04 M]

2- انبوب B : يحتوي على كل من المحاليل السابقة بالاضافة الى 0.02 ml of NiCl₂(1M)

توضع الانابيب A و B في الحاضنة بدرجة 37 م لمدة 1 ساعة ، و ينتهي التفاعل باضافة

1.0 ml of 4% (w/v) sodium lauryl sulfate (SDS) and 0.5 ml of 4 M sodium acetate buffer, PH 4.5 (dissolve 27.2 gm/1 Sodium acetate, 0.2M with Acetic acid ,0.2M).

الى كلا الانبوبين . ثم يضاف الى انبوب A 0.02 مل من $NiCl_2(1M)$. ثم 0.2 مل من 5% ammonium – molybdate. $4H_2O$ (w/v) اضيف لكل انبوب 1 مل من 0.05 NHC1 . 2% (w/v) ascorbic acid .

تركت الانابيب لمدة 30 دقيقة في درجة حرارة الغرفة لزيادة شدة اللون والذي يقاس عند الطول الموجي 660 نانوميتر باستخدام جهاز المطياف Spectrophotometer .
تقاس فعالية الانزيم = امتصاصية انبوب A _ امتصاصية انبوب B

13-2-3 قياس المعايير الكيموحيوية Biochemical test

1-13-2-3 تقدير تركيز المالوندايالديهيد في مصل الدم Estimation of

Malondialdehyde (MDA)

استخدمت طريقة تفاعل حامض الثايوباربيتويك Thiobarbituric acid (TBA) وحسب هذه الطريقة ، قيس تركيز المالوندايالديهيد Malondialdehyde (MDA) الذي يمثل احد النواتج الرئيسية لعملية اكسدة الدهن ويعد مستواه مؤشرا لهذه العملية ، اذ يعتمد القياس على التفاعل بين المالوندايالديهيد مع (TBA) (Muslih, et al , 2001) .

المحاليل المستخدمة :

1- محلول الثايوبارتيورك (TBA- solution)

يحضر باذابة 0.6 غم من مادة الTBA في 100 مللتر من الصودا الكاوية بتركيز 0.05 مولاي باستخدام القليل من التسخين ، ويحضر هذا المحلول عند الاستعمال .

2- محلول حامض الخليك ثلاثي الكلور (TCA-solution) Trichloro Acetic Acid

يحضر هذا المحلول بتركيزين ، التركيز الاول 17.5% يحضر باذابة 17.5 غم من مادة TCA في 100 مللتر من الماء المقطر ، والتركيز الثاني 70% يحضر باذابة 70 غم من المادة نفسها في 100 مللتر من الماء المقطر، ويحفظ في الثلاجة لحين الاستخدام .

طريقة العمل Procedure

1- يؤخذ 150 مايكروليتر من مصل الدم ويضاف اليه 1 مل من محلول TCA بتركيز 17.5% ويضاف 1 مللتر من محلول TBA الى المزيج ، ويرج جيدا وتحضن الانابيب في ماء مغلي لمدة 15 دقيقة .

2- تبرد العينات ويضاف اليها 1 مللتر من محلول TCA بتركيز 70% ويترك المزيج بدرجة 37 مئوية لمدة 20 دقيقة .

3- يفصل الراشح باستخدام جهاز الطرد المركزي بسرعة 2000 دورة / دقيقة ولمدة 5 دقائق .

4- تقرا الامتصاصية عند الطول الموجي 532 نانوميتر باستخدام جهاز المطياف الضوئي ويحسب مستوى MDA حسب المعادلة الآتية :
يتم إيجاد التركيز باستخدام معامل الامتصاصية :-

$$\epsilon = 1.53 * 10^5 \text{ M}^{-1} \text{ cm}^{-1}$$

الحسابات: نستخرج تركيز المالوندايلهايد من المعادلة التالية

$$\text{serumMDA} = \frac{\text{Absorbance}}{d \times \epsilon} \times D.F$$

Serum MDA :- تركيز المالونداي الديهايد

Absorbance :- الامتصاصية (من الجهاز)

عرض الخلية (d = 1 سم وهو ثابت)

ϵ = معامل الامتصاصية (ثابت)

D.F = معاما التخفيف ويساوي 5.51

2-13-2-3-3 Estimation of تركيز الكلوتاثيون المختزل في مصلى الدم

Reduced Glutathione (GSH)

تم قياس تركيز الكلوتاثيون في مصلى الدم باستخدام طريقة كاشف المان Ellmans المتبعة من قبل .

(AL- Zamely , et al , 2001)

المحاليل المستخدمة :

1- محلول حامض السلفوساليسيليك Sulfosalicylic acid solution

يحضر باذابة 4 غم من حامض السلفوساليسيليك في 100 ملليلتر من الماء المقطر ويحفظ في الثلاجة .

2- محلول دارى الفوسفات Phosphate buffer solution

يحضر بمزج (0.6 M KH₂PO₄) و (0.08 M Na₂HPO₄) ، ويضبط الاس الهيدروجيني عند 8 .

3- محلول كاشف المان Ellmans

يحضر بتركيز 0.1 ملي مول باذابة 0.00396 غم من مادة 2- dithio bis 5-5 nitrobenzoic acid (DTNB) في 100 مليلتر من المحلول المنظم ويحفظ الكاشف في الثلاجة .

طريقة العمل Procedure

1- مزج حجم متساوي (150) مايكروليتر من مصد الدم ومحلول حامض Sulfosalicylic acid بتركيز 4% .

2- فصل الراشح باستخدام جهاز الطرد المركزي بسرعة 2000 دورة / دقيقة لمدة 5 دقائق .

3- سحب 150 مايكروليتر من الراشح الى انبوبة اختبار ، واضيف اليها 4.5 مللتر من كاشف المان Ellmans 0.1 ملي مول، وتترك لمدة 5 دقائق .

4- قرات الامتصاصية للمحلول باستخدام جهاز الطيف الضوئي عند الطول الموجي 412 نانوميتر .

تم حساب تركيز الكلوتاثيون في مصد الدم باستخدام المعادلة الاتية :

Absorbance

$$\text{تركيز الكلوتاثيون (ميكرومول / لتر)} = \frac{\text{Absorbance}}{\text{L} * \text{Eo}}$$

L * Eo

حيث ان :

$$\text{Eo} = 13600 \text{ M}^{-1} \text{ CM}^{-1}$$

L = light path (Cm)

Statistical analysis 14-2-3 التحليل الاحصائي

حللت نتائج تجارب الدراسة وفق نموذج التجارب العاملية وبتصميم تام التعشبية
Factorial experiments with completely randomized design ، وتم استعمال اختبار
أقل فرق معنوي (L. S. D) Least Significant Difference تحت مستوى 0.05 لبيان معنوية
الفروق بين المعاملات المختلفة (الراوي وخلف الله ، 2000).

الفصل الرابع
النتائج والمناقشة

Results and Discussion

4- النتائج والمناقشة Results and Discussion

1-4 الدراسة النسجية : Histological study

تأثير إزالة المبايض الثنائية والأحادية على نسيج الغدد اللبنية للعداري والمرضعات في الارانب المحلية

1-1-4 صبغة الهيماتوكسلين والايوسين Haematoxylin and Eosin staining

أظهرت النتائج النسجية لمقاطع الغدد اللبنية للعداري والمرضعات التغييرات النسجية التالية :

1-1-1-4 مجموعة العذاري Virgin group :

أظهرت النتائج النسجية لمقاطع الغدة اللبنية لمجموعة السيطرة العذاري التركيب النسجي الطبيعي للغدد اذ لوحظ وجود الفصيصات الحاوية على البراعم الحويصلية والسدى بين الفصيصات وكذلك النسيج الدهني صورة (1-4) .

اما في صورة (2-4) لمقطع نسجي للغدة اللبنية للعداري في مجموعة المعاملة بازالة المبايض الكاملة فيلاحظ فيها قلة الفصيصات والبراعم الحويصلية والكثير من النسيج الدهني مقارنة مع مجموعة السيطرة. يلاحظ في المجموعة المعاملة بازالة المبيض الايمن أنسجة الغدد اللبنية في صورة (3-4) وجود الفصيصات والبراعم الحويصلية النشطة ولوحظت القنوات اللبنية والنسيج الدهني . اما المقطع النسجي في الصورة (4-4) للغدد اللبنية لمجموعة ازالة المبيض الايسر ، يلاحظ الفصيصات والبراعم الحويصلية المتوسعة النشطة وقلة النسيج الدهني.

2-1-1-4 مجموعة المرضعات Lactating group

إما بالنسبة للمرضعات فقد أظهرت نتائج الدراسة الحالية صورته (5-4) لنسيج الغدة اللبنية لمجموعة السيطرة للمرضعات التركيب النسجي الطبيعي للغدد والحويصلات المتفرعة وقلة السدى Stroma ، كما يلاحظ وجود الإفرازات في الحويصلات .

إما في نسيج الغدة اللبنية في مجموعة الإزالة الكاملة للمرضعات حيث يلاحظ كثرة الحويصلات غير الفعالة وكثرة السدى و صغر حجم الفصيصات صورة (6-4) .

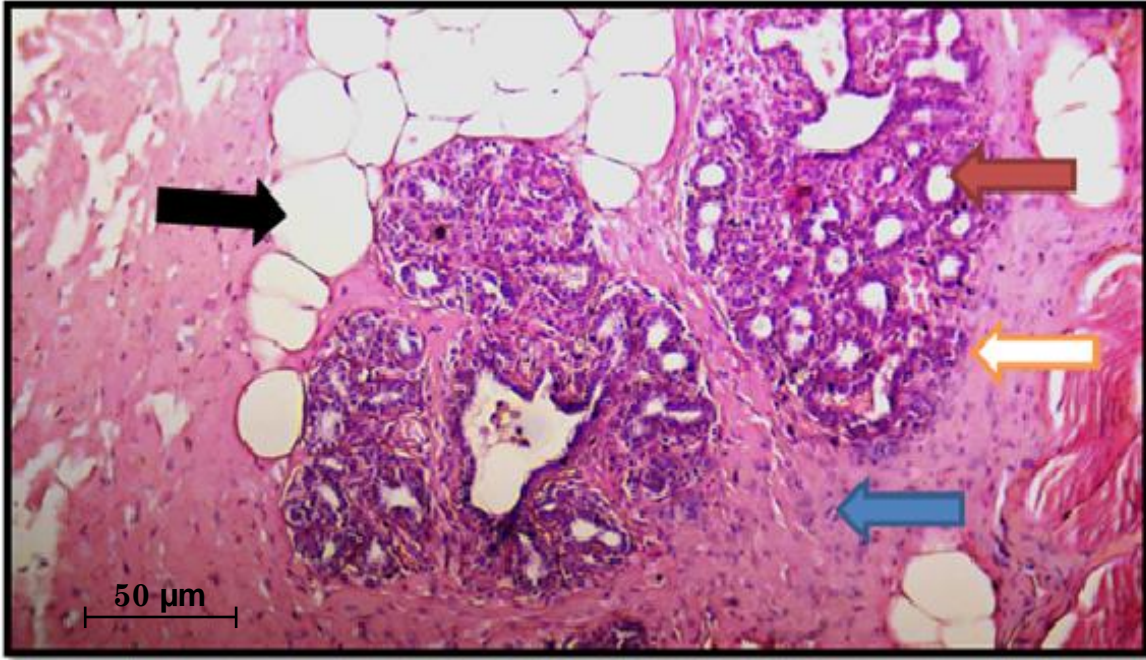
بينما في المجموعة المعاملة بإزالة المبيض الأيمن أظهرت المقاطع النسجية وجود حويصلات متفرعة حاوية على إفرازات مع قلة السدى صورة (7-4) .

إما صورة (4-8) فهي تبين التركيب النسجي للغدة اللبنية في مجموعة ازالة المبيض الايسر حيث يلاحظ فيها الحويصلات المتفرعة وكثرة السدى كما يلاحظ وجود الافرازات بتركيب نسجي مقارب للطبيعي . ان نمو الغدة اللبنية يكون تحت السيطرة الهرمونية لهرموني الاستروجين والبروجستيرون والذان يفرزان من المبايض بالمشاركة مع هرمون البرولاكتين Prolactin الذي يفرز من الفص الامامي للغدة النخامية (Briskin and O' Malley, 2010) .

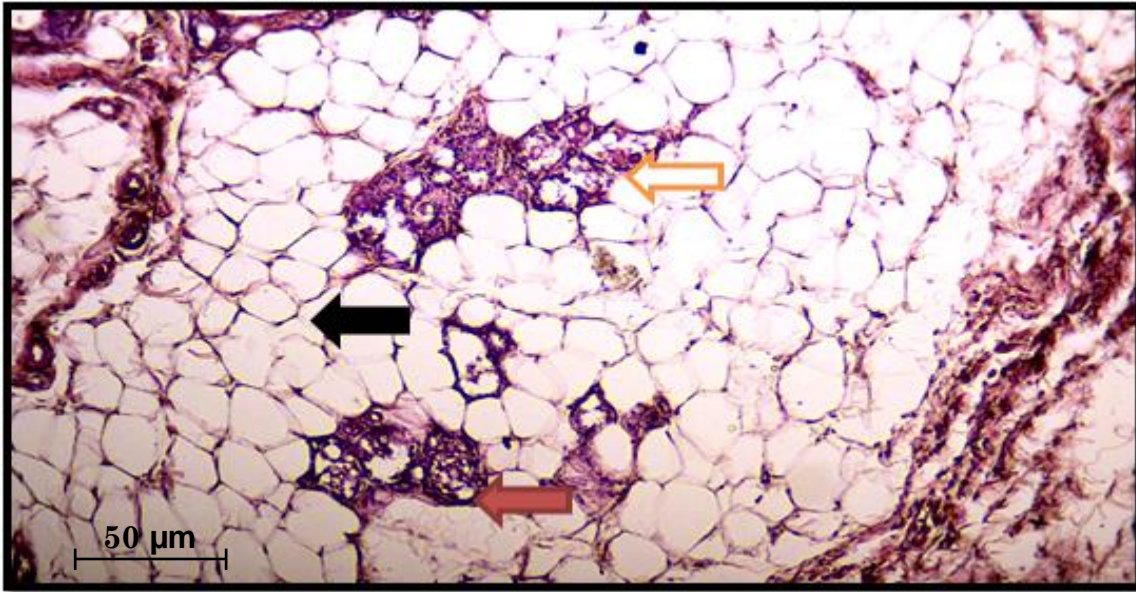
ان هرمون الاستروجين مسؤول عن عملية استطالة القنوات Elongation اذ يحفز استطالة قنوات الحليب للغدة اللبنية ، اما هرموني البروجستيرون والبرولاكتين فهما مسؤولان عن التكوين السنخي Alveologenesis (Asselin-Labat et al., 2010 ; Josh et al., 2010) . اما في حالة قلة هرموني الاستروجين والبروجستيرون عند ازالة المبايض فيحدث اضطرابات في تلك العمليتين ولهذا نلاحظ كثرة الحويصلات غير الفعالة وصغر الفصيصات و قلة النسيج البرنكي كما تكون القنوات غير متطورة وتتألف من 1-2 من القنوات الرئيسة مع تفرعات محددة (Berry et al., 2003) .

لذا ادت عملية الاستئصال الكامل للمبايض للدراسة الحالية الى صغر حجم الفصيصات وكثرة الحويصلات غير الفعالة و السدى للمرضعات وقلة عدد الحويصلات والبراعم الحويصلية للعدارى نتيجة لانخفاض هرمون الاستروجين والبروجسترون حيث يعد المبيض المصدر الرئيس لافرازها ، اما الزيادة في نسبة النسيج الدهني فترتبط بقلة انتاج الحليب وبالعكس (Guyton and Hall, 2016) .

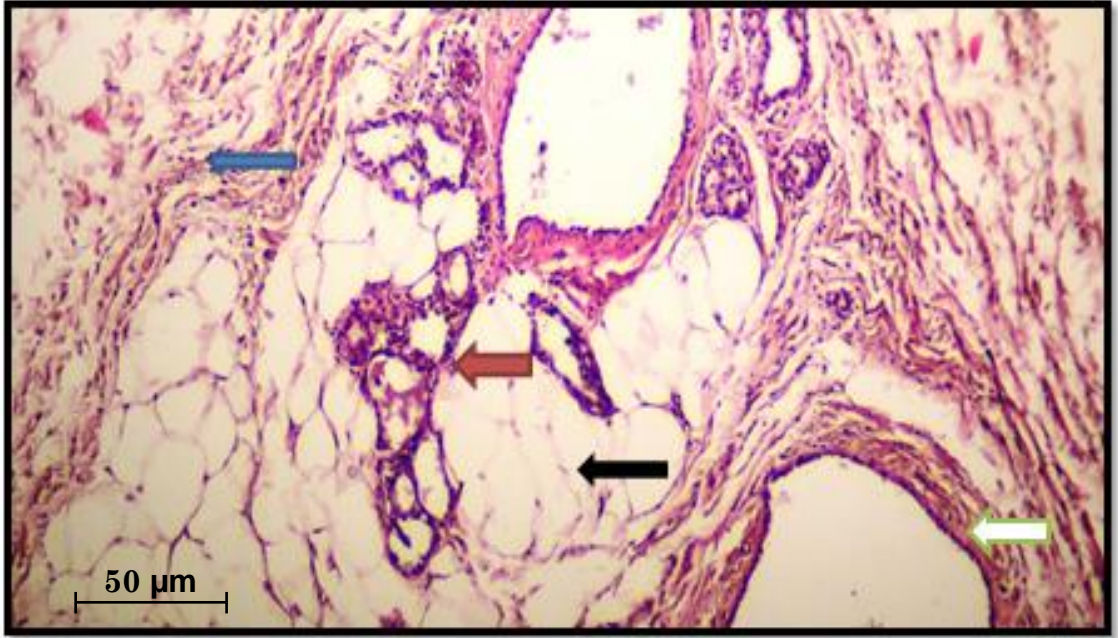
تتفق نتائج الدراسة الحالية مع دراسة Purup et al. , (1995) ، على العجول و Dessauge (2009) et al., في دراسة على الماعز اذ لاحظوا ان عملية ازالة المبايض تؤدي الى انخفاض في النسيج البرنكي للغدة اللبنية ونقصان في تمايز وتكاثر الخلايا الطلائية للغدة اللبنية مع زيادة واسعة في كمية النسيج الدهني Adipose tissue مقارنة مع النسيج الافرازي البرنكي في حيوانات مزالة المبايض ، كما لاحظوا أن معدل تكاثر الخلايا الطلائية للغدة اللبنية واطى وبشكل ملحوظ وغير متطورة مع قلة الفصيصات والنسيج الطلائي للقنوات غير متطورة وتفرع القنوات اللبنية محدودة ، وهذا التأثير هو نتيجة لانخفاض تركيز هرمون الاستروجين في حيوانات مزالة المبايض ، اذ ان تكاثر الخلايا الظهارية الفارزة للغدة اللبنية يكون تحت تأثير هرموني الاستروجين والبروجستيرون ، وكذلك تفرع القنوات اللبنية (Briskin and O' Malley, 2010) . كما اتفقت النتائج مع دراسة (Tad-Urai and Sookvanichsilp, 2007) ، اذ لاحظوا انخفاض في عدد البراعم الطرفية للغدة اللبنية وانخفاض في القنوات الطرفية وعدد الفصيصات والبراعم الحويصلية وبالتالي انخفاض في مجموع القنوات الكلية للغدة اللبنية في الجرذان مزالة المبايض.



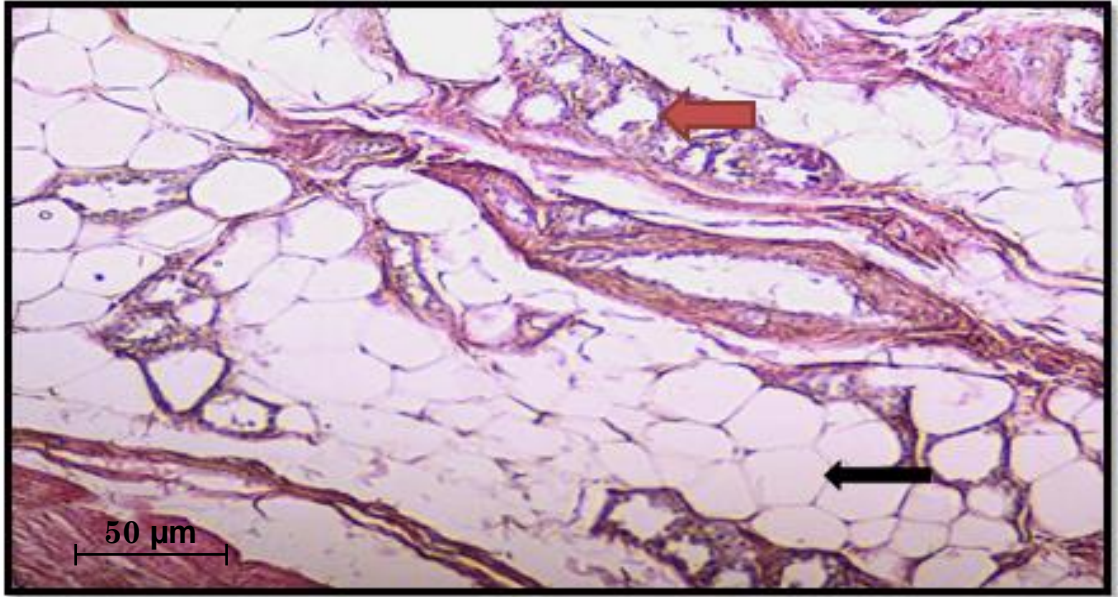
صورة رقم (1-4) مقطع نسجي لغدة لبنية لمجموعة سيطرة العذارى يلاحظ الفصيصات () والبراعم الحويصلية () والسدى بين الفصيصات () وكذلك النسيج الدهني () (H & E 100 X)



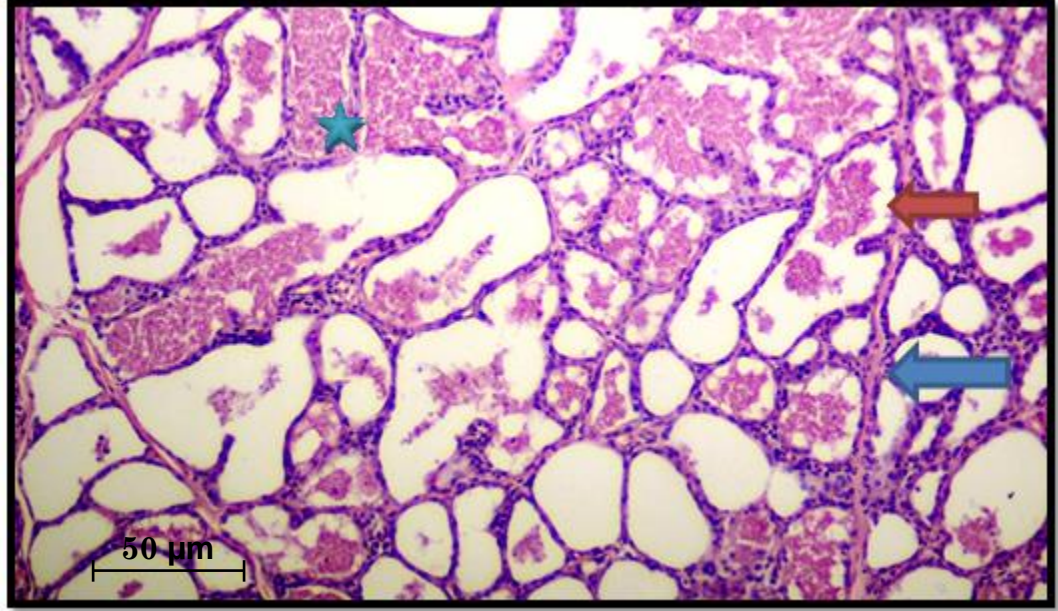
صورة رقم (2-4) مقطع نسجي لغدة لبنية لمجموعة الازالة للمبايض العذارى حيث يلاحظ قلة عدد الفصيصات () والبراعم الحويصلية () وكثرة النسيج الدهني () (H&E 100X)



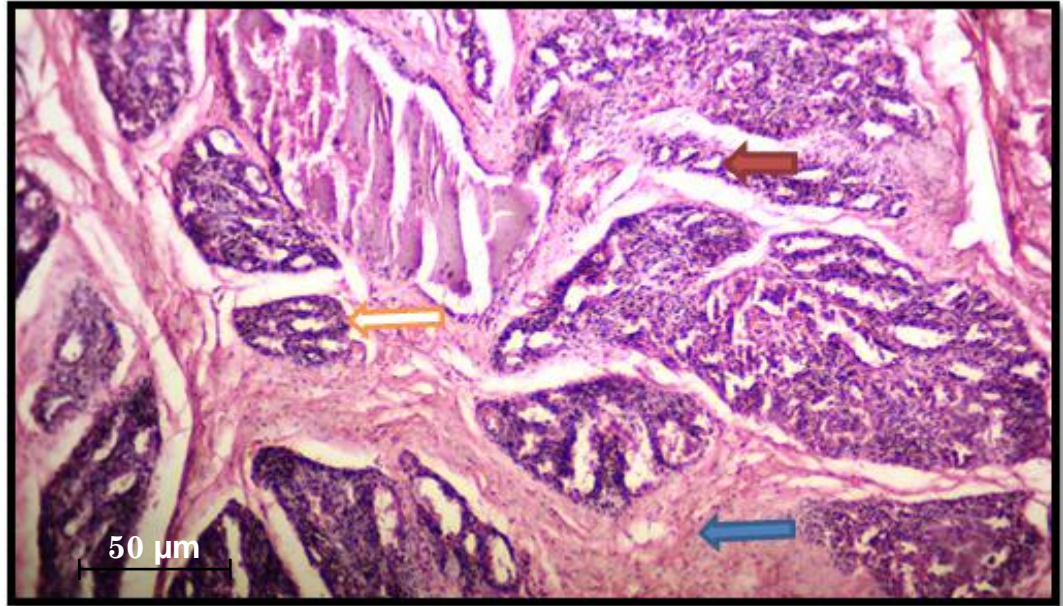
صورة رقم (3-4) مقطع نسجي لغدة لبنية لمجموعة إزالة المبيض الايمن العذارى البراعم الحويصلية المتوسعة (النشطة) (↔) والقنوات اللبنية (↔) وكذلك النسيج الدهني (↔) والسدى (↔) (H&E 100X).



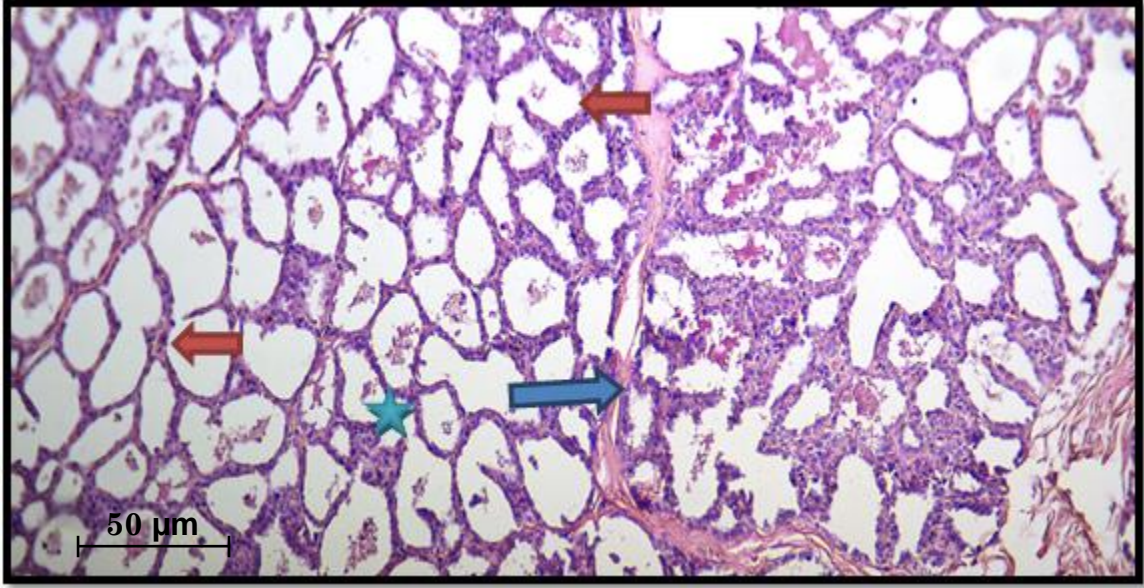
صورة رقم (4-4) مقطع نسجي لغدة لبنية لمجموعة إزالة المبيض الأيسر العذارى حيث يلاحظ البراعم الحويصلية المتوسعة (النشطة) (↔) والنسيج الدهني (↔) (H&E 100X).



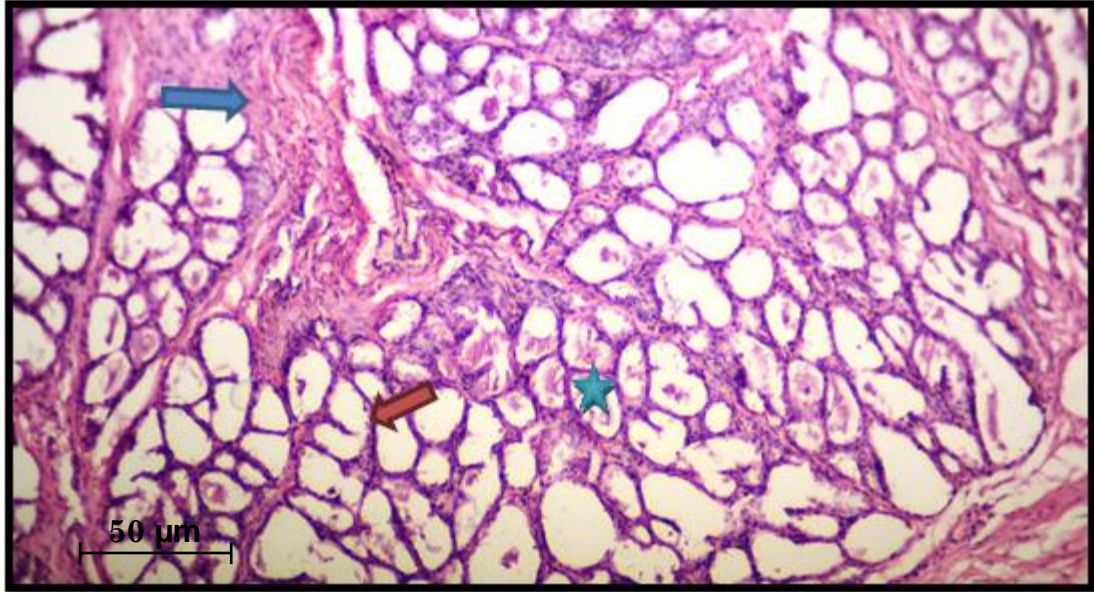
صورة رقم (4-5) مقطع نسجي لغدة لبنية لمجموعة سيطرة للمرضعات تبين الحويصلات المتفرعة (←) وقلة السدى (←) كما يلاحظ وجود الإفرازات (★) (H&E 100X).



صورة رقم (4-6) مقطع نسجي لغدة لبنية لمجموعة الازالة الكاملة للمرضعات حيث يلاحظ كثرة الحويصلات غير الفعالة (←) وكثرة السدى (←) كما يلاحظ صغر الفصيصات (←) (H&E 100X).



صورة رقم (7-4) مقطع نسجي لغدة لبنية لمجموعة ازالة المبيض الايمن للمرضعات حيث يلاحظ الحويصلات المتفرعة (←) وقلة السدى (→) كما يلاحظ وجود الافرازات (★) (H&E 100X).



صورة رقم (8-4) مقطع نسجي لغدة لبنية لمجموعة ازالة المبيض الايسر للمرضعات حيث يلاحظ الحويصلات المتفرعة (←) وكثرة السدى (→) كما يلاحظ وجود الافرازات (★) (H&E 100X).

2-4 الدراسة الكيمونسجية Histochemical study

1-2-4 صبغة كاشف شف الدوري (PAS) Periodic Acid Schiff

تم صبغ المقاطع النسجية بصبغة اخرى لغرض الكشف عن وجود الكربوهيدرات في نسيج الغدد اللبنية للعدارى والمرضعات

1-1-2-4 مجموعة العذارى Virgin group

اظهر فحص المقاطع النسجية للغدد اللبنية في مجاميع السيطرة والإزالة الكاملة وإزالة المبيض الأيمن والمبيض الأيسر للارانب المحلية تفاعلا سالبا للصبغة صورة (4-9) (4-10) (4-11) (4-12) على التوالي .

2-1-2-4 مجموعة المرضعات Lactating group

اظهر فحص المقاطع النسجية للغدد اللبنية تفاعلاً موجبا للصبغة في تجويف الحويصلات لمجموعة السيطرة كما في الصورة (4-13) ، كما اظهرت تفاعلاً موجبا للصبغة في تجويف الحويصلات اللبنية للمجاميع المعاملة بإزالة المبايض الكاملة صورة (4-14) ومجموعتي إزالة المبيض الأيمن صورة (4-15) وإزالة المبيض الأيسر صورة (4-16).

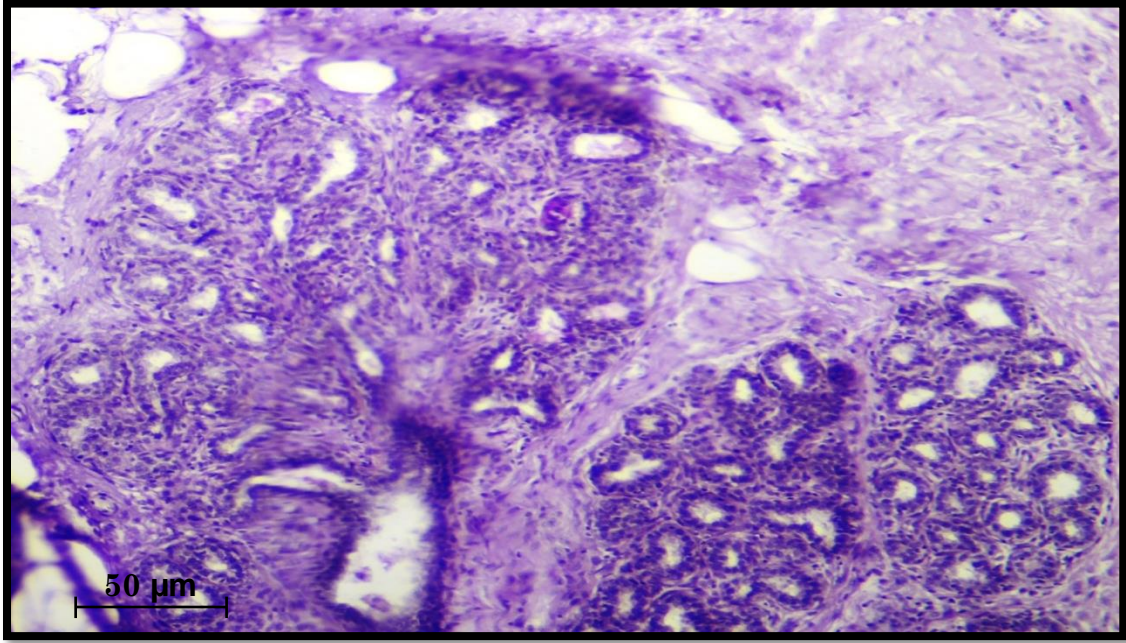
الغدة اللبنية هي عضو متفرع يخضع لكثير من التطور بعد الولادة تحت سيطرة الهرمونات التناسلية منها هرمون الاستروجين الذي له دور في تطور الغدة اللبنية في سن البلوغ وذلك من خلال حثة على تكوين التفرعات الجانبية لقنوات الغدة اللبنية في الدورة المبيضية وفي المراحل المبكرة من الحمل ، يعمل هرمون البروجسترون بالتناسق مع الاستروجين خاصة على نمو الفصيصات وتبرعم الاسناخ ، وتطور الخواص الافرازية لخلايا الاسناخ (Briskin and O'Malley,2010) .

كما ان نمو الغدد اللبنية وتمايز خلاياها المختلفة يزداد بشكل سريع خلال الأيام الأولى من الرضاعة، ويأتي ذلك من انقسامات الخلايا الظهارية وزيادة عددها وارتفاعها وحجمها الكلي. كما تزداد في الوقت نفسه الانسجة الضامة والاعوية الشعرية المغذية للاسناخ. وكل هذه التغيرات تسهم بشكل او بأخر في زيادة الفعالية الافرازية للغدد (Van Keymeulen *et al.*, 2011). ان عملية ازالة المبايض تؤدي الى انخفاض في مستوى تركيز الاستروجين والبروجستيرون وبهذا تبقى الغدة اللبنية غير متطورة (Berry *et al.*, 2003) .

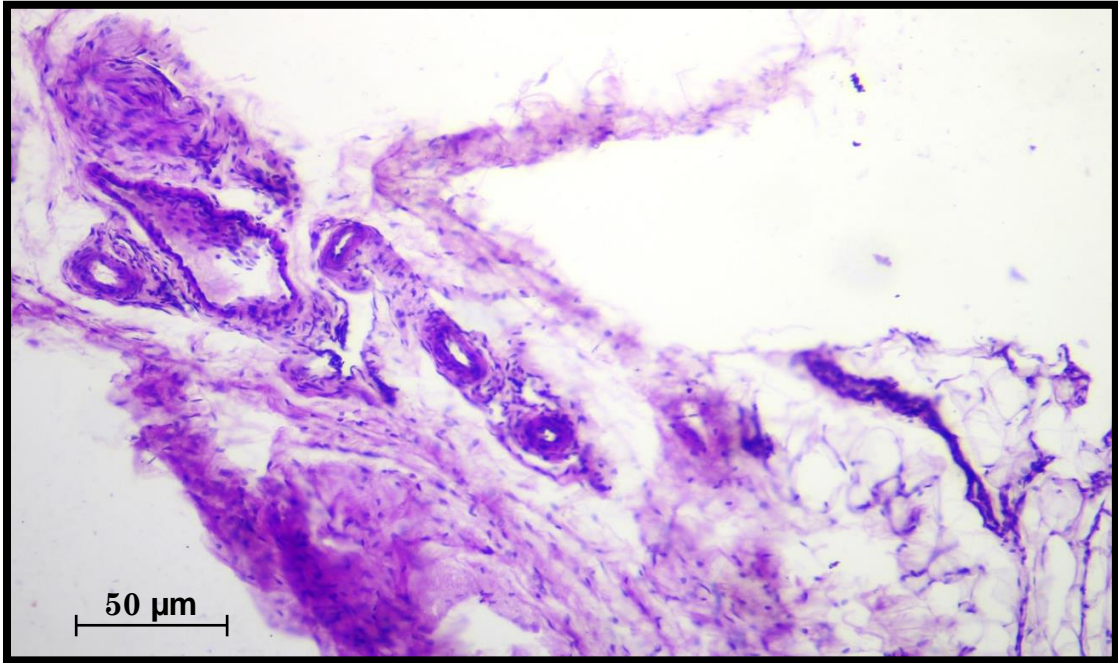
اما في حالة ازالة المبايض لمجموعة المرضعات فقد لوحظ التفاعل الايجابي باستخدام صبغة PAS وهذا يدل على حدوث تصنيع للحليب، إذ ان اثناء مرحلة الرضاعة تكون الغدد اللبنية قد اكملت نموها وتطورها واكتمل تخصص المتن فيها الذي يمثل الجزء الغدي المتكون من الخلايا الظهارية المبطنه للاقنية والخلايا الظهارية الفارزة المبطنه للاسناخ، حيث ان زيادة عدد الخلايا الظهارية الفارزه المبطنه للاسناخ هو المسؤول المباشر عن زيادة تصنيع وافراز الحليب (Pang and Hartmann,2007; Urashima,2012).

أن زيادة المادة الافرازية في الاسناخ والقنوات اللبنية يفسر التفاعل الايجابي للصبغة ، حيث أن المستويات العالية من هرمون البرولاكتين Prolactin في المرضعات يؤدي الى تعزيز إفراز الحليب (Anderson *et al.*, 2007) . فقد يعزى هذا التفاعل الايجابي القوي للصبغة الى وجود البروتين السكري Glycoprotein (Drury and Wallington, 1980) . بالإضافة الى هذا قد يشير Glycoprotein مع قطرات الدهون الكبيرة الى حقيقة وجود توليفة من المكونات الرئيسية الثلاثة للحليب وهي الكربوهيدرات والبروتينات والدهون (Magi *et al.*, 2002; Oftedal, 2013).

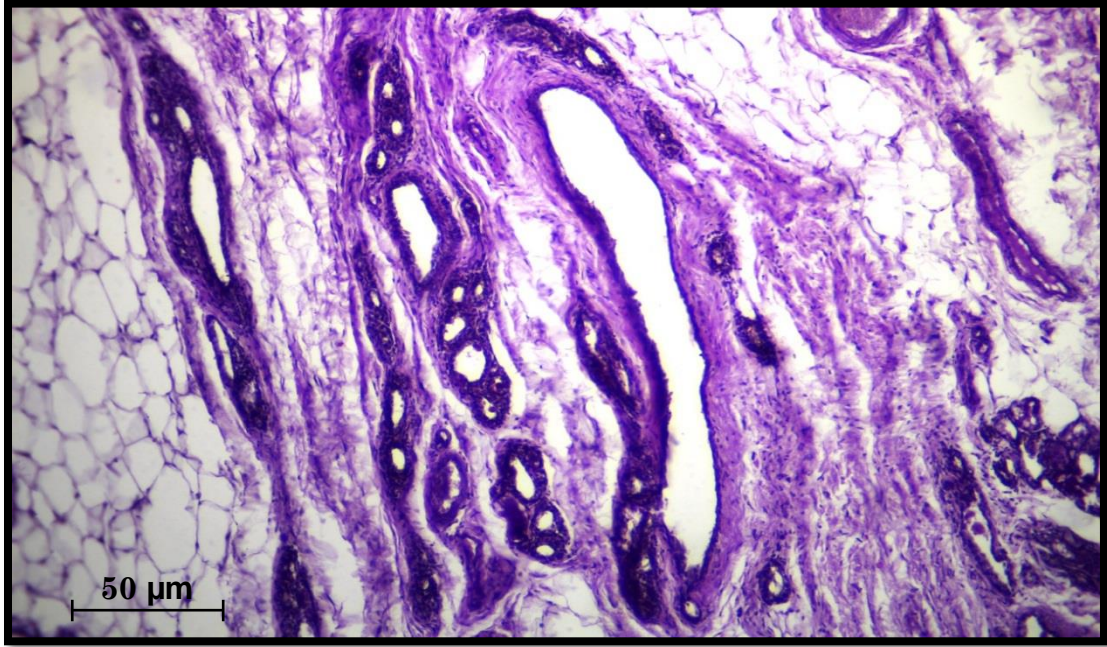
بعد الولادة، يُحث هرمون البرولاكتين من خلال التحفيز المباشر على تصنيع بروتينات الحليب في الظهارة الطلائية للغدة اللبنية و يحفز بصورة غير مباشرة على تكاثر الخلايا الفارزة للحليب (Naylor *et al.*, 2003) وتشير نتائج الهرمونات في الدراسة الحالية ان الارتفاع معنوي ($p < 0.05$) في هرمون البرولاكتين في المرضعات ضروري للتكوين الحليبي (Briskin,2002) . لم تؤثر عملية إزالة المبايض في فترة الرضاعة لانواع مختلفة من الحيوانات وذلك لدور هرمون البرولاكتين بعملية الارضاع حيث يعمل كمحفز لإدرار الحليب من الغدة اللبنية (Oftedal,2012) .



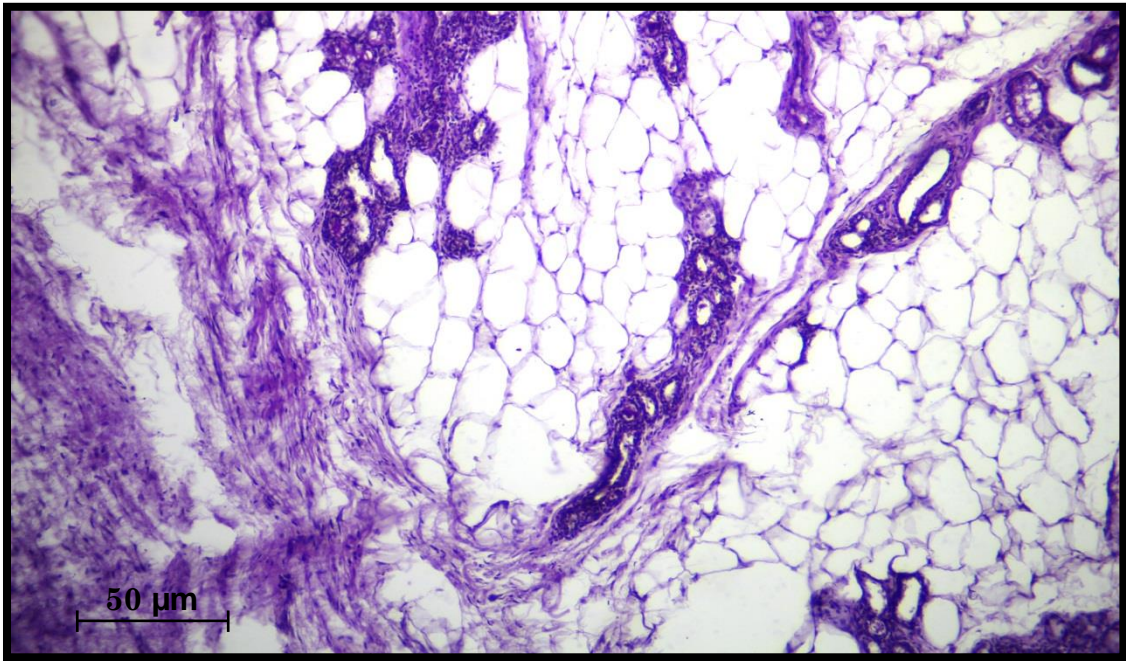
صورة رقم (4-9) مقطع نسجي في الغدد اللبنية مجموعة السيطرة للعذارى ، تظهر تفاعل سالب لصبغة PAS (100X)



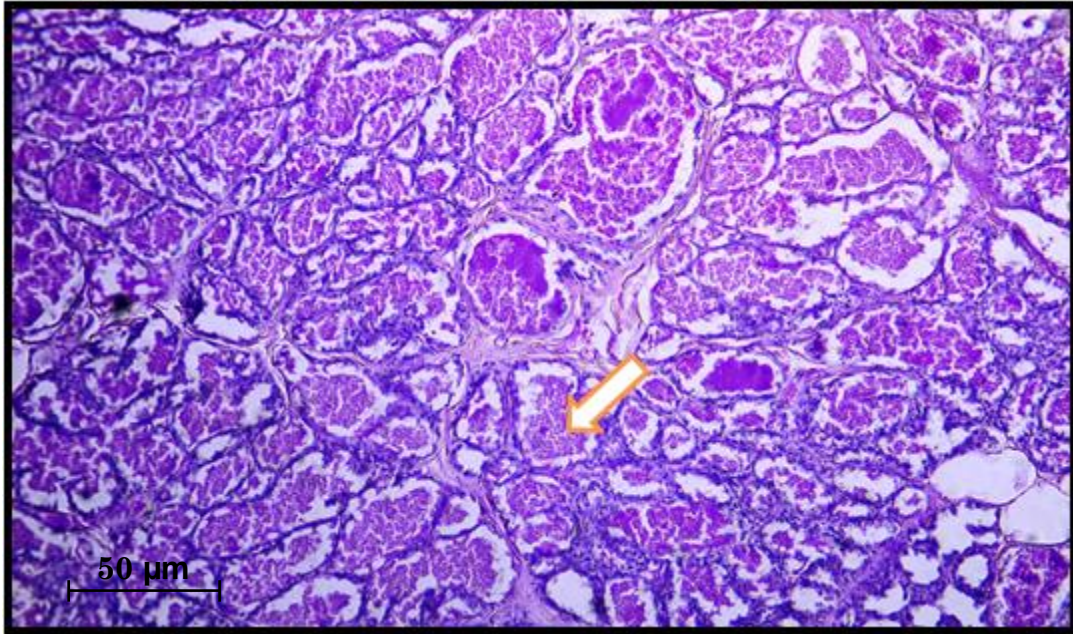
صورة رقم (4-10) مقطع نسجي في الغدد اللبنية مجموعة الازالة الكاملة للعذارى ، تظهر تفاعل سالب لصبغة PAS (100X)



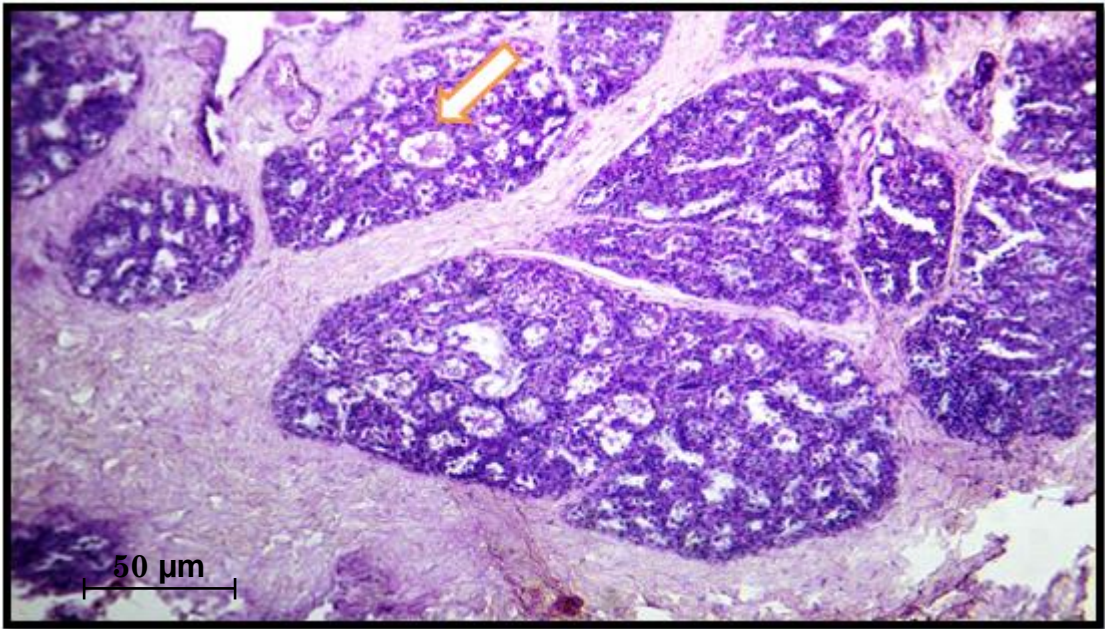
صورة رقم (4-11) مقطع نسجي في الغدد اللبنية مجموعة إزالة الأيمن للعذارى ، تظهر تفاعل سالب لصبغة PAS (100X)



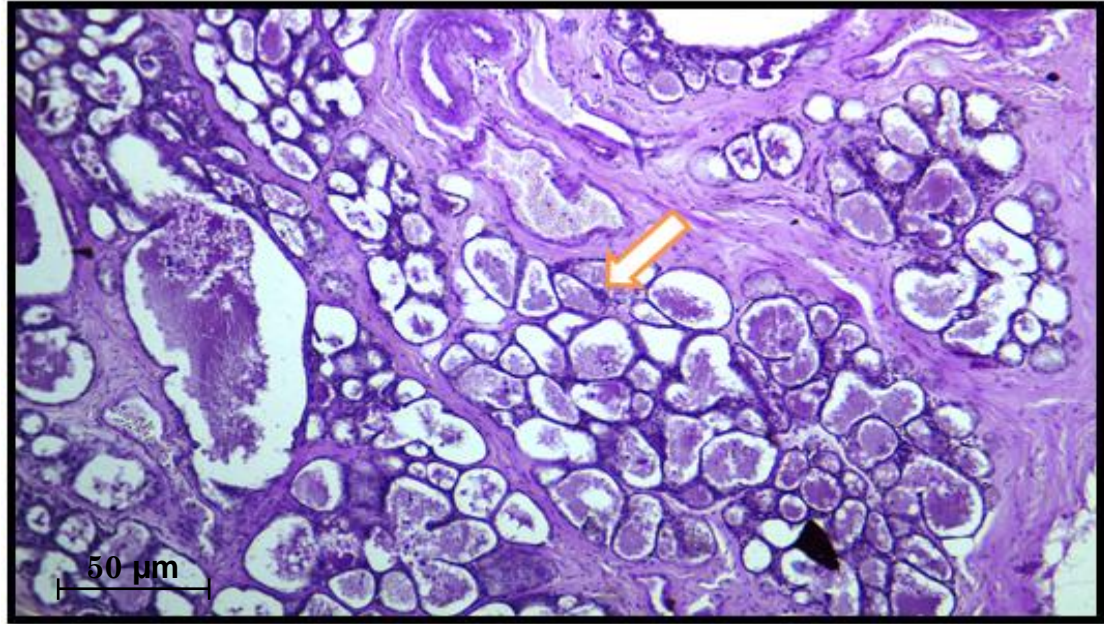
صورة رقم (4-12) مقطع نسجي في الغدد اللبنية مجموعة إزالة الأيسر للعذارى ، تظهر تفاعل سالب لصبغة PAS (100X)



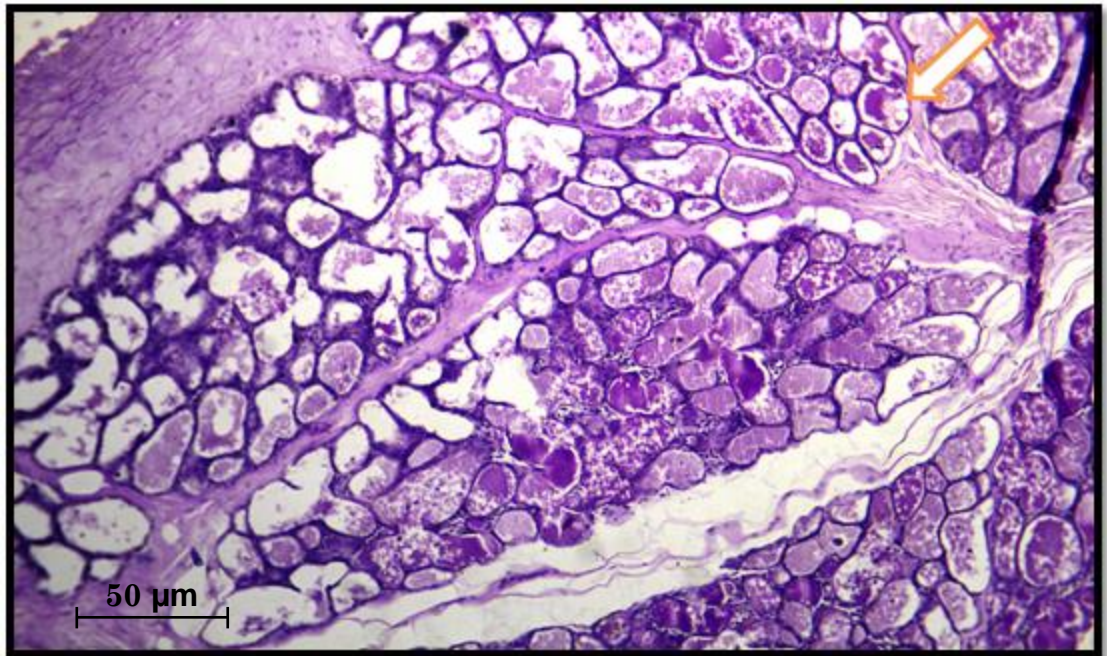
صورة رقم (4-13) مقطع نسجي في الغدد اللبنية مجموعة السيطرة للمرضعات ، تظهر تفاعل ايجابي لصبغة (PAS) (←)
(100X)



صورة رقم (4-14) مقطع نسجي في الغدد اللبنية مجموعة الازالة الكاملة للمرضعات ، تظهر تفاعل ايجابي لصبغة PAS (←)
(100X)



صورة رقم (15-4) مقطع نسجي في الغدد اللبنية مجموعة ازالة المبيض الايمن للمرضعات ، تظهر تفاعل ايجابي لصبغة PAS (←) (X100)



صورة رقم (16-4) مقطع نسجي في الغدد اللبنية مجموعة ازالة المبيض الايسر للمرضعات ، تظهر تفاعل ايجابي لصبغة PAS (←) (100X)

2-2-4 صبغة كوموري ثلاثي الألوان Gomori's One-Step stain Trichrome

أظهرت نتائج صبغة كوموري ثلاثي الألوان للغدد البنينة للحالات الفسلجية للارانب (العذارى والمرضعات) مايلي :

1-2-2-4 مجموعة العذارى Virgin group

اظهرت المقاطع النسجية للغدد البنينة الملونة بصبغة Trichrome في مجاميع السيطرة Sham للعذارى اذ يلاحظ فيها قلة كثافة الياف الكولاجين Collagen fibers (السدى) صورة (4-17) ، اما في مجموعة المعاملة بإزالة المبيض الكاملة فقد أظهرت المقاطع النسجية كثافة في الياف الكولاجين صورة (4-18) مقارنة مع مجموعة السيطرة. اما المقطع النسجي في صورة (4-19) لمجموعة المعاملة بإزالة المبيض الايمن فقد لوحظ فيها كثافة الياف كولاجين في السدى النتيجة نفسها لوحظت في مجموعة المعاملة بإزالة المبيض الايسر للعذارى حيث لوحظ كثافة الياف كولاجين في السدى صورة (4-20) مقارنة بالسيطرة .

2-2-2-4 مجموعة المرضعات Lactating group

اظهرت الصورة (4-21) قلة في كثافة الياف كولاجين السدى Stroma في مقاطع الغدد البنينة لمجموعة السيطرة ، اما للمجاميع المعاملة بإزالة المبيض الكاملة فقد لوحظ فيها كثافة الياف كولاجين السدى صورة (4-22) ، مقارنة مع مجموعة السيطرة و مجموعة المعاملة بإزالة المبيض الايمن ومجموعة المعاملة بإزالة المبيض الايسر (4-23) (4-24) على التوالي واللذان اظهرا كثافة اقل من مجموعة الازالة الكاملة واكثر من مجموعة السيطرة .

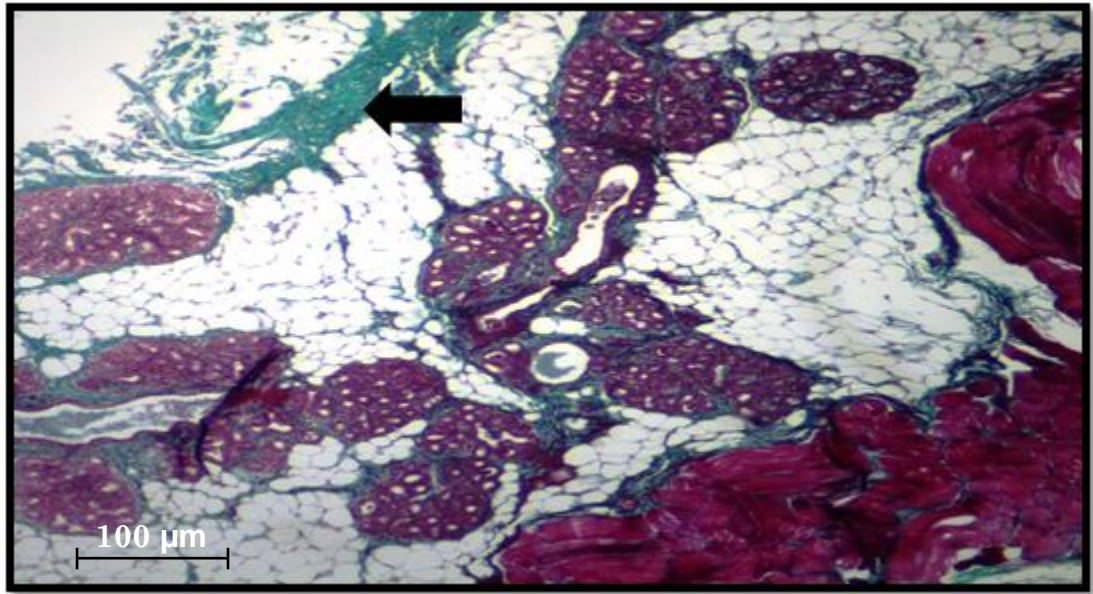
اظهرت المقاطع النسجية الملونة بصبغة Trichrome قلة في كثافة الياف الكولاجين للحالات الفسيولوجية المختلفة للسيطرة وللمجاميع المعاملة بإزالة المبيض الايمن والايسر، حيث كانت اقرب الى النسيج الطبيعي.

ان لهرموني الاستروجين والبروجستيرون دوراً في تحفيز النمو الفصيبي – السنخي للغدة البنينة عن طريق تأثيرها في زيادة تكاثر الخلايا الطلائية الفارزة للغدة ، فضلا عن استئطالة وتفرع القنوات اللبينية

(Guyton and Hall, 2016) . ان هذا التغير في حجم الفصيصات وفي اعداد الحويصلات هو نتيجة لوجود المحتويات الافرازية فيها خاصة في فترة الرضاعة والمرتبطة بالزيادة في اعداد الاسناخ والخلايا الفارزة في نسيج الغدة اللبنية والمتزامنة بالزيادة في معدل افراز الحليب ، وذلك بسبب الزيادة في حجم النسيج الظهاري الغدي تنخفض كميات الانسجة الضامة والعكس صحيح (Oftedal , 2012).

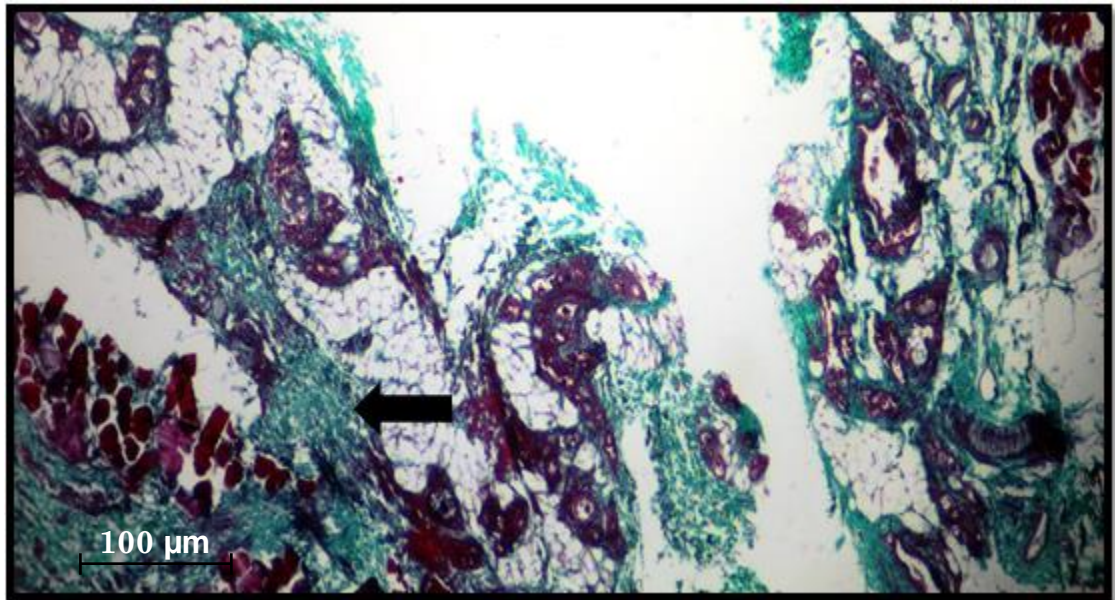
وتتفق نتائج الدراسة الحالية مع Dessauge, et al., (2009) اذ اشار الى ان عملية ازالة المبايض في إناث الماعز تؤدي الى نقصان في كمية النسيج البرنكييمي وصغر في حجم الحويصلات وتكون غير متطورة وبالتالي زيادة في السدى النسيج الضام (الياف الكولاجين).

كما اتفقت مع نتائج دراسة Sharman, (2011) إذ أشار إلى إن إزالة المبايض بصورة كاملة يؤدي الى حصول حالة (سن الياس الجراحي)، حيث تعاني الغدد اللبنية في هذه الحالة ضمور في أجزائها الإفرازية و قنواتها الحويصلية وزيادة في كمية النسيج الدهني والسدى نتيجة للاختلال في تركيز مستوى هرمون الاستروجين.



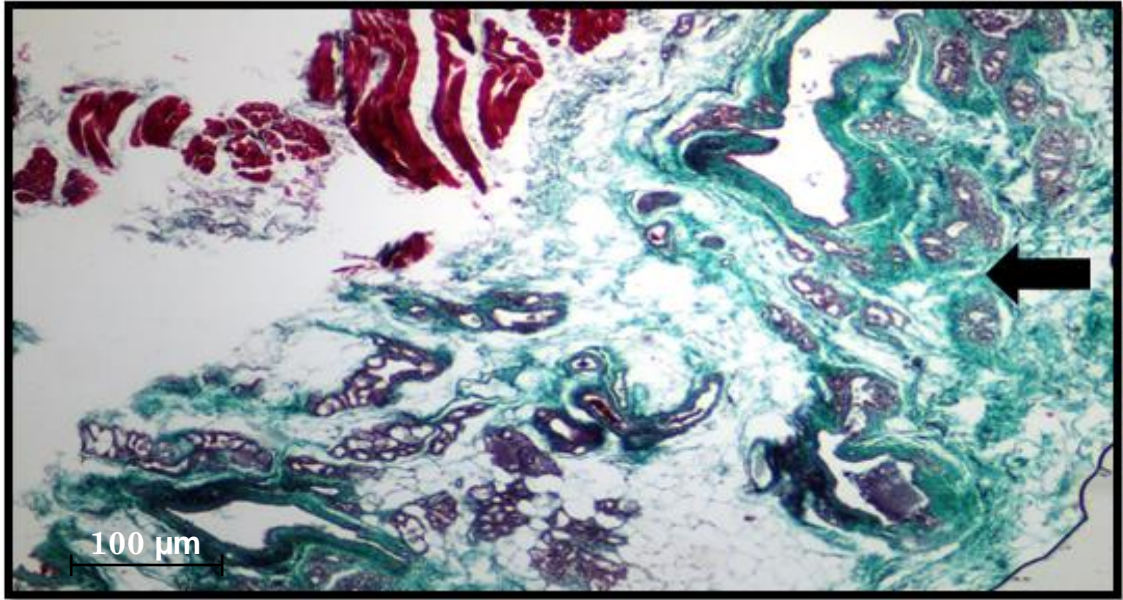
صورة رقم (4-17) مقطع نسجي للغدد اللبنية لمجموعة سيطرة العذارى يلاحظ فيها قلة في الياف كولاجين السدى (←)

لصبغة Trichrome (40X)

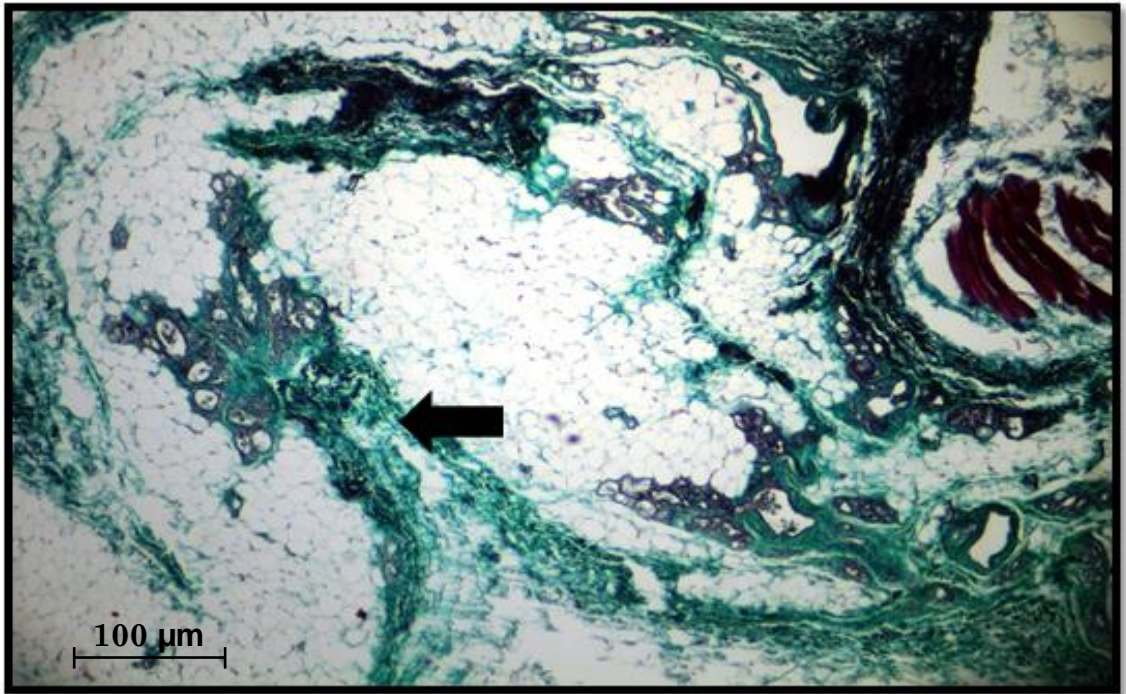


صورة رقم (4-18) مقطع نسجي للغدد اللبنية لمجموعة الازالة الكاملة للعذارى يلاحظ فيها كثافة الياف كولاجين السدى (←)

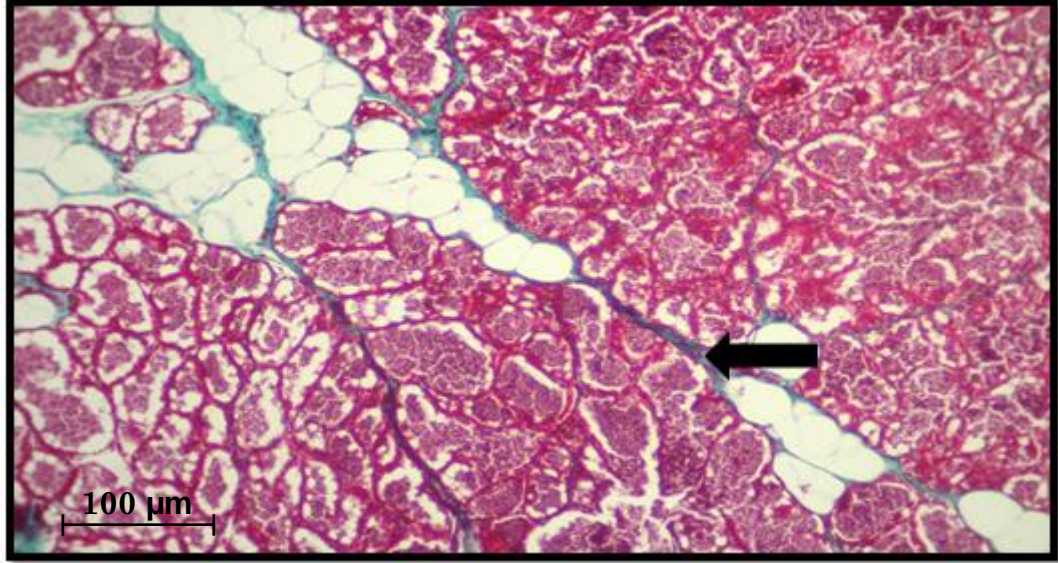
لصبغة Trichrome (40X)



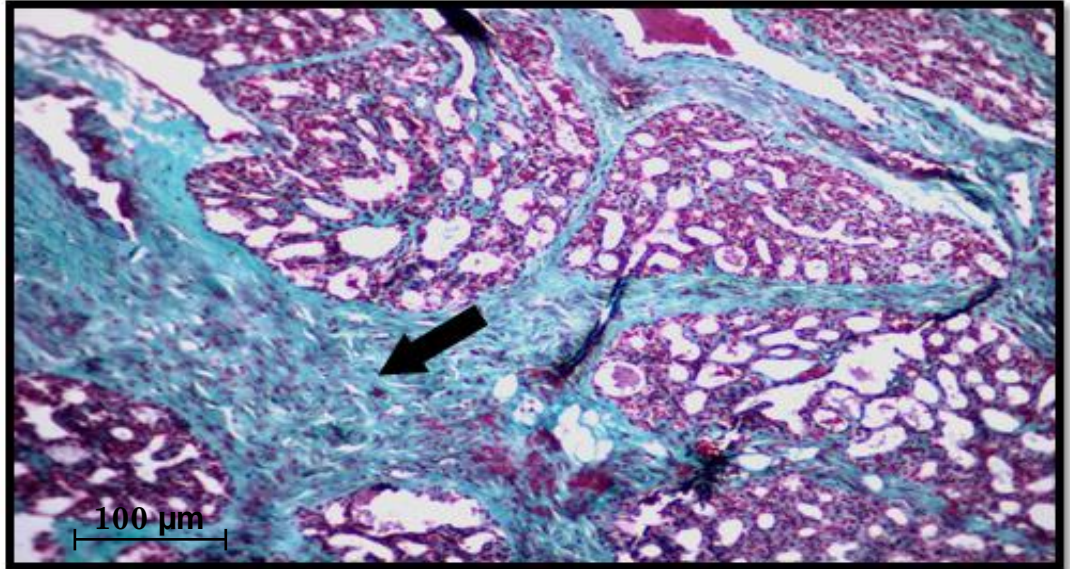
صورة رقم (4-19) مقطع نسيجي للغدد اللبنية لمجموعة إزالة المبيض الأيمن للعذاري يلاحظ فيها كثافة ألياف كولاجين السدى (←) لصبغة Trichrome (40X)



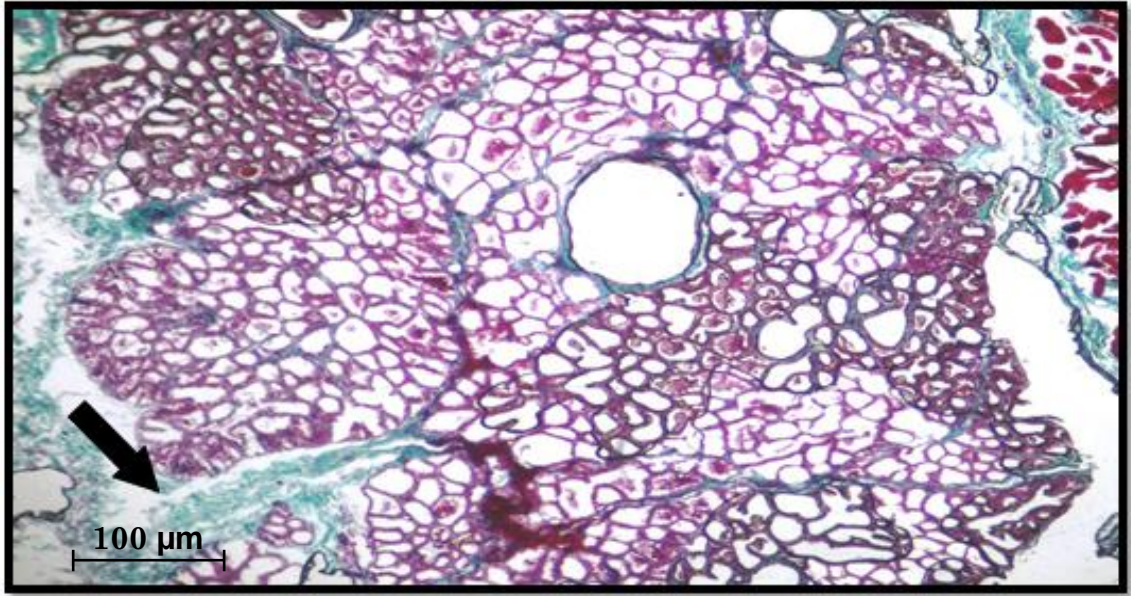
صورة رقم (4-20) مقطع نسيجي للغدد اللبنية لمجموعة إزالة المبيض الأيسر للعذاري يلاحظ فيها كثافة ألياف كولاجين السدى (←) لصبغة Trichrome (40X)



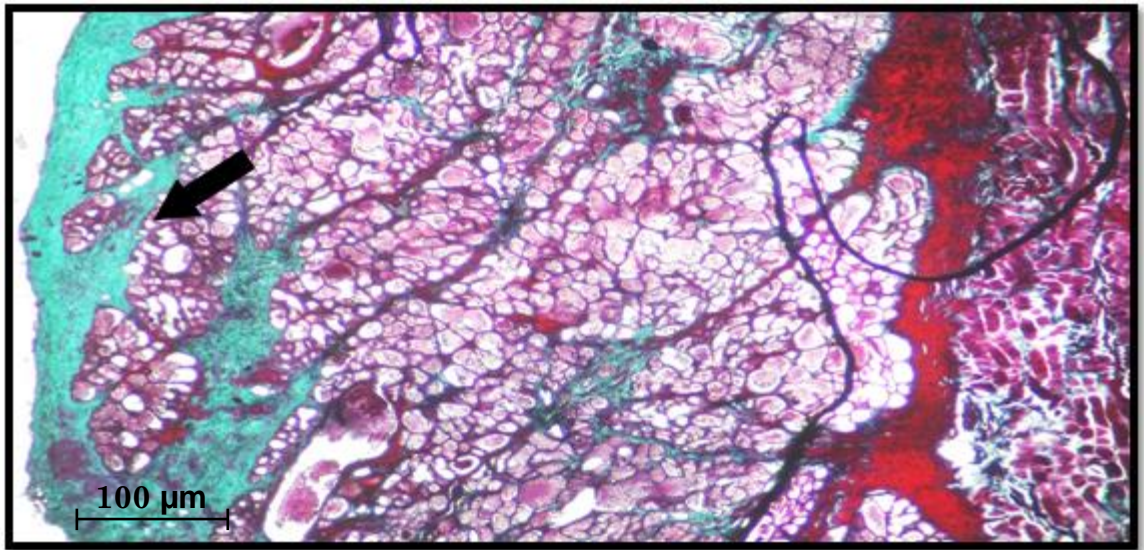
صورة رقم (4-21) مقطع نسجي للغدد اللبنية لمجموعة سيطرة المرضعات يلاحظ فيها قلة الياف كولاجين السدى (←) لصبغة (40X) Trichrome



صورة رقم (4-22) مقطع نسجي للغدد اللبنية لمجموعة ازالة الكاملة للمرضعات يلاحظ فيها كثافة الياف كولاجين السدى (←) لصبغة (40X) Trichrome



صورة رقم (4-23) مقطع نسجي للغدد اللبنية لمجموعة إزالة المبيض الأيمن المرضعات يلاحظ فيها قلة كثافة ألياف كولاجين السدى (←) مقارنة بمجموعة الإزالة الكاملة لصبغة Trichrome (40X)



صورة رقم (4-24) مقطع نسجي للغدد اللبنية لمجموعة إزالة المبيض الأيسر المرضعات يلاحظ فيها قلة كثافة ألياف كولاجين السدى (←) مقارنة بمجموعة الإزالة الكاملة لصبغة Trichrome (40X)

3-4 تأثير إزالة المبايض الثنائية والأحادية على نسيج الرحم للعدارى والمرضعات في الأرانب المحلية

1-3-4 صبغة الهيماتوكسلين والايوسين Haematoxylin and Eosin staining

أظهرت المقاطع النسجية لنسيج الرحم للعدارى والمرضعات التغييرات النسجية التالية :-

1-1-3-4 Virgin group مجموعة العذارى

أظهر الفحص النسجي لمقاطع الرحم لمجموعة السيطرة حيث يلاحظ فيها الطبقات الثلاث للرحم هي البطانة الداخلية للرحم Endometrium وعزل الرحم Myometrium والطبقة المحيطة للرحم Perimetrium صورة (4-25). إذ تتألف بطانة الرحم من نسيج طلائي عمودي بسيط Simple columnar epithelial tissue مع وجود عدد من الغدد الرحمية والطبقة العضلية ووجود الأوعية الدموية ، و وجود الطيات الرحمية صورة (4-26) لمجموعة السيطرة للعدارى .

بينت نتائج الدراسة الحالية أن عملية استئصال المبايض الكاملة أدت إلى تأثير في طبقات الرحم الثلاث وضمورها وقلّة طيات الطبقة الرحمية صورة(4-27) وكذلك عدم وجود الغدد الرحمية مع وجود ارتشاح خلوي عالٍ جداً وقلّة في سمك الطبقة العضلية للرحم صورة (4-28) مقارنة مع مجموعة السيطرة. وتظهر صورة (4-29) إن النسيج الرحمي لمجموعة الأرانب مزالة المبيض الأيمن لم يلاحظ فيها تغيرات في الطبقات الثلاث التي كانت اقرب الى النسيج الطبيعي مع وجود الغدد الرحمية ووجود الطيات الرحمية لكن بكميات اقل مع وجود ارتشاح خلوي (4-30) .

كما أظهرت دراسة المقاطع النسجية للحيوانات المعاملة بازالة المبيض الايسر ، وجود الطبقات الثلاث للرحم لكن اقل سمكا مع وجود الطيات الرحمية صورة (4-31) مع وجود ارتشاح خلوي وقلّة الغدد الرحمية في طبقة السدى صورة (4-32) .

Lactating group 2-1-3-4 مجموعة المرضعات

اظهرت نتائج التقطيع النسيجي صورته (4-33) لنسيج الرحم لمجموعة السيطرة للمرضعات وجود الطبقات الثلاث للرحم هي البطانة الداخلية (E) الطبقة العضلية (M) والطبقة المحيطة (P) كما لوحظت الطية الرحمية و الطبقة الظهارية وبداية تكون الغدد في سدى الطبقة البطانية للرحم ،إضافة إلى الارتشاح الخلوي فيها (4-34).

توضح المقاطع النسيجية ان عملية الازالة الكاملة للمبايض ادت الى تغير في طبقات الرحم الثلاث وضمورها وقلة طيات بطانة الرحم صورة (4-35) وكذلك عدم وجود الغدد الرحمية ، ووجود ارتشاح خلوي شديد كما ويلاحظ أن الطبقة العضلية اقل سمكا بالمقارنة مع مجموعة السيطرة ومع المجاميع الاخرى صورة (4-36).

وتظهر صورة (4-37) النسيج الرحمي لمجموعة المزالة المبيض الايمن للمرضعات أن الطبقات الثلاث للنسيج هي اقرب الى النسيج الطبيعي مع وجود الطيات الرحمية ، والغدد الرحمية في بطانة الرحم مع وجود ارتشاح خلوي (4-38) .

أظهرت الصور النسيجية لمجموعة المعاملة بإزالة المبيض الأيسر للمرضعات الطبقات الثلاث للرحم لكنها اقل سمكا مع وجود الغدد الرحمية و ارتشاح خلوي صور(4-39) (4-40).

ان المبيض يقوم بافراز الهرمونات الجنسية هرموني الاستروجين والبروجستيرون المسؤولة عن نمو الاعضاء التناسلية ،حيث يعمل هرمون الاستروجين على نمو سدى بطانة الرحم وزيادة كبيرة في تطوير غده في بطانة الرحم ، اما هرمون البروجستيرون يعمل على زيادة النشاط الافرازي للغدد الرحمية وزيادة المدد الدموي في الرحم ، لذا فان اي تغير في نسب هذين الهرموني يؤدي الى تغيرات في الدورة الدموية مما يؤدي الى زيادة في نفاذية الاوعية الدموية وزيادة في الوزن الرطب للرحم (Kim et al., 2005; Vinci et al., 2010) .

وقد اتفقت نتائج الدراسة الحالية مع Santos et al.(2010) ودراسة جاسم (2011) و كعيم (2014) اذ اشاروا الى أن عملية استئصال المبايض في الجرذان والارانب يؤدي الى انخفاض الاستروجين المنتج والذي يؤثر مباشرة في نسيج الرحم ، وهذه التغيرات التي تسببها عملية استئصال المبايض والمتمثلة بقلة السمك في جميع الطبقات و انعدام الغدد الرحمية وقلة الاوعية الدموية في منطقة السدى وعدم انتظام الطبقة الطلائية العمودية لبطانة الرحم .

وكما هو معروف فان الاستروجين يحفز تضخم (hypertrophy) الانسجة الطلائية والعضلية لذا فان اي قلة في نسبة الاستروجين نتيجة وصول المرأة لسن الياس او تعرضها لعملية ازالة المبيض يؤدي الى ضمور في طبقات الرحم والمهبل (Boreham *et al.*, 2002; Pessina *et al.*, 2006).

كما اتفقت نتائج الدراسة الحالية مع الدراسات (Oner *et al.*, 2002) و (Saruhan *et al.*, 2006) و (Ünsal & Sönmez, 2014) حيث اشارت نتائج تلك الدراسات الى ان الانخفاض في وزن الرحم بسبب ضمور بطائته وتأثر نسيجها الطلائي والنقصان في الغدد الرحمية بعد استئصال المبايض والذي يؤدي الى الانخفاض في مستوى الاستروجين المنتج ، حيث ان سمك البطانة الرحمية تزداد بزيادة هرمون الاستروجين (Ganong, 2003) .

وقد بين (Mödder *et al.*, 2004) تأثير الإستروجين في الرحم في الفئران البالغة مستأصلة المبايض اذ ظهر ضمور في طبقات الرحم للمجموعة المستأصلة وقلة التغذية الدموية وقلة عدد الغدد الرحمية وهذا يعود الى انخفاض الاستروجين ، حيث ان الزيادة في الاوعية الدموية ونمو الخلايا للأجزاء المختلفة للرحم تحدث تحت تأثير ارتفاع هرمون الاستروجين (Hafez & Hafez, 2000)

اشارت دراسة (Razi *et al.*, 2010) في الجرذان مزاله لا حدى المبايض وجود تضخم تعويضي للمبيض الثاني مع وجود تجهيز دموي عالي والعديد من الحويصلات الافرازية كبيرة الحجم في سايتوبلازم الخلايا لحبيبية إضافة إلى زيادة في عدد الجريبات الناضجة وقلة في عدد الجريبات الداخلة في (Follicular atresia) كما لوحظ قلة في سمك طبقات الرحم والغدد الرحمية مقارنة مع السيطرة .

نلاحظ في الدراسة الحالية وجود ارتشاح خلوي عالٍ في السيطرة والمجاميع الأخرى ، سببه ان وجود هذه الخلايا في بطانة الرحم ماتزال مسالة مثيرة للجدل، هناك عدة تفسيرات لذلك اضافة الى انها خلايا دفاعية ضد الاصابات فالكثير من الدراسات اشارت الى وجود اعداد من الخلايا العدلة في جميع مراحل الشبق عدا مرحلة Diestruse حيث تكون نادرة الوجود

(Skjerven,1956 ; McEntee ,1990 ;Schulz,1991) ،اضافة الى وجود خلايا الحمضة في

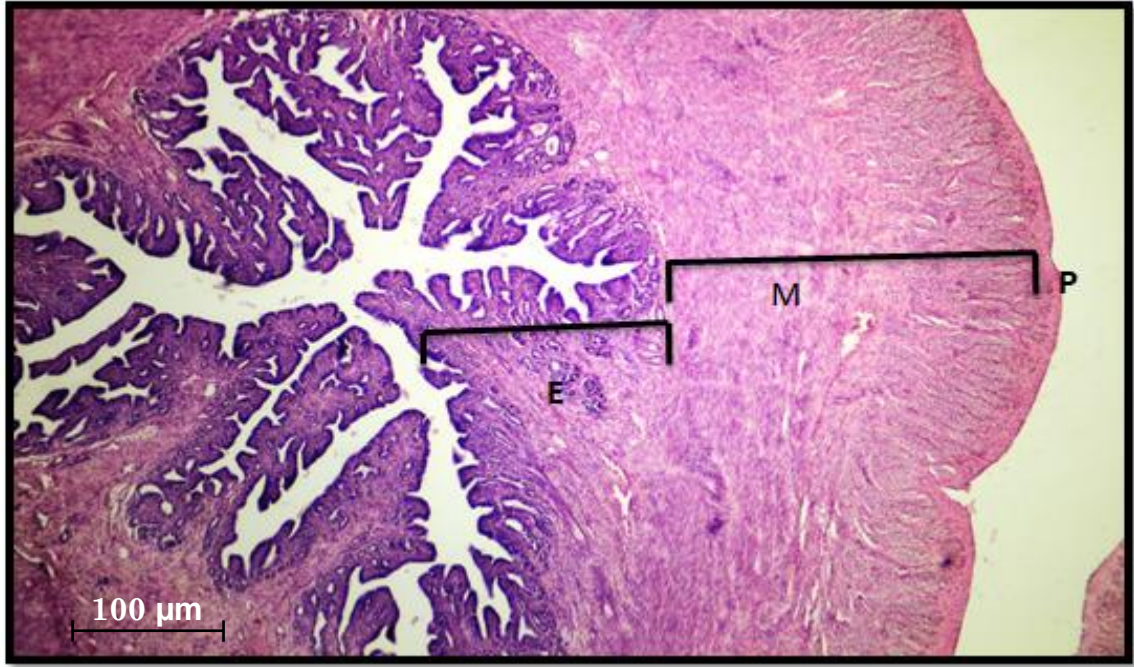
كل طبقات البطانة خصوصا في السدى (Skjerven,1956) حيث لا تختلف اعدادها في جميع مراحل الشبق (McEntee,1990).

كما اشارت الدراسات الى وجود تجمعات من خلايا البدينة في طبقات السدى بغض النظر عن مرحلة

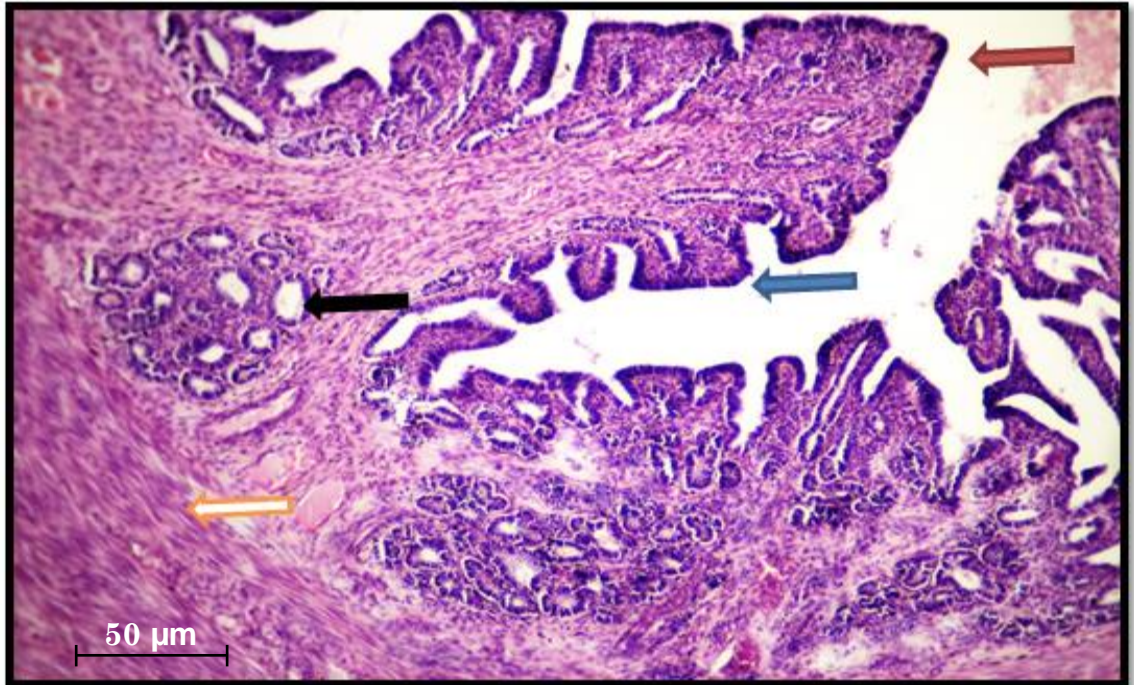
الشبق ،كما يمكن ان توجد في الطبقة العضلية والطبقة المحيطة (Likar and Likar,1964; 1950; Weber) ،و تبين ان خلايا البدينة لها دور في عملية تكون الاوعية الدموية لذلك يلاحظ تواجدها حولها

حيث يلاحظ ارتفاع اعدادها في السيطرة والازالة الجزئية للجزء السليم وانخفاضها في الجزء المعامل أذ لوحظ بان هذه الخلايا لها دور في عملية تكوين الاوعية الدموية (Burd *et al.*, 1989; Selvan *et al.*, 2002; Özen *et al.*, 1994).

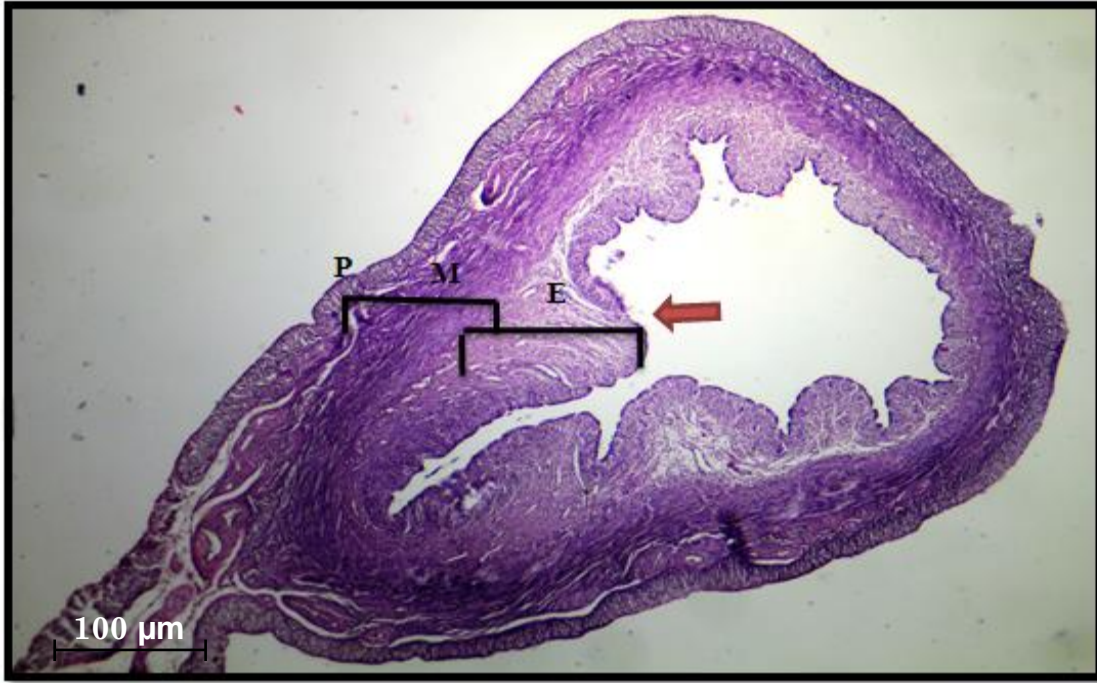
ما تزال مسألة وجود الخلايا المفاوية مثيرة للجدل كما توجد بعض التجمعات البؤرية من الخلايا المفاوية (Schulz,1991 ; McEntee ,1990 ; Skjerven,1956 ; Dawson,1959). وقد فسر ذلك على ان وجود تجمعات البؤرية للخلايا المفاوية ليس له علاقة بالحالة الفسيولوجية لبطانة الرحم بقدر ما يتعلق الامر بوجود اصابات سابقة (Lucy *et al.*, 2016; Schulz,1991). اضافة الى ذلك هناك زيادة في اعداد الخلايا Natural killer خلال مرحلة الجسم الاصفر (Oliveira,2013). كما لوحظ جود بعض الخلايا البلازمية خلال مرحلتي الجريبات والجسم الاصفر (McEntee,1990). و وجود الخلايا البلعمية في طبقة البطانية للرحم وتختلف اعدادها خلال مراحل الشبق (Cobb and Watson,1995).



صورة رقم (4-25) مقطع نسجي لرحم مجموعة السيطرة العذارى يلاحظ فيها الطبقات الثلاث للرحم (البطانية (E) ، العضلية (M) والمحيطية (P) (H&E 40X)



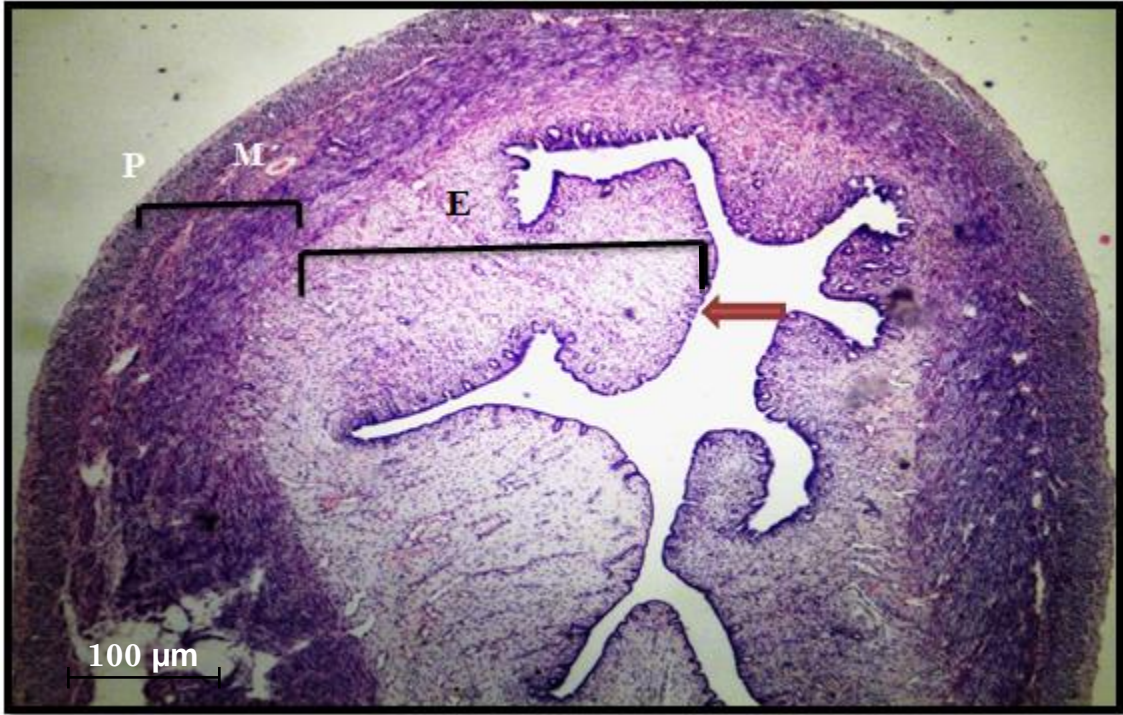
صورة رقم (4-26) مقطع نسجي لرحم مجموعة السيطرة العذارى حيث يلاحظ الطية الرحمية (←) الطبقة الظهارية (←) والغدد في سدى الطبقة البطانية للرحم (←) ، كما يلاحظ الطبقة العضلية فيها (←) (H&E 100X)



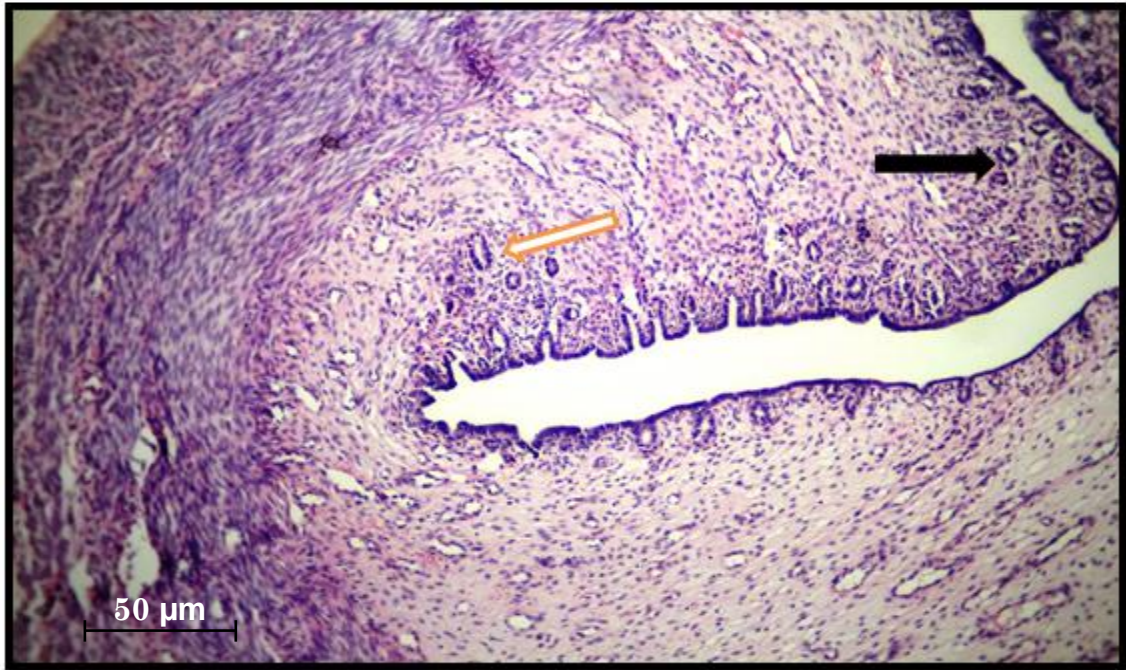
صورة رقم (4-27) مقطع نسجي لرحم مجموعة الازالة الكاملة للمبايض العذارى يوضح فيها تأثر طبقات الرحم البطانية (E) العضلية (M) والمحيطية (P) وضمورها وقلة طيات الطبقة الرحمية (←) (H&E 40X)



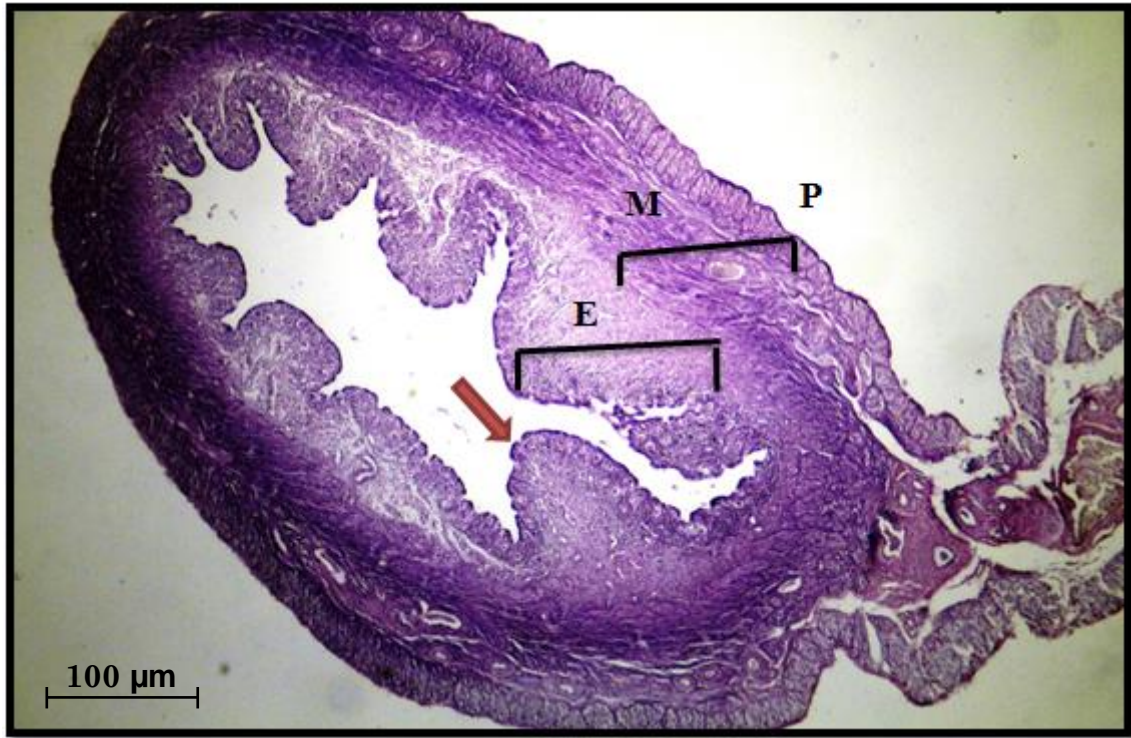
صورة رقم (4-28) مقطع نسجي لرحم مجموعة الازالة الكاملة للمبايض العذارى يوضح عدم وجود الغدد الرحمية مع وجود ارتشاح خلوي عالي (←) (H&E 100X)



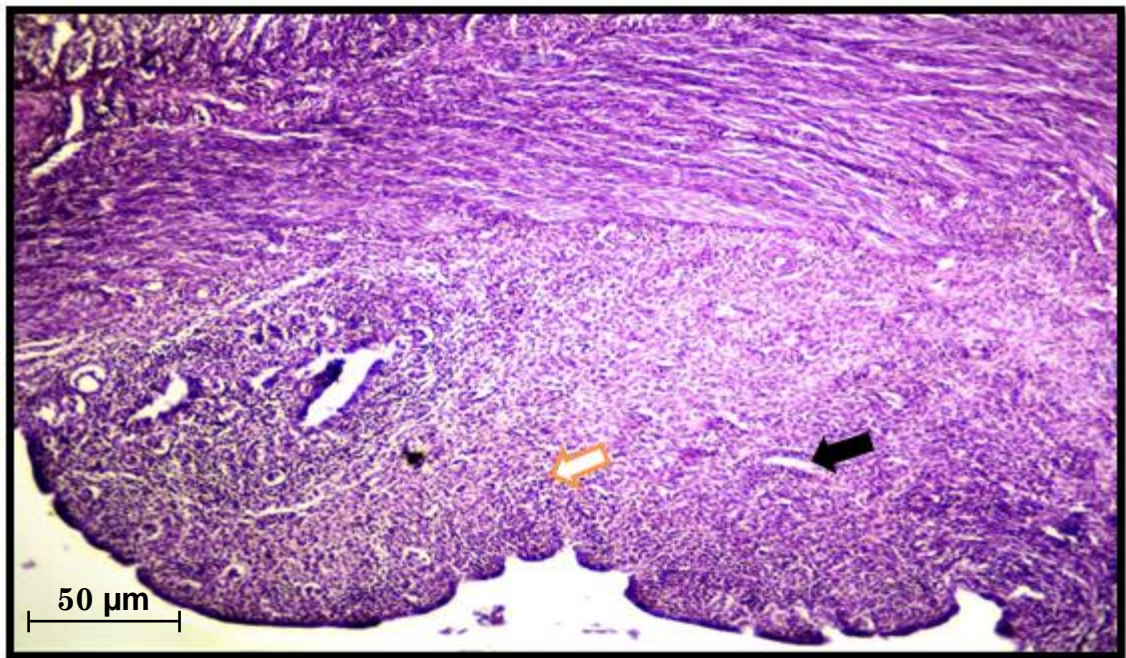
صورة رقم (4-29) مقطع نسجي لرحم مجموعة إزالة المبيض الايمن للعدارى يلاحظ فيها الطبقات الثلاثة للرحم (الطبقة البطانية (E) الطبقة العضلية (M) والطبقة المحيطة (P) اقرب للنسيج الطبيعي مع وجود الطيات الرحمية (←) (H&E 40X)



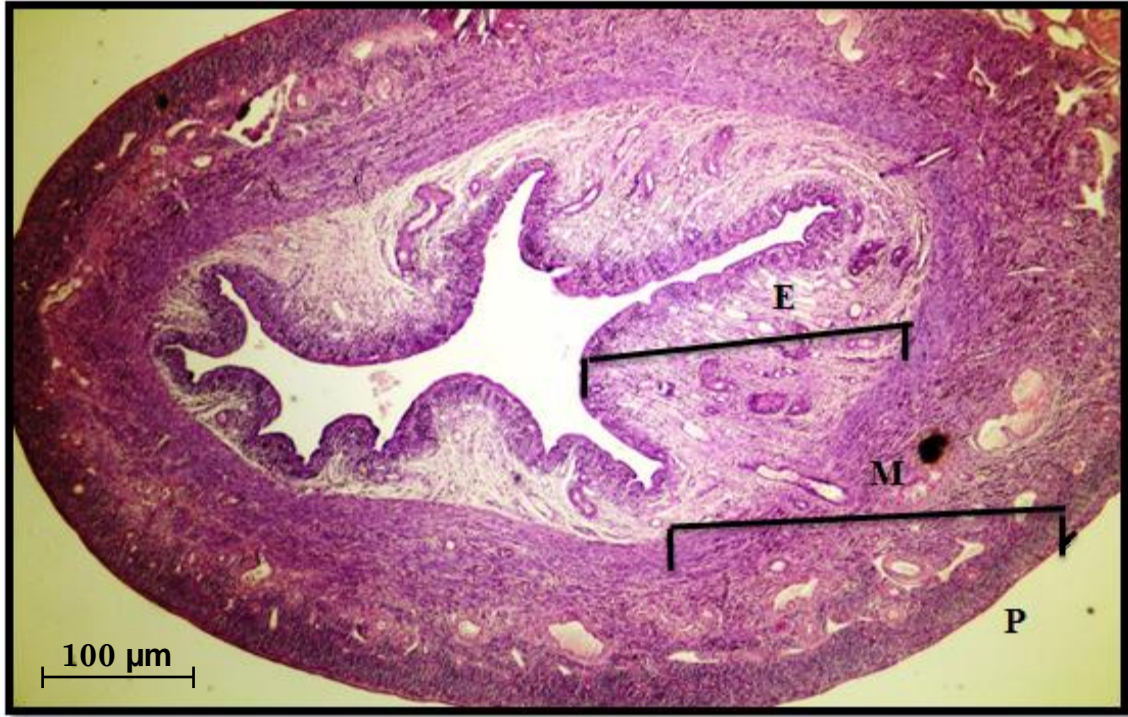
صورة رقم (4-30) مقطع نسجي لرحم مجموعة إزالة المبيض الايمن للعدارى وجود الغدد الرحمية في سدى الطبقة البطانية (→) مع وجود ارتشاح خلوي (←) (H&E 100X)



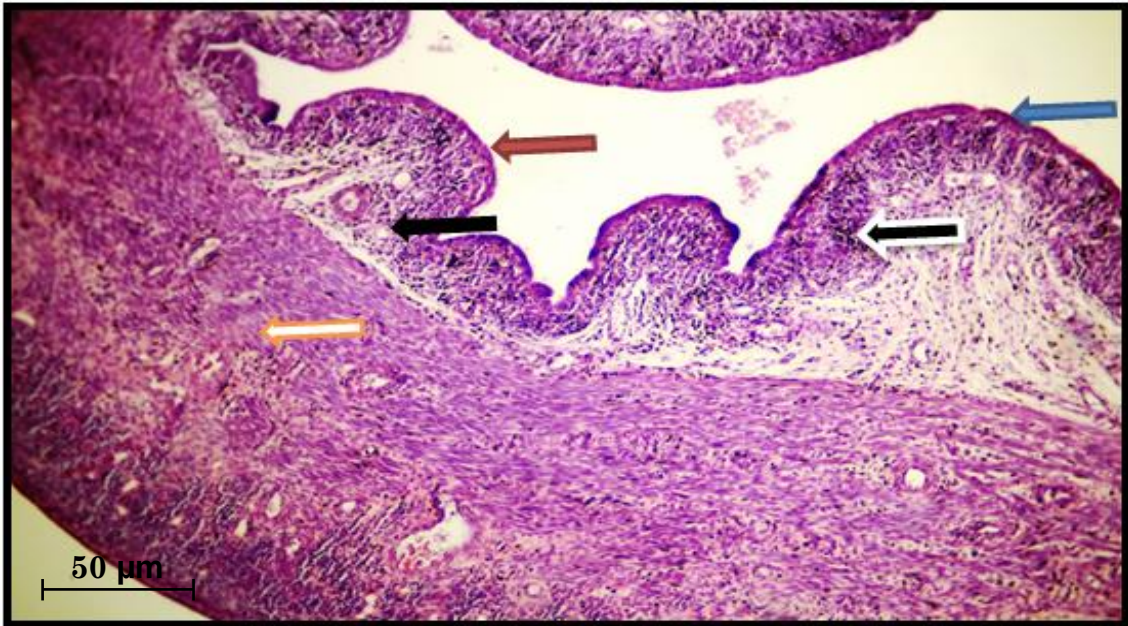
صورة رقم (4-31) مقطع نسجي لرحم مجموعة إزالة المبيض الايسر للعدارى يلاحظ فيها الطبقات الثلاثة للرحم (البطانية (E) العضلية (M) والمحيطية (P) مع وجود الطيات الرحمية (←) (H&E 40X)



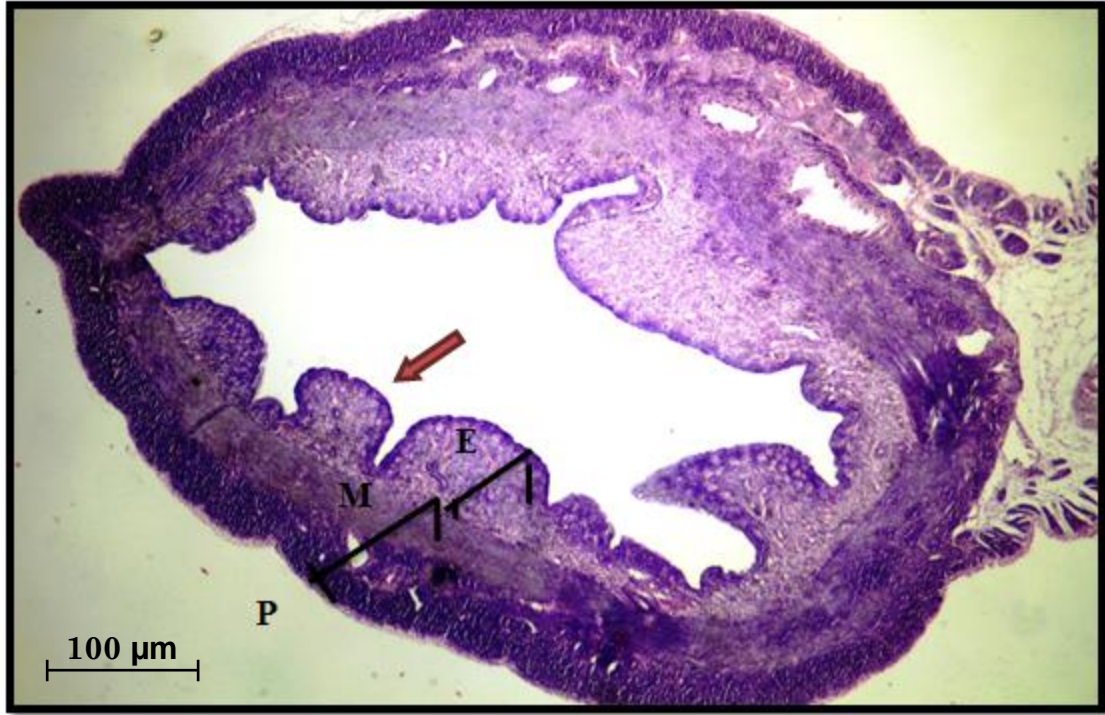
صورة رقم (4-32) مقطع نسجي لرحم مجموعة إزالة المبيض الايسر العذارى وجود ارتشاح خلوي (←) مع غدد رحمية في سدى بطانة الرحم (←) (H&E 100X)



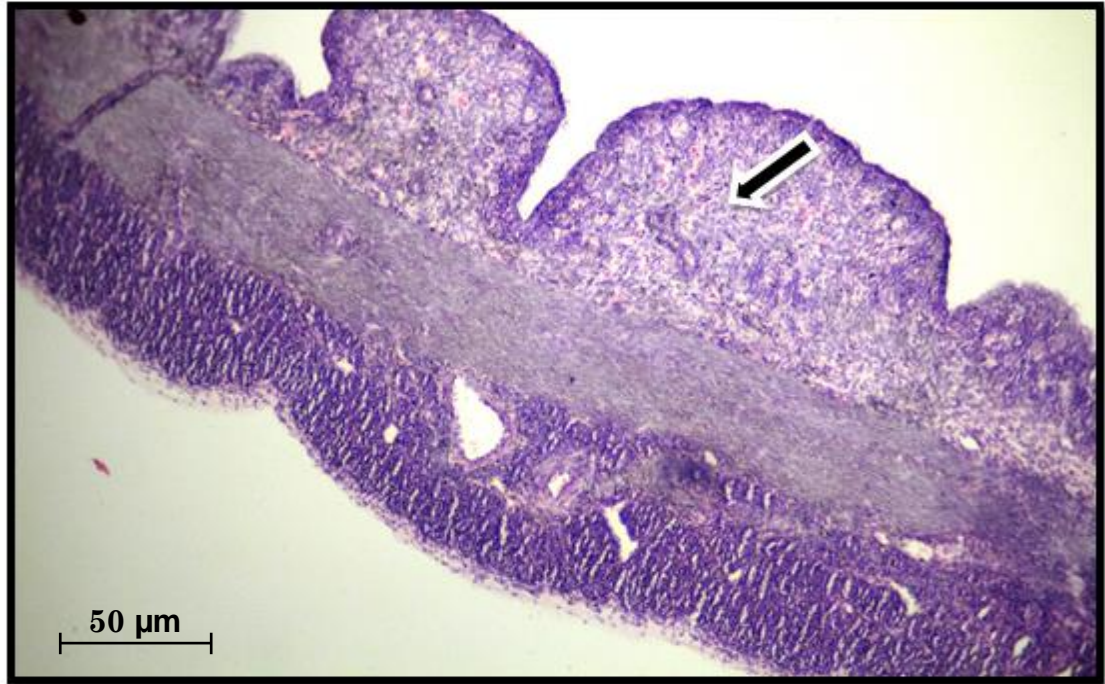
صورة رقم (33-4) مقطع نسجي لرحم مجموعة السيطرة المرضعات يلاحظ فيها الطبقات الثلاث للرحم (البطانية (E) ، العضلية (M) والمحيطية (P) (H&E 40X)



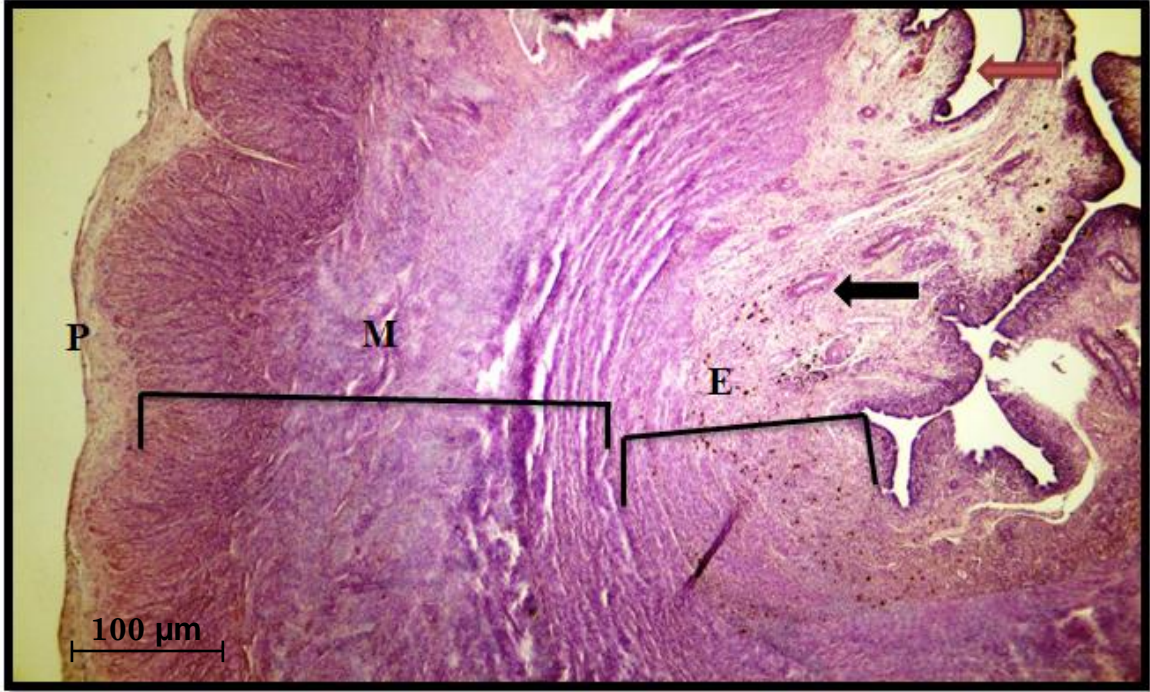
صورة رقم (34-4) مقطع نسجي لرحم مجموعة السيطرة للمرضعات حيث يلاحظ الطية الرحمية (←) ، الطبقة الظهارية (←) وبداية تكون الغدد في سدى الطبقة البطانية للرحم (←) ، كما يلاحظ الطبقة العضلية فيها (←) ، والارتشاح الخلوي (←) (H&E 100X)



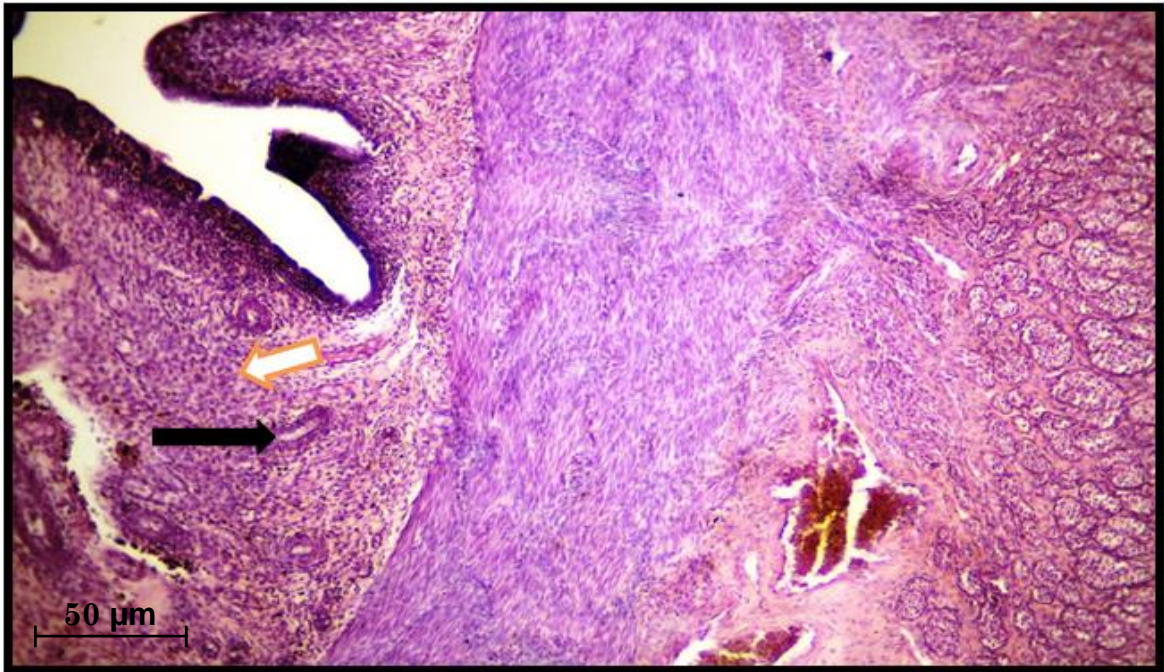
صورة رقم (4-35) مقطع نسجي لرحم مجموعة الازالة للمبايض المرضعات يوضح فيها تأثر طبقات الرحم الثلاث البطانية (E) والعضلية (M) والمحيطية (P) وضمورها وقلة طيات الطبقة الرحمية (←) (H&E 40X)



صورة رقم (4-36) مقطع نسجي لرحم مجموعة الازالة للمبايض للمرضعات يوضح عدم وجود الغدد الرحمية مع وجود ارتشاح خلوي شديد (←) (H&E 100X)



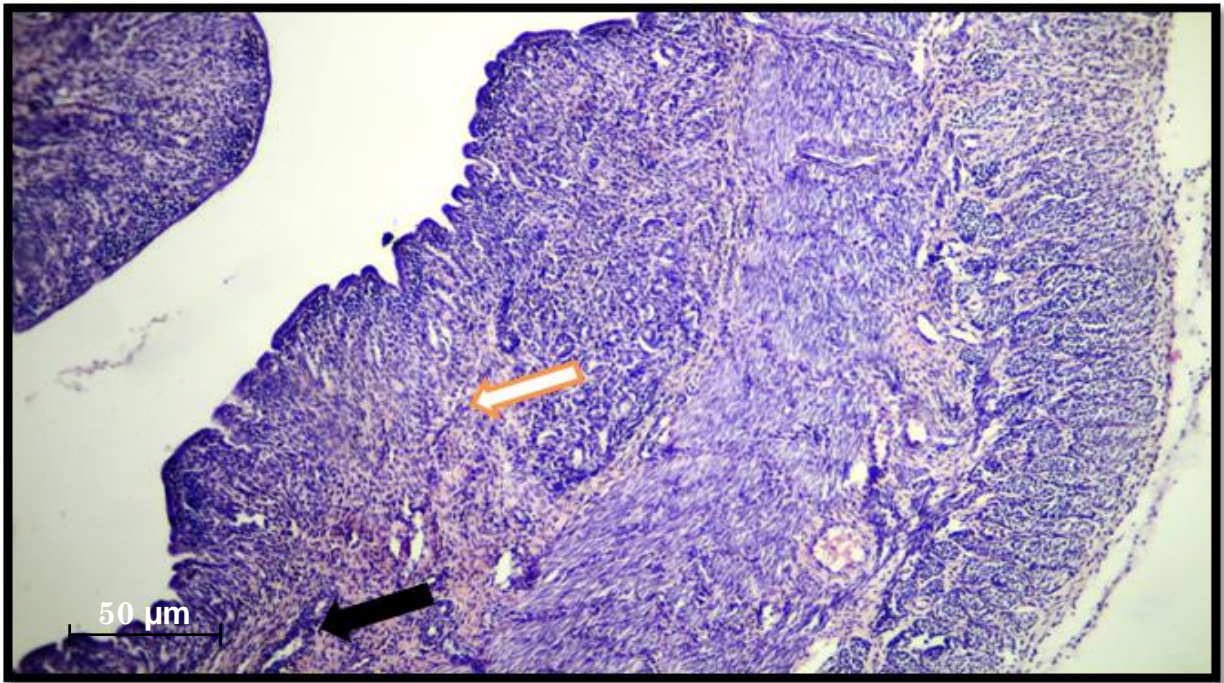
صورة رقم (4-37) مقطع نسجي لرحم مجموعة إزالة المبيض الايمن للمرضعات يلاحظ فيها الطبقات الثلاثة للرحم (الطبقة البطانية (E) الطبقة العضلية (M) والطبقة المحيطة (P) مع وجود الطيات الرحمية (←) والغدد الرحمية (←) (H&E 40X)



صورة رقم (4-38) مقطع نسجي لرحم مجموعة إزالة المبيض الايمن للمرضعات وجود الغدد الرحمية في سدى الطبقة البطانية (←) مع وجود ارتشاح خلوي (←) (H&E 100X)



صورة رقم (4-39) مقطع نسجي لرحم مجموعة إزالة المبيض الايسر للمرضعات يلاحظ فيها الطبقات الثلاثة للرحم البطانية (E) العضلية (M) والمحيطية (P) مع وجود الطيات الرحمية (←) والغدد الرحمية (←) (H&E 40X)



صورة رقم (4-40) مقطع نسجي لرحم مجموعة إزالة المبيض الايسر للمرضعات وجود الغدد الرحمية (←) و ارتشاح خلوي (←) (H&E 100X).

4-4 الدراسة الكيمو نسجية Histochemical study

1-4-4 صبغة كوموري ثلاثي الألوان لنسيج الرحم Gomori's One-Step stain Trichrome

أظهرت نتائج صبغة كوموري (العدارى والمرضعات) لنسيج الرحم ما يأتي :

1-1-4-4 مجموعة العذارى Virgin group

اظهرت نتائج المقاطع النسجية لمجموعة السيطرة للعدارى وجود كثافة في الياف الكولاجين في السدى Collagen Fibers في الطبقة الفعالة لبطنية الرحم صورة (4-41) . اما صورة (4-42) لمجموعة الازالة الكاملة للعدارى و يلاحظ فيها قلة كثافة في الياف الكولاجين وقلة الطبقة الفعالة لبطنية الرحم مع ارتشاح خلوي عالٍ.

كما وتظهر الصورة (4-43) لمجموعة إزالة المبيض الأيمن، وصورة (4-44) لمجموعة أزاله المبيض الأيسر للعدارى فيها كثافة من الياف الكولاجين في السدى ، وغدد رحمية .

2-1-4-4 مجموعة المرضعات Lactating group

في مجموعة السيطرة للمرضعات صورة (4-45) أظهرت المقاطع النسجية فيها كثافة من الياف الكولاجين في السدى والغدد الرحمية مع فعالية الطبقة الفعالة لبطنية الرحم .
إما في نسيج الرحم في مجموعة الإزالة الكاملة صورة (4-46) فهي تبين قلة كثافة الياف الكولاجين لصغر الطبقة البطنية اضافة الى صغر في الطبقة الفعالة لبطنية الرحم ، مع ارتشاح خلوي .
يلاحظ في صورة (4-47) لمقطع نسجي للرحم لمجموعة ازالة المبيض الايمن كثافة في ألياف الكولاجين ، و وجود الغدد الرحمية اضافة الى فعالية الطبقة الفعالة في بطنية الرحم .
إما في الصورة (4-48) والتي تمثل مجموعة الأرناب المعاملة بإزالة المبيض الايسر للمرضعات فقد أظهرت نتائج المقاطع فيها ايضا كثافة في الياف الكولاجين (السدى) مع غدد رحمية و صغر في الطبقة الفعالة في بطنية الرحم .

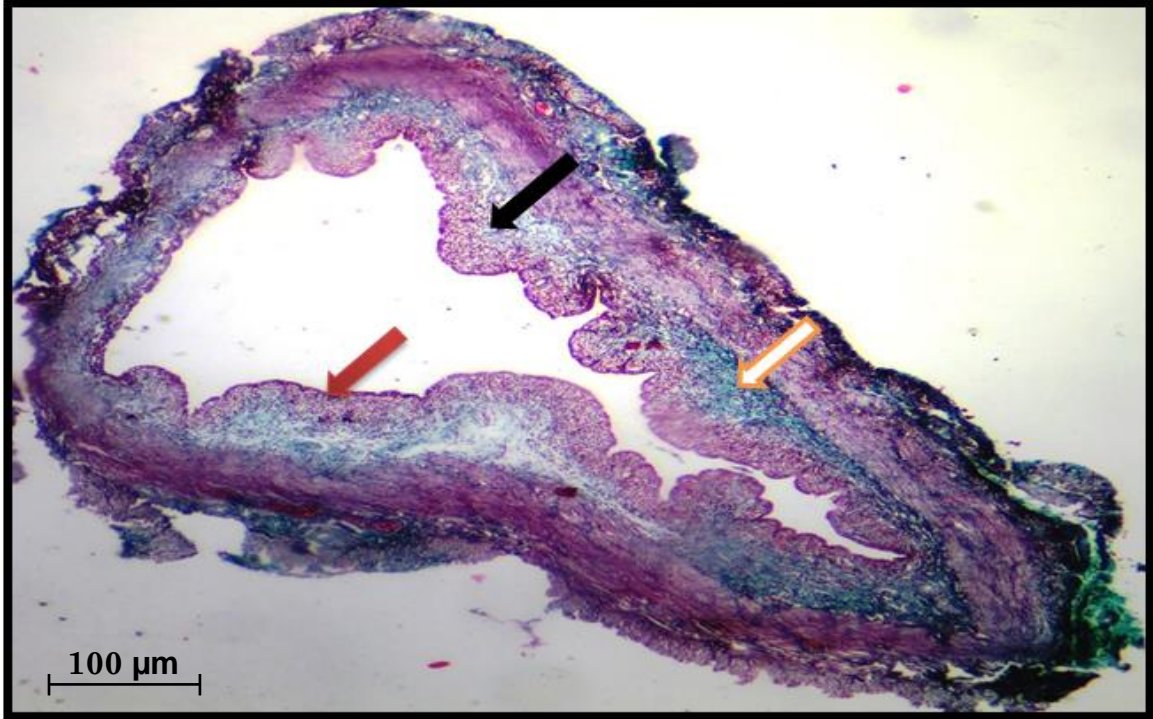
يعمل هرموني الاستروجين والبروجستيرون للمحافظة على نسيج القناة التناسلية ، حيث ينظمان نمو وتكاثر والوظيفة الافرازية للخلايا الطلائية للقناة التناسلية وكما هو معروف عندما يكون الرحم تحت تاثير الاستروجين فان تصنيع عوامل النمو تحفز من تطور الاوعية الدموية والتي بالمقابل تحفز الزيادة في استهلاك الاوكسجين وتوفير المغذيات لطبقة البطانية للرحم مما يؤدي الى زيادة في تكاثر الخلوي (Fahey *et al.*, 2006 ; Anzaldúa Arce *et al.*, 2008).

ان الازالة الجزئية للمبيض الايمن او المبيض الايسر للمرضعات تؤدي الى ان تكون الطبقة الفعالة غير نشطة مع كبر منطقة السدى في الطبقة البطانية كون الحيوان في حالة الرضاعة لا يمر بمراحل الشبق (اي انخفاض في نسبة هرمون الاستروجين) والذي يكون مسؤولاً عن نشاط الطبقة الفعالة وهذا مؤشر يدل على دور هرمون الاستروجين في نشاط الطبقة الظهارية للرحم مما يشير الى عدم نشاطها في الازالة الكاملة للمبايض (Ubilla *et al.*, 2000).

اذ يعمل هرمون الاستروجين على نمو بطانة لرحم وزيادة كبيرة في تطوير غدده الرحمية اما هرمون البروجستيرون فهو يعمل على زيادة النشاط الافرازي للغدد الرحمية ، كما يلاحظ صغر البطانية بالازالة للمبيض الايسر عن الايمن كون فعالية المبيض الايسر اعلى من الايمن في الجرذان (Razi *et al.*, 2010).



صورة رقم (41-4) مقطع نسجي لمجموعة السيطرة للعذارى يلاحظ فيها الالياف الكولاجين (السدى) (↔) و الطبقة الفعالة لبطانة الرحم (↔) لصبغة Trichrome (40X).



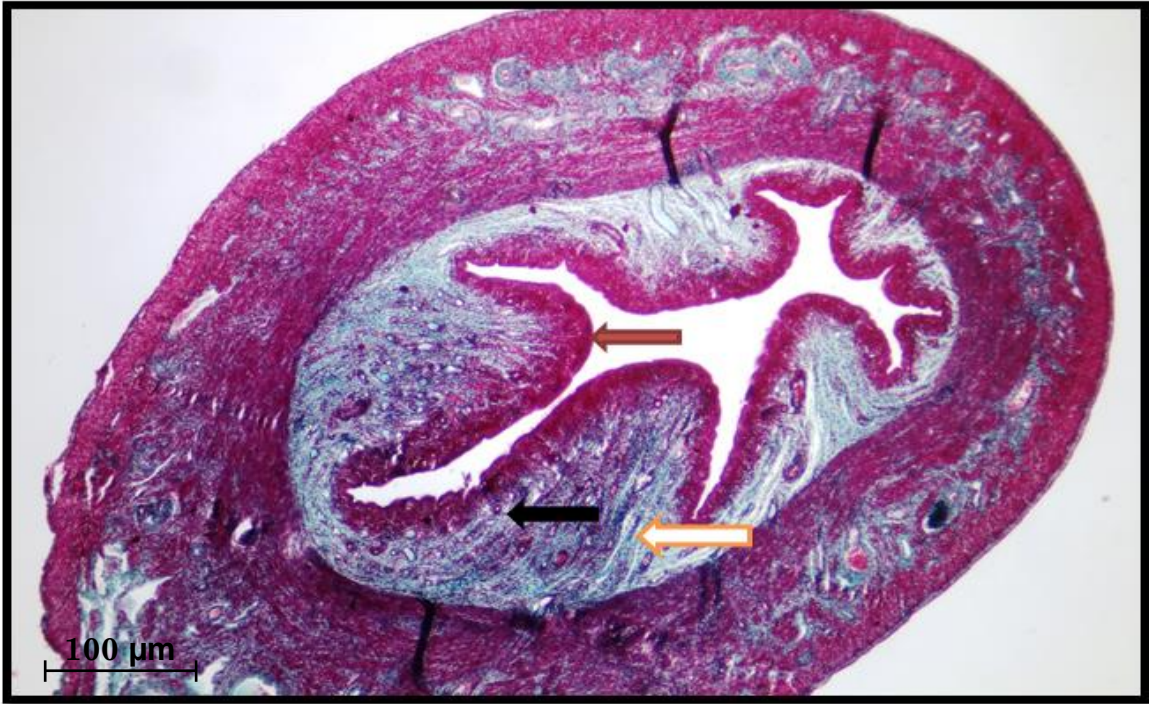
صورة رقم (42-4) مقطع نسجي لمجموعة الازالة الكاملة للعذارى يلاحظ فيها قلة في كثافة الياف الكولاجين (السدى) (↔) وقلة في الطبقة الفعالة لبطانة الرحم (↔) (يلاحظ الارتشاح الخلوي) (↔) لصبغة Trichrome (40X).



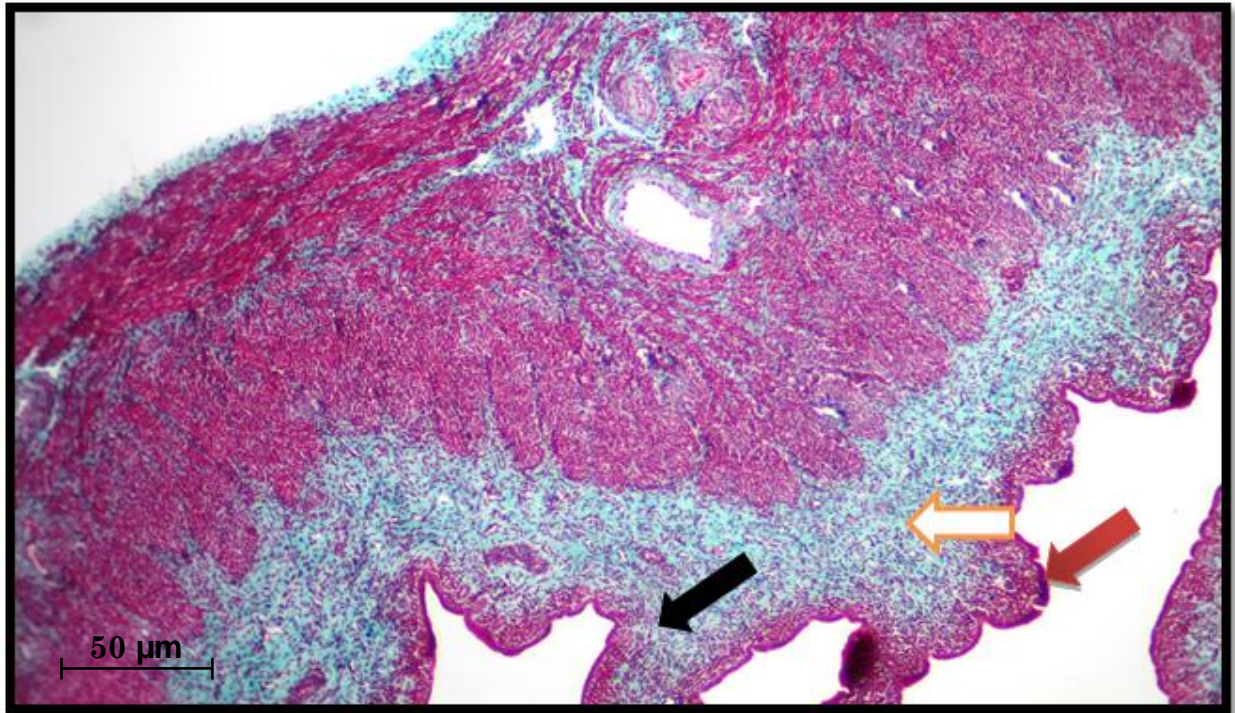
صورة رقم (4-43) مقطع نسجي لمجموعة إزالة المبيض الايمن للعذارى يلاحظ فيها كثافة في اليباف الكولاجين (↔) يلاحظ فيها الغدد الرحمية (◀) لصبغة Trichrome (40X).



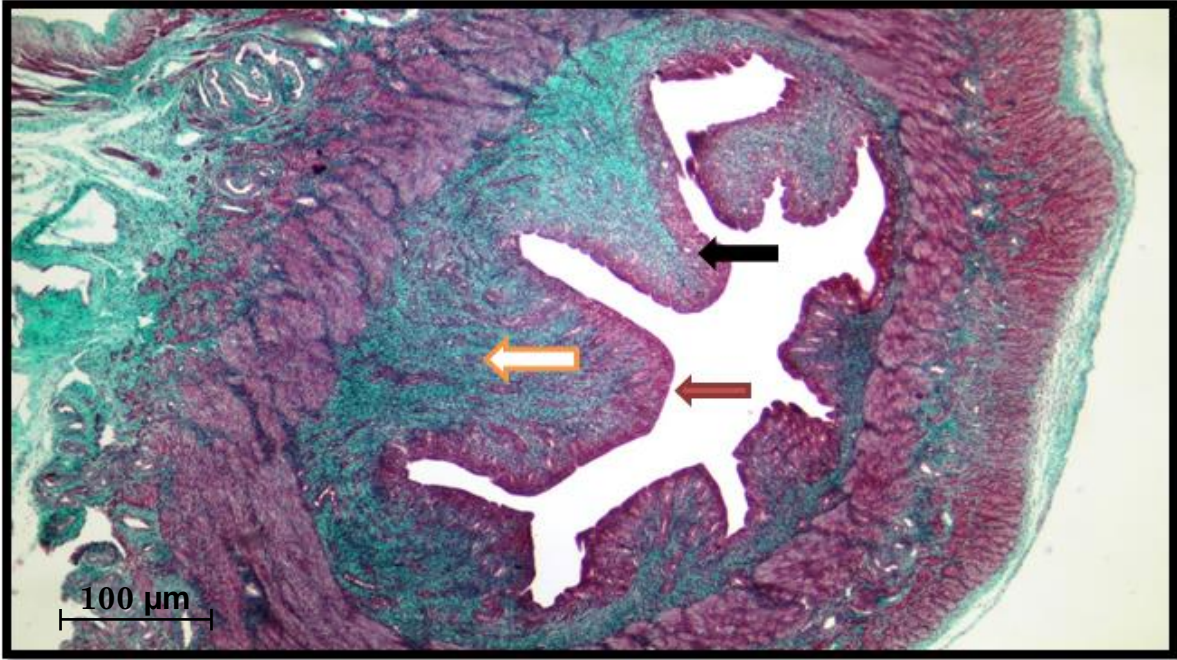
صورة رقم (4-44) مقطع نسجي لمجموعة إزالة المبيض الأيسر للعذارى يلاحظ فيها كثافة من الالياف الكولاجين (↔) يلاحظ فيها الغدد الرحمية (◀) لصبغة Trichrome (40X).



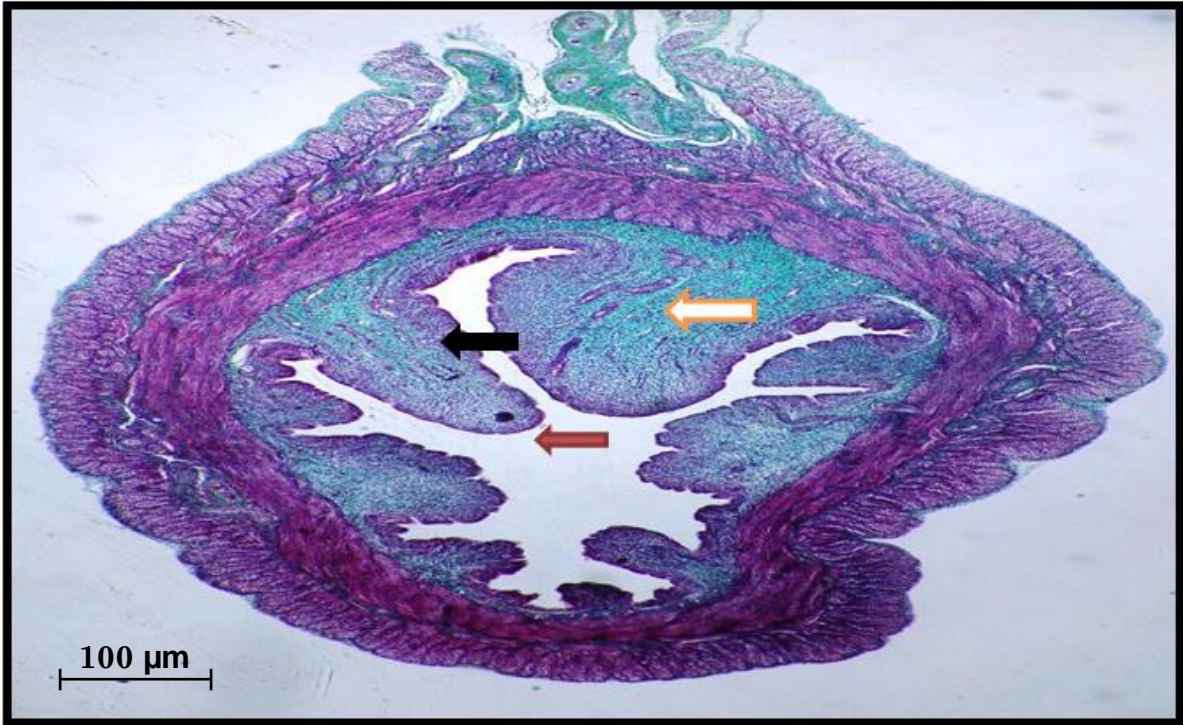
صورة رقم (4-45) مقطع نسجي لمجموعة السيطرة للمرضعات يلاحظ فيها كثافة من اليااف الكولاجين (↔)، كما يلاحظ فيها لغدد الرحمية (↔) وفعالية الطبقة الفعالة في بطانية الرحم (↔) لصبغة Trichrome (40X).



صورة رقم (4-46) مقطع نسجي لمجموعة الازالة الكاملة للمرضعات يلاحظ فيها قلة في الاليف الكولاجين (↔) وصغر في الطبقة الفعالة لبطانية الرحم (↔) الارتشاح الخلوي (↔) لصبغة Trichrome (100X).



صورة رقم (47-4) مقطع نسجي لمجموعة ازالة المبيض الايمن للمرضعات يلاحظ فيها كثافة في الياف الكولاجين (↗) يلاحظ فيها الغدد الرحمية (←) كما يلاحظ فعالية الطبقة الفعالة في طبقة بطانية الرحم (↖) لصبغة Trichrome (40X)



صورة رقم (48-4) مقطع نسجي لمجموعة ازالة المبيض الايسر للمرضعات يلاحظ فيها كثافة من الالياف الكولاجين (↗) يلاحظ فيها الغدد الرحمية (←) كما يلاحظ صفر الطبقة الفعالة في طبقة بطانية الرحم (↖) لصبغة Trichrome (40X).

5-4 القياسات النسجية Histological morphometry

1-5-4 أقطار حويصلات الغدد اللببية (مايكرون) للارانب

أوضحت نتائج دراسة القياسات النسجية جدول (1-4) حدوث انخفاض معنوي ($p < 0.05$) في معدل اقطار الحويصلات للغدد اللببية في كل من الحيوانات المعاملة بإزالة المبايض الكاملة ومجموعة إزالة المبيض الأيمن ومجموعة إزالة المبيض الأيسر بالمقارنة مع مجموعة السيطرة للحالات الفسلجية للعدارى والمرضعات وكان متوسط أقطار الحويصلات (20.53 ± 0.21) (36.94 ± 0.51) (26.78 ± 0.21) (50.32 ± 0.33) (75.09 ± 0.16) (60.76 ± 0.54) (48.78 ± 0.31) (120.78 ± 0.55) على التوالي للعدارى والمرضعات ، ففي مجموعة الإزالة الكاملة للعدارى والمرضعات كان الانخفاض معنوياً ($p < 0.05$) بالمقارنة مع مجموعتي المعاملة ومجموعة السيطرة ، كما نلاحظ وجود انخفاض ($p < 0.05$) معنوي في مجموعة المعاملة بإزالة المبيض الأيسر مقارنة مع مجموعة إزالة المبيض الأيمن .

جدول (1-4) يوضح تأثير إزالة المبايض على قطر الحويصلات لأنثا الأرانب للعدارى والمرضعات

المعاملة الحالة	قطر الحويصلات للسيطرة (مايكرون)	قطر الحويصلات الإزالة الكاملة للمبايض (مايكرون)	قطر الحويصلات إزالة المبايض الأيمن (مايكرون)	قطر الحويصلات إزالة المبايض الأيسر (مايكرون)
العدارى	A 48.78 ± 0.31	D 20.53 ± 0.21	B 36.94 ± 0.51	C 26.78 ± 0.21
المرضعات	A 120.78 ± 0.55	D 50.32 ± 0.33	B 75.09 ± 0.16	C 60.76 ± 0.54

المعدل ± الخطأ القياسي n=6, الحروف الكبيرة المختلفة بالاتجاه الأفقي تعني وجود فروقات معنوية ($P < 0.05$).

4-5-2 أعداد حويصلات الغدد اللبنية

أظهرت نتائج الجدول (2-4) للحالات الفسلجية للعداري والمرضعات الى وجود انخفاض معنوي ($p < 0.05$) في أعداد الحويصلات للغدد اللبنية لمجموعة المعاملة بإزالة المبايض الكاملة ومجموعة المعاملة بإزالة المبايض الأيمن ومجموعة المعاملة بإزالة المبايض الأيسر بالمقارنة مع مجموعة السيطرة للعداري والمرضعات (9.36 ± 0.11) (16.83 ± 0.12) (12.07 ± 0.11) (16.82 ± 0.16) (25.69 ± 0.21) (20.75 ± 0.14) (23.85 ± 0.10) (36.82 ± 0.31) على التوالي ، كما بينت النتائج ان هناك انخفاضاً معنوياً ($p < 0.05$) في مجموعة المعاملة بالإزالة الكاملة (9.36 ± 0.11) (16.87 ± 0.16) للعداري والمرضعات على التوالي مقارنة مع مجموعتي الإزالة للمبايض الأيمن والأيسر، وبينت النتائج وجود انخفاض معنوي ($p < 0.05$) في مجموعة المعاملة بإزالة المبايض الأيسر للعداري والمرضعات بالمقارنة مع مجموعة إزالة المبايض الأيمن .

جدول (2-4) يوضح تأثير إزالة المبايض على أعداد الحويصلات (ملم²) لأنثى الأرانب للعداري والمرضعات

الحالة / المعاملة	عدد الحويصلات السيطرة	عدد الحويصلات إزالة كاملة للمبايض	عدد الحويصلات إزالة المبايض الأيمن	عدد الحويصلات إزالة المبايض الأيسر
العداري	23.85 A ± 0.10	9.36 D ± 0.11	16.83 B ± 0.12	12.07 C ± 0.11
المرضعات	36.82 A ± 0.31	16.87 D ± 0.16	25.69 B ± 0.21	20.75 C ± 0.14

المعدل \pm الخطأ القياسي $n=6$ الحروف الكبيرة المختلفة بالاتجاه الأفقي تدل على وجود فروقات معنوية ($P < 0.05$).

لوحظ الانخفاض الحاصل في القياسات النسجية لمجاميع المعاملة وللحالات الفسلجية للعداري والمرضعات والمتمثلة بصغر قطر الحويصلات للغدد اللبنية وأعدادها ، كما ذكر في المناقشة السابقة ان عملية استئصال المبايض تؤدي الى صغر حجم الفصيصات وكذلك كثرة الحويصلات غير الفعالة وقلة عدد الحويصلات وصغر اقطارها وكثرة السدى نتيجة لانخفاض هرموني الاستروجين والبروجستيرون لان

المبيض يعد المصدر الرئيس لافرازها اذ يعمل البروجستيرون مع الاستروجين على نمو لفصيصات وتبرعم الحويصلات (Pompei et al.,2005) ، اذ إن هرمون الاستروجين مسؤول عن عملية استطالة قنوات الحليب للغدد اللبنية وتمدد نمو النظام القنوي في مرحلة البلوغ اما البروجستيرون والبرولاكتين مسؤولان عن النمو الفصيبي - الحويصلي (Holland and Roy 1995 ;Briskin and O'Malley, 2010).

اتفقت نتائج الدراسة الحالية مع دراسة (Berry et al., 2003) إذ لاحظوا ان عملية إزالة المبايض في العجول تؤدي الى انخفاض في تركيز هرمون الاستروجين وبالتالي يؤدي الى صغر حجم الفصيصات وقلة عدد الحويصلات وتكون الغدة اللبنية غير متطورة ، وأيضا مع دراسة الباحثان (Tad-Urai and Sookvanichsilp,2007) إذ اشاروا إلى انخفاض عدد الفصيصات وقلة عدد الحويصلات في الغدة اللبنية في الجرذان مزالة المبايض.

4-5-3 قياس سمك طبقات الرحم وبطانته للعداري والمرضعات

أوضحت نتائج القياسات النسجية للرحم الجدول (4 - 3) للعداري والمرضعات الى وجود انخفاض معنوي ($P < 0.05$) في معدلات سمك طبقات الرحم لمجموعة المعاملة بإزالة المبايض الكاملة (492.00 ± 2.81) (547.15 ± 3.03) ومجموعة المعاملة بإزالة المبيض الأيمن (671.73 ± 4.33) (835.95 ± 2.96) ومجموعة المعاملة بإزالة المبيض الأيسر (568.45 ± 3.47) (741.73 ± 2.51) بالمقارنة مع مجموعة السيطرة للعداري والمرضعات (890.32 ± 2.72) (997.28 ± 2.53) على التوالي ، اما بالنسبة لمجموعة الإزالة الكاملة فقد كان الانخفاض فيها معنوي ($p < 0.05$) مقارنة مع مجموعة إزالة المبيض الأيمن وإزالة المبيض الأيسر ، كما لوحظ وجود انخفاض ($p < 0.05$) معنوي في مجموعة المعاملة بإزالة المبيض الأيسر مقارنة مع مجموعة إزالة المبيض الأيمن.

كما أظهرت نتائج الدراسة الحالية للعداري والمرضعات الى وجود انخفاض معنوي ($p < 0.05$) في معدل سمك بطانة الرحم لمجموعة المعاملة بإزالة المبايض الكاملة (217.72 ± 1.16) (194.78 ± 10.68) ومجموعة المعاملة بإزالة المبيض الأيمن (321.11 ± 2.33) (406.72 ± 12.7) ومجموعة إزالة المبيض الأيسر (272.06 ± 2.40) (287.00 ± 11.67) بالمقارنة مع مجموعة السيطرة (466.28 ± 4.51) و (555.11 ± 17.46) للعداري والمرضعات على التوالي ، و بينت النتائج ان هناك انخفاصاً معنوياً ($p < 0.05$) في مجموعة المعاملة بإزالة المبايض الكاملة مقارنة مع مجموعتي الإزالة

للمبيض الأيمن والأيسر، و بينت النتائج وجود انخفاض معنوي ($p < 0.05$) في مجموعة المعاملة بإزالة المبيض الأيسر بالمقارنة مع مجموعة إزالة المبيض الأيمن جدول (4-4) .

جدول (3-4) يوضح تأثير إزالة المبايض على سمك طبقات الرحم لأنثاء الأرانب للعذارى والمرضعات

المعاملة الحالة	سمك طبقات الرحم للسيطرة (مايكرون)	سمك طبقات الرحم إزالة كاملة للمبايض (مايكرون)	سمك طبقات الرحم إزالة مبيض ايمن (مايكرون)	سمك طبقات الرحم إزالة مبيض الايسر(مايكرون)
العذارى	890.32 A ± 2.72	492.00 D ± 2.81	671.73 B ± 4.33	568.45 C ± 3.47
المرضعات	997.28 A ± 2.53	547.15 D ± 3.03	835.95 B ± 2.96	741.73 C ± 2.51

المعدل ± الخطأ القياسي $n=6$. الحروف الكبيرة المختلفة بالاتجاه الأفقي تعني وجود فروقات معنوية ($P < 0.05$).

جدول (4-4) يوضح تأثير إزالة المبايض على سمك بطانة الرحم لأنثاء الأرانب للعذارى والمرضعات

المعاملة الحالة	معدل سمك بطانة الرحم للسيطرة (مايكرون)	معدل سمك بطانة الرحم إزالة كاملة للمبايض (مايكرون)	معدل سمك بطانة الرحم إزالة مبيض ايمن (مايكرون)	معدل سمك بطانة الرحم إزالة مبيض أيسر (مايكرون)
العذارى	466.28 A ± 4.51	217.72 D ± 1.16	321.11 B ± 2.33	272.06 C ± 2.40
المرضعات	555.11 A ± 17.46	194.78 D ± 10.68	406.72 B ± 12.7	287.00 C ± 11.67

المعدل ± الخطأ القياسي $n=6$. الحروف المختلفة بالاتجاه الأفقي تعني وجود فروقات معنوية ($P < 0.05$).

اتفقت نتائج هذه الدراسة مع نتائج دراسة (Razi et al, 2010) (Fatemeh et al., 2008) و (Saruhan et al., 2006) إذ اشارو الى ان عملية استئصال المبايض للحيوانات تؤدي الى قلة سمك جدار الرحم بسبب قلة سمك الطبقات الثلاث وانخفاض في حجم بطانة الرحم نتيجة قلة هرمون الاستروجين المنتج ، حيث ان الاستروجين يؤدي الى تضخم في انسجة الرحم .

ان تطور وظائف الجهاز الانثوي يعتمد على توازن وتركيز الهرمونات فيه ،حيث ان الاستروجين يؤثر في نسيج الرحم ، ان النسيج الطلائي للرحم والطبقة العضلية تتطور تحت تأثير هرمون الاستروجين والذي يؤدي الى سمك في بطانة الرحم (Weihua *et al*,2003) .و يلاحظ ان الطبقة البطانة للرحم تبدأ بالتكاثر في مرحلة الجريبات تحت تأثير هرمون الاستروجين والافراز في مرحلة الجسم الاصفر تحت تأثير هرمون البروجستيرون ، ففي مرحلة التكاثر تزداد البطانة بالسمك نتيجة للانقسام الخلوي لخلايا البطانة ، اما في المرحلة الافرازية تصل البطانة الى اقصى حد من السمك وتبدأ الغدد الرحمية بافراز Histotrophe (Döcke, 1994; Espejel and Medrano , 2017).

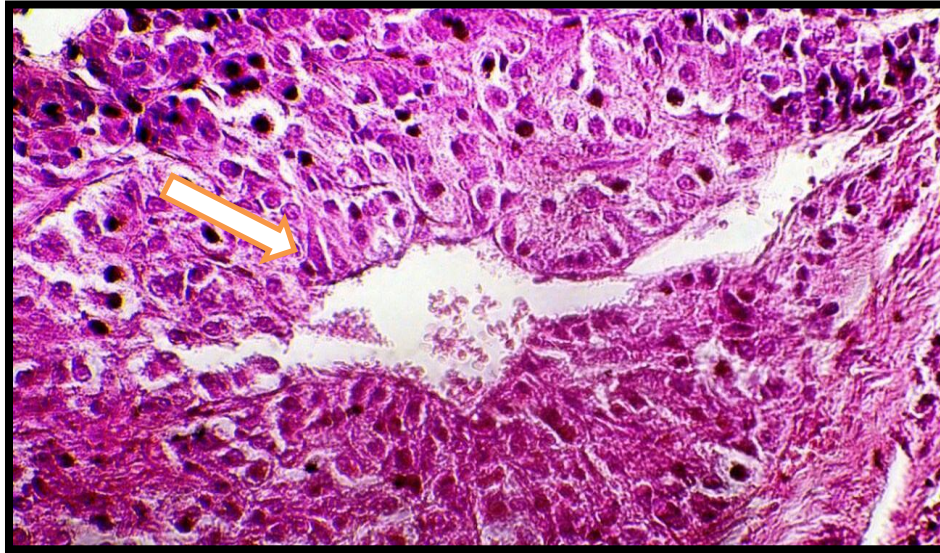
كذلك اتفقت هذه النتائج مع نتائج دراسة (Lee *et al* ., 2004) اذ اشارو الى انخفاض وزن الرحم في الجرذان بعد استئصال المبايض ولاحظو ضمورا في الطبقات العضلية وقلة سمك بطانة الرحم بسبب انخفاض تركيز هرمون الاستروجين . وايضا تتفق نتائج الدراسة الحالية مع دراسة كل من الباحثان Ünsal and Sönmez (2014) اذ لاحظوا ان عملية استئصال المبايض في الجرذان تؤدي الى انخفاض في حجم بطانة الرحم ونقصان كمية النسيج الضام مما يؤدي الى حدوث تغيير في سمك الرحم (Galigioni, 2009).

اشارت دراسة Youshino *et al.*, (1980) في الارانب البالغة الى انخفاض في سمك طبقات الرحم وقطر الرحم نتيجة انخفاض في تركيز هرمون الاستروجين في الحيوانات مزالة المبايض ، اما دراسة Al-Dahhan , (2015) فقد اشارت الى ان القياسات النسجية في الارانب المزالة المبايض للطبقات الثلاث ادت الى انخفاض في معدل سمك الطيات والصفحة الاصلية Lamina properia وسمك الطبقة العضلية وكذلك انخفاض في ارتفاع خلايا النسيج الطلائي .

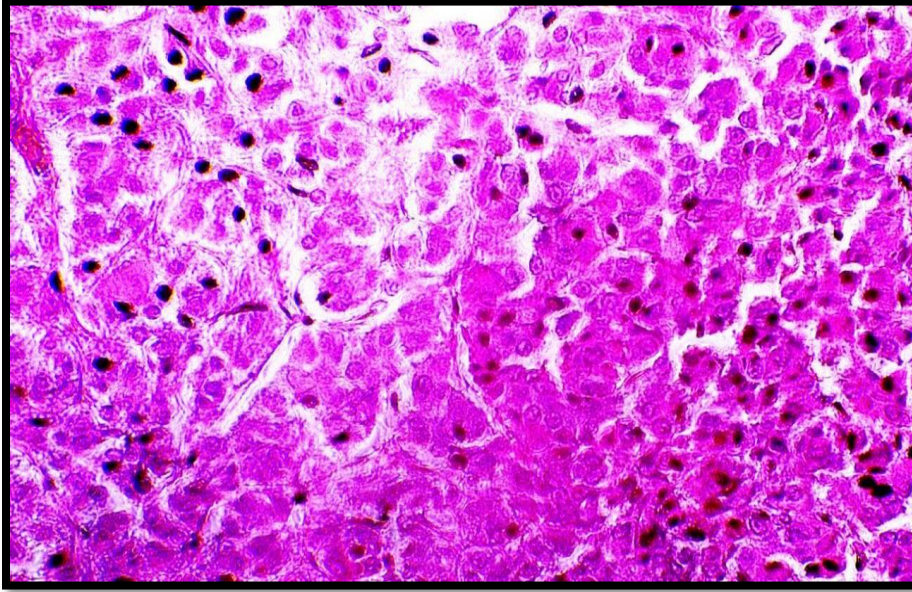
6-4 تأثير إزالة المبايض الثنائية والأحادية على نسيج الغدة النخامية للعدارى والمرضعات في الأرناب المحلية

1-6-4 صبغة الهيماتوكسلين والايوسين Haematoxylin and Eosin staining

تظهر نتائج صبغة الهيماتوكسلين والايوسين ان معاملة الحيوانات بإزالة المبايض الاحادية والثنائية للعدارى و المرضعات سواء كانت ازالة كاملة او جزئية لم تؤدي الى تغيرات نسيجية مرضية واضحة في نسيج الغدة النخامية صورة (4-50) مقارنة مع السيطرة (4-49)، كما ان نسيج كان متشابها قي المرضعات و العذارى لكل المجاميع المعاملة.



صورة رقم (4-49) لمقطع من نسيج الفص الامامي للغدة النخامية لمجموعة السيطرة (Sham) ، يلاحظ النسيج الطبيعي للفص مع وجود وعاء دموي (←) (H&E 100X)



صورة رقم (4-50) لمقطع من نسيج الفص الامامي للغدة النخامية لأحدى المجاميع المعاملة ،
يلاحظ النسيج الطبيعي للفص (H&E 100X)

اشارت دراسة (Greaves, 2007) بأن خلايا الفص الامامي للغدة النخامية تزداد بالحجم والعدد بعد عدة ايام من الاضطراب الهرموني الذي يأتي بعد الأزالة الكاملة للعضو المتأثر بهرمونات تلك الخلايا دون حصول اي تغيرات نسجية مرضية .

كما اشار (Ristić *et al.*, 2017) أنه عند ازالة المبايض في اناث الجرذان يحصل تغيير في تمايز خلايا افراز الحليب (mammotrophs) وتحولها الى خلايا المناسل (gonadotropic cells) والذي اكد هذه النتيجة حصول انخفاض في مستوى هرمون برولاكتين بعد ازالة المبايض، كما ان وزن الغدة النخامية لم يتغير بعد ازالة المبايض مما يشير الى زيادة في عدد خلايا المناسل بعد تحول تمايز الخلايا الفارزة للحليب اليها (Childs, 1991) .

7-4 الدراسة الكيميائية النسجية المناعية Immunohistochemical study

1-7-4 مستقبلات الاستروجين والبروجستيرون في الغدد اللبنية والرحم لمجاميع العذارى والمرضعات

يوضح الجدول (4-5) تأثير ازالة المبايض الكامل والجزئي للمبيض الأيمن والأيسر على التعبير عن مستقبلات الاستروجين والبروجستيرون في كل من الغدد اللبنية والرحم لإناث الارانب العذارى و المرضعات ، فعند المقارنة مع السيطرة (sham) الذي اظهر تعبيراً قوياً (+++) لمستقبلي الاستروجين والبروجستيرون في نسيج الغدد اللبنية ونسيج الرحم للعذارى ومتوسط (++) لهما في نسيج الرحم للمرضعات .

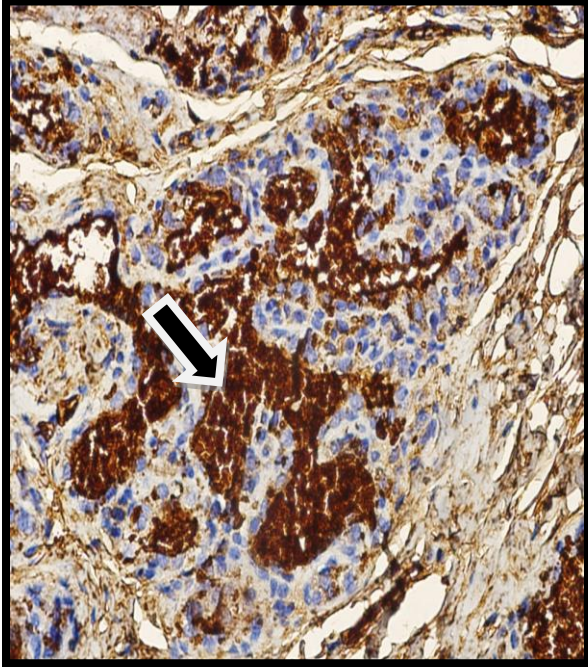
يلاحظ عند الازالة الكاملة للمبيضين قلة التعبير عن مستقبلي الاستروجين والبروجستيرون في كل من نسيجي الغدة اللبنية والرحم للعذارى والمرضعات حيث كان تعبير مستقبل الاستروجين في الغدة اللبنية للعذارى والمرضعات ضعيفاً (+) بينما لم يظهر اي تعبير له في نسيج الرحم ، والنتيجة نفسها ظهرت بالنسبة لمستقبل البروجستيرون ما عدا ظهوره بتعبير ضعيف (+) في نسيج رحم المرضعات .

بينما ظهر تعبير مستقبلي الاستروجين والبروجستيرون قوياً (+++) في نسيج الغدد اللبنية للعذارى والمرضعات ومتوسطاً وضعيفاً (++) ، (+) في نسيج الرحم للعذارى والمرضعات على التوالي عند ازالة المبيض الايمن .اما عند ازالة المبيض الايسر فقد لوحظ تعبير متوسط (++) لمستقبلي الاستروجين والبروجستيرون في نسيج الغدد اللبنية وتعبير ضعيف (+) لمستقبلي الاستروجين و البروجستيرون في نسيج الرحم للعذارى والمرضعات.

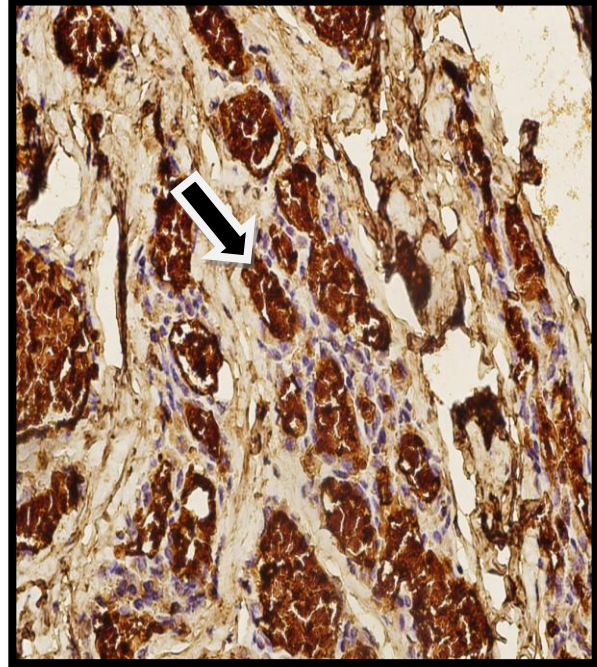
جدول (4-5) يوضح تأثير ازالة المبايض على مستوى التعبير عن مستقبلات الاستروجين والبروجستيرون في الغدة اللبنية والرحم لإناث الارانب العذاري والمرضعات

المرضعات		العذارى		المرضعات		العذارى		الحالة الفسلجية
مستقبلات البروجستيرون		مستقبلات الاستروجين		مستقبلات البروجستيرون		مستقبلات الاستروجين		
الرحم	الغدد اللبنية	الرحم	الغدد اللبنية	الرحم	الغدد اللبنية	الرحم	الغدد اللبنية	المجاميع
++	+++	++	+++	+++	+++	+++	+++	السيطرة (Sham)
+	+	-	+	-	+	-	+	ازالة كاملة للمبيضين
+	+++	+	+++	++	+++	++	+++	ازالة المبيض الايمن
+	++	+	++	+	++	+	++	ازالة المبيض الايسر

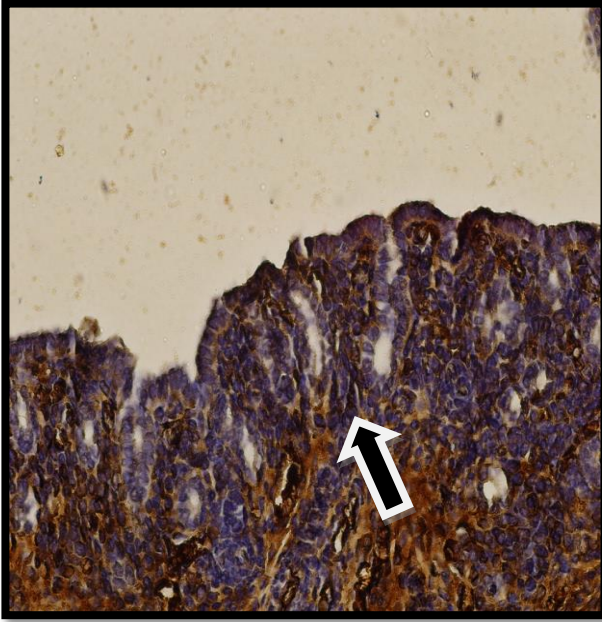
كما تظهر صور (51-4) و(52-4) التعبير الموجب لمستقبلي البروجستيرون والاستروجين في نسيج الغدد اللبنية على التوالي ، اما صور (53-4) و(54-4) فتظهر التعبير الموجب لمستقبلي البروجستيرون والاستروجين وصور (55-4) و(56-4) التعبير السالب للمستقبلين في نسيج الرحم على التوالي



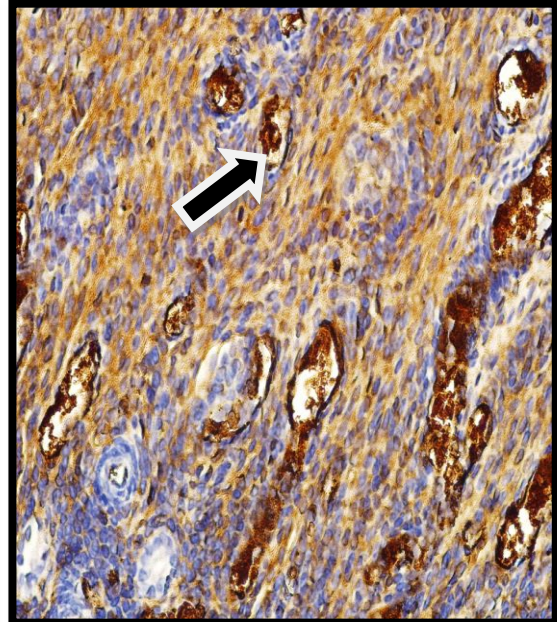
صورة رقم (52-4) مقطع نسجي لغدة لبنية لأنثى أرنب
يوضح التعبير الموجب لمستقبل الاستروجين (←)
(400X)



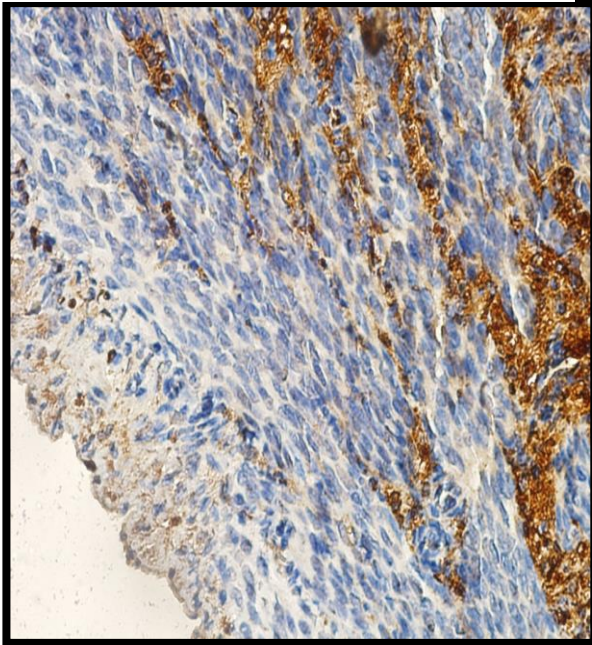
صورة رقم (51-4) مقطع نسجي لغدة لبنية لأنثى أرنب
يوضح التعبير الموجب لمستقبل البروجستيرون (←)
(400X)



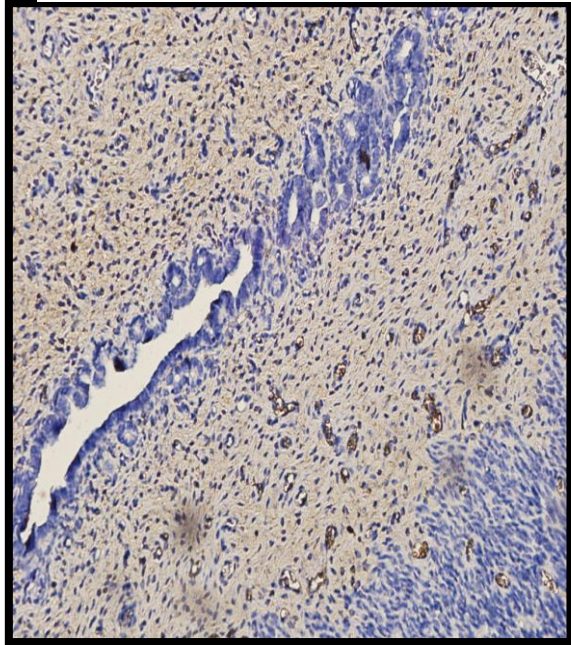
صورة رقم (54-4) مقطع نسجي لرحم انثى يوضح التعبير الموجب لمستقبل الاستروجين (400X) (←)



صورة رقم (53-4) مقطع نسجي لرحم انثى يوضح التعبير الموجب لمستقبل البروجستيرون (400X) (←)



صورة رقم (56-4) مقطع نسجي لرحم انثى يوضح التعبير السالب لمستقبل الاستروجين (100X)



صورة رقم (55-4) مقطع نسجي لرحم انثى يوضح التعبير السالب لمستقبل البروجستيرون (100X)

يظهر من النتائج السابقه انخفاض في إعداد الخلايا المعبرة عن مستقبلتي الاستروجين والبروجستيرون في حالة الإزالة الكاملة في كل من نسيجي الغدد اللبنية والرحم بالمقارنة مع الإزالة الجزئية لأحدى المبيضين والسيطرة جدول (4-5)، وقد اتفقت هذه النتائج مع نتائج الدراسات (Dessauge *et al.*, 2009) على إناث الماعز عند مرحلة ما قبل البلوغ ودراستي (Homeida *et al.*, 2010) في رحم إناث الإبل ، (Blesson *et al.*, 2012) وفي رحم إناث الجرذان .

كما هو معروف فان الاستروجين والبروجستيرون من الهرمونات الأستيرويدية والتي تكون محبة للدهون ، مما يسمح لها الدخول عبر الغشاء البلازمي للخلية والغشاء النووي بعملية الانتشار في النواة تقابل هذه الهرمونات بروتينات تعرف بالمستقبلات والتي لها ميل وخصوصية عالية للارتباط فيها، يرتبط هرمون الاستروجين بنوعين من المستقبلات (مستقبل الاستروجين الفا وبيتا) (Kumar *et al.*, 1987; Enmark *et al.*, 1997). ، يختلف كلا المستقبلين في انتشارهما في نسيج كل من الغدد اللبنية والرحم مما يؤدي الى اختلاف تأثيرهما في النسيج .و تشير نتائج احدى الدراسات بان مستقبل الاستروجين بيتا له تأثير مضاد لمستقبل الاستروجين الفا (Hall and McDonnell , 1999).

يمتلك البروجستيرون مستقبلين ، مستقبل A و B ، ويعتقد أن المستقبل B هو مستقبل منشط بينما A فهو خامد لنشاط B. (Vegeto *et al.*, 1993). لذا فان المستقبل B يعمل على تنشيط تطور نمو الغدة اللبنية من خلال ارتباطه بهرمون البروجستيرون (Conneely *et al.*, 2002)

اشارت الدراسة الى ان التعبير عن مستقبل الاستروجين في نسيج الغدد اللبنية يبدأ قبل البلوغ بعيدا عن تأثير الهرمونات الاستيرودية حيث تحدث تفرعات للقنوات الاولية (Briskin and O'Malley , 2010). لذا قد يعود اليه سبب وجود التعبير الضعيف عن مستقبل الاستروجين في نسيج الغدد اللبنية للعدارى في الدراسة الحالية ، ففي دراسة (Berry *et al.*, 2003) اشار الى ان عملية ازالة المبايض في اناث الابقار عند مرحلة ما قبل البلوغ تزيد في تعبير مستقبل الفا والذي يتواجد بنسبة قليلة في الخلايا الظهارية ولا يوجد في الخلايا السدى ، وقد يفسر هذا الى ان زيادة تعبير خلايا لمستقبل الاستروجين الفا يعود الى فقدان التغذية الراجعة السلبية نتيجة لانخفاض في مستوى هرمون الاستروجين، وهذا ما يفسر وجود تعبير ضعيف (+) لمستقبل الاستروجين في نسيج الغدد اللبنية للعدارى و المرضعات للدراسة الحالية .

تشير نتائج الدراسات الى أن الاستروجين ومستقبله الفا له تأثير على تطور نسيج الغدد اللبنية منها دراسة (Dessauge *et al.*, 2009) . كما لوحظ بان انتشار مستقبل بيتا اقل انتشارا من الفا في نسيج الغدد

اللبنية (Berry *et al.*, 2003). لذا فان اي اضطراب في التعبير عن مستقبل الاستروجين الفا يؤدي الى اخلال في تطور و وظيفة الغدد اللبئية على العكس من مستقبل الاستروجين بيتا (Korach, 1994).

اما دراسة (Feldman *et al.*, 1999) وجد أن عملية ازالة المبيضين يؤدي الى خفض التعبير عن مستقبل الاستروجين في الجرذان والتي تعود الى مستواها المقارب الى الطبيعي عند حقنها بالاستروجين مع هرمون النمو .

تشير نتائج الكيمياء نسيجية المناعية لدراسة (Dessauge *et al.*, 2009) على اناث الماعز عند مرحلة ما قبل البلوغ لمستقبلي الاستروجين والبروجستيرون ، ان تعبير هذين المستقبلين في نواة الخلايا الظهارية لنسيج الغدة اللبئية ينخفض عند تعرض الحيوان الى ازالة كاملة للمبيضين ، حيث لوحظ بان مستقبل الاستروجين الفا α ينشط مركب Cyclin D1 الذي يظهر تعبيره في الخلايا الظهارية للغدة اللبئية والذي له علاقة بعمليات التكاثر في الفئران (Steinberg and McNutt , 1999) ، حيث اشار الباحثان الى ان هذا المركب يعمل على اقتران الاشارة لهرموني الاستروجين والبروجستيرون خارج الخلية الى داخل نواة الخلية مما يؤدي الى ادخال الخلية الظهارية اللبئية في دورة الخلية من خلال ادخالها الى طور G1. اضافة الى ذلك فان Cyclin D1 ممكن ان يفعل تعبير مستقبل الاستروجين والذي بالمقابل يفعل تعبير مستقبل البروجستيرون (Zwijssen *et al.*, 1997). كل هذه التأثيرات التي لها علاقة بزيادة تكاثر الخلايا وتمايزها لهرموني الاستروجين والبروجستيرون ويمكن ان تثبط بفعل الازالة الكاملة للمبيضين من خلال الانخفاض في مستوى هذين الهرمونين.

ان الخلايا الظهارية نفسها ممكن ان تنتج هرمون الاستروجين من خلال P450 aromatase ، الا ان هذا الانتاج من الهرمون لا يمكن ان يقلل من الفعل التثبيطي لإزالة المبيضين حيث وجد ايضا ان التعبير عن مستقبل البروجستيرون في نسيج الغدد اللبئية ينظم بواسطة هرمون الاستروجين المنتج من المبيض

(Katzellenbogen and Norman ,1990 ; Dessauge *et a l.*, 2009).

وفي دراسة اخرى اشار بان هرمون البرولاكتين يعمل على زيادة تعبير مستقبل البروجستيرون في رحم الارانب (Chilton and Daniel, 1987). مما يفسر وجود تعبير ضعيف (+) لمستقبل البروجستيرون في رحم المرضعات الارانب في نتائج الدراسة الحالية .

لقد وجد بان هرمون الاستروجين في مرحلة الجريبية للشبق قادر على تحفيز صنع مستقبل البروجستيرون في الرحم لتهيأ الرحم لمرحلة الجسم الاصفر والتي يزداد فيها مستوى هرمون البروجستيرون (Wang et al., 2007 ; Liebich , 2010) . كما تم التوصل الى ان التعبير عن مستقبل الاستروجين الفا ينظم التعبير عن مستقبل البروجستيرون في رحم الجرذان ، حيث ان مستقبل البروجستيرون يزداد تعبيره بزيادة تعبير الخلايا عن مستقبل الاستروجين (Blesson et al., 2012).

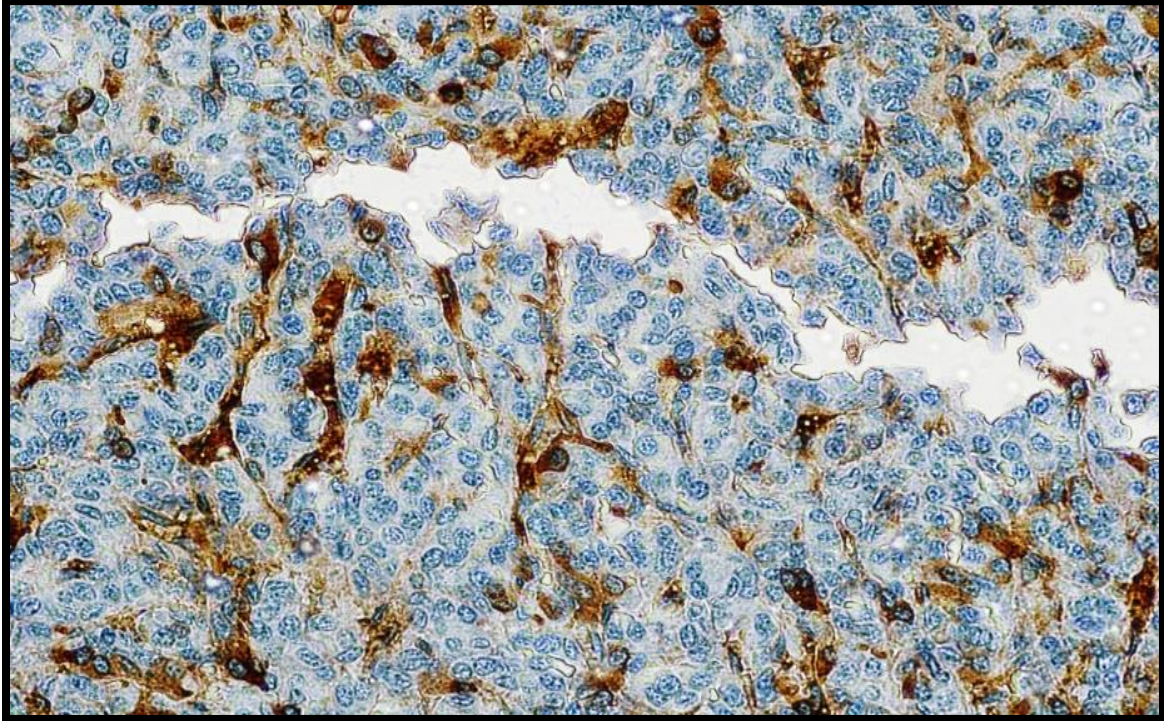
4-7-2 التعبير الكيميائي النسجي المناعي لمستقبلات البروجستيرون في الغدة النخامية لمجاميع العذارى والمرضعات

أظهرت النتائج وجود خلايا كبيرة الحجم و التي تعرف بخلايا المناسل في مجموعة الازالة الكاملة صورة (4-58)، كما اظهرت تلك المجموعة وجود حويصلات في سايتوبلازم تلك الخلايا مقارنة بمجموعة السيطرة ومجموعتي الازالة الجزئية صورة (4-57) التي لم تظهر فيها مثل تلك الخلايا ولا الحويصلات.

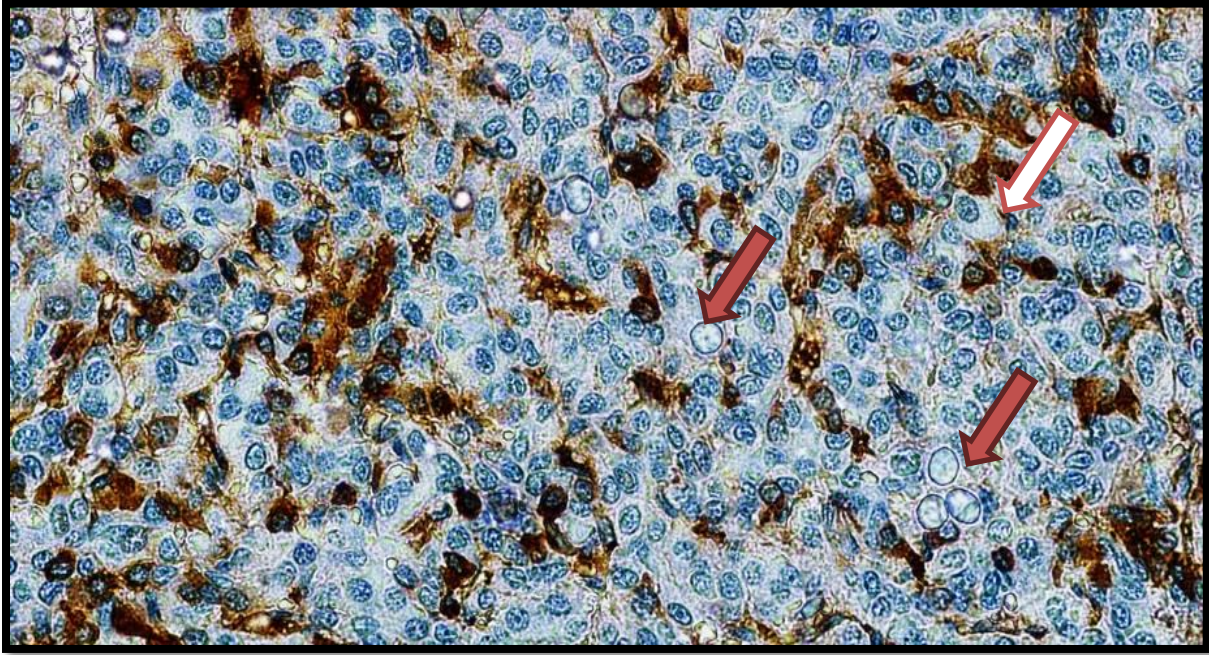
اتفقت النتائج مع دراسة Sánchez-Criado et al., (2006) حيث لاحظو وجود مثل تلك الخلايا والحويصلات في سايتوبلازم الخلايا الفارزة لهرموني اللوتيني والمحفز للجريبات والذي علل سبب وجودها الى زيادة انتاج الشبكة الاندوبلازمية الخشنة لتلك الهرمونات والتي تبدا بافراز عدد من الحويصلات الحاوية على هرموني LH و FSH بعدها تبدا تلك الحويصلات بالاندماج مكونة حويصلة كبيرة الحجم (Capen, 1983).

ان عمل تلك الخلايا يعتمد على افراز الهرمون المحفز لهرمونات المناسل Gonadotrophin releasing hormone (GnRH) من الغدة تحت المهاد والتي بدورها تثبط عن طريق ارتفاع مستوى هرموني الاستروجين والبروجستيرون (التغذية الاسترجاعية السالبة) Feedback mechanism وكذلك عن طريق عامل التثبيط (Inhibin) الذي يفرز بدوره من المبيض (Knobil and Neill, 1994)، لذا عند الإزالة الكاملة للمبيض سوف يقل مستوى هرموني الاستروجين والبروجستيرون وكذلك عامل التثبيط مما يفقد التثبيط لإفراز الهرمون المحفز لهرمونات المناسل (GnRH) والذي بدوره سيحفز بصورة مستمرة الخلايا المنتجة لهرموني LH و FSH . وفي دراسة أشار Greaves, (2007) بأن خلايا الفص الامامي

للغدة النخامية تزداد بالحجم والعدد بعد عدة ايام من الاضطراب الهرموني الذي يأتي بعد الأزالة الكاملة للعضو المتأثر بهرمونات تلك الخلايا .



صورة رقم (4-57) مقطع نسيجي من الفص الامامي لغدة نخامية تبين فيها عدم وجود حويصلات في سايتوبلازم الخلايا او وجود خلايا كبيرة الحجم (400X)



صورة رقم (4-58) مقطع نسيجي من الفص الامامي لغدة نخامية لمجموعي الازالة الكاملة تبين فيها وجود حويصلات في سايتوبلازم الخلايا (←) وكذلك وجود خلايا كبيرة الحجم (←) (400X) .

8-4 الدراسة الوظيفية و الكيموحيوية :

1-8-4 الدراسة الهرمونية Hormonal study

توضح تاثير ازالة المبايض على مستوى هرمونات المصل (هرمون المحفز للجريبات FSH ، الهرمون اللوتيني LH ، هرمون البرولاكتين ، هرمون الاستروجين والبروجستيرون) لاناث الارانب للحالات الفسلجية العذارى والمرضعات .

1-1-8-4 تاثير ازالة المبايض على معدل تركيز الهرمونات في مصل الدم لاناث العذارى

1-1-1-8-4 التغيرات في معدل تركيز هرمون المحفز للجريبات FSH

اظهرت نتائج الدراسة الحالية الى وجود ارتفاع معنوي ($P < 0.05$) في معدل تركيز هرمون المحفز للجريبات FSH (10.89 ± 0.25) في مصل دم الارانب مزالة المبايض الكاملة خلال فترة التجربة بالمقارنة مع مجموعة ازالة المبيض الأيمن (6.16 ± 0.92) ومجموعة المعاملة بازالة المبيض الأيسر (7.13 ± 0.91) ومجموعة السيطرة (8.65 ± 1.27) ، كما يشير الجدول الى وجود انخفاض معنوي

(P<0.05) في معدل تركيز هرمون FSH في مجموعة المعاملة بإزالة المبيض الأيمن مقارنة مع مجموعة إزالة المبيض الأيسر ومجموعة السيطرة جدول (4-6).

2-1-1-8-4 التغيرات في معدل تركيز الهرمون اللوتيني LH

أظهرت نتائج الجدول (4-6) حصول ارتفاع معنوي (P<0.05) في معدل تركيز الهرمون اللوتيني (4.42 ± 2.10) في مجموعة الأرانب مزالة المبايض الكاملة بالمقارنة مع مجموعة إزالة المبيض الأيمن (2.29 ± 1.11) ومجموعة إزالة المبيض الأيسر (2.11 ± 1.00) ومجموعة السيطرة (2.68 ± 1.33)، بينما يشير الجدول الى عدم وجود فروق معنوية بين مجموعة إزالة المبيض الأيمن مع مجموعة إزالة المبيض الأيسر بالمقارنة مع مجموعة السيطرة.

3-1-1-8-4 التغيرات في معدل تركيز هرمون البرولاكتين Prolactin

يلاحظ من الجدول (4-6) وجود ارتفاع غير معنوي (P>0.05) في مجموعة الإزالة الكاملة (5.72 ± 1.32) بالمقارنة مع مجاميع المعاملة بإزالة المبيض الأيمن (5.11 ± 1.44) والمبيض الأيسر (4.81 ± 1.42) ومجموعة السيطرة (4.74 ± 1.25).

4-1-1-8-4 التغيرات في معدل تركيز هرموني البروجستيرون Progesterone وهرمون

الاستروجين Estrogen

أظهرت النتائج في الجدول (4-6) الى وجود انخفاض معنوي (P<0.05) في معدل تركيز هرمون البروجستيرون (1.08±0.11) في مجموعة الأرانب مزالة المبايض الكاملة بالمقارنة مع مجموعة الحيوانات المعرضة لإزالة المبيض الأيمن (3.01 ± 0.22) وإزالة المبيض الأيسر (2.97 ± 0.84) ومجموعة السيطرة (3.09 ± 0.11)، كما اشار الجدول الى عدم وجود فروق معنوية في مجموعة الأرانب مزالة المبيض الأيمن ومجموعة إزالة المبيض الأيسر بالمقارنة مع مجموعة السيطرة. كما يوضح الجدول (4-6) وجود انخفاضاً معنوياً (P<0.05) في مستوى تركيز هرمون الاستروجين والذي بلغ (9.55±2.06) في المجموعة المعاملة بإزالة المبايض الكاملة مقارنة مع مجموعة مزالة المبيض الأيمن (18.30 ± 1.94) والمبيض الأيسر (13.95 ± 2.01) ومجموعة السيطرة (34.10 ± 3.10)، ووجود

انخفاض معنوي ($P < 0.05$) في تركيز هرمون الاستروجين في المجموعة المعرضة لإزالة المبيض الأيسر بالمقارنة مع مجموعة إزالة المبيض الأيمن .

جدول (4-6) يوضح تأثير إزالة المبايض على مستوى الهرمونات في مصل إناث الارانب العذاري

الهرمونات المجاميع	المحفز للجريب (FSH) (ng/ml)	اللوتيني (LH) (ng/ml)	البرولاكتين (PrL) (ng/ml)	البروجستيرون (Pr) (pg/L)	الاستروجين (E ₂) (pg/L)
السيطرة	8.65 ±1.27 B	2.68 ±1.33 A	4.74 ±1.25 A	3.09 ±0.11 A	34.10 ±3.10 A
إزالة كاملة	10.89 ±0.25 A	4.42 ±2.10 B	5.72 ±1.32 A	1.08 ±0.11 B	9.55 ±2.06 D
إزالة المبيض الأيمن	6.16 ±0.92 C	2.29 ±1.11 A	5.11 ±1.44 A	3.01 ±0.22 A	18.30 ±1.94 B
إزالة المبيض الأيسر	7.13 ±0.91 C	2.11 ±1.00 A	4.81 ±1.42 A	2.97 ±0.84 A	13.95 ±2.01 C

المعدل ± الخطأ القياسي n= 6 الحروف الكبيرة المختلفة بالاتجاه العمودي تعني وجود فروقات معنوية ($P < 0.05$).

2-1-8-4 تأثير إزالة المبايض على معدل تركيز الهرمونات في مصل الدم لإناث الأرانب المرضعات

1-2-1-8-4 التغيرات في معدل تركيز هرمون المحفز للجريبات FSH والهرمون اللوتيني LH

أظهرت نتائج الجدول (7-4) الى وجود ارتفاع معنوي ($P < 0.05$) في معدل تركيز هرمون المحفز للجريبات FSH (8.79 ± 1.05) في مصل دم الارانب المرضعات مزالة المبايض الكاملة خلال فترة التجربة بالمقارنة مع مجموعة إزالة المبيض الأيمن (6.06 ± 0.82) ومجموعة إزالة المبيض الأيسر (6.36 ± 0.91) ومجموعة السيطرة (7.05 ± 1.07) ، كما يشير الجدول الى وجود انخفاض معنوي ($P < 0.05$) في معدل تركيز هرمون FSH في مجموعة المعاملة بإزالة المبيض الأيمن مقارنة مع مجموعة السيطرة . كما يلاحظ من الجدول (7-4) حصول ارتفاع معنوي ($P < 0.05$) في معدل تركيز الهرمون اللوتيني الذي بلغ (4.00 ± 1.25) في مجموعة الارانب مزالة المبايض الكاملة بالمقارنة مع مجموعة إزالة المبيض الأيمن (2.41 ± 1.21) ومجموعة إزالة المبيض الأيسر (2.01 ± 0.90) ومجموعة السيطرة (2.77 ± 0.33)، بينما يشير الجدول إلى وجود فروق غير معنوية بين مجموعة إزالة المبيض الأيمن مع مجموعة إزالة المبيض الأيسر .

جدول (7-4) يوضح تأثير إزالة المبايض على مستوى الهرمونات في مصل إناث الارانب المرضعات

الهرمونات المجاميع	المحفز للجريب (FSH) (ng/ml)	اللوطيني (LH) (ng/ml)	البرولاكتين (PrL) (ng/ml)	البروجستيرون (Pr) (pg/L)	الاستروجين (E ₂) (pg/L)
السيطرة	7.05 ±1.07 B	2.77 ±0.33 B	6.04 ±2.52 C	3.15 ±2.01 A	26.50 ±3.90 B
إزالة كاملة	8.79 ±1.05 A	4.00 ±1.25 A	8.25 ±2.00 B	0.71 ±0.51 C	16 ±2.00 D
إزالة المبيض الأيمن	6.06 ±0.82 C	2.41 ±1.21 B	9.25 ±1.24 A	1.44 ±0.62 B	34 ±1.50 A
إزالة المبيض الأيسر	6.36 ±0.91 BC	2.01 ±0.90 B	6.20 ±1.02 C	1.21 ±1.04 B	20 ±0.71 C

المعدل ± الخطأ القياسي n= 6 الحروف الكبيرة المختلفة بالاتجاه العمودي تعني وجود فروقات معنوية ($P < 0.05$).

2-2-1-8-4 التغيرات في معدل تركيز هرمون البرولاكتين ProLactin

يلاحظ من الجدول (7-4) وجود ارتفاع معنوي ($P<0.05$) في مستوى تركيز هرمون البرولاكتين الذي بلغ (9.25 ± 1.24) في مجموعة الارانب المعاملة بازالة المبيض الايمن مقارنة مع مجموعة مزالة المبيض الايسر (6.20 ± 1.02) ومجموعة مزالة المبايض كاملة (8.25 ± 2.00) ومجموعة السيطرة (6.04 ± 2.52) ، و وجود ارتفاع معنوي ($P<0.05$) في تركيز هرمون البرولاكتين لمجموعة الازالة الكاملة والذي بلغ (8.25 ± 2.00) بالمقارنة مع مجموعة ازالة المبيض الايسر ومجموعة السيطرة (sham) .

3-2-1-8-4 التغيرات في معدل تركيز هرموني البروجستيرون Progesterone وهرمون الاستروجين Estrogen في مصل المرضعات

أظهرت النتائج في الجدول (4 - 7) الى وجود انخفاض معنوي ($P<0.05$) في معدل تركيز هرمون البروجستيرون (0.71 ± 0.51) في مجموعة الارانب مزالة المبايض الكاملة بالمقارنة مع مجموعة الحيوانات المعرضة لإزالة المبيض والأيمن (1.44 ± 0.62) وإزالة المبيض الأيسر (1.21 ± 1.04) ومجموعة السيطرة (3.15 ± 2.01)، كما اشار الجدول (7-4) الى وجود انخفاض معنوي ($P<0.05$) في تركيز هرمون البروجستيرون في مجموعة الارانب مزالة المبيض الأيمن ومجموعة ازالة المبيض الأيسر بالمقارنة مع مجموعة السيطرة .

كما يوضح الجدول (7-4) وجود انخفاض معنوي ($P<0.05$) في مستوى تركيز هرمون الاستروجين والذي بلغ (16 ± 2.00) في المجموعة المعاملة بإزالة المبايض الكاملة مقارنة مع مجموعة مزالة المبيض الأيمن (34 ± 1.50) والمبيض الأيسر (20 ± 0.71) ومجموعة السيطرة (26.50 ± 3.90)، ووجود انخفاض معنوي ($P<0.05$) في تركيز هرمون الاستروجين في المجموعة المعرضة لازالة المبيض الايسر مقارنة مع مجموعة ازالة المبيض الايمن ومجموعة السيطرة .

اظهرت نتائج الدراسة الحالية ارتفاعاً معنوياً ($P<0.05$) في معدل تركيز هرموني LH , FSH في مجموعة الازالة الكاملة وانخفاض معنوي ($P<0.05$) في معدل تركيز هرمون الاستروجين في مجموعة الارانب مزالة المبايض للمجاميع الثلاث ، كما اظهرت النتائج انخفاضاً في تركيز هرمون البروجستيرون في مجموعة ازالة المبايض اما في مجموعة العذارى فقد ظهر عدم وجود فروق معنوية بالنسبة لمجموعة ازالة المبيض الايمن مقارنة مع مجموعة السيطرة وهذا يدل على كفاءة عمل المبيض الايسر وهذه نتائج

متفقة مع (Purup *et al.* , 1995 ; Edward *et al.*,2001 ; Dessauge *et al.* , 2009 ; Velayudhan *et al.*, 2012).

يقوم المبيض فضلا عن انتاجه للخلايا الجنسية بافراز الهرمونات الستيرويدية هما الاستروجين والبروجستيرون ، المسؤولة عن نمو الاعضاء التناسلية الانثوية وظهور الصفات الجنسية الثانوية ونمو الغدد اللببية وتسمك بطانة الرحم وزيادة الانسجة الدهنية (Brijesh,2013) . ان الانخفاض المعنوي في مستوى تركيز هرمون الاستروجين والبروجستيرون بسبب ازالة المبايض في هذه المجاميع مما ينتج عنه فقدان في صناعة وانتاج هرمون الاستروجين والبروجستيرون نتيجة لفقدان المبايض وهي المركز الرئيس لانتاج هرمون الاستروجين والبروجستيرون وبالتالي انخفاض تركيزهما (Berry *et al.*, 2003; Parker *et al.*,2009; Hamed *et al.*, 2010 ; Yart *et al.*, 2012).

وتتفق نتائج الدراسة الحالية مع دراسة هادي (2014) الذي اشار الى انخفاض هرمون الاستروجين في الارانب مزالة المبايض الثنائية. ان انتاج الستيرويدات يقل عند النساء في سن الياس والنساء المعرضات لازالة المبايض جراحيا وبصورة كبيرة مما ينتج عنه زيادة في مستوى الهرمون اللوتيني LH وFSH وذلك عن طريق التغذية الاسترجاعية السالبة Feed back mechanism بين هرمونات الغدة النخامية والمبيض لانتاج الهرمونات الستيرويدية ، اما هرمون FSH فيرتفع ايضا بسبب الهبوط الحاد في الهرمون المثبط Inhibin (الجبوري , 2006 ; Parker *et al.*, 2009).

وتتفق النتائج مع دراستي (Kharode *et al.*, (2008; والسعدي (2012) لزيادة مستوى هرمون FSH وLH والذي قد يكون السبب لمهاجمة الجذور الحرة لانسجة المبايض وتحطيم الحويصلات المبيضية في المبيض ، وفي حالة ازالة المبايض جراحيا عند النساء وهي المصدر الرئيس للاستروجين يتراجع الهرمون لتظهر اعراض سن الياس.

ان مستوى هرمون الاستروجين في مصل دم الارانب وصل الى مستويات منخفضة ولم يختفي تماما من مصل الدم لوجود مصادر اخرى تصنع وبشكل محدود مثل قشرة الغدة الكظرية ، وكذلك المواقع الرئيسية الاخرى لانتاج الاستروجين هي الانسجة الدهنية Adipose tissue ، الجلد، والعضلات وغيرها (Simpson *et al.*, 1999 ; Schwatz,1992 ; Parker *et al.*, 2009).

كما اشارت الدراسات (Asuncion *et al.*, 2000; Lane , 2006 ; Novais *et al.*, 2015) الى ان الخلل الوظيفي للمبايض لدى النساء المصابات بتكيس المبايض او امراض اخرى تؤدي الى انخفاض معنوي في مستوى هرمون الاستروجين والبروجستيرون نتيجة لعدم التوازن في هرمونات المناسل .

ان الانخفاض المعنوي ($P < 0.05$) في تركيز هرمون البروجستيرون تتفق مع نتائج الباحثين (Johnson *et al.*, 1997 ; Yart *et al.*, 2012) بان عملية ازالة المبايض تؤدي الى كبح في الافراز الدوري لهرموني الاستروجين والبروجستيرون وهذا موكد نتيجة لانخفاض الهرمونات خلال عملية الازالة لان المبايض تعد المصدر الرئيس لافراز الهرمونات . كذلك فان ارتفاع مستوى هرمون LH في مصول المريضات جاء نتيجة انخفاض مستويات الاستروجين والبروجستيرون خلال ميكانيكية التغذية الراجعة السالبة. (Warren and Stiehl, 1999).

وكانت هذه النتائج متوافقة مع البحوث و الدراسات التي تشير إلى ان انخفاض مستوى هرمون البروجستيرون يتزامن مع ارتفاع مستوى هرمون LH وFSH نتيجة الخلل في وظيفة الغدة النخامية والذي يسبب العجز المبيضي المبكر (Montgomery *et al.*, 2003).

وتشير النتائج الى ارتفاع معنوي ($p < 0.05$) لهرمون البرولاكتين في المرضعات ضروري للتكوين الحليبي (Ganong,2003). وقد اتفقت النتيجة مع (Brisken *et al.* ,1999; Freeman,2000) إذ اثبتت ان ارتفاع مستوى هرمون البرولاكتين في المصل يرتبط بعملية تكوين الحليب ،اذ ان البرولاكتين يؤثر على مكونات الحليب خلال فترة ادرار الحليب عن طريق تنشيط تخليق البومين الحليب الفا- α -Lactalbumin.

يفرز هرمون البرولاكتين من الفص الامامي للغدة النخامية ويعمل على تكوين الحليب في الغدة اللبنية ، ويزداد افرازه بعد الولادة وبدء الادرار , حيث يتوقف افراز العامل المثبط للبرولاكتين Prolactin Inhibiting Factor مما يؤدي الى تنبئة افراز البرولاكتين (Grattan *et al.*, 2007)، الذي يشير الى ان زيادة افراز هرمون PRL تبلغ (20%) من حالات انقطاع الطمث الثانوي واضطرابات في الدورة الشهرية .

ان ارتفاع هرمون الحليب لدى النساء يعمل على احداث اضطرابات هرمونية في تحت المهاد والغدة النخامية مما يؤدي الى اضطراب في مستوى هرموني الاستروجين والبروجستيرون ،يزداد تركيز البرولاكتين خلال فترة الرضاعة (Charles *et al.*,1996; Grattan *et al*, 2007) .

2-8-4 قياس تركيز الهرمون اللوتيني في الغدة النخامية

أظهرت النتائج ارتفاعاً معنوياً ($p \leq 0.05$) في مستوى هرمون اللوتيني عند مجموعة الإزالة الكاملة للعدارى (1.54 ± 0.32) مقارنة مع السيطرة (0.75 ± 0.23) ومجموعة ازالة المبيض الأيمن (0.81 ± 0.41) ومجموعة ازالة المبيض الأيسر (0.77 ± 0.21)، كما أظهرت هذه المجموعة ارتفاعاً غير معنوي إحصائيا لمجموعة الإزالة الكاملة (1.06 ± 0.36) عند المرضعات مقارنة مع مجاميع السيطرة (0.70 ± 0.22) وازالة المبيض الايمن (0.65 ± 0.20)، وازالة المبيض الايسر (0.61 ± 0.23) .
جدول (8-4).

جدول (4- 8) يوضح تأثير إزالة المبايض على مستوى الهرمون اللوتيني في الغدة النخامية لأنثى الأرناب العذارى والمرضعات

الهرمون اللوتيني (LH) (ng/μg)		الهرمون
المرضعات	العذارى	الحالة الفسلجية المجاميع
0.70 ±0.22 A	0.75 ±0.23 A	السيطرة
1.06 ±0.36 A	1.54 ±0.32 B	ازالة كاملة
0.65 ±0.20 A	0.81 ±0.41 AB	ازالة المبيض الايمن
0.61 ±0.23 A	0.77 ±0.21 AB	ازالة المبيض الايسر

المعدل ± الخطأ القياسي، الحروف الكبيرة المختلفة بالاتجاه العمودي تعني وجود فروقات معنوية ($P < 0.05$).

اتفقت نتيجة مجموعة العذارى مع دراسة Sánchez-Criado *et al.*, (2006) والذي وجد ارتفاع مستوى هرمون اللوتيني في المصل والغدة النخامية للجرذان مزال المبيض ازالة كاملة .

يسيطر هرمون البروجستيرون على عملية تصنيع وافراز هرمونات المناسل من خلال مستقبل البروجستيرون الموجود على خلايا المناسل ، حيث يتم التصنيع الحيوي لهرمونات المناسل على شكل حويصلات في الشبكة الاندوبلازمية وجهاز كولجي (Pierce, 1988). ويتم تحريرها بعملية exocytosis بتحفيز من هرمون المحرر للمناسل (GnRH) من الغدة تحت المهاد حيث يعمل هرمون الاستروجين كتغذية راجعة سالبة لافراز الهرمون اللوتيني (Ganong,2005) .الأزالة الكاملة للمبايض تؤدي الى فقدان هرموني الاستروجين و البروجسترون مما يؤثر على عملية تخليق وافراز هرمونات المناسل وبالتالي الى تحفيز الغدة النخامية على تصنيع كميات اكبر من هرمونات المناسل(Garner and Blake , 1981).

كما اتفقت نتائج مجموعة المرضعات مع دراسة Fukushima *et al.* , (2006) حيث لوحظ زيادة نسبة هرمون اللوتيني في مصل المرضعات و ارتفاع نسبة الهرمون في مصل الحيوانات مزاله المبايض والذي يشير الى ارتفاع نسبة تصنيعه في الغدة النخامية .

عدة دراسات وجدت ان الهرمون اللوتيني يرتفع نسبته في المصل كلما قلت عملية امتصاص الجراء بعملية الرضاعة، وبعد الفطام بعدة ساعات حيث يبدأ ارتفاعه تدريجيا ، حيث لوحظ وجود هرمون البرولاكتين من غير وجود العملية الميكانيكية للرضاعة والتي بدورها تزيد من مستوى هرمون الاوكسيتوسين والذي يعمل على التقليل من افراز هرمون اللوتيني (Smith,1978 ; Stevenson *et al.*,1981; Fukushima *et al.* ,2006) ،كما لوحظ انخفاض نسبة هرمون اللوتيني في المصل والغدة النخامية في الجرذان المرضعات مزاله المبايض بصورة كاملة مقارنة مع غير المرضعة (Maeda *et al.*,1989). في نتائج هذه الدراسة لوحظ ارتفاع غير معنوي لهرمون LH في مجموعة المرضعات الازالة الكاملة للمبايض قد يعود ذلك الى كون الفطام في بداية مراحلها.

3-8-4 تأثير إزالة المبايض على معدل تركيز إنزيم الفوسفاتيز القاعدي ALP وإنزيم '5' النيوكلوتايدز NTD لنسجي الغدد اللبنية والرحم للعدارى و المرضعات في الارانب المحلية

تشير نتائج جدول(9-4) و (10-4) الى انخفاض معنوي ($P<0.05$) في مستوى انزيم الفوسفاتيز القاعدي (0.89 ± 0.25) (1.24 ± 0.22) (1.71 ± 0.21) (1.00 ± 0.71) عند مجموعة الازالة الكاملة مقارنة مع السيطرة Sham والمجاميع الاخرى في كل من نسيج الغدد اللبنية والرحم للعدارى والمرضعات على التوالي كما يلاحظ انخفاض معنوي ($P<0.05$) في مستوى انزيم النيوكلوتايدز للعدارى والمرضعات (0.02 ± 0.09) (0.12 ± 0.20) (0.23 ± 0.12) (0.42 ± 0.33) في نسيجي الغدد اللبنية والرحم في مجموعة مزاله المبيضين مقارنة مع السيطرة والمجاميع الاخرى جدول(9 - 4) (10-4) .

جدول (4 - 9) مستوى انزيمي الفوسفاتيز القاعدي وال'5' نيوكلوتايدز في نسيج الغدد اللبنية في اناث الارانب (U/g)

انزيم '5' النيوكلوتايدز		انزيم فوسفاتيز القاعدي		الحالات المجاميع
المرضعات	العدارى	المرضعات	العدارى	
2.76 ±1.93 A	0.78 ±0.88 A	3.98 ±1.33 A	2.00 ±1.27 A	السيطرة
0.12 ±0.20 C	0.02 ±0.09 B	1.24 ±0.22 C	0.89 ±0.25 B	ازالة كاملة
1.88 ±1.00 AB	0.64 ±0.52 A	3.10 ±0.91 AB	1.89 ±0.92 A	ازالة المبيض الايمن
1.76 ±0.99 B	0.50 ±0.42 A	2.98 ±1.00 B	1.82 ±0.91 A	ازالة المبيض الايسر

± تمثل المعدل الخطأ القياسي SD

الاحرف المختلفة تشير الى وجود فروقات معنوية مقارنة مع مجموعة السيطرة Sham عند مستوى معنوية ($P<0.05$) .

جدول (4- 10) مستوى انزيمي فوسفاتيز القاعدي وال5' نيوكلوتايديز في نسيج الرحم في اناث الارانب (U/g)

انزيم 5' النيوكلوتايديز		انزيم فوسفاتيز القاعدي		الحالات المجاميع
المرضعات	العذارى	المرضعات	العذارى	
3.65 ±1.98 A	2.35 ±1.88 A	4.77 ±2.11 A	3.55 ±2.32 A	السيطرة
0.42 ±0.33 C	0.23 ±0.12 B	1.00 ±0.71 C	1.71 ±0.21 B	ازالة كاملة
2.65 ±0.72 B	2.30 ±0.60 A	3.92 ±1.00 AB	3.50 ±1.66 A	ازالة المبيض الايمن
2.00 ±0.99 B	1.65 ±0.71 A	3.20 ±1.72 B	2.82 ±2.10 A	ازالة المبيض الايسر

تمثل المعدل ± الخطأ القياسي SD

الاحرف المختلفة تشير الى وجود فروقات معنوية مقارنة مع مجموعة السيطرة Sham عند مستوى معنوية ($P < 0.05$).

يعد انزيم ALP من انزيمات التي لها علاقة بتحفيز عمليات التحلل المائي لمركبات Monophosphate esters في وسط قاعدي حيث إن له دور مهم في عملية نقل الفوسفات وفي عمليات انقسام الخلايا وعملية الفسفرة وازالة الفوسفات من المركبات ، يقع على قمة وقاعدة الغشاء الخلوي وفي سايتوبلازم الخلايا الظهارية والغدية للغدد اللبنية وايضا على غشاء القطرات الدهنية (Fleming *et al.*, 1995; Murray *et al.*, 2003 ; Fox and Kelly, 2006).

يوجد معظم انزيم ALP في الخلايا الظهارية العضلية للغدد اللبنية بينما في ظهارية الحويصلات لا تحتوي الا على نسبة قليلة منه ، مما يدل على دور هذه الخلايا في عملية صنع الحليب (Chuang, 1987) ، حيث اشارت دراسة (Backwell , 2001) الى دور هذا الانزيم في عملية تصنيع مكونات الحليب وخصوصا اللاكتوز . يبدأ هذا الانزيم بالارتفاع في المراحل الاخيرة من الحمل ويبقى على مستوى عال خلال مرحلة الرضاعة مما يدل على دور هذا الانزيم في وظيفة الخلية اكثر منها في نموها وتكاثرها ((Raubenheimer ,1987; Colston *et al.*, 1988) .

يعتقد بان ALP الموجود في نسيج الغدد اللبنية له دور في صناعة بروتينات النووية خلال مراحل النمو كما يعتقد بان له دور في فسفرة بروتين الكازئين (Bjelakovic, *et al.*, 2009; Billen *et al.*, 2015).

اشارت نتائج الدراسة الحالية الى انخفاض معنوي في مستواه عند المجاميع مزاله المبايض في الغدد اللبنية للعذارى والمرضعات ، حيث اشارت دراسة (Christian *et al.*, 1986) بان فعالية انزيم ALP تزداد مع زيادة مستوى هرمون الاستروجين والذي يتحفز من خلال مستقبلات الاستروجين والذي انخفض مستواه بإزاله المبايض .

من جانب اخر تشير نتائج دراسة (Li *et al.*, 2010) الى ان نشاط انزيم ALP في الخلايا الطلائية لنسيج الرحم في الهامستير يتأثر بمستوى الهرمونات الستيرويدية (الاستروجين والبروجستيرون) حيث يتغير مع تغير مراحل الشبق، وقد تم تأكيد ذلك من خلال اعطاء حيوانات الهامستر مزاله المبايض جرعة من هرموني الاستروجين والبروجستيرون مما ادى الى ارتفاع التعبير عن انزيم ALP في خلايا الطلائية للرحم حيث وجدت نتائج هذه الدراسة بان زيادة نشاط احد انواع انزيم ALP في خلايا الطلائية المبطنة للرحم يكون متزامنا بين فعلي هرموني الاستروجين والبروجستيرون .

وفي دراسة اخرى اشارت النتائج الى ان نشاط ALP يزداد في الطبقة الطلائية للطبقة البطانية لرحم جاموس النهر (River buffalos) في مرحلة الجسم الاصفر تحت تأثير هرمون البروجستيرون (Shahrooz *et al.*, 2013)، حيث فسر ذلك الى دور ALP في عملية تصنيع الكلايكونين ونقل مركبات افرازية عبر الخلية (Marty and Feldbush, 1993)، الا ان الباحثين (Leiser and Wille, 1975) فسرا بان جهاز كولجي في سايتوبلازم الخلايا الظهارية لبطانة الرحم يقوم بتصنيع كميات كبيرة من ALP وذلك لتنشيط وتحلل مركبات phosphomonoesterase العضوية والتي لها دور في مرحلة الجسم الاصفر لتهيئة الرحم لعملية الانغراس ، كما اشارت هذه الدراسة الى مقارنة هذه النتائج مع اللبائن ، لذا فان دراسة مستوى انزيم ALP دليل على نشاط الخلية (Souvannavong *et al.*, 1994)

وفي دراسة اخرى لوحظ بان عدد خلايا البلعمة تزداد في مرحلة الجسم الاصفر مع زيادة مستوى انزيم ALP حيث لوحظ بان السايوتوكينات التي تفرزها الخلايا البلعمية والتي تعد المصدر الرئيس للسايوتوكينات البطانية في الرحم دور في عملية الانغراس وتعزيز الحمل (Kummer *et al.*, 2005) ، لذا فمن الممكن الاستنتاج بان الخلايا البلعمية لها دور في زيادة فعالية إنزيم ALP. إضافة

لذلك ان للخلايا البلعية لها دور في عملية البلعمة للخلايا غير الطبيعية في بطانة الرحم وإزالة مسببات المرضية (Cobb and Watson,1995; Athanasakis *et al.*,1999).

يعد إنزيم 5'النيوكلوتايدز هو المسؤول عن إزالة الفوسفات و انتاج مركب الادينوسين من التحلل المائي لمركب AMP اي انه الناتج النهائي لتحلل ATP ، و له دور في عملية تكون الأوعية الدموية و النمو والمناعة. (Zimmermann *et al.* ,2012).

اما في دراسة (Mitrovića *et al.*,2016) على اناث جرذان مزاله المبايض وجد بان هرمون الاستروجين يؤثر على تعبير انزيم النيوكلوتايدز عن طريق مستقبل استروجين الفا حيث يعمل على زيادة تعبير هذا الإنزيم على عكس مستقبل الاستروجين بيتا ، حيث يؤثر مستقبل الفا على تصنيع بروتين ونشاط إنزيم نيوكلوتايدز بينما يؤثر مستقبل بيتا على نشاطه فقط . لذا فان عملية إزالة المبايض والتي تؤدي إلى انخفاض مستوى هرمون الاستروجين وانخفاض التعبير عن مستقبلات الاستروجين يؤدي بالتالي إلى انخفاض في مستوى انزيم النيوكلوتايدز ، مما يؤثر بدوره على النسيج الغدة اللبنية والرحم.

أشارت نتائج دراسة (Shen *et al.*,2013) بان الاستروجين يعمل على زيادة محتوى الخلية الطلائية للغدة اللبنية من انزيم 5'nuclotidase كما يزيد من نشاطه وفي دراسة اخرى وجد ان التعبير عن انزيم - 5'النيوكلوتايدز يختلف في بطانة الرحم حسب مراحل الدور الشبقية في اناث الفئران (Aliagas *et al*) (2010). حيث إن له دور في تنظيم المحيط السائل لبطانة الرحم وكذلك عملية sperm capacitation داخل القناة التناسلية للانثى (Monks and Fraser 1988 ; Takayama *et al.*,2000).

4-8-4 تأثير إزالة المبايض على مستوى تركيز GSH و MDA في مصل دم الارانب المحلية

1-4-8-4 التغيرات في معدل تركيز الكلوتاثيون المختزل (GSH) والمالوندايالديهيد MDA في مصل دم مجموعة العذارى للارانب المحلية

يلاحظ من نتائج الجدول (4-11) الى وجود انخفاض معنوي ($P < 0.05$) في معدل تركيز GSH في مجموعة الارانب مزالة المبايض الكاملة بالمقارنة مع مجموعة إزالة المبيض الأيمن ومجموعة إزالة المبيض الأيسر ومجموعة السيطرة ، وانخفاض معنوي ($P < 0.05$) في مجموعتي المعاملة بإزالة المبيض والأيمن (12.96 ± 1.29) والأيسر (12.00 ± 1.61) بالمقارنة مع مجموعة السيطرة (15.18 ± 0.12). كما يشير الجدول (4-11) الى وجود ارتفاع معنوي في معدل MDA (1.69 ± 0.08) في مجموعة الإزالة الكاملة بالمقارنة مع المجاميع المعاملة للمبيض الأيمن (0.46 ± 0.03) والأيسر (0.51 ± 0.02) ومجموعة السيطرة (0.39 ± 0.26).

جدول (4-11) يوضح تأثير إزالة المبايض على مستوى تركيز الكلوتاثيون المختزل GSH

والمالوندايالديهيد MDA في مصل إناث الأرانب العذارى

MDA mg/dl	GSH μmol/L	المعايير المجاميع
0.39 ± 0.26 A	15.18 ± 0.12 A	السيطرة
1.69 ± 0.08 C	8.24 ± 1.00 C	إزالة كاملة
0.46 ± 0.03 B	12.96 ± 1.29 B	إزالة المبيض الأيمن
0.51 ± 0.02 B	12.00 ± 1.61 B	إزالة المبيض الأيسر

المعدل ± الخطأ القياسي (n=6) لكل مجموعة

الحروف الكبيرة المختلفة بالاتجاه العمودي تعني وجود فروقات معنوية ($P < 0.05$)

4-8-4-2 التغيرات في معدل تركيز الكلوتاثيون المختزل (GSH) والمالوندايالديهايد MDA في مصل دم مجموعة المرضعات للارانب المحلية

إظهرت نتائج الجدول (4-12) الى وجود انخفاض معنوي ($P < 0.05$) في معدل تركيز GSH (5.29 ± 1.00) في مجموعة الأرانب مزالة المبايض الكاملة بالمقارنة مع مجموعة إزالة المبيض الأيمن ومجموعة إزالة المبيض الأيسر ومجموعة السيطرة ، وانخفاض معنوي ($P < 0.05$) في مجموعتي المعاملة بإزالة المبيض الأيمن (12.10 ± 1.29) والأيسر (10.73 ± 1.10) بالمقارنة مع مجموعة السيطرة (15.2 ± 1.51). كما يشير الجدول (4-12) إلى وجود ارتفاع معنوي في معدل MDA (1.79 ± 0.05) في مجموعة الإزالة الكاملة بالمقارنة مع المجاميع المعاملة للمبيض الأيمن (0.61 ± 0.02) والأيسر (0.82 ± 0.05) ومجموعة السيطرة (0.43 ± 0.01) .

جدول (4-12) يوضح تأثير إزالة المبايض على مستوى تركيز الكلوتاثيون المختزل GSH والمالوندايالديهايد MDA في مصل إناث الأرانب المرضعات

MDA mg/dl	GSH $\mu\text{mol/L}$	المعايير المجاميع
0.43 ± 0.01 A	15.2 ± 1.51 A	السيطرة
1.79 ± 0.05 D	5.29 ± 1.00 C	إزالة كاملة
0.61 ± 0.02 C	12.10 ± 1.92 B	إزالة المبيض الأيمن
0.82 ± 0.05 B	10.73 ± 1.10 B	إزالة المبيض الأيسر

المعدل \pm الخطأ القياسي ($n=6$) لكل مجموعة

الحروف الكبيرة المختلفة بالاتجاه العمودي تعني وجود فروقات معنوية ($P < 0.05$)

اشارت الدراسة الحالية ان عملية ازالة المبايض تؤدي الى انخفاض معنوي ($p < 0.05$) في مستوى تركيز GSH، تتفق هذه النتيجة مع (Weitzmann and Pacitici, 2006) من حدوث انخفاض معنوي في مستوى كلوتاثيون في الجرذان مستأصلة المبايض، وايضا تتفق مع دراسة السعدي (2012) الى حدوث انخفاض في تركيز الكلوتاثيون المختزل GSH وارتفاع MDA في الارانب مستأصلة المبايض وانخفاض في تركيز الاستروجين. ويتضح من التغييرات أهمية الإستروجين في تنظيم واستقرار مستوى كلوتاثيون الأنسجة وتثبيط أكسدة البروتينات الدهنية وبيروكسدة الدهن في أنسجة الحيوان (Rificia and Khachaduri, 1992).

يعد الكلوتاثيون المختزل من احد الانظمة الدفاعية المضادة للاكسدة ، اذ يؤدي دور مهم في المحافظة على الخلايا والاعضاء والانسجة من الاجهاد التاكسدي، ان انخفاض مستوى هرمون الاستروجين في مجموعة مزالة المبايض يزيد من توليد الجذور الحرة الاوكسجينية وانواع الاوكسجين الفعالة وبالتالي احداث تاكسد الدهون Lipid Peroxidation والذي يكون البيروكسيدات الداخلية الحلقية وايضا يعمل على تكسير سلسلة الاسيل في الدهون الفسفورية الموجودة في غشاء الخلية مؤديا الى تغييرات في ديناميكية الغشاء وتحطيمه فتقل مضادات الاكسده ومنها GSH وبالتالي ارتفاع MDA الذي يعتبر كموشر للمؤكسدات التي تحطم اغشية الخلايا (Yen et al., 1999 ; Tug et al., 2006 ; Valko et al., 2007) .

ان الانخفاض في مستوى الكلوتاثيون في اناث الارانب المعرضة للإجهاد التاكسدي يمكن ان يعزى الى أكسدة الكلوتاثيون GSH او انخفاض تخليقه، الذي له دور مهم في كبح انواع جزئيات الاوكسجين الفعالة المتسببة في تحطيم او هدم الخلايا ، اذ ان الكلوتاثيون يشارك في العديد من العمليات الحيوية المهمة منها بناء البروتين والنيوكليوتيدات وهو يساهم ايضا في فعالية بعض الانزيمات من خلال عملة كمادة اساس Substrate او كمرافق إنزيمي لبعض العمليات الانزيمية في الخلية (Kerksick & Willoughby, 2005). لذا فان انخفاض مستواة في المصل والأنسجة يعد مؤشرا على زيادة الإجهاد التاكسدي .

وتتفق نتائج هذه الدراسة مع دراسة (كعيم)، 2014 اذ اشارت الى حدوث انخفاض في مستوى الكلوتاثيون المختزل GSH الذي يعتبر احد مضادات الاكسدة غير الانزيمية في مصل الارانب مزالة المبايض وان النقص في هرمونات المبايض له علاقة مع الفشل بعدم توازن حالة الاجهاد التاكسدي Oxidative stress اي عدم التوازن بين المؤكسدات ومضادات الاكسدة. كذلك ارتفاع مستوى MDA في مصل الارانب مزالة المبايض .

ان الارتفاع في مستوى MDA في مصلى الارانب مزالة المبايض يؤثر على قدرة النظام للتخلص منها وازالتها وبالتالي الى التقليل من مستويات GSH وهذه النتيجة متفقة مع دراسة التي تشير الى التعاقب الذي يحصل في حالة مضادات الاكسدة لمختلف الانسجة كنتيجة للزيادة في Lipid Peroxidation لها كما في حالة ازالة المبايض الحاصلة وبالتالي انخفاض هرمون الاستروجين الذي يعتبر كمضاد للاكسدة السعدي (2012) و كعيم (2014) .

9-4 وزن الجسم Body weight

أظهرت نتائج الدراسة الحالية لاوزان جسم العذارى وكما مبين في الجدول (4-13) زيادة غير معنوية لمجموعة مزالة المبايض الكاملة ومجموعة ازالة المبيض الايمن والمبيض الايسر مقارنة مع مجموعة السيطرة عند مستوى المعنوية ($P < 0.05$) . في حين سجلت مجموعة المرضعات المعاملة بإزالة المبايض للمعاملات الثلاثة مجموعة الازالة الكاملة ومجموعة ازالة المبيض الايمن والايسر حدوث ارتفاع معنوي في وزن الجسم مقارنة مع مجموعة السيطرة عند مستوى معنوية ($P < 0.05$) .

جدول (4-13) يوضح تأثير إزالة المبايض على معدل وزن الجسم (كغم) في اناث الارانب للعذارى والمرضعات

المعاملة	المعاملة	المعاملة	المعاملة	الحالة
بازالة كاملة المبايض	بازالة المبيض الايسر	بازالة المبيض الأيمن		
1.08 a ± 0.06	1.40 a ± 0.06	1.42 a ± 0.04	قبل	العذارى
1.70 a ± 0.07	1.56 a ± 0.04	1.53 a ± 0.04	بعد	
2.06 a ± 0.06	2.04 a ± 0.04	1.95 a ± 0.06	قبل	المرضعات
2.77 b ± 0.15	2.86 b ± 0.07	2.90 b ± 0.09	بعد	

الارقام تمثل المعدل ± الخطأ القياسي SD n = 6
الاحرف المختلفة تشير الى وجود فروقات معنوية مقارنة مع مجموعة السيطرة عند مستوى معنوية ($P < 0.05$) .

أن الزيادة في وزن الجسم لم تكن معنوية لمجموعة العذارى مزالة المبايض للمجاميع الثلاث ازالة المبايض الكاملة ومجموعة ازالة المبيض الايمن و الايسر مقارنة مع مجموعة السيطرة، اما مجموعة المرضعات هنالك زيادة معنوية للمجاميع الازالة الثلاث مقارنة مع مجموعة السيطرة ، ففي المجاميع مستنصلة المبايض ربما تكون هناك زيادة في النسيج الدهني نتيجة لقلة الاستروجين المنتج بعد ازالة العضو المسؤول بشكل اساسي عن انتاجه ،

واتفقت نتائج الدراسة الحالية مع دراسة السوداني (2009) الى ان عملية استئصال المبايض تؤدي الى زيادة معنوية في وزن الجسم للمرضعات وعلل ذلك لدور الاستروجينات التنظيمي على الانسجة الدهنية وانها ميكانيكية للحماية الجزئية ضد هشاشة العظام .

في حين اشارت دراسة (Jiang *et al.*, 2008) الى ان عملية استئصال لمبايض ادت الى زيادة معنوية في وزن الجسم اذ انها تسبب زيادة في الاكل (Hyperphagia (overeating مما يؤدي الى ارتفاع نسبة الدهون وبالتالي زيادة اوزانها وتتفق نتائج الدراسة الحالية في الزيادة الوزنية مع (Lee *et al.*, 2000) ; Mohamed and Abdel- Rahman, 2004 .

و إتفقت نتائج الدراسة الحالية مع نتائج دراسة (Høegh-Andersen *et al.*, 2004) ان عملية استئصال المبايض يؤدي الى فرط نمو النسيج الدهني وزيادة في عامل نمو البشرة (EGF) Epidermal growth factor وتؤدي هذه العوامل دورا مهما في حدوث السمنة في الجرذان مستنصلة المبايض .

كما اشارت دراسات عدة الى ان عملية ازالة المبايض تؤدي الى الاختلال في ايض المواد الغذائية في الجسم وزيادة الشهية مما يؤدي الى زيادة في وزن كتلة الجسم ، مما يؤدي الى فرط نمو النسيج الدهني (Maclean *et al.*, 2010 ; Hamed *et al.*, 2010) .

ان الزيادة الكبيرة في وزن الجسم للجرذان المزالة المبايض بالمقارنة مع جرذان السيطرة وذلك بسبب زيادة صناعة الدهون لديها Lipogenesis او انخفاض تحلل الدهون او الاثنان معا (Tsuang *et al.*, 2008) وتتفق النتائج الحالية مع دراسة (Saruhan *et al.*, 2006) اذ لاحظ زيادة وزن الجسم في الجرذان مزالة المبايض بشكل ملحوظ مقارنة مع مجموعة السيطرة .

الاستنتاجات والتوصيات

Conclusions

and

Recommendations

الاستنتاجات

- استنتج من الدراسة الحالية ان إزالة المبايض في اناث الارانب المحلية للعذارى والمرضعات تؤدي الى :-
- 1- حصول تغيرات نسيجية واضحة في نسيجي الغدد اللبنية والرحم في مجموعة الارانب مزاله المبايض الثنائية و دوراً سلبياً على فصيصات وحوصلات الغدد اللبنية و طبقات الانسجة المكونة للرحم ،كما لها دوراً في الانخفاض في معدل اقطار الحوصلات للغدد اللبنية وإعدادها .
 - 2- أن لإزالة المبايض تأثيراً في كثافة ألياف الكولاجين حيث تؤدي الى زيادتها في نسيجي الغدد اللبنية و الرحم .اما عند استخدام صبغة PAS فقد اظهرت مجموعة المرضعات تفاعل موجبا للصبغة داخل الحوصلات للغدد اللبنية .
 - 3- حصول انخفاض بأعداد الخلايا المعيرة لمستقبلات الاستروجين والبروجستيرون في كل من نسيج الغدد اللبنية والرحم .
 - 4- حصول ارتفاع في مستوى FSH و LH و MDA في مصلى مجموعة إزالة المبايض الثنائية وارتفاع LH في نسيج الغدة النخامية للعذارى .
 - 5- حصول انخفاض معنوي في مستوى هرمون البروجستيرون وتركيز GSH وانزيم ALP و NTD

التوصيات

- 1- دراسة تأثير بعض المستخلصات النباتية على الحيوانات مزالة المبايض على نسيجي الرحم والغدد اللبنية والغدة النخامية
- 2- دراسة تأثير الإزالة الكلية والجزئية على مستقبلات الفا وبيتا ومقارنة تأثيرها في طبقات الثلاث للرحم وكذلك في البطانية والسدى للرحم والغدة اللبنية .
- 3- دراسة تأثير مستوى الكالسيوم على الحيوانات مزالة المبايض الثنائية وعمل مقاطع نسيجية لنخاع العظم .
- 4- دراسة وراثية عن الجينات المسؤولة عن انتاج بعض المكونات المهمة في الحليب .
- 5- دراسة نسيجية للمجهر الالكتروني للخلايا الطلائية العضلية Myoepithelial cell في حويصلات الغدد اللبنية .

المصادر

References

المصادر العربية :

الحاج ، حميد احمد (2013). مبادئ علم الأنسجة. الطبعة الاولى ، دار الميسره للنشر والتوزيع عمان – الاردن . 352: 359 .

الجبوري ,وفاء عيسى (2006). انقطاع الطمث الثانوي وعلاقته بالحالة الفسيولوجية والهرمونات لدى النساء .رسالة ماجستير . كلية التربية ,جامعة تكريت :28-30.

العلوجي ، صباح ناصر(2014) . هرمونات الغدد الصم والغدد التناسلية . مؤسسة دار الفكر للطباعة والنشر. الطبعة الثالثة ، عمان ، الأردن .

الراوي ، خاشع محمود وخلف الله ، عبد العزيز محمد . (2000). تصميم وتحليل التجارب الزراعية , وزارة التعليم العالي والبحث العلمي . دار الكتب للطباعة والنشر. جامعة الموصل . الطبعة الثانية .صفحة488

السعدي ، ريم عبد الرحيم مردان(2012). تأثير إزالة المبايض وفرط الحديد على بعض المعايير الفسلجية و الوراثة في إناث الأرانب البالغة. رسالة ماجستير. كلية التربية للعلوم الصرفة. جامعة كربلاء.

السوداني، علي خلف علي (2009).تأثير بعض المعاملات في بعض المتغيرات النيسجية والكيموحيوية في الجرذان المختبرية *Rattus norvigicus* المزالة المبايض . إطروحة دكتوراه - كلية العلوم / جامعة البصرة.

جاسم، فاطمة عبود (2011). تأثير مستخلص آيزوفلافونات بذور فول الصويا Glycine max في انسجة العظم والرحم للجرذان المختبرية *Rattus norvigicus* مستئصلة المبايض . رسالة ماجستير . كلية العلوم . جامعة البصرة .

غالي , محمد عبد الهادي وخالد , جوان (2014) . الأساسيات في علم الانسجة الحيوانية . دار الدكتور للعلوم الادارية والاقتصادية . الطبعة الأولى , بغداد – العراق .

كعيم ، غصون غانم (2014) . تأثير الاستروجين النباتي في بعض المعايير الفسيولوجية والنسجية والوراثية لإناث الأرانب المستحدث فيها هشاشة العظام . أطروحة دكتوراة . كلية التربية للعلوم الصرفة . جامعة كربلاء .

هادي ، همام علي (2014) . دراسة كيموحيوية ونسجية ووراثية عن تأثير ازالة المبايض على الدماغ والحبل الشوكي في اناث الارانب المحلية . رسالة ماجستير . كلية التربية للعلوم الصرفة . جامعة كربلاء .

References

- Adak, M. and Shivapuir, J. N. (2010)** . Enzymatic and non – enzymatic liver function test : A review. *Res . J. Phar . Bio. Chem. Sci.*, 1(4) : 593 – 605.
- Adelaja, A.S. and Polycarp, N. (2012)** . Effects of kolaviron on the histoarchitecture of the ovary, fallopian tube and uterus in female wistar rats. *International J. OF Basic Med . Sci and Pharm.*, 2(2): 70-75 .
- Akers, R. M. & Denbow , D. M. (2013)**. Chapter 18 – Lactation . In R. M. Akers & D. M. Denbow, eds *Antomy and Physiology of Domestic Animals*, Second edition. John Wiley & Sons, Inc., PP. 529 – 556.
- AL – Zamely , O. M. Y. (2001)** . Ischemic Heart Disease Via Oxidative Hypothesis . (Thesis) , PH.D. ,Iraq ,University of AL – Mustansiriya .
- Al- Asmakh ,M.(2007)**.Reproductive functions of progesterone . Middle East Fertility Society J.12(3).
- Albozachri, J.M.K.; Hameed, F.M.; AL-Tomah, H.M. and Muhammid, H.A. (2017)** . Evaluation of tow general anesthetic regimeby use xylazine and ketamine with atropine and diazepam in rabbits . *J. university of kerbala*, 15 : 21-30 .
- Al-Dahhan, M. R. A. (2015)**. Postnatal histomorphological development of the ovary, uterine tube and uterus in normal and ovariectomized local rabbits (*Oryctologus cuniculus*). PH.D. Thesis College of Veterinary Medicine/Baghdad University.
- Aliagas, E.; Torrejón-Escribano, B.; Lavoie, EG.; de Aranda, IG.; Sévigny. J.; Solsona, C. and Martín-Satué, M. (2010)**. Changes in expression and activity levels of ecto-5'-nucleotidase/CD73 along the mouse female estrous cycle. *Acta Physiol (Oxf)*, 199(2):191–197.

- Al-Jehashi, O.A. (2011).** Histological study of the uterus in rabbit (*Oryctolagus cuniculus*) in cyclic and during pregnancy. MSc thesis in Anat. and Histo. Baghdad., 3(4): 4-7.
- AL-Sinjary, D.A. (2012).** Gross Anatomy Histology and Ultra Structure of Pituitary Gland in two Species of Vertebrates (Rabbit, *Oryctolagus cuniculus* and Guinea pig, *Cavia porcellus*). PH.D. Thesis. college of Education. University of Baghdad.
- Anderson, S.M.; Rudolph, M.C.; McManaman, J.L. and Neville, M.C.(2007).** Key stages in mammary gland development. Secretory activation in the mammary gland: it's not just about milk protein synthesis! *Breast Canc. Res.*, 9(1): 204.
- Anzaldúa Arce, S. R.; Villaseñor Gaona, H. & Pérez-Martínez, M.(2008).** Variación en la distribución de linfocitos epiteliales intersticiales en tubas uterinas de la coneja al inicio de la gestación. *Tec. Pecu. Méx.*, 46(3):333-44.
- Aplin, J.D.; Fazleabas, A.T.; Glasser, S.R. and Giudice, L.C. (2008).** The endometrium. Molecular, cellular, and clinical perspectives. London: Informa Healthcare, 1127: 116–120.
- Arase, T.; Uchida, H.; Kajitani, T.; Ono, M.; Tamaki, K.; Oda, H.; Nishikawa, S.; Kagami, M.; Nagashima, T.; Masuda, H.; Asada, H.; Yoshimura, Y. and Maruyama, T. (2009).** The UDP-glucose receptor P2RY14 triggers innate mucosal immunity in the female reproductivetract by inducing IL-8. *J Immunol* 182(11):7074–7084.
- Asselin – Labat, M. L.; Vaillant, F.; Sheridan, J. M.; Pal, B.; Wu, D., Simpson, E. R., et al. (2010) .** Control of mammary gland stem cell function by steroid hormone signaling . *Nature* 465, 798 – 802 .
- Asuncion, M.; Calvo, R. M.; San Millan, J. L. and et al. (2000).** A prospective study of the prevalence of the polycystic ovary syndrome in unselected Caucasian women from Spain., *J. Clin. Endocrinol. Metab.*, 85 (7): 2434 – 8.

- Athanasakis, I.; Farmakiotis, V. and Papadimitriou, L. (1999).** Uterine cytokine production during the menstrual cycle and preimplantation stages in mice. *Dev. Immunol.*, 7: 33-42.
- Backwell , R. (2001) .**Morphology of normal breast, its hormonal control and pathophysiology . In: (Principles and Practice of Endocrinology and Metabolism) . Lippincott Williams and Wilkins.Pp :212 – 299.
- Bancalari , R . E.; Gregory , L. C.; McCabe , M. J. & Dattani , M. T.(2012) .**Pituitary gland development : An update . *Endocrine Development*, 23, 1-15 .
- Bancroft , J. D. and Steven , A. S. (2010) .** Theory and practice of histological techniques . 2nd ed . Churchill living stone , Edinburgh , London : 233 – 250 .
- Bardini, M.; Lee, HY. and Burnstock, G. (2000).** Distribution of P2X receptor subtypes in the rat female reproductive tract at late prooestrus early oestrus. *Cell Tissue Res* 299(1):105–113.
- Bazer, F.W.; Wu, G.; Spencer, T.E.; Johnson, G.; Burghardt, A.R.C. and Bayless, K. (2010).** Novel pathways for implantation and establishment and maintenance of pregnancy in mammals. *Mol. Hum.Reprod*,16:135-152.
- Berk, PD and Korenblat , KM. (2007).** Approach to the patient with jaundice or abnormal liver test results. In: Goldman L, Ausiello D, eds. *Cecil Medicine*. 23rd ed. Philadelphia, Pa: Saunders Elsevier: chap 150 .
- Berry, S. D.; Jobst, P. M.; Eillis, SE.; Howard, R .; Capuco, A. V . and Akers, R. M. (2003) .** Mammary epithelial proliferation and estrogen receptor alpha expression in prepubertal Heifers: Effects of ovariectomy and growth hormone .*J. Dairy Sci.*, 86(6): 2098 – 2105.
- Bilen,C. N Gençer.N. and Arslan,O.(2015).**Purification of Alkaline Phosphatase from Bovine Milk and Investigation of Inhibitory Effects Of Some Veterinary Drugs on Enzyme Activity, Hacettepe *J. Biol. and Chem.*, 43 (3), 195–203.

- Bishop, M. L.; Fody, E. P. and Schoeff L. E. (2010).** Clinical Chemistry Techniques Principle , Correlation by Lippincott Williams& Wilikins. Pp: 231 – 298.
- Bitto, I.; Arubi, .J.A. and Gumel, A.A. (2006).** Reproductive tract morphometric and some hematological characteristics of female rabbits fed pawpaw peel meal based diets. *Afr. J. Biomed. Res.*, 9: 199–204.
- Bjelakovic,L.; Kocic,G.; Cvetkovic,T. ; Stojanovic,D. ; Najman, S.; Pop-Trajkovic,Z. ; Jonovic,M and Bjelakovic,B. (2009).** Alkaline phosphatase activity in human milk during the first month of lactation, *Acta Fac Med Naiss*, 26(1) : 43-47.
- Blackburn, MR.; Gao, X.; Airhart, MJ.; Skalko, RG.; Thompson. LF and Knudsen, TB. (1992)** Adenosine levels in the postimplantation mouse uterus: quantitation by HPLC-fluorometric detection and spatiotemporal regulation by 5'-nucleotidase and adenosine deaminase. *Dev Dyn*, 194(2):155–168.
- Blesson, C. S.; Masironi , B. and Sahlin, L.(2012).** Effects of selective estrogen receptor agonists on estrogen receptor expression in the uterus of ovariectomized rats. *J. of M. and I. Phy.*,(2): 35-43.
- Boreham, M. K.; Wai, C. Y.; Miller, R. T.; Schaffer, J. I. & Word, R. A. (2002)** .Morphometric analysis of smooth muscle in the anterior vaginal wall of women with pelvic organ prolapse. *Am. J Obstet. Gynecol.*, 187(1):56-63.
- Brien, J.; Martinson, H.; Durand – Rougely , C.; Schedin, P. (2012).** Macrophages are crucial for epithelial cell death and adipocyte repopulation during mammary gland involution . *Development*, 139(2): 269 – 275. doi: 10. 1242/dev. 071696.
- Brijesh, K. (2013).** Histology: Text & Atlas (Female reproductive system) , LiPpincott Williams & Wilkins: 284 288 .

- Brisken, C.; Kaur, S.; Chavarria, T., Binart, N.; Sutherland, R.; Weinberg, R., Kelly, P. and Ormandy, C. (1999).**
Prolactin controls mammary gland development via direct and indirect mechanisms. *Dev. Biol.* 210: 96 – 106,(Medline).
- Brisken, C and O'Malley, B . (2010),** Hormone Action in the Mammary Gland. *Cold Spring Herb. Perspect. Biol.*,2:3178-3193.
- Brisken, C. (2002).** Hormonal control of alveolar development and its implications for breast carcinogenesis. *J Mammary Gland Biol Neoplasia* , 7 :39-48.
- Brisken, C. and Rajaram , R.D. (2006) .** Alveolar and lactogenic differentiation. *J Mammary Gland Biol Neoplasia*, 11: 239 – 248 .
- Brodowska, A.; Laszczynska, M.; Starczewski, A.; Karakiewicz, B. and Brodowski, J.(2007) .** The localization of estrogen receptor alpha and its function in the ovaries of postmenopausal women. *Folia Histochem. Cytobiol.*, 45 (4) : 325 – 330.
- Burd, PR.; Rogers, HW.; Gordon, JR.; Martin, CA.; Jayaraman, S.; Wilson, SD.; Dvorak, AM.; Galli, SJ. and Dorf, ME. (1989).** Interleukin 3- dependent and -independent mast cells stimulated with IgE and antigen express multiple cytokines. *J. Exp. Med.*, 170: 245- 257.
- Burnstock, G. (2007).** Physiology and pathophysiology of purinergic neurotransmission . *Physiol Rev* 87 (2) :659 – 797 .
- Bustamant , A. ; Croxatto, H. ;Cardenas, H. & Orihuela, P. (2012).** Differential participation of endothelin receptors in estradiol-Induced oviductal egg transport acceleration in unmated and Mated rats . *Asian Pacific .J. Reproduc . ; (1) : 17 -21 .*
- Cadar, M.; Miresan , V.; Lujerdean, A. and Raducu, C. (2012).** Mammary gland histological structure in relation with milk production in sheep . *Journal of Animal Science and Biotechnology* 45 : 3-5.

- Caligioni, C.S. (2009).** Assessing reproductive status/stages in mice. *Curr Protoc Neurosci*, Appendix 4: p. Appendix 4I.1-11.
- Cao ,Y.; Mori ,S.; Mashiba ,T.; Westmore , M.; Ma,L.; Sato,M.; Akiyama ,T.; Shi ,L. ; Komatsubara , S. ; Miyamoto ,K . & Norimatsu , H. (2002).** Raloxifene ,Estrogen , and Alendronate Affect the processes of Fracture Repair Differently . in Ovariectomized Rats .J . *Bone & Mineral Research .*; (17):2237-2246.
- Capecch , M. R.(2005).** Gene targeting in mice : functional analysis of the mammalian genome for the twenty- first century. *Nat. Rev. Genet.*. 6: 507- 12.
- Capen, C. C. (1983).** Functional and pathologic interrelationships of the pituitary gland and the hypothalamus. In *Monographs on Pathology of Laboratory Animals: Endocrine System* (T. C. Jones, Mohr, U., Hunt, R.D. , Ed.), pp. 101-120. Springer-Verlag, Berlin.
- Capuco, A. V. & Akers, R.M. (2009).** The origin and evolution of lactation. *J. of biology*, 8, :.37-42 .
- Carson , F.L. and Christa, H. (2009) .** Histotechnology : a self – instructional text 3rd ed. Hong Kong : American Society for Clinical Pathology Press. 137 – 139 .
- Chan, HC.; Liu, CQ.; Fong, SK.; Law, SH.; Wu, LJ.; So, E.; Chung ,YW.; Ko, WH. and Wong, PY. (1997).** Regulation of Cl- secretion by extracellular ATP in cultured mouse endometrial epithelium. *J. Membr. Biol.*, 156(1):45–52.
- Chang, SJ.; Tzeng, CR.; Lee, YH. and Tai, CJ .(2008).** Extracellular ATP activates the PLC/PKC/ERK signaling pathway through the P2Y2 purinergic receptor leading to the induction of early growth response 1 expression and the inhibition of viability in human endometrial stromal cells. *Cell Signal* 20(7):1248–1255.

- Charles, G. ; Nicholase, J.; Margrate, A. and Peter, J. (1996).**
Essential physiology. (3rd Ed.). Blackwell since Ltd Editorial offices, PP: 1 – 13 .
- Charlton, H. (2008)** .Hypothalamic control of anterior pituitary function : a history. *J Neuroendocrinal* . 20: 641-646 .
- Chauhary, V. and Bano, S. (2011).** Imaging of the pituitary : Recent advances, *Indian J Endocrinal Metab* 15 (Supp13) : S216 – S223.
- Chen, C.C.; Stairs, D.B.; Boxer, R.B.; Belka G.K.; Horseman, N.D.; Alvarez, J.V. and Chodosh, L. A. (2012)** Autocrine prolactin induced by the Pten-Akt pathway is required for lactation initiation and provides a direct link between the Akt and Stat5 pathways. *Genes Dev* 26(19):2154–2168.
- Childs, GV.(1991).** Multipotential pituitary cells that contain adrenocorticotropin (ACTH) and other pituitary hormones. *Trends Endocrinol Metab.* 2(3): 112-117.
- Childsm G. V.; Unabia, G. and Rougeau, D. (1994)** .Cells that express luteinizing hormone (LH) and follicle – stimulating hormone (FSH) B – subunit messenger ribonucleic acids during the estrous cycle : the major contributors contain LHB, FSHB, and / or growth hormone. *Endocrinology*, 134 , 990 – 997.
- Chilton ,B.S. and Daniel, J.R. (1987).** Differences in the rabbit uterine response to progesterone as influenced by growth hormone or prolactine, *J.Reprod.Fert.*79:581-587.
- Christian, C.; and Moenter, S. (2010)** . The Neurobiology of preovulatory and Estradiol – induced Gonadotropin – Raeleasing Hormone Surges . *Endocrine. Rev* 31 : 544 – 577.
- Christian, F.; Holinka, H.; Hiroki, L.; Hata, N.; Hiroyuki, K. and Erlio, G. (1986).** Effects of Steroid Hormones and Antisteroids on Alkaline Phosphatase Activity in Human Endometrial Cancer Cells (Ishikawa Line). *Cancer Research* . 46: 2771 – 2774.

- Chuang, N.N.(1987).** Alkaline phosphatase in human milk: a new heat-stable enzyme. *Clin.Chim.*, 169:165-174 .
- Cobb, SP. and Watson, ED. (1995)** An immuno histochemical study of immune cells in the bovine endometrium at different stages of the oestrous cycle. *Res Vet Sci* 59(3): 238-241.
- Colston, K.; Hadcocks, L. & Cleeve, H. (1988).** Comparing of AKP activity in normal, lactating and neoplastic rat mammary tissue. *Comp. Biochem. Physiol.*, 89 (4): 709-713.
- Conneely, OM.; Mulac-Jericevic, B.; DeMayo, F.; Lydon, JP. and O'Malley, BW. (2002).** Reproductive functions of progesterone receptors. *Recent Prog Horm Res* , 57:339-355.
- Conneely, O. and Otto, C. (2007).** Progestins and the Mammary Gland. New York: Library of Congress Control.5:233-24
- Cox, L. and liu, J. H. (2014)** . Primary ovarian insufficiency : an update . *Int .J .Womens Health.* 6: 235 – 243.
- Crop , B.A .; Yamada ,A.T. and Adamson , S.L. (2014).** The Guide to Investigation of Mouse Pregnancy . 1sted , Academic Press :832.
- Dawson, F.LM. (1959)** The normal bovine uterus, physiology, histology and bacteriology. *Vet Rev Annot* 5: 73-89.
- Dessaugue, F.; Finot, L.; Wiart, S.; Aubry, J. and Ellis , S.E. (2009).** Effects of Ovariectomy in Prepubertal goats . *J . of Physiology and Pharmacology* , 60 (3): 127 – 133 .
- Dimitriadis, E.; White, CA.; Jones, RL. and Salamonsen , LA. (2005).** Cytokines, chemokines and growth factors in endometrium related to implantation . *Human. Reprod . Update.* 11 : 613 – 630 .
- Döcke , F. (1994)** . Veterinär medizinische Endokrinologie . (3rd end) , Gustav Fischer, Stuttgart, Germany, pp. 399 – 498 .

- Drummond, A.E.; Baillie, A.J. and Findlay, J.K. (1999)** . Ovarian estrogen receptor alpha and beta Mrna expression :Impact of development and estrogen . Mol. Cell. Endocrinal ., 1449(1-2) :153 -161 .
- Drury, R.A.B. and Wallington, E.A. (1980)**. Carbohydrates and mucosubstances. In: Carleton's Histological Techniques. Drury R A B and Wallington E A (Eds.). 5th edition. Oxford, New York Toronto. Oxford University Press. 232 - 259.
- Dungan, H. and Cliflon, D.(2006)**. Minire view: Kisspeptin neurons as central proessors in the regulation of gonadotropin – releasing hormone secretion . Endocrine., 147(3) : 1154 – 1158.
- Edward ,J.; Wagner , O. ; Ronnekleiv , M. & Martin , J. (2001)**.Estrogen Biphasically Modified hypothalamic GABAergic Function Concomitantly with Negative and positive control of Luteinizing hormone Release . J. Neuro. 21(6) :2085-2093.
- Elisabet, A.; August, V.; Benjamín ,T. E . ; Maria del, R. T. ;Jordi, P.; Inmaculada, G.; de, A.; Jean, S.; Enric, C. and Mireia, M. S.(2013)**. Ecto-nucleotidases distribution in human cyclic and postmenopausal endometrium. Purinergic Signalling 9:227–237.
- Ellmann, S.; Sticht, H.; Thiel, F.;; Beckmann, M W.; Strick, R. and Strissel, PL . (2009)**. Estrogen and progesterone receptors: from molecular structures to clinical targets. Cell Mol Life Sci . 66: 2405 – 2426.
- Enmark, E.; Pelto-Huikko, M.; Grandien, K.; Lagercrantz, S.; Lagercrantz, J.; Fried, G.; Nordenskjold, M. and Gustafsson J-A. (1997)**. Human estrogen receptor β -gene structure, chromosomal location and expression pattern. *J Clin Endocrinol Metab* , 82:4258-4265.

- Espejel, MC. and Medrano, A. (2017).** Histological Cyclic Endometrial Changes in Dairy Cows: An Overview. *Dairy and Vet Sci J* 2(1):1-3.
- Esther, V. P. (2003).** Reproductive tract of the female rabbit. Ph.D. Thesis. Switzerland.
- Eurell, J.A. and Frappier, B. L. (2006).** Female reproductive system. In: Dellmanns textbook of veterinary histology. 6th ed. Ames, Iowa, USA, Blackwell publishing, Pp: 256-278.
- expression in the apical plasma membrane of rat uterine epithelial cells during implantation. *Cell Calcium* 31(5):201–207.
- Fahey, J. V.; Schaefer, T. M. & Wira, C. R. (2006).** Sex hormone modulation of human uterine epithelial cell immune responses. *Integr. Comp. Biol.*, 46(6):1082-7.
- Fatemeh, P.; Mojdeh, S.; Mehdi, F.M.; Mojtaba, R.V. and Ebrahim, H.(2008).** The changes in morphology and morphometrically indices of endometrium of ovariectomized mice in response to exogenous ovarian hormones. *Iranian J. Reprod. Med.*, 6: 125-131.
- Fawcett, D.W. and Jensch, R.P. (2002).** Female reproductive system. In: Bloom and Fawcetts Concise histology. 2nd (ed). London, Arnold Publishers. Pp: 283-296.
- Feldman, M.; Ruan, W.; Tappin, I.; Wieczorek, R. and Kleinberg D. L. (1999) .** The effect of GH on estrogen receptor expression in the rat mammary gland. *J. Endo.*, 163:515–522.
- Feng, Y. (2007) .** Mechanism of estrogen receptor – alpha action and the consequence of its conditional deletion on mammary gland development and function. Ph.D. Thesis, University of Cincinnati, College of Medicine, USA.

- Ferin, M. (2008).** The Hypothalamic – Hypophyseal – Ovarian Axis and the Menstrual Cycle. *Glob libr women's med* ISSN : 1756 – 2228 ; DOI 10.3843/ Glowm,10283.
- Findlay , J .K.; Kerr, J. B.; Britt, K.; Liew, S . H. and Simpson, E. R.; Rosairo , D. and Drummond, A . (2009).** Ovarian Physiology : follicle development ,oocyte and hormone relationships Australia . *Anim. Reprod .* , 6(1) : 16 -19 .
- Fleming, H.; Begley, M.; Campi, T.; Condon, R.; Dobyns, K.; McDonagh, J. and Wallace, S . (1995).** Induction of heat labile alkaline phosphatase by butyrate in differentiating endometrial cells. *J. Cell. Biochem.*, 58: 509- 516.
- Forster , C.; Makela, S.; Warri, A.; Kietz, S.; Becker, D.; Hultenby, K.; Warner, M. and Gustafsson, J.A. (2002) .** Involvement of estrogen receptor beta in terminal differentiation of mammary gland epithelium . *Proceeding of the National Academy of Sciences of the United States of America .* , 99 : 15578 – 15583 .
- Fox, P and Kelly, A(2006).** Indigenous enzymes in milk: overview and historical aspects-Part 2, Review, *International Dairy Journal*, 16 :517-532.
- Freeman, M.; Kanyicska, B.; Lerant, A. and Nagy, G. (2000).** Prolactin: Structure, Function and Regulation of Secretion : *Physiological Reviews*, 80 (4) : 1523 – 1631.
- Fukushima, A.; Yin, P.; Ishida, M.; Sugiyama, N. and Arita, J. (2006).** Pup removal suppresses estrogen-induced surges of LH secretion and activation of GnRH neurons in lactating rats" *Journal of Endocrinology* 191:339–348.
- Galigher and Kozoloff, P. F. (1964).** Essential practical microtechniqu . *Lea and Febiger, Philadelphia* pp : 41 – 44 .
- Ganong, W. F. (2003).** The gonads: Development and function of the reproductive system, the Hypothalamus and pituitary gland in: *Review of medical physiology*, 21st ed. Alange medical books Mc Graw-Hill, New York.(4): 320-451.

- Ganong, W. F. (2005)** . The gonads : Development and function of the reproductive system In : Review of Medical Physiology .
Ganong. W.F. (ed.). 21 ed., Appleton and Lange , New York.
Pp. 508 -517 .
- Gardner, D. G. and Shoback, D. M.(2018)**, Greenspan's Basic and Clinical Endocrinology, Tenth Edition (Greenspan's Basic & Clinical Endocrinology) 10th Edition. 92: 869.
- Garner, LL. and Blake, Ch .A. (1981)**. Ultrastructural, immunocytochemical study of the LH secreting cell of the rat anterior pituitary gland: changes occurring after ovariectomy. *Biology of Reproduction*.
- Gartner, L.P. and Hiatt, J.L. (2014)**.Color Atlas and Text of histology.6th ed. Saunders Elsevier.
- Gillman, TA. and Pennefather, JN. (1998)**. Evidence for the presence of both P1 and P2 purinoceptors in the rat myometrium. *Clin Exp Pharmacol Physiol* 25(7–8):592–599.
- Gorodeski, GI. and Hopfer, U. (1995)**. Regulation of the paracellular permeability of cultured human cervical epithelium by a nucleotide receptor . *J Soc Gynecol Investig* 2 (5) : 716 – 720.
- Grattan, D.; Jasoni, C.; Liu, X. and Anderson, G. (2007)**. Prolactin regulation of gonadotropin – releasing hormone neurons to suppress Luteinizing hormone secretion in mice . *Endocrine.*, 148: 4344 – 4351.
- Greaves , P. (2007)** .Endocrine glands In Histopathology of preclinical toxicity studies , *Academic Press* pp . 782-795 .
- Green, C.E.; Bredl, J.; Holt, W.V.; Watson, P.F. and Fazeli, A. (2009)**. Carbohydrate mediation of boarsperm binding to oviductal epithelial cells in vitro. *Reprod.*, 122 : 305 – 315.
- Guyton, A.C. and Hall, J.E. (2016)**. Text book of Medical Physiology. 13th ed.. Saunders co. Elsevier, U.S.A.921-938.

- Hadley, M. E.(2000)** .Endocrinology Fifth edition, Prentice-Hall, Inc. USA.
- Hafez, E.S. & Hafez, B. (2000)** . Hormones , growth factors an reproduction . In : Reproduction in farm Animals . Hafez , E.S.E. and Hafez , B. (eds), 7th ed .lippincott Williams and Wilkins , awolte kluwer co. Philadelphia . pp:31-55.
- Haidong , L.; Fang, Yu.; Zhihong, T. and Zaiguo H. (2011)**. Effect of Cistanches H ERBA Aqueous Extract on Bone Loss in Ovariectomized Rat., 25: 361 – 371.
- Hall, J. and McDonnell, D.(1999)**. The estrogen receptor β -isoform (ER β) of the human estrogen receptor modulates ER α transcriptional activity and is a key regulator of the cellular response to estrogens and antiestrogens. *Endocrinology* , 140:5566-5578.
- Hamed, G. M.; Bahat, N. M.; El-Agate, S. M.; Soliman, G. ZA. & Emara, M. M. (2010)** . Effect of asoy bean protein diet on Ovarectomised females lbino rats subjected to myocardial Infarction . Singpore . *Med. J.* 51(10): 781 – 789.
- Hansen, L. (2006)**. Gomori rapid one step trichrome stain ; origin : Am. J. Clin. Pathol. 1950 , 20: 661 -63.
- Harris, L. K. and Aplin, J. D. (2007)**. Vascular remodeling and extracellular matrix breakdown in the uterine spiral arteries during pregnancy. *Reprod Sci*, 14: 28 -34.
- Hartmann , P.E. (2007)**. The lactating breast : An overview from down under . *Brewstfeed Med* 2 : 3 – 9 .
- Hassiotou , F. and Geddes , D. (2013)**. Anatomy of the Human Mammary Gland : Clinical *Anatomy* 26 (1) : 29–48.

- Hassiotou, F.; Metzger, P.; Trengove, N.; Tat Lai, C.; Filgueira, L. and Hartmann P.E. (2012).** The immunological cellular and biochemical contents of breast milk respond to maternal or infant infections . In Minisymposium on Lactation: Biology of milk production and secretion, San Diego, USA.
- Heldring , N.; Pike, A.; Andersson, S.; Matthews, J.; Cheng, G.; Hartman, J.; Tujague, M.; Strom, A.; Treuter, E. and Warner, M. (2007)** .Estrogen receptors : how do they signal and what are their targets. *Physiol Rev.*, 87: 905 – 931.
- Hendrson , J.; Oliveriar, D. and Parker, S. (2015)** . Endocrinology .3th , Brit. Pp:233-242.
- Henry, J. B. (2001)** . Clinical diagnosis and management . 20th ed., W. B. Saunders Company, pp: 288 – 296.
- Henry, J. L.; Sasha, A. H.; Susan, M. G.; Dermot, G. M.; Roger, G. S.; Sarah-Louise, W. and Joseph, M. S. (2007).** Female reproductive tract fluids: composition, mechanism of formation and potential role in the developmental origins of health and disease *Reproduction, Fertility and Development*, 20(1): 1–8.
- Hickey , M. ; Davis, SR . & Sturdee ,DW. (2005)** . Treatment of menopausal symptoms : what shall we do now ? .*Lancet* .366 : 409-421.
- Høegh-Andersen, P.; Tanko, L.B.; Andersen, T.L.; Lundberg, J.A.M.; Heegard, a.-m.; Delissé, J.-M. and Christgau, S.(2004).** Ovariectomized rats as amodel of postmenpausal osteoarthritis: validation an application.*Arthis. Res. Ther.*,6(2): R169-R180.
- Holland, MB. and Roy, D.(1955)** . Estrone-induced cell proliferation and differentiation in the mammary gland of the female Noble rat. *Carcinogenesis*, 1995; 16: 1955-61.

- Homeida A.M.; Al-Eknaah, M.M.; Althnalan, T.A.; Al-Haider, A.K.; Al-Bokhadaim, I.F. and Al-Mubarak, A.I. (2010).** Effect of reproductive status, ovariectomy and sex steroid administration on estrogen and progesterone receptors in the uterus of camel. *Rese. J. Pharmacol.* 4(1):5-8.
- Hovey, R. C.; Trott, J.F. and Vonderhaar, B.K. (2002).** Establishing a framework for the function mammary gland : from endocrinology to morphology . *J. Mamm. Gland Biol. Neopl*, 7(1): 17 – 38.
- Hutchings, G.; Gevaert, T.; Deprest, J.; Nilius, B.; Williams, O. and Ridder, D.(2009) .** The effect of extracellular adenosine triphosphate on the spontaneous contractility of human myometrial strips. *Eur J Obstet Gynecol Reprod Biol.*, 143(2) : 79 – 83 .
- Iz- Aldeen , I.Y. and Rasmi, A. J.(2016).** Histochemical study of the uterus in local rabbit (*Lepus cuniculus*) during early Implantation period .*Bas.J. Vet. Med., Vol 16 (1) 243-252.*
- Jeacock, M. K.; Morris, N. F. and Piester, J. A. (2005).** The activity of alkaline and acid phosphatase in the human placenta. *An Inter. J. Obster. Gynecol.*, 70, 267 – 273.
- Jiang, X.; Liu, H.; Chen, X. and Sriaman, V. (2012) .** Structure of Follicle – stimulating hormone in complex with the entire ectodomain of its receptor . *Proc. Acad. Sci.*, 109(3): 1241 – 1256.
- Jiang, J.M.Y.; Sacco, S.M. and Ward, W.E.(2008).** Ovariectomy- Induced hyperphagia dose not modulate bone mineral density or bone strength in rats^{1 2}.*J.Nutr.*,138: 2106-2110.
- Johnson, M. L.; Redmer, D. A. and Reynolds, L. P. (1997) .** Effects of ovarian steroids on uterine growth , morphology and cell proliferation in ovariectomized, steroid – treated . *Biol. Reprod.* 57: 588 – 596.
- Johnson, M.H. and Everitt, B.J. (2000).** Essential Reproduction. UK: Blackwell Science Ltd. 47–71.

- Josh , P.A.; Jackson, H.W. and et al. (2010).** Progesterone induces adult mammary stem cell expansion. *Nature* 465(7299): 803–807.
- Junqueira , L.C. and Carneiro , L.(2005) .** Basic Histology text & atlas . 11th ed., The Mc Graw-Hill companies. : 435-450 .
- Katica, A.; Mlaco, N.; Hamamdžic, M.; Varatanovic, N. and Cengic B. (2012).** Comparative description of the mammary gland of dubska pramenka during the dry period and lactation, *Biotechnology in Animal Husbandry* 28: 723-732.
- Katzenellenbogen , J.A. and Katzenellenbogen, B. S. (1996).** Nuclear hormone receptors : Ligand activated regulators of transcription and diverse cell responses. *Chem. Biol.*, 3(7) :529 – 536.
- Katzenellenbogen, B. S. and Norman, M. J. (1990).** Multihormonal regulation pf the progesterone receptor in MCF- 7 human breast cancer cells : interrelationships among Insulin / Insulin – like Growth Factor – I, serum and estrogen. *Endocrinology* 126 : 891 – 898.
- Kawasaki, K.; Lafont, A-G. & Sire, J. Y.(2011).** The Evolution of Milk Casein Genes from Tooth before the Mammals. *Molecular Biology and Evolution*, 28(7), pp. 2053 – 2061.
- Kelberman, D.; Rizzoti, K.; Lovell-Badge, R.; Robinson, I. C. A. F. & Dattani, M.T. (2009) .** Genetic Regulation of Pituitary Gland Development in Human and Mouse. *Endocr. Rev* 30 : 790 - 829 .
- Kerksick , C. and Willoughby, D. (2005) .** The antioxidant vole of glutathione and N – Acetyl –Cysteine Supplements and exercise – Induced oxidative strees . *J. Int .Soc. Sports .Nutr.* , 2(2) : 38-44.
- Kharode, Y.P.; Sharp, M.C. and Bodine, P.V.N.(2008).** Ovariectomized rat as a model for human osteoporosis in drug discovery. *Meth. in Mol. Bio.*, 455: 111-124.

- Kim , E. and Wyckoff, H. (1999)** . Reaction mechanism of alkaline phosphatase based on crystal structures, Twomental Ion catalysis. *J. Mol. Biol.* 218(2): 449 – 464.
- Kim, H. and Kwak, J. (2005)** . Electrochemical determination of total alkaline phosphatase in human blood with micropatterned to film. *J. Electro. Chem.*, 577: 243 – 248.
- Kind, P.R.W. and King, E.G. (1954)**. Estimation of plasma phosphatase by determination of hydrolyzed phenol with amino antipyrine. *J. Clin. Path.*, 7, 322-326
- Kinder, J. E. ; Day, M.L. and Kittock, R.J. (1987)**. Endocrine regulation of puberty in cows and ewes. *J. Reprod. Fertil. Suppl.*, 34: 167-186.
- Kleeman, S.D. and Silva, W.A. (2007)** . Gynecologic anatomy .In : Sokol AI, Sokol ER, eds. *The Requisites in Obstetrics and Gynecology : General Gynecology* . Philadelphia, Mosby Elsevier , P : 87.
- Knapczyk-Stwora, K.; Durlej, M.; Duda, M.; Czernichowska-Ferreira, K.; Tabeckalonznska, A.; and Slomczynka, M. (2011)** . Expression of oestrogen receptor α and oestrogen receptor β in the uterus of the pregnant swin . *Reprod . Domest. Anim.*, 46(1) :1 – 7 .
- Knobil, E., Neill, J.D. (1994)**. The pituitary and the hypothalamus. In *The Physiology of Reproduction*, Raven Press, New York.
- Korach, K. S. (1994)** . Insights from the study of animals lacking functional estrogen receptor. *Science* 266:1524–1527.
- Koszalka, P.; Ozuyaman, B.; Huo, Y.; Alma, Z.; Ulrich, F.; Norbert, B.; Anja, B.; Ulrich, K. M. D.; Michael, L. S.; Jean, S.; Adrian, G.; Artur – Aron, W.; Andrei, M.; Zhaoping , D.; Christian, W.; Klaus, L.; Herbert, Z.; Axel, G. and Jurgen, S. (2008)**. Targeted distruption of cd73/Ecto – 5- Nucleotidase alters thromboregulation and augments vascular inflammatory response . *J . Circ. Res.*, 95: 814 – 821.

- Kuiper, G.G.; Calsson, B.; Grandien, K.; Enmark, E.; Haggblad, J.; Nilsson S. and Gustafsson, J.A. (1997)** . Comparison of the ligand binding specificity and transcript tissue distribution of estrogen receptors alpha and beta . *Endocrinology* , 138(3): 863 – 870.
- Kumar, V.; Green, S.; Stack, G.; Berry, M.; Jin, JR. and Chambon, P.(1987)**. Functional domains of the human estrogen receptor. *Cell*, 51:941-951.
- Kummer, V.; Zraly, Z.; Canderle, J. and Maskova , J.(1995)**. Light and scanning electron microscopy of endometriun of ovariectomized cows treated with oestradiol *Vet. Med.*, 40 : 265 -271.
- Lamote, I.; Meyer, E.; Massart- Leen, A.M. and Burvenich C. (2004)** . Sex steroids and growth factors in the regulation of mammary gland proliferation , differentiation, and involution . *Steroids*. 69 : 145- 159.
- Lane, D. E. (2006)**. Polycystic ovary syndrome and its differential diagnosis ,, *Obstet. Gynecol. Surv.*; 61 (2): 125 – 35.
- Lawrence, R. A. and Lawrence, R. M.(2005)**. Breast feeding, A. Guid for the medical profession 6th ed. Elsevier *mosby, phila* P.A.P. 73 – 86.
- Lee, Y.-B.; Lee, H.-J.; Kim, K.S.; Lee, J.-Y.; Nam, S.-Y.; Cheon, S.-H. and Sohn, H.-S.(2004)**. Evaluation of preventive effect of isoflavone extraction on bone loss in ovariectomized rats. *Biosci.Biotechnol. Biochem.*,68(5): 1040-1045.
- Leiser, R. and Wille, KH. (1975)**. Alkaline phosphatase in the bovine endometrium and implantation. *Anat. Embryol. (Berl)*. 148: 145-157.
- Li, S.; Han, B.; Liu, G.; Li, S. ; Ouellet, J. ; Labrie , F. and Pelletier, G.(2010)** . Immunocytochemical Localization of Sex Steroid Hormone Receptors in Normal Human Mammary Gland . *J Histochem Cytochem* . 58 (6) : 509 – 515 .

- Liebich, HG. (2010)** . Funktionelle Histologie der Haussäugetiere und Vögel. (5th edn), Schattauer, Stuttgart, Germany: 335-338.
- Likar, IN. and Likar, LJ. (1964)** Acid mucopolysaccharides and mast cells in the bovine uterus at different stages of the sexual cycle. *Acta Endocrinology* 46: 493-506.
- Lucy, MC.; Evans, TJ. and Poock, S. (2016)** Lymphocytic foci in the endometrium of pregnant dairy cows: Characterization and association with reduced placental weight and embryonic loss. *Theriogenology* 86(7): 1711- 1719.
- Macklon, NS. and Fauser, BC. (2005).** Follicle – stimulating hormone and advance follicle development in the human. *Arch Med Res.* 32:595 – 600.
- Maclean, P.; Giles, E.; Johnson, G.; McDaniel, S.; Fleming –Elder ,B.; Gilman ,K.; Andrianakos, A.; Jackman, M.; Shroyer ,K & Schedih , P. (2010)** . A Surprising Link Between the Energetics of Ovariectomy- induced Weight Gain and Mammary Tumor progression in Obese Rats . *Obesity* 18 (4):696-703.
- Maeda, K.; Tsukamura, H.; Uchida, E.; Ohkura, N.; Ohkura, S. & Yokoyama, A. (1989)** . Changes in the pulsatile secretion of LH after the removal of and subsequent resuckling by pups in ovariectomized lactating rats. *J. of End.*, 121 277–283.
- Magi, B.; Letta, F.; Romagnol, R.; Liberatori, S.; Pallini, V.; Bini, L.; Tripodi, A.; Cintonino , M.; Chellini, F.; Acuri, F.; De Felice, C. and Paulesu, L. (2002).** Presence of macrophage migration in inhibitory factor in human milk: evidence in aqueous phase and milk fat globules. *Fedi. Res.*. 51(5): 619-623.
- Mallepell, S. ; Krust, A.; Chambon, P. and Brisken, C. (2006)** . paracrine signaling through the epithelial estrogen receptor a is required for proliferation and morphogenesis in the mammary gland . *Proc Natl Acad Sci.*, 103 : 2196 – 2201.

- Mangal, A.; Shrivastava, P.; Gaur, U.; Jain, A.; Goyal, U. and Rath, G. (2005).** Histochemical analysis of placental alkaline phosphatase in disorders complicating pregnancy. *J. Anat. Soc. India*, 54:28-33.
- Mangelsdorf, D. ; Thummel, C.; Beato,M. ; Herrlich, P.; Schutz, G.; Umerono , K.; Blumberg , B. ; Kastner, P. ; Mark, M. and Chambon , P. (1995).** The nuclear receptor superfamily : The second decade. *Cell*, 83: 834 – 839.
- Martin, F.; Stein, T. and Howlin, J. (2017).** Mammary Gland Development: Methods and Protocols Springer New York.
- Marty, LM. and Feldbush, TL. (1993).** Effect of anti-alkaline phosphatase monoclonal antibody on B lymphocyte function. *Immunol Lett* 38:87-95.
- Marya, R.K. (2010) .** Medical Physiology .3rd (ed.) CBS Publishers and Distributors Pvt Ltd. New Delhi, : 594 .
- Masiero, S.; Ferasin, S.; Gerton, GL.; Moss, SB. and Williams, CJ. (2007).** Effects of extracellular adenosine 5'-triphosphate on human sperm motility. *Reprod Sci* 14(7):655–666.
- McClain, R.M.; Wolz, E. and Davidovich, A.(2007).** Reproductive safty studies with Genistein in rats. *Food and chemical Toxicology*, 45:1319-1332.
- McEntee, K. (1990).** Reproductive pathology of domestic mammals. (4th edn), Academic Press, San Diego, CA, USA, pp. 110-112.
- Mcklveen, D. V. M. and Tori, K. (2002) .**Evaluation of normal equine pituitary gland. The University of Blacksburg, Virginia.
- McNally, S. and Martin, F. (2011)** Molecular regulators of pubertal mammary gland development. *Ann Med* 43(3):212–234.
- Mescher, A. L. (2016) .** Junqueira 's Basic Histology Text and Atlas. India . Fourteenth Edition .Mc Graw Hill Companies, Singapore. : 483 – 488 . .

- Mihm, M.; Gangooly, S. and Muttukrishna, S. (2011)** .The normal menstrual cycle in women. *Anim Reprod Sci* 124(3–4):229–2362.
- Minelli, A.; Liguori, L.; Bellazza, I.; Mannucci, R.; Johansson, B. and Fredholm, BB. (2004)**. Involvement of A1 adenosine receptors in the acquisition of fertilizing capacity. *J Androl* 25(2):286–292.
- Mitrovića, M.; Zarića, D.; Drakulića, j.; Martinovića, M.; Stanojlovića, j.; Sévignybc, A. ; Horvata, N.; Nedeljkovićd, I. and .Grkovića, J. (2016)**. 17 β -Estradiol upregulates ecto-5'-nucleotidase (CD73) in hippocampal synaptosomes of female rats through action mediated by estrogen receptor- α and $-\beta$. Volume 324, 2 June , Pages 286-296.
- Miyoshi, H.; Yamaoka, K.; Urabe, S.; Kodama, M. and Kudo, Y. (2010)** Functional expression of purinergic P2X7 receptors in pregnant rat myometrium. *Am J Physiol Regul Integr Comp Physiol* 298(4): R1117–R1124.
- Mödder, U.I.L.; Riggs, B.L.; Spelsberg, T.C.; Faser, D.G.; Atkinson, E.J.; Arnold, R. and Khosla, S.(2004)**. Dose-response of estrogen on bone versus the uterus in ovariectomized mice. *European J.Endocrin.*, 151:503-510.
- Mohamed, M. K. and Abdel – Rahman, A. A. (2000)**. Effect of long – term ovariectomy and estrogen replacement on the expression of estrogen receptor gene in female rats . *Eur. J. Endo.*, 142 : 307 – 314.
- Mollard, P.; Hodson, D. J.; Lafont, C.; Rizzoti, K. & Drouin, J. (2012)** . A tridimensional view of pituitary development and function . *Trends in Endocrinology and Metabolism*, 23(6) , 261 – 269.

- Monks, NJ. and Fraser, LR. (1988).** Inhibition of adenosine-metabolizing enzymes modulates mouse sperm fertilizing ability: a changing role for endogenously generated adenosine during capacitation. *Gamete Res* 21(3):267–276.
- Montgomery Rice, V.; Limback, SD.; Roby, KF. and Terranova, PF. (2003) .** Differential responses of granulosa cells from small and large follicles to follicle stimulating hormone (FSH) during the menstrual cycle and acyclicity: effects of tumour necrosis factor- *J., Hum Reprod* 13:1285.
- Mota, A.; Silva, P.; Nevers, D.; Calhau, C.; Lemos, C.; Torres, D.; Martel, F.; Fraga, H., Ribeiro, L., Alcada, M., Pinho, M., Negro, M., Pedrosa, R., Guerreiro, S., Guimarães, J., Azevedo, I. and Martins, M. (2008) .** Characterization of rat heart alkaline phosphatase isoenzymes and modulation of activity . *Braz. J. Med. Biol. Res.*, 41(7) : 600 – 609.
- Mulac-Jericevic, B. and Conneely, OM. (2004) .** Reproductive tissue selective actions of progesterone receptors. *Reproduction* , 128 (20) : 129-146.
- Murray, R.; Granner, D.; Mayes, P. and Rodwell, V.(2003).** Harper's Illustrated Biochemistry, 26^{ed} . The McGraw-Hill Companies, Inc. United States.
- Muslih , B. ; Mizil, Y. O. & Al – Nimer, M. S. (2001) .** Detection The level of peroxynitrite, and related with antioxidant status in the serum of patients with acute myocardial infraction. *Nat. J. Chem.* , (4) : 625-637.

- Naylor, M.J.; Jason, A.L.; Nelson, D.H. and Christopher, J.O. (2003).** Prolactin regulates mammary epithelial cell proliferation via autocrine/paracrine mechanism. *Endo.* 20(1): 111-114.
- Nelson, H. (2008) .** Menopause . *Lancet* .371 : 760-770 .
- Neville, MC. ; McFadden TB. and Forsyth, I . (2002) .** Hormonal regulation of mammary differentiation and milk secretion . *J Mammary Gland Biol Neoplasia* 7 (1): 49 – 66.
- Nilsson, S. and Gustafsson, J. (2010) .** Estrogen receptors : their actions and functional roles in health and disease . In *Nuclear Receptors : Current*.
- Nishikawa, S.; Kagami, M.; Nagashima, T.; Masuda, H.; Asada, H.; Yoshimura, Y. and Maruyama, T. (2009) .** The UDP-glucose receptor P2RY14 triggers innate mucosal immunity in the female reproductive tract by inducing IL-8. *J Immunol* 182(11):7074–7084.
- Norman ,A.W. and Henry ,H.L.(2014).** Hormones - 3rd Edition. (ed).chennai , India.
- Novais, S.; Benetti-Pinto, C. and Garmes, H. (2015).** Polycystic ovary syndrome and chronic autoimmune thyroiditis. *Gynecol Endocrinal*. Jan; 31 (1): 48 – 51.
- Oakes, S; Hilton, H. and Ormandy, C. (2006).** The alveolar switch: coordinating the proliferative cues and cell fate decisions that drive the formation of lobuloalveoli from ductal epithelium. *Breast Cancer Res.*,8.2:207-217.
- O'Brien J, Martinson H, Durand-Rougely C, Schedin P (2012).** Macrophages are crucial for epithelial cell death and adipocyte repopulation during mammary gland involution. *Development* 139(2):269–275.

- Oftedal, O.T. (2013) .** Origin and Evolution of the Major Constituents of Milk. In P. L. H. McSweeney & P. F. F. Fox, eds. *Advanced Dairy Chemistry: Volume 1A: Proteins: Basic Aspects*, 4th Edition. Boston, MA: Springer Science+Business Media New York, (2):1–42.
- Oftedal, O. T. (2012).** the Evolution of the milk secretion and its ancient origins . *animal*, 6(30), PP.355 – 368.
- Oliveira, LJ. Mansourri-Attia, N.; Fahey, AG.; Browne, J. and Forde N, et al. (2013)** Characterization of the The Profile of the Bovine Endometrium during the Oestrous Cycle and Early Pregnancy. *PLoS One*, 8(10): e75571.
- Omara, E.A.; Shaffie, N.M.; Et-Touny, S.A. and Aal, W.A.(2009).** Histomorphometric evaluation of bone tissue exposed to experimental osteoporosis and treated with *Retama eaetam* extract. *J.Appl.Sci. Res.* ,5(7):706-716.
- Oner, H.; Oner, J.; Kukner, A. and Ozan, E. (2002).** Effects of estrogen and/ or progesterone on the changes occurring in the uterine luminal epithelium of ovariectomized rats. *Acta Vet.*, 52 (2-3): 97-106.
- Özen, A.; Abti, RN. and Kurtdede, N. (2002).** Light and electron microscopic studies on mast cells on the bovine oviduct. *Dtsch. Tierarztl. Wochenschr.*, 109: 412-415.
- Ozlu, T.; Gungor, A.C.; Donmez, M. E. & Duran, B.(2012).** Use of progestogens in pregnant and infertile patents. *Arch Gynecol Ostet.*, 286(2) : 495 – 503 .
- Pang. W.W. and Hartmann, P.E. (2007).** Initiation of human lactation: Secretary differentiation and secretary activation.. *J. Mamm. Glan.Biol. Neop.*, 12:211-221. Abstract.
- Parhizkar, S.; Ibrahim, R. and Abdul Latiff, L. (2008) .** Incision choice in laparatomy :A comparison of two incision echniques in ovariectomy of rats .*World Appl. Sci. J.*, 4(4) : 537 – 540.

- Parker, W. (2010)** . Bilateral oophorectomy versus ovarin conservation : effects on lung – term woman’s health. *J. Minim Invasive Gynecol.*, 17 (2) : 161 – 66.
- Parker, W.; Jacoby , V.; Shoupe, D. and Rocca, W.(2009)** . Effect of bilateral oophorectomy on women’s long – term health. *Womens health (Lond Engl)* . (5) : 565 - 76.
- Peaker, M. (2002)**. The mammary gland in mammalian evolution: A brief commentary on some of the concepts. *Journal of Mammary Gland Biology and Neop.*, 7(3), pp.347–353.
- Pearse, A. G. E. and Reis, J. L. (1951)**. The Histochemical Demonstration of a Phosphatase (5- Nucleotidase). *Postgraduate Medical School , London, W. 12, 50: 531-535.*
- Pelekanou, E. and Leclercq , G. (2011)** . Recent insights into the effect of natural and enviromental estrogens on mammary development and carcinogenesis *Int. J. Dev . Biol.*, 55: 869 – 878.
- Pessina, M. A.; Hoyt, R. F. Jr.; Goldstein, I. & Traish, A. M.(2006)**. Differential effects of estradiol, progesterone, and testosterone on vaginal structural integrity. *Endocrinology*, 147(1):61-9.
- Pierce , JG. (1988)**. Gonadotropins : chemistry and biosynthesis . In: *The Physiology of Reproduction*, Eds. E. Knobil and J. Neill, New York: Raven Press, pp. 1335 – 1348 .
- Plant, T. M. (2008)** . Hypothalamic Control of the pituitary – Gonadal Axis in Higher Primate Key Advances over the Last Two Decades. *J. Neuroendo.*, 20: 719 – 726.
- Pompei, LM.; Carvalho, FM.; Ortiz, SCBC. and et al. (2005)**. Morphometric evaluation of effects of two sex steroids on mammary gland of female rats. *Maturitas* , 51: 370-9.

- Porter, J. C.; Sisoom J. F.; Arita, J. and Reymond M. J. (2008) .** Hypothalamic – hypophyseal vasculature and its relationship to secondary cells of the hypothalamus and pituitary gland . *Vitam. Horm.*, 40 : 145 – 167.
- Posen, S. and Doherty, E. (2010).** The measurement of serum alkaline phosphatase in clinical medicine. *Adv. Clin. Chem.*, 22: 165.
- Pratt, DS. (2010) .** Liver chemistry and function tests. In: Feldman M, Friedman LS, Brandt LJ, eds. *Sleisenger and Fordtran's Gastrointestinal and Liver Disease*. 9th ed. Philadelphia, Pa: Saunders Elsevier: chap 73.
- Preston, R. and Wilson, E. (2017).** Oral Contraception. A Clinical Guide for Contraception (4th ed.). Philadelphia: Lippincott Williams & Wilkins. pp. 298–313.
- Prossnitz, ER .; Arterburn , JB . & Sklar , LA .(2007) .** GPR30 : A G protein- coupled receptor for estrogen . *Mol . Cell . Endocrinal .* 265 – 266 .
- Purup. S.; Sejrsen, K. and Akers, RM. (1995).** Effect of bovine GH and ovariectomy on mammary tissue sensitivity to IGF-I in prepubertal heifers. *J. Endo.*, 144(1): 153-158.
- Rastogi, S.C. (2005).** Female reproduction. In: *Essentials of Animal Physiology*, 4th (ed). New Age International, New Delhi, Pp: 444- 448 .
- Raubenheimer, E.J. (1987).** The myoepithelial : Embryology, Function and Proliferative aspects. *CRC Critical Review in Clinical Laboratory Science*, 25 (2):161-193.
- Rawal, S. (2016).** Comparative analysis of uterine biochemistry in rat treated with world – wide popularly used contraceptive . *European Journal of Biotechnology and Bioscience*. 1: 4 – 11.

- Razi, M.1 ; Feyzi, S.1; Shamohamadloo, S.1; Najafi, G.1; Ensafi, A.1; Eyvari, Sh.1 and Peyrovi, T.(2010).** Compensatory ovarian changes, mast cell distribution and luminal structure changes following unilateral ovariectomy in rats. *Iranian Journal of Veterinary Research, Shiraz University.* 11 (1): 28-37.
- Reis, MJ.(1934).** Nucleotidase and its relation to the deamination of nucleotides in the heart and the muscles. *Bull Soc Chim Biol.* 16:385–399.
- Richer, JK.; Jacobsen, BM.; Manning, NG.; Abel, MG.; Wolf, DM. and Horwitz, KB . (2002).** Differential gene regulation by the two progesterone receptor isoforms in human breast cancer cells *The Journal of biological chemistry .* 277: 5209-1809.
- Ridder, D. (2009) .**The effect of extracellular adenosine triphosphate on the spontaneous contractility of human myometrial strips. *Eur J. Obstet Gynecol Reprod Biol* 143(2):79–83.
- Rieder, S. V. and Mirt, O. (1969) .**A simplified procedure for the assay of 5- Nucleotidase . *J. Clini. Chemi.,* 15(8): 727- 729 .
- Rificia ,V. & Khachadurian, A. (1992).** The inhibition of low density lipoprotein oxidation by 17-beta estradiol . *Meta . Clin . Exper .;* 41 :1110-1114.
- Ristić, N.; Ajdžanović, V.; Manojlović-Stojanoski, M.; Maliković, J.; Ušćebrka, G.; Marković, Z. and Milošević, V.(2017).** Effects of Estradiol on Histological Parameters and Secretory Ability of Pituitary Mammothrophs in Ovariectomized Female Rats. *Cell Journal.(Yakhteh),* Vol 19, No 3:461-468.
- Rivera ,C. ; Grossardt ,B. ; Rhodes ,D. & et al .(2009).** Increased cardiovascular mortality after early bilateral oophorectomy . *Menopause .;* 16 (1): 15-23.

- Roser, J. F. (2008).** Regulation of testicular function in the stallion : An intricate network of endocrine , paracrine and autocrine system. *Anim. Reprod Sci.* 107 : 179 – 196.
- Ross , M.H. and Pawlina , W. (2016) .** Histology A text and Atlas with correlated cell and molecular biology . 7th edition . Wolters Kluwer Health .
- Ross, J.; Stefanatos, G.; Kushner, H.; Bondy, C.; Nelson, L.; Zinn, A. & Roeltgen, D. (2004) .** The Effect of Genetic Differences and Ovarian Failure : intact Cognitive function in Adult Women with premature Ovarian Failure *Versus* Turner syndrome . *J. Clin Endocrinol & Metabol.* ; 89(4) : 1817 – 1822.
- Russell, DL. and Robker, RL. (2007).** Molecular mechanisms of ovulation : co-ordination through the cumulus complex . *Hum Reprod Update* . 13: 289 – 312.
- Sagsoz, H.; Akbalik, M. E.; Saruhan, B. G. and Ketani, M.A.(2011).** Localization of estrogen receptor A and progesterone receptor B in bovine cervix and vagina during the follicular and luteal phases of the sexual cycle. *Biotech. Histochem.*, 86(4) : 262 – 271.
- Salgado, R. M.; Capelo, L. P.; Favaro, R. R.; Glazier, J. D. and Aplin, J.(2009) .** The estrous cycle modulates small leucine-rich proteoglycans expression in mouse uterine tissues. *Anat.Rec.*, 292(1):138-53.
- Samuelson , D. A. (2007).** Textbook veterinary Histology, Saunders, imprint of Elsevers Inc., Pp : 459-464 .
- Sánchez-Criado J.E.; Martín de las Mulas J.; Bellido, C; Navarro V. M. ; Aguilar, R.; Garrido-Gracia J. C. ; Malagón, M. M.; Tena-Sempere, V. and Blanco, V . (2006) .** Gonadotropin-secreting cells in ovariectomized rats treated with different oestrogen receptor ligands: a modulatory role for ER_α in the gonadotrope). *J. of Endo.*, 188, 167–177.

- Santos, E.T.; Sampaio, M.D.D.; Cecon, P..R.; Simões, M.D.J.; Sartori, M.G.F. and Girão, M.J.B.C.(2010).** Effects of soy isoflavones on the uterus and urethra of ovariectomized rats. *Int.Urogyneocol.J.*,21: 111-116.
- Saruhan, B. G.; Özbağ, D.; Özdemir, N. and Gümüşalan, Y. (2006).** Comparative Effects of Ovariectomy and Flutamid on Body-Uterus Weight and Uterine Histology in the Ovariectomized Rat Model . *İnönü Üniversitesi Tıp Fakültesi Dergisi.* 13(4): 221-226 .
- Schuh, SM.; Hille, B. and Babcock, DF. (2007) .** Adenosine and catecholamine agonists speed the flagellar beat of mammalian sperm by a non-receptor-mediated mechanism. *Biol Reprod* 77(6):960–969.
- Schulz, LC. (1991).** Pathologie der Haustiere. Gustav Fischer, Jena, Germany, pp. 576-655.
- Schwatz ,P. (1992).**The role of prophylactic oophorctomy in the avoidance of ovarian cancer .*Int .J. Gynaecol .Obster* .;39(3): 175-84.
- Selvan, RS.; Butterfield, JH. and Krangel, MS. (1994).** Expression of multiple chemokine genes by a human mast cell leukemia. *J. Biol. Chem.*, 269: 13893-13898.
- Shahrooz, R.; Razi, M. and Babai, A. (2013).** Histochemical study of river buffalo's uterine endometrium in follicular and luteal phases. *Iranian J. of Vet. Res.*, Shiraz University, 14 (4): 320-326.
- Sharman ,S.(2011).**Prophylactic Bilateral Oophorectomy :Dose Benefits Out Weigh Risks. *India* .;13 (1):1-2.
- Shelling AN. (2010).** Premature ovarian failure. *Reproduction.* 140: 633 – 641.

- Shen,Z.; Fahey, J.; Bodwell, J. ; Rodriguez-Garcia,M.; . Rossoll,R.; Crist,S.; Patel, M.and Wira, M.(2013).** Estradiol Regulation of Nucleotidases in Female Reproductive Tract Epithelial Cells and Fibroblasts. 8 (7): 1-13.
- Shi, S.; Key , M. and Kalra, K. (1991) .** Antigen retrieval in formalin-fixed, paraffin embedded tissue : an enhancement method for immunohistochemical staining based on microwave oven heating of tissue sections . *J . Histochem. Cytochem .*, 394(6) : 741 – 748 .
- Shuster, L. ; Gostout, B. ; Grossardt , B .& Rocca, W. (2008).** Prophylactic oophorectomy in premenopausal woman and long –term health. *Menopause . Int. ;* 14(3) : 11-16
- Simpson , ER. (2000).** Role of aromatase in sex steroid action. *J Mol Endocrinol* 25 (2) : 149 – 156 .
- Skafar, D. F. and Zhao, C. (2008) .** The multifunctional estrogen receptor – alpha F domain . *Endocrine ,* 33 (1) : 1 – 8 .
- Skibieli, A.L. ; Finney, S.C. and Gibbard, P. L. (2013).** The evolution of the nutrient composition of mammalian milk. *J. of Anim. Ecol.,* 82 (6), pp. 1254 – 1264.
- Skjerven, O. (1956).** Endometrial biopsy studies in reproductively normal cattle; clinical, histochemical and histological observations during the estrous cycle. *Acta Endocrinol* 22(Suppl 26): 1-101.
- Slater, M.; Murphy, CR. and Barden, JA. (2002).** Purinergic receptor expression in the apical plasma membrane of rat uterine epithelial cells during implantation. *Cell Calcium* 31(5):201–207.
- Smith, S.M. (1978).** The relative contribution of suckling and prolactin to the inhibition of gonadotropine secretion during lactation in the rat .*Biology of Rep.*

- Sokol, E. (2011).** Clinical anatomy of the uterus, Fallopian tubes, and ovaries *Glob. libr. Women's Med.*, 2: 672-673.
- Sominski, A.; Tobin, D. J.; Shhibahara, S. & Wortsman, J. (2004).** Melanin Pigmentation in Mammalian Skin and Its Hormonal Regulation. *Physiol. Rev.*, 84 : 1155 -1228.
- Souvannavong, V.; Brown, S.; Sarih, M. and Adam, A.(1994).** Expression and visualization during cell cycle progression of alkaline phosphatase in B lymphocytes from C3H / HeJ mice. *Journal of leukocyte Biology* Volume 55 : 626 – 632 .
- Steinberg, MS. and McNutt, PM .(1999).** Cadherins and their connections: adhesion junctions have broader functions. *Curr Opin Cell Biol* , 11 (5): 554-560.
- Sternlicht, M. D. ; Kouros – Mehr, H.; Lu, P. and Werb, Z. (2006).** Hormonal and local control of mammary branching morphogenesis . *Differentiation* 74(7): 365 – 381 .
- Stevenson, J.S.; Cox, N.M. and Rritt, J.H.(1981).** Role of the ovary in controlling luteinizing hormone, Follicular stimulating hormone and prolactin secretion during and after lactation in pigs . *Biology of Rep.*24:341-353.
- Strater, N. (2006) .** Ecto – 5' nucleotidase : Structure function relationships. *Purin. Sign.*, 2 : 343 – 350 .
- Suckow, M.A. and Schroeder , V. (2010) .** The laboratory Rabbit, 2nd ed ., CRC press Taylor and Francis grope , *Indoiana U.S.A*
- Sugino, N.; Suzuki, T. and Sakata, A. (2005).** Angiogenesis in the human corpus luteum: changes in expression of angiopoietins in the corpus luteum throughout the menstrual cycle and in early pregnancy. *J Clin Endocrinal Metab.* 90: 6141 -6148.
- Suvarna , S.K. ; Lyaton , C. and Bancroft , J. D. (2013) .** Bancroft 's Theory and practice of histological technique . Seven ed. Elsevier Limited, China. Xiv- 604.

- Tabibzadeh, S. (1998).** Molecular control of the implantation window. *Hum Reprod Update* 4(5):465-471.
- Tad – Urai, N. and Sookvanichsilp, N. (2007).** Bone Density and Morphology of Mammary Glands of Ovariectomized Rats Treated with Combined Raloxifene and Alendronate. *Mahidol University J. of Pharmaceutical Sciences* . 34 (1-4): 47-52.
- Takayama, T.; Matsubara, S.; Shibahara, H.; Minakami, H.; Takizawa, T. and Sato, I. (2000).** Ultracytochemical localization of 5'-nucleotidase activity in human ejaculated spermatozoa. *Int J Androl* 23(2):106–108.
- Tamm, K; Suhorutshenko, M; Room, M; Simm, J. and Metsis, M. (2012) .** Steroid –basic science steroid hormones ..intech, Open Access Publisher. Tallinn University of Technology , Faculty of Science, Center for Biology of Integrated System.
- Traish, A. M. (2004) .** Effects of ovariectomy and steroid hormones on vaginal smooth muscle contractility. *Int. J. Impot. Res., 16(1):*43-50.
- Tsuang, Y.-H.; Chen, L.-T.; Chiang, C.-J.; Wu, L.-C.; Chiang, Y.-F.; Chen, P.-Y.; Sun, J.-S. and Wang, C.-C.(2008).** Isoflavones prevent bone loss following ovariectomy in young adult rats. *J.Orthopaedic surg. and Res., 3(12):* 1-9.
- Tug, N.; Celik, H.; Cikim, G.; Ozcelik, O. and Ayar, A. (2006).** The correlation between plasma homocystine and malondialdehyde levels in preeclampsia. *Neuroendocrinolgy Letters., 24 (6) :* 445 – 448.
- Ubilla, E.; Rebollar, P. G.; Pazo, D.; Esquifino, A. & Alvarino, J. M. R. (2000).** Effects of doe-litter separation on endocrinological and productivity variables in lactating rabbits. *Livest. Prod. Sci., 67(1-2):*67-74.
- Ünsal, F. and Sönmez, M., F. (2014).** The effects of Ovariectomy on Ghrelin Expression in the Rat Uterus . *Adv Clin Exp Med* 23: (3) 363–370 .

- Urashima, T.; Fukuda, K. & Messer, M. (2012)** . Evolution of milk oligosaccharides and lactose: a hypothesis. *animal*, 6(03), pp.369–374.
- Vadakkadath, M. S. & Atwood, C. S. (2005)**. The role of hypothalamic – Pituitarygonadal hormone in the normal structure and functioning brain .*Cellular and Molecular Life Sciences*. 62, 257 – 270.
- Valko, M. ; Leibritz , D. ; Moncol, J. ; Cronin, M. ; Mazur, M. and Telsler, J. (2007)** . Free radicals and anyloxidants in normal physiological functions and Human disease .*Int. J.Biochem. Cell Biol.* , 39(1):44-84.
- Van Keymeulen, A.; Rocha, AS.; Ousset, M.; Beck, B.; Bouvencourt, G.; Rock, J.; Sharma, N.; Dekoninck, S. and Blanpain, C. (2011)** . Distinct stem cells contribute to mammary gland development and maintenance. *Nature* 479:189–193.
- Vasudevan, K. and Sztein, JM.(2011)**. Treatment of sperm with extracellular adenosine 5'-triphosphate improves the in vitro fertility rate of inbred and genetically modified mice with low fertility. *Theriogenology* 76 (4):729–736.
- Vegeto, E.; Shahbaz, MM.; Wen, DX.; Goldman, ME.; O'Malley, BW. and McDonnell, DP. (1993)** . Human progesterone receptor A form is a cell and promoter-specific repressor of human progesterone receptor β function. *Mol Endocrinol* , 7: 1244-1255.
- Velayudhan, B. T.; Huderson, B. P.; McGilliard, M. L.; Jiang, H.; Eill, S. E. and Akers, R. M. (2012)**. Effect of staged ovariectomy on measures of mammary growth and development in prepubertal dairy heifers. *Animal*, 6, 941 – 951.
- Vinci, A.; Bacci, B.; Benazzi, C.; Caldin, M. & Sarli, G.(2010)**. Progesterone receptor expression and proliferative activity in uterine tumours of pet rabbits. *J. Comp. Path.*, 142(4):323-7.

- Virant-Klun, I.; Rozman, P.; Cvjeticanin, B.; Vrtacnik-Bokal, E.; Novakovic, S.; Ruelicke, T.; Dovc, P. & Meden-Vrtovec, H. (2007)** .Parthenogenetic Embryolike Structures in the Human Ovarian Surface Epithelium Cell Culture in Postmenopausal Women with No Naturally present Follicles and Oocytes . (Accepted for publication) . *Stem cells & Development* .
- Wang, J.; Kevin, W.; Brandon, B. and Chung – Chiun, L . (2009).** The detection of Alkaline phosphatase using an electrochemical biosensor in a single step approach. *Sensor.*, 9: 8709 – 8721.
- Wang, CK.; Robinson, RS.; Flint, AP. And Mann, GE. (2007)** .Quantitative analysis of changes in endometrial gland morphology during the bovine oestrous cycle and their association with progesterone levels. *Reproduction* 134(2): 365-371.
- Wang, XF. and Chan, HC. (2000).** Adenosine triphosphate induces inhibition of Na(+) absorption in mouse endometrial epithelium: a Ca (2+)-dependent mechanism. *Biol Reprod* 63(6):1918–1924.
- Warren, M.P. and Stiehl, A.L. (1999)** Exercise and female adolescents: effects on the reproductive and skeletal systems. *Journal of the American Medical Women's Association* 54 (3), 115-120.
- Watson, C. J. and Khaled, W. T. (2008)** . Mammary development in the embryo and adult : a journey of morphogenesis and commitment. *Development* 135, 995 – 1003.

- Weber, AF.; Morgan, BB. and McNutt, SH. (1950)** Tissue mast cells in the virgin bovine uterus during the estrous cycle. *Cornell Veterinarian* 40: 34-38.
- Weihua, Z.; Andersson, S.; Cheng, G.; Simpson, E.R.; Warner, M. and Gustafsson, J.A. (2003).** Update on estrogen signaling. *Elsevier Sci.*, 546:17-24.
- Weitzmann ,M. & Pacifici ,R. (2006)** . Estrogen deficiency and bone loss :an inflammatory tale . *J.Clin .Invest.*;116 (5):1186-1194.
- Wen, S. (2010)** . genetic labeling and function characterization of GnRH target cells in the house mouse *Mus musculus* (Linnaeus,199758) Hamburg. Child.
- Wiehel, R.; Lantvit, D.; Yamada, T. and Christov, K. (2011).** Progesterone receptor modulator, inhibits mammary carcinogenesis by suppressing cell proliferation and inducing apoptosis. *Cancer Prev Res (Phila)* 4, 414 – 424.
- Worley, M. and Welch, R. (2013).** Endometriosis – associated ovarian cancer a review of pathogenesis . *International Journal of Molecular Sciences*, 14(3): 67 – 79.
- Yart, L.; Dessauge, F.; Finot, L.; Barbey, S.; Marnet, P. G. and Lollivier, V. (2012).** Ovariectomy improves lactation persistency in dairy cows , *J Dairy Sci.* 95: 3794 – 3802.
- Yen , S.; Jaffe , R. and Barbieri , R. (1999).**Reproductive endocrinology .4th ed . Philadelphia:Saunders . 110 -133 ;301 -319;751-784.
- Yorio, M.; Adela, S.; Elizabeth, S. and Jose, M.(2000).**Alkaline phosphatase isoenzymes for the diagnosis of metastatic tumors and lymphoma as of liver and one. *Med.*, 60:311-315.
- Youshino, T.; Hiroyuki, S. and Hiroshi, N. (1980).** Ciliation in endometrial epithelium of the rabbit following ovariectomy. Department of Animal science, Faculty of Agriculture, Hokkaido University, Sapporo 060, Japan. Pp: 301-302.

-
- Young, J.M. and McNeilly, A.S. (2010).** Theca: the forgotten cell of ovarian follicle. *Pub Med. Reprod.* 140 (4) : 489 – 504.
- Zang, L.; Buchet, R. and Azzar, G .(2004).** Phosphate binding in the active site of alkaline phosphatase and the interactions of 2-nitrosoacetophenone with alkaline phosphatase- induced small structural changes . *Biophys., J.* 86: 3873 – 3881.
- Zimmermann, H.; Zebisch, M. and Strater, N. (2012).** Cellular function and molecular structure of ecto-nucleotidases. *Purinergic Signal* 8(3):437–502.
- Zwijzen, RM.; Wientjens, E.; Klompaker, R.; van der Sman, SJ.; Bernards, R. and Michalides, RJ. (1997) .** CDK-independent activation of estrogen receptor by cyclin D1. *Cell* ; 88(3): 405-415.

Ministry of Higher Education and Scientific Research
University of Kerbala
College of Education for Pure Sciences
Department of Biology



Study histological and physiological effects
of Ovariectomy on pituitary, uterus and
mammary gland in local
rabbits. (*Oryctolagus cuniculus*)

A Thesis

**Submitted to the College of Education for Pure Sciences -
Kerbela University as a Partial Fulfillment for the
Requirements of the Degree Doctor of Philosophy of Science
in Biology (Zoology)**

By

Ashwaq Kadhem Obeid

M. SC. Biology- Kofa University.

Supervised by

Assist Professor Dr.

Sinaa Jaboury Al-Bazii

Professor Dr.

Wefaq Jaboury Al-Bazii

1440 A.H.

2019 A.D.

Abstract

This study aimed to investigate the effect of bi- and uni- lateral ovariectomy on mammary gland, uterine tissues and pituitary gland in female rabbits *Oryctolagus cuniculus*. Forty eight animals were divided randomly into two groups, one of them at virgin stage and another at lactating stage. Each group subdivided into four groups (control(sham)) the first group, second one (bilateral ovariectomized) group, the third and fourth groups (left and right unilateral ovariectomized) respectively, (6 rabbits in each group). Thereafter, the animals were sacrificed after a month of operation to provide mammary, uterine and pituitary tissues for the histological, histochemical, immunohistochemical and morphometrical studies.

Blood samples were collected for biochemical tests including Estrogen, Progesterone, Prolactin, Follicle stimulating and Luteinizing hormones concentration and LH hormones concentration in pituitary tissue, Malondialdehyde and Reduced Glutathion in serum. The Alkaline phosphatase and 5 – Nucleotidase in mammary and uterus tissue. The following results were obtained:

- Histological section with hematoxylin and eosin stain of mammary gland in bilateral ovariectomy of virgin animals revealed that decrease in the size of lobules and alveoli with less dilated and increase in adipose tissue compared with their control, while in lactating rabbits bilateral ovariectomy animal showed small lobules containing less branching alveoli with inactive alveoli and increased in stroma.

Staining sections with trichrome have revealed there is excessive amount of collagen fibers in the stroma of the mammary gland tissue in all

treatment groups of lactating and virgin in comparison with their controls.

Beside that histochemistry studies of the Periodic Acid Schiff's (PAS) staining showed a positive reaction in histological section of mammary tissue in all groups of lactating stage, while the virgin groups showed a negative reaction to the PAS stain. On the other hand, there is a significant decrease ($p < 0.05$) in the diameters and numbers of alveoli in all treatment groups in compared with their controls.

Histological study of the uterus sections showed many changes caused by bilateral ovariectomy, this included: decreased in thickness and folded with atrophy of uterus layers, absence of uterine glands and infiltration of inflammatory cells in compared with other groups in virgin and lactating stages. While trichrome stained sections showed an excessive amount of collagen fibers in the uterus in all treatment groups in compared with their controls.

Histological section with hematoxylin and eosin stain of pituitary gland in bilateral ovariectomy of virgin and lactating groups showed no pathological changes, in addition, the staining with immunohistochemical stain of progesterone receptors in gonad cell showed large cells with vacuoles in their cytoplasm in bilateral ovariectomized in compared with other groups.

The estrogen and progesterone receptors expression in mammary and uterine tissue of animals treated in virgin and lactating treated groups showed weakly positive (+) stain reactions and no expression (-) of estrogen and progesterone receptors in the mammary and uterus tissue of bilateral ovariectomized virgin group. Weak expression (+) of estrogen and progesterone receptors in mammary tissue, no expression (-) of

estrogen receptors and weak expression (+) of progesterone receptors in uterus tissue of lactating group. The virgin and lactating showed a strong expression (+ + +)(++) for estrogen and progesterone receptors. The mammary and uterus tissue respectively in right unilateral ovariectomy, and moderate positive (++) , weakly positive stain reaction (+) to estrogen receptors and progesterone receptors in the mammary and uterus in of virgin and lactating groups of left unilateral ovariectomy .

The results showed a significant increase ($p < 0.05$) in the level of hormones (FSH, LH) in bilateral ovariectomized groups for two physiological stages(virgin , lactating) compared to their control. In addition, there is no significant differences in prolactin hormone level in treatment groups for virgin compared with control (sham), while the prolactin hormone level significantly increased ($P < 0.05$) in right removal of ovarian in lactating stage ,significant decrease ($P < 0.05$) in the concentration of progesterone and estrogen hormone in bilateral ovariectomized groups for virgin and lactating stages compared with their controls .The significant decrease ($P < 0.05$) showed in the level of LH hormone in the pituitary gland tissue.

Significant decrease ($P < 0.05$) in the level of alkaline phosphatase enzyme (ALP) and 5'- Nucleotidase enzyme (NTD) in bilateral ovariectomized group in virgin , lactating groups compared to the control in the mammary and uterus tissue.

The present study showed a significant decrease ($P < 0.05$) in the serum concentration of reduced glutathione (GSH) and a significant increase ($P < 0.05$) in the serum malondialdehyde (MDA) concentration in ovariectomized groups for two physiological (virgin , lactating) compared with control.

In conclusion , the bilateral ovariectomy caused histological , histochemical and physiological changes in the mammary ,uterus and pituitary tissue in virgin and lactating groups of female rabbits.